

## გიორგი მემარიაშვილი

48 მეტრი მაღის მქონე,  
გასაშლელი საიერიშო ხიდი, მისი ტრანსპორტირების და  
მონტაჟის ხიდგამდებები

წარმოდგენილია დოქტორის აკადემიური ხარისხის  
მოსაპოვებლად

ხელმძღვანელი - პროფესორი აგული სოხაძე

საქართველოს ტექნიკური უნივერსიტეტი  
თბილისი, 0175, საქართველო  
ივნისი, 2012

საავტორო უფლება © მემარიაშვილი გიორგი, 2012 წელი

## საქართველოს ტექნიკური უნივერსიტეტი

### სამშენებლო ფაკულტეტი

ჩვენ, ქვემოთ ხელისმომწერნი ვადასტურებთ, რომ გავეცანით გიორგი მეძმარიაშვილის მიერ შესრულებულ სადისერტაციო ნაშრომს დასახელებით: “48 მეტრი მაღის მქონე, გასაშლელი საიერიშო ხიდი, მისი ტრანსპორტირების და მონტაჟის ხიდგამდებები” და რეკომენდაციას ვაძლევთ საქართველოს ტექნიკური უნივერსიტეტის სამშენებლო ფაკულტეტის სადისერტაციო საბჭოში მის განხილვას დოქტორის აკადემიური ხარისხის მოსაპოვებლად.

თარიღი

ხელმძღვანელი: სრ. პროფ. ა. სოხაძე

რეცენზენტი: სრ. პროფ. თ. ჭურაძე

რეცენზენტი: ტ.მ.კ. ს. ბლიაძე

## საქართველოს ტექნიკური უნივერსიტეტი

2012 წელი

ავტორი: გიორგი მებმარიაშვილი

დასახელება: “48 მეტრი მაღის მქონე, გასაშლელი საიერიშო ხიდი,  
მისი ტრანსპორტირების და მონტაჟის ხიდგამდებები”

ფაკულტეტი: სამშენებლო

ხარისხი: დოქტორი

სხდომა ჩატარდა:

ინდივიდუალური პიროვნებების ან ინსტიტუტების მიერ ზემოთმოყვანილი დასახელების დისერტაციის გაცნობის მიზნით მოთხოვნის შემთხვევაში მისი არაკომერციული მიზნებით კოპირებისა და გავრცელების უფლება მინიჭებული აქვს საქართველოს ტექნიკურ უნივერსიტეტს.

---

ავტორის ხელმოწერა

ავტორი ინარჩუნებს დანარჩენ საგამომცემლო უფლებებს და არც მთლიანი ნაშრომის და არც მისი ცალკეული კომპონენტების გადაბეჭდვა ან სხვა რაიმე მეთოდით რეპროდუქცია დაუშვებელია ავტორის წერილობითი ნებართვის გარეშე.

ავტორი ირწმუნება, რომ ნაშრომში გამოყენებული საავტორო უფლებებით დაცულ მასალებზე მიღებულია შესაბამისი ნებართვა (გარდა იმ მცირე ზომის ციტატებისა, რომლებიც მოითხოვენ მხოლოდ სპეციფიურ მიმართებას ლიტერატურის ციტირებაში, როგორც ეს მიღებულია სამეცნიერო ნაშრომების შესრულებისას) და ყველა მათგანზე იღებს პასუხისმგებლობას.

## რეზიუმე

საინჟინრო უზრუნველყოფის მნიშვნელოვან ფაქტორს წარმოადგენს გადასალახ წინააღმდეგობებზე სამხედრი ხიდების აგება, რომლებიც, თავისი ფუნქციებიდან გამომდინარე, არის სამი სახის: დროებითი ხიდები, რომლებიც იგებიან საკომუნიკაციო ზონაში; საჯარისო ნაწილების მოძრაობის მარშრუტებზე შექმნილი, სწრაფადასაგები, ეგრო წოდებული გამყოლი თუ გამცილებელი ხიდები; და, უშუალოდ საბრძოლო ვითარებებში გამოსაყენებელი, სწრაფადასაგები, გასაშლელი მექანიზებული ხიდები, რომლებიც დიდი წარმატებით შეიძლება გამოყენებულ იქნას სამოქალაქო მიზნებისათვის ექსტრემალურ სიტუაციებში და საგანგებო ვითარებებში.

წარმოდგენილი სამუშაო შექება მეტად აქტუალურ პრობლემას. არსებულ საიერიშო ხიდებთან და მათ ხიდგამდებებთან შედარებით, რომლებიც თანამედროვე ეტაპზე იძლევიან საშუალებას ერთ სატრანსპორტო–სამონტაჟო საშუალებაზე – ხიდგამდებზე განთავსებული, მაქსიმუმ  $12 \div 16$  მეტრის სიგრძის მქონე დაკეცილი პაკეტით, დაჯავშნული ტანკიდან ეკიპაჟის გადმოუსვლელად  $3 \div 7$  წუთში გადონ ხიდი დაბრკოლებაზე, რომელთა სიგანე შეადგენს  $22 \div 30$  მეტრს, შეიქმნას უფრო დიდი  $32 \div 48$  მეტრი მაღის მქონე გასაშლელი მექანიზებული ხიდები და მათი ხიდგამდები.

აღნიშნული ამოცანა, წარმოდგენილ ნაშრომში, მიიღწევა ეტაპობრივად, ტრანსფორმირებადი სისტემების თეორიის გამოყენებით, რომელსაც საფუძვლად უდევს გაშლა–დაკეცვით ფორმათწამოქმნის ორმაგი და სამმაგი ტიპის ტრანსფორმაციები, ნაცვლად არსებულ საიერიშო ხიდებში რელიზებული ერთი ტიპის ტრანსფორმაციებისა, მიუხედავად იმისა თუ რომელი – “წამოცმის” თუ “გადაბრუნების” მეთოდით ხდება მათი გადება დაბრკოლებაზე.

ასეთი ლოგიკით პირველ ეტაპზე განხილულია საიერიშო ხიდები, რომელიც ორი ტიპის ტრანსფორმაცია უდევს საფუძვლად.

გასაშლელი ხიდი, რომლის კონსტრუქცია აგებულია ტრანსფორმირებადი სისტემების “დაკეცვის პრინციპს”+”ტელესკოპის პრინციპით” ფორმათწარმოქმნის პრინციპებით, ხასიათდება ტრანსფორმაციის მაღალი ხარისხით. იგი საშუალებას იძლევა დაკეცილ სატრანსპორტო პაკეტიდან, რომლის გაბარიტები შეესაბამება არსებული სამხედრო ხიდების დაკეცილ გაბარიტებს და წონას, გაშლის საფუძველზე მიღებულ იქნა  $48$  მეტრი სიგრძის ხიდი.

ამასთან, აღნიშნულ ხიდებს გააჩნია მრავალი ცილინდრული კვანძები, რაც საბრძოლო ვითარებებში გარკვეული ნაკლოვანებების მატარებელია, და ამასთან მისი სიხისტე დუნგისადმი ხიდის გრძივი მიმართულებით არის შედარებით დაბალი, რაც მის მნიშვნელოვან ნაკლს წარმოადგენს.

ამდენად, შემდგომ ეტაპზე დაისვა ამოცანა, შექმნილიყო გასაშლელი ხიდი, რომლის ძირითადი მზიდი ელემენტები, რომლებიც მაღალი სიხისტის არიან, გაშლის ეტაპზე ასრულებენ სისტემის ტრანსფორმაციის ძირითადი მექანიზმების ფუნქციას, ხოლო ხიდის ტრანსფორმაციის ბოლო ეტაპზე, როდესაც ხდება ტრანსფორმირებადი სისტემის ფიქსირებული საექსპლუატაციო ფორმის მიღება, აღნიშნული

ელემენტები უკავი გვევლინებიან ხიდის ზედა სავალი ნაწილის და სარტყელის მზიდ ელემენტებად.

ამ მოთხოვნებით შეიქმნა გასაშლელი ხიდის კონსტრუქცია, აგებული ტრანსფორმირებადი სისტემის ფორმათურმოქმნის დაკეცის პრინციპს” + “დახვევის პრინციპით”. სამუშაოში განხილულია ხიდის კონსტრუქციის ძირითადი სქემები, მისი გაანგარიშება და შექმნილი 4,8 მეტრი სიგრძის მოდელის ექსპერიმენტული კვლევა.

შესრულებულმა კომპლექსურმა კვლევებმა წარმოაჩინა ხიდის დადებითი თვისებები, რაც აღნიშნული ხიდის შექმნის მეცნიერებატევადობით და ტექნოლოგიურობით არის განპირობებული. ამასთან, გაზრდილი მალის შემთხვევაში, დაახლოებით 38მ:48მ დიაპაზონში, იზრდება ხიდის დაკეცილი სატრანსპორტო პაკეტის სიმაღლე, რაც გარკვეულ ფარგლებში ზღუდავს ხიდგამდების მობილურობას. ხიდგამდების კონსტრუქცია, რომელიც ტანკის ბაზაზეა შემნილი, ხასიათდება სამინტაჟო ისრის დიდი სიმაღლით, რაც ხიდის შენიდბვას უშლის ხელს და ბოლოს გართულდა აწყობის სქემა ხიდის ქვედა, დასახვევი, მაღალი სიმტკიცის ბაგირებისაგან შექმნილი სარტყელის.

ხიდის მოდიფიკაციაში, რომელიც აგებულია “დაკეცის პრინციპს” + “დაკეცის პრინციპით”, ბევრი უარყოფითი თვისება აღმოიფხვრა, მაგრამ გასაშლელი ხიდის დაკეცილი პაკეტის სიმაღლე კვლავ მაღალი დარჩა.

აღნიშნული, სარეკორდო სიგრძის მაღის ხიდები, რომლებიც სისტემურად, თანმიმდევრული ლოგიკით შეიქმნა თავისი ყველა პარამეტრებით მთლიანად აკმაყოფილებენ მათი სამოქალაქო გამოყენების მოთხოვნებს. სამუშაოში საკითხი შეეხება მხოლოდ და მხოლოდ ფორსირების ოპერაციებში ხიდების და ხიდგამდებების გამოყენებას, რაც თავისთავად სამხედრო ხელოვნებაში ურთულეს პროცედურად არის მიჩნეული და იგი თვით ხიდგამდებისაგან და ხიდისაგან განსკუთრებული პარამეტრების დაკმაყოფილებას მოითხოვს. ამ მიზნით, ორმაგი ტრანსფორმაციის პრინციპებიდან, გასაშლელი ხიდების ფორმათურმოქმნისათვის სამმაგი ტრანსფორმაციის პრინციპზე გადასვლა გახდა საჭირო, ამასთან ახალი ხიდგამდების შექმნის მიზნით გამოყენებულ იქნა სამმაგი ტრანსფორმაციის პრინციპზე შექმნილი გასაშლელი ხიდის გადასალახ წინააღმდეგობაზე ხიდგამდების მიერ კომპლექსური მეთოდი – “წამოცმის მეთოდს” + “გადაბრუნების მეთოდით” გადება.

აღნიშნული ტრანსფორმაციის პრინციპების და ხიდგამდების მიერ ხიდის დაბრკოლებაზე გადების კომპლექსური მეთოდის კლასიფიცირებით და სისტემატიზაციით დამუშავდა საბაზო ვარიანტი საიერიშო, გასაშლელი, მექანიზებული ხიდგამდების და ხიდისა მაღის 32:48 მ. ხიდის სრულიად განსხვავებული კონგრატიკური სქემა, მისი რეალიზაციისათვის მოითხოვს ასევე ორი ტიპის საკანძო კომპლექსის გამოყენებას, რაც არსებულ თანამედროვე ხიდების კონსტრუქციებში უკვე გადაწყვეტილია და გამოყენებული, რაც ხიდის სქემის კინეტიკის დადებითი თვისებაა, რადგანაც ამით კიდევ უფრო აზრდება საბაზო ხიდის დამზადების ტექნოლოგიურობა.

შექმნილი ხიდი დამზადებულია მაღალი სიმტკიცის ალუმინის შენადნობისაგან. მისი დაკეცილი სატრანსპორტო პაკეტის გაბარიტებია:

სიგანე 4,1 მ; სიგრძე 12 მ.; ხოლო სიმაღლე შეადგენს 2,6 მეტრს, რაც მეტად მნიშვნელოვანია. ხიდის მაღი ჯერ იყოფა შუაში და ურთიერთშემობრუნებით იკეცება. დაკეცვის დროს ხდება ხიდის ორი ნაწილის ერთმანეთში შესვლა, შემდეგ კი, მაღის განაპირა ნაწილების გადაადგილებით ხიდის სატრანსპორტო პაკეტი აღწევს თავის მინიმალურ ზომებს. განსხვავებულია და ოპტიმალური ხიდგამდების სქემა, რომელიც შექმნილია ტანკ “ლეოპარდ-2”-ის ბაზაზე. ტანკიდან ხიდის მონტაჟი ხორციელდება ხიდის წინ წამწევით, შემდეგ ხიდგამდების ბაქნის გრუნტზე დაყრდნობით და ხიდის კონსოლურად მონტაჟით. პროცესი ითვალისწინებს ყველა შესაძლო დატვირთვებს და ხიდგამდების ფიქსაციას, ამოყირავების საწინააღმდეგოდ. ხიდის წონა შეადგენს 19,5 ტონას.

შემოთავაზებული ხიდის ტრანსპორტირება და მონტაჟი ასევე შესაძლებელის ავტომობილიდან და ვერტმფრენიდან, რაც მეტად მნიშვნელოვანია საბაზო ხიდის სამოქალაქო მიზნებით გამოყენებისათვის და ამასთან ვერტმფრენით საიერიშო ხიდების მონტაჟი, სრულიად შეესაბამება სამხედრო ხელოვნების თანამედროვე მოთხოვნებს.

## Abstract

Important factor of engineering provision is building military bridges over obstacles, the bridges being of three types according to their functions: temporary bridges being built in communication zones; rapidly layable, the so called escort bridges implemented on troops displacement routs; and rapidly layable deployable mechanical bridges directly usable in military situations that can very successfully be used in civil conditions, extreme situations and in emergency circumstances alike. The present work touches upon a topical problem – to develop deployable mechanized bridges of a bigger span of 32÷48 meters and their bridgelayer in comparison with conventional assault bridges and their bridgelayers which enable to lay a bridge over an obstacle of 22÷30 meters in width in 3-7 minutes by means of a stowed package of 12÷16 meters in length that is placed on a single vehicular means – bridgelayer, without the crew having to exit the armored tank.

The mentioned task can be fulfilled with staged approach, with the application of transformable systems theory based on double and triple type transformations of shaping by deployment-folding, instead of a single type transformations realized in conventional assault bridges, no matter what method is used for laying them over an obstacle - whether it is “putting on” or “inverting”.

At the first stage, assault bridges based on two types of transformation are considered at the initial stage.

The deployable bridge construction based on the “folding principle”+”telescope principle” of shaping is characterized by high quality. It enables to assume a 48 meters bridge by deploying the folded transport package of which sizes correspond to the sizes of existing folded military bridges.

Besides, the mentioned bridges have multiple cylindrical units, that is disadvantageous in battle situations, and their stiffness against bending is relatively low in longitudinal direction, which can be regarded as serious drawback as well.

Thus at the further stage, a task of developing a deployable bridge that would have high stiffness load-bearing elements playing a role of main mechanisms of the system transformation at the deployment stage was set, where the elements would have to be load-bearing ones of the upper running part and chord of the bridge at the final stage of transformation when a fixed operation shape of the transformable system is assumed.

Based on these requirements, a deployable bridge construction by application of “folding”+”rolling” approach of shaping has been developed. The work overviews general designs of the bridge, its calculation and experimental study of the developed model of 4.8 meters in length.

The conducted complex studies revealed advantages of the bridge, conditioned by high-end technology of the bridge development. It should be noted that in case of enlarged span, approximately within the range of 38m÷48m, the height of the stowed transport package of the bridge increases, which leads to limiting the bridgelayer transportability. The bridgelayer construction that is developed on the tank basis is characterized by considerable height of mounting, which hampers the bridge to be blanked off, and the assembling of the lower rollable chord made of high stiffness cables became difficult.

In the modification of the bridge which is built on the base of “folding principle”+”folding principle”, many disadvantages were eliminated but the stowed transport package of the bridge still remained high.

The mentioned record-breaking length span bridges developed by systematic, step by step approach, completely fulfill the requirements of civil application by all their parameters. The work deals with the use of bridges and bridgelayers in forced operations only, which is regarded as an extremely difficult procedure in the military art and requires from a bridge and bridgelayer fulfilling special parameters. To this end, it was necessary to use the triple transformation approach for shaping instead of the double transformation approach, and a complex method - “putting on method” + “inverting method” of laying a deployable bridge developed by triple transformation approach over an obstacle was used for the purposes of developing the new bridgelayer.

By application of the mentioned transformation approaches and by classifying and systematizing the complex method of laying the bridge over an obstacle by a bridgelayer, basic modifications of a deployable mechanized assault bridgelayer and a 32÷48 m. span bridge were developed. The completely different kinematical design of the bridge requires use of two types of key complexes that are already used in modern bridge constructions, which is the advantage of the bridge kinetics due to the fact that manufacturability of the basic bridge is improved even more.

The developed bridge is manufactured by high stiffness aluminum alloy. The sizes of its stowed transport package are: width 4.1 m; length 12 m; and height is 2.6 which is very important. The bridge span is divided in the middle initially and then it is folded by mutually turning. When it is folded, the two parts of the bridge enter each other, and then, by displacement of the span edge parts, the bridge transport package attains its least sizes. The bridgelayer design which has been developed on the basis of the tank LEOPARD-2 is unusual and optimal. The bridge is mounted from a tank by displacing it ahead and then by resting the bridgelayer platform upon the ground and mounting the bridge in cantilever fashion. The process envisages all possible loads and fixing the bridge against overturning. The bridge weight is 19,5 tonnes.

The bridge can be transported and mounted also by a motorcar and helicopter which is very important in terms of use the basic bridge for civil purposes, and the mounting of assault bridges by a helicopter completely corresponds to the modern requirements of the military art.

## შინაარსი

შესავალი ----- 16

I. გასაშლელი ხიდების ფორმათწარმოქმნის ახალი სისტემატიზაცია და ორმაგი ტრანსფორმაციის სქემებზე გადასვლა.	
I.1. ტრანსფორმირებადი სისტემების ფორმათწარმოქმნის ძირითადი სქემები ----- 21	
I.2. ტრანსფორმირებადი სისტემების პრინციპული სქემების განხილვა “წამოცმის” მეთოდით ასაგებ ხიდებში ----- 24	
I.3. ტრანსფორმირებადი სისტემების პრინციპული სქემების განხილვა “გადმობრუნების” მეთოდით ასაგებ ხიდებში ----- 34	
I.4. ტრანსფორმაციის მარტივი სქემებიდან ხიდის სისტემების რთულ, ორი ტიპის შეწყვილებულ ფორმათწარმოქმნის სქემებზე გადასვლა ----- 43	
II. გასაშლელი ხიდის კონსტრუქცია აგებული ტრანსფორმირებადი სისტემების ფორმათწარმოქმნის პრინციპით – “დაკეცვის პრიბციპი” + “ტელესკოპის პრინციპი”.	
II.1. ხიდის კონსტრუქციული სქემის აღწერა ----- 47	
II.2. ხიდის კონსტრუქციის ტრანსფორმაციის პროცესი ხიდგამდების ბაზაზე ----- 51	
II.3. “დაკეცვის პრინციპი” + “ტელესკოპის პრინციპის” მიხედვით შექმნილი გასაშლელი ხიდის, მზიდი პანტოგრაფული სისტემას სტრუქტურული და კინემატიკური ანალიზი ----- 58	
II.4. შეწყვილებული სისტემის კინემატიკური ანალიზი ----- 60	
III. გასაშლელი ხიდის კონსტრუქცია აგებული ტრანსფორმირებადი სისტემების ფორმათწარმოქმნის პრინციპით – “დაკეცვის პრინციპი + დახვევის პრინციპი”.	
III.1. ხიდის კონსტრუქციული სქემის აღწერა ----- 68	

III.2. ხიდის მონტაჟისა და დემონტაჟის სქემები სატანკო ხიდგამდების გამოყენებით	75
III.3. გასაშლელი ხიდის გაანგარიშება	80
<b>IV. გასაშლელი, “დაკეცვის პრინციპს” + “დახვევის პრინციპით” შექმნილი ხიდის, 4,8 მეტრი მაღის მქონე მოდელის ექსპერიმენტული კვლევა.</b>	
IV.1. ხიდის მოდელის კონსტრუირება	86
IV.2. ხიდის მოდელის კონსტრუქციული სტრუქტურის დაძაბულ-დეფორმაციული სურათი სტატიკური დატვირთვის პირობებში	100
IV.2.1. გასაშლელი ხიდის, ზედა სარტყელის განზოგადოებული გეომეტრიული პარამეტრები	100
IV.2.2. ხიდის ტრანსფორმაციის პროცესების ექსპერიმენტული კვლევა მუდმივი დატვირთვის ზემოქმედებისას	105
<b>V. ტრანსფორმაციის ორმაგი პრინციპით აგებული გასაშლელი ხიდების კონსტრუქციული სრულყოფა და ტრანსფორმაციის სამმაგ პრინციპზე გადასვლის აუცილებლობა.</b>	
V.1. “დაკეცვის პრინციპს”+”დახვევის პრონციპით” შექმნილი ხიდის შეცვლა “დაკეცვის პრინციპს” + “დაკეცვის პრინციპით” შექმნილი ტრანსფორმირებადი ხიდით	122
V.2. “დაკეცვის პრინციპს” + ”დაკეცვის პრინციპით” შექმნილი, 48 მეტრი მაღის მქონე გასაშლელი ხიდის გაანგარიშება და კონსტრუირება	126
V.3. გასაშლელი ხიდის ორმაგი ტრანსფორმაციის – “დაკეცვის პრინციპს” + “ტელესკოპის პრინციპით” შექმნილი სქემა	131
<b>VI. სამმაგი ტიპის ტრასფორმაციის და ორმაგი შეთავსებული ტიპის გადების ახალი გასაშლელი, საიერიშო, ერთმალიანი მექანიზებული ხიდი მაღით 32÷48 მეტრი.</b>	

VI.1. ახალი გასაშლელი ხიდის ტექნოლოგიური და	
კონსრუქციული თვისებები -----	
137	
VI.2. ტრანსფორმირებადი ხიდის და ხიდგამდების	
პროექტირების საკვანძო საკითხები -----	147
ძირითადი დასკვნები -----	
162	
გამოყენებული ლიტერატურა -----	163

## **ფიგურების განმარტებების ნუსხა**

- ფიგ. I. 1. – “დახვევის პრინციპი”
- ფიგ. I. 2. – “დაპაციის პრინციპი”
- ფიგ. I. 3. – “ტელესკოპის პრინციპი”
- ფიგ. I. 4. და ფიგ. I. 5. – ხიდის გადების პროცედურა გადასალახ  
დაბრკოლებაზე შესრულებული ხიდგამდების მიერ “წამოცმის”  
მეთოდით.
- ფიგ. I. 6. – ხიდის მალის დანაწევრებული ბლოკებით და ტელესკოპური  
ისრით, ხიდის მალის ნაშენის მოწყობა გადასალახ  
წინააღმდეგობაზე.
- ფიგ. I. 7. – გერმანული ხიდის MLC70 LEGUAN მონტაჟი.
- ფიგ. I. 8. – სამონტაჟო ელემენტები და მათზე აგებული ხიდის მალი.
- ფიგ. I. 9 – შვედური, 48 მეტრი მალის, “გამყოლი” ასაწყობ-დასაშლელი ხიდი.
- ფიგ. I. 10 – გერმანული, 48 მეტრი მალის, “გამყოლი” ასაწყობი –  
ტრანსფორმირებადი ხიდი.
- ფიგ. I. 11. – ხიდის მალების დანაწევრებული ბლოკებისაგან მოლიანი მალის  
ნაშენის მოწყობა და მისი გადება გადასალახ წინააღმდეგობაზე.
- ფიგ. I. 12 – LEGUAN სისტემის ხიდგამდები, გასაშლელი ხიდით.
- ფიგ. I. 13 – LEGUAN-ის სისტემის გასაშლელი ხიდი განთავსებული  
ავტომობილებისას საგზომობილო სატრანსპორტო საშუალებაზე.
- ფიგ. I. 14 – LEGUAN-1-ის სისტემის ხიდის გაშლის პროცესი.
- ფიგ. I. 15 – ხიდგამდები ხიდის PSB2 სამი ბლოკით დატვირთული.
- ფიგ. I. 16 – ხიდის კონსტრუქციის “გადაბრუნების” მეთოდით გადება  
გადასალახ წინააღმდეგობაზე.
- ფიგ. I. 17 – “Titan”-ის კლასის ერთმალიანი და ერთბლოკიანი ხიდის მონტაჟი,  
ხიდგამდებიდან მისი ”გადაბრუნებით”.
- ფიგ. I. 18 – ხიდის მალის “მაკრატლისებრი” კონსტრუქცია.
- ფიგ. I. 19 – გასაშლელი ხიდის “მაკრატლისებრი” კონსტრუქცია.
- ფიგ. I. 20 – ხიდის მალის ორსახსრიანი დასაკეც-გასაშლელი კონსტრუქცია  
“ორმაგი მაკრატელი”.
- ფიგ. I. 21 – ხიდგამდები “ორმაგი მაკრატელიანი” ხიდით.
- ფიგ. I. 22 – ხიდის მალები ორმხრივი გადაშლით.
- ფიგ. I. 23 – ინგლისური ხიდგამდები, რომელსაც აქვს ორმხრივად  
გადასახსნელი მალები.
- ფიგ. I. 24 – მალების ორმხრივი გადაშლის სამხედრო ხიდის პროექტი.
- ფიგ. I. 25 – ხიდის მალის “მაკრატლისებრი” კონსტრუქცია სატრანსპორტო  
საშუალებაზე მიმაგრებით.
- ფიგ. I. 26 – ხიდის მალის დახვეულ-გასაშლელი კონსტრუქცია.

- ფიგ. II 1 – გასაშლელი, “დაპეცვის პრინციპი + ტელესკოპის პრინციპი”,  
ხიდის კონსტრუქციის ხედები.
- ფიგ. II. 2 – გასაშლელი ხიდის დაპეცვილი პაპეტის გრძივი ჭრილი.
- ფიგ. II. 3 – ხიდის გაშლის კონსტრუქციის კინემატიკური სქემა
- ფიგ. II. 4 – ხიდის სავალი ნაწილის თაღოვანი კონსოლური ფილების  
ბოლოებში განთავსებული გამონაშვერების ბუდეში ჩამაგრების  
კონსტრუქციული სქემა
- ფიგ. II.5 – ხიდის კონსტრუქციის ხიდგამდებზე განთავსების და მისი  
გამოსაწევი – ამწე მექანიზმების სქემები.
- ფიგ. II. 6 – ხიდგამდების სრული ციკლის სქემები.
- ფიგ. II. 7 – ხიდის ტრანსპორტირება და მონტაჟი დაბრკოლებაზე  
ვერტმფრენის გამოყენებით.
- ფიგ. II. 8 – შეწყვილებული სისტემის კინემატიკური სქემის მქონე გასაშლელი  
ხიდის კონსტრუქცია დაპეცილ (ა) და გაშლილ (ბ)  
მდგომარეობაში.
- ფიგ. II. 9 – თაღოვანი სისტემის საანგარიშო სქემა.
- ფიგ. II. 10 – სისტემის კინემატიკური სქემა (ფრაგმენტი).
- ფიგ. II. 11 – შეწყვილებული სისტემის ამძრავი კონტური კინემატიკური  
პარამეტრების განსაზღვრისათვის.
- ფიგ. III. 1 – ხიდის კონსტრუქციის გაშლის სქემები.
- ფიგ. III. 2. – ხიდის კონსტრუქციის გაშლისა და ფიქსაციის სქემები.
- ფიგ. III. 3 – ხიდის კონსტრუქციაზე განთავსებული ქვედა მოქნილი  
სარტყელის დამცავი ფირფიტები და ირიბნებზე მოწყობილი  
დამატებითი კავშირების სქემა.
- ფიგ. III. 4 – პანტოგრაფების ზედა და ქვედა განივი დეროების მაკავშირებელი  
ჩამქებები.
- ფიგ. III. 5 – ხიდგამდებისა და ხიდის ურთიერთშეთავსებული პროცესები.
- ფიგ. III. 6 – ხიდის ტრანსფორმაციის სქემები გადასალახ დაბრკოლებაზე.
- ფიგ. III. 7 – ხიდის გადასალახ დაბრკოლებაზე გადების პროცესები.
- ფიგ. III. 8 – ხიდის გვერდების სქემა და ზედა კომბინირებული სარტყელის  
ჭრილი 1-1.
- ფიგ. III. 9 – ზედა სარტყელის სტრუქტურის სქემა.
- ფიგ. IV. 1 – ხიდგამდების მოდელის კონსტრუქციული სქემა.
- ფიგ. IV. 2 – ხიდგამდების მოდელის საერთო ხედი.
- ფიგ. IV. 3 – ხიდის მოდელის კონსტრუქცია.
- ფიგ. IV. 4 – ხიდის მოდელის ზედა კომბინირებული სარტყელის ჭრილები  
ფიგ. IV. 3-ის მიხედვით.
- ფიგ. IV. 5 – ხიდის გამშლელ-დამკეცავი ერთიანი ელექტრო ამძრავიანი  
მექანიზმი რედუქტორებით.

ფიგ. IV. 6 – ხიდის მოდელის ფრაგმენტი ზედა კომპინირებული სარტყელის ურთიერთკავშირების, ირიბნების, ქვედა სარტყელის განვი ღეროვბის და მოქნილი ქვედა სარტყელის ჩვენებით.

ფიგ. IV. 7 – ხიდის მოდელის საერთო ხედი და საყრდენის ფრაგმენტები.

ფიგ. IV. 8 – მოდელის სხვადასხვა კვანძები.

ფიგ. IV. 9 – ხიდის მოდელის ჭრილის აქსიონმეტრიული ფრაგმენტი.

ფიგ. IV. 10 – ხიდის მოდელის ქვედა სარტყელის განთავსების სქემები,

შემდგარი ხუთ-ხუთი მაღალი სიმტკიცის ფოლადის ბაგირებისაგან.

ფიგ. IV. 11 – ქვედა სარტყელის ხუთბაგირიანი ჩამაგრების საანგარიშო სქემა.

ფიგ. IV. 12 – ქვედა სარტყელის ორბაგირიანი ჩამაგრების სქემა.

ფიგ. IV. 13 – საწყისი საანგარიშო პარამეტრების გეომეტრიული სქემა.

ფიგ. IV. 14 – წრეხაზზე განთავსებული პანტოგრაფების ცენტრალური კვანძების და პანტოგრაფების ბერკეტების შეერთების კვანძების მდებარეობა სიბრტყეებზე, განსაზღვრული წრის რადიუსით.

ფიგ. IV. 15 – ხიდის მოდელის სქემა და მისი ძირითადი და წარმოებული გეომეტრიული პარამეტრები.

ფიგ. IV. 16 – ხიდგამდები საწყის პოზიციაზე

ფიგ. IV. 17 – ხიდგამდები გაშლილი ჩარჩოთი

ფიგ. IV. 18 – ტელესკოპური მზიდი ისარი იწყებს წარმოდგომას

ფიგ. IV. 19 – ტელესკოპური მზიდი ისარი ვერტიკალურ მდგომარეობაში

ფიგ. IV. 20 – დაკეცილი ხიდის პაკეტის გადაადგილება წინააღმდეგობის ცენტრისკენ

ფიგ. IV. 21 – დაკეცილი ხიდის მოდელის პაკეტი წინააღმდეგობის ცენტრში

ფიგ. IV. 22 – ხიდის მოდელის გაშლის პროცესი

ფიგ. IV. 23 – ხიდის მოდელის გაშლის პროცესი

ფიგ. IV. 24 – ხიდის მოდელის ბოლოები ეხება ნაპირებს

ფიგ. IV. 25 – სახსრების ჩაკეტვა და ქვედა სარტყელის მოჭიმვა

ფიგ. IV. 26 – გაშლილი ხიდის მოდელი

ფიგ. IV. 27 – ხიდის მოდელის კინემატიკური სქემის ტრანსფორმაციები დამჭერი ბაგირის სხვადასხვა წერტილში ჩაბმისას

ფიგ. IV. 28 – ხიდის მოდელის კინემატიკური სქემის ტრანსფორმაციები

ფიგ. IV. 29 – ხიდის მოდელზე ხიდგამდების გადასვლა.

ფიგ. V. 1 – “დაკეცის პრინციპი” + “დაკეცის პრინციპი” შექმნილი გასაშლელი ხიდის კონსტრუქციული სქემები.

ფიგ. V. 2 – ხიდის კონსტრუქციის განივი, ვერტიკალური ჭრილი გამავალ დგარზე.

ფიგ. V. 3 – გასაშლელი ხიდის საბჯენები

- ფიგ. V.4 – “დაკეცვის პრინციპი”+”დაკეცვის პრინციპით” შექმნილი ხიდის ტრანსფორმაციის ეტაპები, გასაშლელი ხიდის დაკეცილი სატრანსპორტო პაკეტიდან ხიდის სრულ გაშლამდე.
- ფიგ. V.5 – გასაშლელი ხიდის საერთო საანგარიშო ხედი
- ფიგ. V.6 – გასაშლელი ხიდის, “დაკეცვის პრინციპი”+”ტელესკოპის პრინციპით”, შექმნილი კონსტრუქცია
- ფიგ. V.7 – ხიდის დაბრკოლებაზე გადების ტრანსფორმაციის სქემები.
- ფიგ. VI. 1 – ტანკ “ლეოპარდ 2”-ის ხედები საცეცხლე კოშკოს ზარბაზნის და საბრძოლო ჭურვების გარეშე.
- ფიგ. VI. 2 – ხიდის დაკეცილი პაკეტი განთავსებული ხიდგამდებზე
- ფიგ. VI. 3 – სამმაგი ტიპის ტრანსფორმაციის და ორმაგი ტიპის გადების საიერიშო, მექანიზებული ხიდის სქემები
- ფიგ. VI. 4 – ხიდის დაკეცილი პაკეტი განთავსებული ხიდგამდებზე და მისი წინ გამოწევით დაყრდნობა გრუნტზე
- ფიგ. VI. 5 – ხიდის გაშლის სასტარტო პოზიცია და ხიდის გაშლის პირველი ეტაპი.
- ფიგ. VI. 6 – ხიდის გაშლის მეორე ეტაპი
- ფიგ. VI. 7 – ხიდი გადებული გადასალას დაბრკოლებაზე
- ფიგ. VI. 8 – ცენტრალური კვანძის მიმართ ლიანდების ურთიერთშემობრუნებით განხორციელებული ტრანსფორმაციის პროცესი გაზრდილმალიან ხიდში და რეალურად არსებული კონსტრუქციული სისტემა ცენტრალური კვანძის მიმართ მბრუნავი ლიანდებისა.
- ფიგ. VI. 9 – ლიანდების ურთიერთგასრიალებით განხორციელებული ტრანსფორმაციის პროცესი გაზრდილმალიან ხიდში და რეალურად არსებული კონსტრუქციული სისტემა ხიდგამდებიდან გამოსრიალებული ლიანდებისა, რომელსაც ხიდგამდები კონსოლურად აფიქსირებს.
- ფიგ. VI. 10 – ხიდგამდების და ხიდის “Volverine”
- ფიგ. VI. 11 – ხიდგამდები ხიდით – “Titani” აგებული ტანკ “ჩელენჯერ-2”-ის შასზე.
- ფიგ. VI. 12 – მანქვალებიანი კვანძის სქემა
- ფიგ. VI. 13 – ძაბვების კონცენტრაცია მანქვალის განივივეთში.
- ფიგ. VI. 14 – დეფორმაციების შესაძლო სახეები კვანძის ელემენტებში
- ფიგ. VI. 15 – წრიული ნახვრეტის ოვალურად გადაქცევა მანქვალიანი შეერთების ხანგრძლივი ექსპლუატაციის პირობებში.
- ფიგ. VI. 16 – მანქვალიანი შეერთების საანგარიშო სქემა.

## **ცხრილების ნუსხა**

<b>ცხრილი</b>	<b>IV. 1 – მოდელის კვანძების კოორდინატები</b>	108
<b>ცხრილი</b>	<b>V. 1 – ხიდის დატვირთვის სქემები პოზიციების მიხედვით</b>	128
<b>ცხრილი</b>	<b>V. 2 – ხიდის კონსტრუქციის ჩაღუნვების და ელემენტებში ძალვების და ძაბვების მნიშვნელობები</b>	129
<b>ცხრილი</b>	<b>V. 3 – ტაქტიკურ-ტექნიკური პარამეტრების შედარება</b>	131

## შესავალი

სამხედრო-საინჟინრო დარგი ფართოდ მოიცავს სახელმწიფოს საინჟინრო მომზადებას თავდაცვისათვის და ბრძოლებისა და ოპერაციების საინჟინრო უზრუნველყოფას [1].

სამხედრო-საინჟინრო დარგი ძირითადად განიხილავს შემდეგ მიმართულებებს:

- საკუთარი ძალებისათვის და მოსახლეობისათვის მობილურობის შექმნის საინჟინრო უზრუნველყოფა;
- მოწინააღმდეგის ძალების მაქსიმალური შეფერხების და დაბრკოლებების საინჟინრო უზრუნველყოფა;
- საკუთარი ძალების, ტექნიკისა და ობიექტებისათვის სიცოცხლის-უნარიანობოს შენარჩუნებისათვის საინჟინრო დონისძიებების უზრუნველყოფა;
- ზოგადი ინჟინერია;
- ტოპოგრაფიული ინჟინერია.

აღნიშნული პროცედურების კვლევა და მათი გამოყენების მეთოდების და ხელოვნების დადგენა ხორციელდება სამხედრო-საინჟინრო მეცნიერების ფარგლებში.

სამხედრო-საინჟინრო ხელოვნების თეორიული საფუძვლების პრაქტიკული გამოყენება წყდება ოპერატიულ-სტრატეგიული, ოპერატიულ და ტაქტიკურ დონეებზე.

ოპერატიულ-სტრატეგიულ დონეზე, ხორციელდება საომარი მოქმედებების თეატრის და სახელმწიფოს სამხედრო-საინჟინრო მომზადება თავდაცვისათვის – ომისათვის. ოპერატიულ და ტაქტიკურ დონეებზე ხორციელდება ბრძოლების, ოპერაციების და საბრძოლო მოქმედებების საინჟინრო უზრუნველყოფა.

მშვიდობიანობის, ომის სამზადისის და განსაკუთრებით ბრძოლებისა და ოპერაციების საინჟინრო უზრუნველყოფის დროს, განსაკუთრებულად მნიშვნელოვანია საინჟინრო ვითარების შესწავლა.

საინჟინრო ვითარება, იმ ფაქტორებისა და პირობების ერთობლიობაა, რომლებიც ახასიათებენ ადგილმდებარეობას და მის საინჟინრო მოწყობას, მოწინააღმდეგისა და საკუთარი საინჟინრო

ჯარების მდგომარეობას და შესაძლებლობებს, სხვა ჯარების, ძალებისა და საშუალებების შესაძლებლობებს და მოქმედებებს საინჟინრო უზრუნველყოფის ამოცანების შესასრულებლად.

ტერიტორიის საინჟინრო შესწავლის შემდეგ, რაც გამოავლენს საინჟინრო ვითარებას, იწყება საინჟინრო უზრუნველყოფა.

საინჟინრო უზრუნველყოფა არის ოპერატიული უზრუნველყოფის სახეობა და იმ საინჟინრო ღონისძიებებისა და ამოცანების კომპლექსი, რომელიც სრულდება ჯარებისათვის ხელშემწყობი პირობების შესაქმნელად, მათი დროული და ფარული წინ წაწევის, გაშლის მანევრისა და საბრძოლო ამოცანების შესრულების, დაზიანების სხვადასხვა საშუალებებისაგან დაცვის ამაღლებისათვის, აგრეთვე, მოწინააღმდეგისათვის დანაკარგის მიუწვდომელისა და მისი მოქმედებების გაძნელებისათვის.

საინჟინრო უზრუნველყოფის ერთ-ერთი უმთავრესი პროცედურაა ადგილმდებარეობის სწორი მოწყობა, რომელშიც განსაკუთრებული ადგილი უკავია სამხედრო ინფრასტრუქტურის მოწესრიგებას და შექმნას. იგი არის ქვეყნის საომარი მოქმედებების თეატრის სტაციონარული და არასტაციონარული ობიექტების სისტემა ჯარების განლაგების, სწავლების, გაშლის უზრუნველყოფის და ოპერაციების, საბრძოლო მოქმედებების წარმოებისათვის.

სტაციონარული და არასტაციონარული ობიექტების უდიდეს ნაწილს წარმოადგენს საინჟინრო ნაგებობები, რომლის აქტუალური კომპონენტია სამხედრო ხიდები, რომლებიც იქმნება დაბრკოლებების გადასალახად.

ტაქტიკური დანიშნულებისა ან საბრძოლო გამოყენების პირობებიდან გამომდინარე განასხვავებენ სამხედრო ხიდების შემდეგ სახეობებს:

- უშუალოდ ბრძოლის ველზე ასაგები, ეგრეთ წოდებული - “საიეროშო” ხიდები, რომელთაც გააჩნიათ მკაცრად შეზღუდული დრო დაბრკოლებაზე გადებისა და იგი თანამედროვე ტაქტიკური და ოპერატიული მოთხოვნებით შეადგენს 3 – მაქსიმუმ 10 წუთს [2].
- საჯარისო შენაერთების მარშრუტზე ასაგები, ეგრეთ წოდებული - “გამცილებელი” ან “გამყოლი” ხიდები, რომელთა აგების დრო,

მაგალითად 48-მეტრიანი სიგრძის ხიდისათვის – 30÷90 წუთს შეადგენს.

— საკომუნიკაციო ზონაში განთავსებული, ეგრეთ წოდებული – “ზურგის” ხიდები, რომელთა დაჩქარებული აგების დრო შეზღუდული თითქმის არ არის.

ამასთან, “საიერიშო” ხიდები, რომლებიც როგორც შეტევის, ასევე უპანდახევის დროს ფორსირების ოპერაციებში დებულობენ მონაწილეობას, როდესაც ხიდზე ხორციელდება საცეცხლე ზემოქმედება, გადასალახ დაბრკოლებაზე აიგებიან ერთი სატრანსპორტო-სამონტაჟო საშუალებით – ტანკით და ხიდგამდების ეკიპაჟის ჯავშანტექნიკიდან გადმოსვლის გარეშე. თანამედროვე სამხედრო “საიერიშო” მექანიზებული ხიდები, როგორც წესი, არიან ერთმალიანი და მათი სიგრძე გაშლილ მდგომარეობაში შეადგენს 24 – მაქსიმუმ 32 მეტრს, ხოლო დაკეცილ მდგომარეობაში იგი განთავსებულია სატანკო ხიდგამდებზე და მისი სიგრძე შეადგენს 12–13,5 – მაქსიმუმ 16 მეტრს.

ამდენად, განსაკუთრებული ტაქტიკური და ოპერატიული მნიშვნელობა აქვს “საიერიშო” ხიდების მალის გაზრდას 32÷48 მეტრის ფარგლებში, რაც სამხედრო ხიდმშენებლობაში აქტუალური პრობლემაა.

მნიშვნელოვანია და ბოლო პერიოდში განსაკუთრებით აქტუალურია გასაშლელი დიდი სიგრძის მალის მქონე “საიერიშო”, მექანიზებული ხიდების გამოყენება სამოქალაქო მიზნებისათვის ექსტრემალურ სიტუაციებში და საგანგებო ვითარებებში.

საქართველოსათვის გასაშლელი გაზრდილმალიანი “საიერიშო” ხიდების შექმნა, რომელთაც ანალოგი არ გააჩნიათ, მნიშვნელოვანია არა მარტო საკუთარი სამხედრო და სამოქალაქო მიზნების მისაღწევად, არამედ მისი კომერციალიზაციის პირობებში საქართველო ხდება კონკურენტუნარიანი, მეცნიერებატეგიადი და მაღალტექნილოგიური სამხედრო-საინჟინრო ტექნიკის რეალიზატორი სამხედრო ტექნიკის საერთაშორისო ბაზარზე.

ამდენად, მიზნად იქნა დასახული 32÷48 მეტრი მალის მქონე “საიერიშო” ხიდის და მისი ტრანსპორტირებისა და მონტაჟის

დაჯავშნული მანქანის – სატანკო ხიდგამდების შექმნა, რომელიც შემდეგ მოთხოვნებს უნდა აკმაყოფილებდეს:

- გასაშლელი, მექანიზებული ხიდი უნდა იყოს ერთმალიანი;
- გასაშლელი ხიდის დაკეცილი პაკეტი, რომელიც განთავსებულია ხიდგამდებზე, უნდა აკმაყოფილებდეს პაკეტის ზღვრულ, ტრანსპორტირებისათვის დასაშვებ მოთხოვნებს და ასევე სატანკო ხიდგამდების მზიდუნარიანობის შესაბამისი წონაც უნდა გააჩნდეს;
- ხიდგადების პროცესი უნდა განხორციელდეს უმოკლესი დროის ინტერვალში 3÷10 წუთში, ამასთან იგი უნდა იყოს ტექნოლოგიური, სტაბილური, კონტროლირებადი და მართვადი;
- ხიდგადების და, ასევე, ხიდის დაბრკოლებიდან აღების პროცესი უნდა განხორციელდეს გადასალახი დაბრკოლების ორივე ნაპირიდან მხოლოდ ხიდგამდებით და მისი ეკიპაჟის ტანკიდან გადმოუსვლელად;
- ხიდს უნდა გააჩნდეს სათანადო საექსპლოატაციო პირობები და პარამეტრები;
- ხიდი უნდა იყოს დაცული სასარგებლო ტვირთის უარყოფითი ზემოქმედებისაგან და ნაკლებად დაზიანებადი საცეცხლე ზემოქმედებით;
- საცეცხლე ზემოქმედების შედეგად, ხიდის დაზიანების შემთხვევაში, იგი უმეტეს წილად უნდა იძლეოდეს საშუალებას ხიდგამდებით მისი გარკვეული ფორმით აკეცვისა და სატანკო ხიდგამდებით ბრძოლის გელიდან გატანისა;
- გასაშლელი ხიდი უნდა იყოს მრავალჯერადი გამოყენების.  
ასეთი კომპლექსური მიზნის მიღწევა შესაძლებელი გახდა დასმული ამოცანის გადაწყვეტისათვის მეცნიერული სიახლეების დამუშავებით, რაც შემდეგში მდგომარეობს:
- ნაშრომში შემოთავაზებულია განსხვავებული სისტემა გასაშლელი ხიდების მიერ ფორმის მიღწევისა, რომელიც ეფუძნება საინჟინრო ტრანსფორმირებადი სისტემების ფორმათწარმოქმნის თეორიას;
- ნაშრომში შემოთავაზებულია კლასი ახალი გასაშლელი ხიდებისა, რომელთა ფორმათწარმოქმნა განპირობებულია შეთავსებული,

- ორმაგი და სამმაგი ტრანსფორმაციის პრინციპით, მაშინ როდესაც შემოთავაზებული მეთოდით დგინდება, რომ არსებული გასაშლელი ხიდები ეფუძნება ტრანსფორმაციის ერთ რომელიმე პრინციპს;
- ტრანსფორმაციის რთული – შეთავსებადი პრინციპით შექმნილი გასაშლელი ხიდების სქემების მიხედვით, კონსტრუირების ლოგიკის საფუძველზე დამუშავდა ხიდებისა და ხიდგამდებების კონკრეტული გადაწყვეტები;
  - შეიქმნა გასაშლელი ხიდის საბაზო სტრუქტურა სამმაგი ტრანსფორმაციის პრინციპით და ხიდგადების ორმაგი პრინციპის შეთავსებით და სინთეზური სტრუქტურის ტექნიკური და ტექნოლოგიური გადაწყვეტით, რამაც მთლიანად უზრუნველყო ხიდისა და ხიდგამდებისათვის დასახული პარამეტრების სრულად დაკმაყოფილება.
  - ჩატარდა ექსპერიმენტული პარალელური, სადაც, ასევე თეორიული და ექსპერიმენტების შედეგების მონაცემლეობით, ხიდის მოდელის სტრუქტურის ფორმათწარმოქმნის და განსაკუთრებით ფორმის ფიქსაციის სისტემა დამუშავდა;
  - შექმნილი გასაშლელი ხიდებისათვის მიღწეულია საანგარიშო სქემების მოდელების შექმნა, რომელიც შეესაბამება სისტემის დაბაზულ-დეფორმირებულ სურათს ტრანსფორმაციის ფორმათწარმოქმნის ყველა ეტაპზე – დაკაცილი სატრანსპორტო პაკეტიდან დაწყებული, სისტემის გაშლის პროცესის და ფორმის საბოლოო ფიქსაციის ეტაპის ჩათვლით.
- შემოთავაზებული მეცნიერული სიახლეები დაფუძნებულია ტრანსფორმირებადი საინჟინრო სისტემების თეორიაზე, კონსტრუირების ლოგიკაზე, გაანგარიშების თანამედროვე პროგრამულ უზრუნველყოფაზე, რომელშიც მათემატიკური მოდელი საანგარიშო სისტემისა სასრულ ელემენტთა პრინციპით არის შესრულებული და თეორიული შედეგების ექსპერიმენტული კვლევებით დასაბუთებაზე.
- მიღებული შედეგების პრაქტიკული გამოყენება შესაძლებელია ხიდმშენებლობაში – სტრაფადასაგები, გასაშლელი ხიდების სახით, რომლებიც არიან ტრანსპორტირებადი და მრავალჯერადი გამოყენების.

# I. გასაშლელი ხიდების ფორმათწარმოქმნის ახალი სისტემატიზაცია და ორმაგი ტრანსფორმაციის სქემებზე გადასვლა.

## I. 1. ტრანსფორმირებადი სისტემების ფორმათწარმოქმნის ძირითადი სქემები.

მექანიზებული ხიდების აგების ძირითადი პროცესის გაშლა-  
დაკეცვის ანალიზი მრავალმხრივად ჩატარებული და ასევე  
ლიტერატურაში სათანადოდ შეფასებულია. მაგრამ, თუ დაგისახვთ  
მიზნად გაზრდილი მაღალი მქონე, ახალი საიეროშო ხიდის შექმნას,  
მაშინ კომპლექსური ამოცანის გადაწყვეტა აუცილებელი ხდება.

პირველ რიგში, საჭიროა ძიება ახალი კონსტრუქციული  
მასალებისა, რომელთა უქნებათ დიდი სააინგარიშო წინაღობა და ასევე  
მაღალი დრეკადობის მოდელი.

ასეთ მასალებად დღეს განიხილება მინაპლასტი, ნახშირპლასტი  
და სხვა კომპოზიციური და პოლიმერული მასალები. ამ მხრივ,  
მრავალი კვლევებია ჩატარებული, რომელთა ნაწილობრივ ასახვა პპოვა  
გასაშლელი ხიდების ცალკეულ ელემენტებში და მთლიანად  
კონსტრუქციებში [3] [4] [5].

ახალი მასალების ერთ-ერთ დამახასიათებელი ნიშნით უნდა იყოს  
მისთვის ფორმის მინიჭების მაღალი ტექნოლოგიურობა და მათი  
გამოყენებით მიღწეული ეკონომიური ეფექტი.

მეორე რიგში აუცილებელია თვით სტრუქტურული ანალიზის  
საფუძველზე, გასაშლელი ხიდების მზიდი და სავალი ნაწილების  
შესრულების კონსტრუქციული სახეცვლილება ან მათი გაუმჯობესება.

ეს დონისძიებაც მიზნად უნდა ისახავდეს ხიდის კონსტრუქციის  
საკუთარი წონის შემცირებას და მისი დამზადებისას ელემენტების  
ფრაგმენტების და ცალკეული კონსტრუქციული კვანძების დამზადების  
ტექნოლოგიური პრიცესების გამარტივებას [6] [7].

მაგრამ, კომპლექსური ამოცანის გადაწყვეტაში, ხიდის მაღის  
გაზრდის და მისი დაკეცილი სატრანსპორტო პაკეტისათვის დასაშვები

გაბარიტების შენარჩუნების მხრივ წინა პლანზე გადმოდის ხიდის ტრანსფორმაციის პროცესით ფორმათწარმოქმნის ახალი სქემების შექმნის აუცილებლობა – ხიდის გაშლა-დაკუცვის ახალი სპექტრით წარმოჩენა.

ასეთი ლოგიკით განხილვა გასაშლელი ხიდებისა – როგორც ტრანსფორმირებადი სისტემებისა, იძლევა მათი სატრანსპორტო დაკუცილი პაკეტიდან გაცილებით მეტი გაბარიტების ხიდების შექმნის შესაძლებლობებს.

სწორედ გასაშლელი ხიდის ანალიზი, ტრანსფორმაციის მიხედვით, ფორმათწარმოქმნის თეორიით და სათანადო დასკვნების გაპეტებით, წარმოადგენს კვლევის ერთ-ერთ ძირითად მიზანს, რომელიც ამ თავშია მოცემული [8].

თუ მექანიზმებულ ხიდს წარმოვიდგენთ ტრანსფორმირებად სისტემად, მაშინ იგი შედგება ორი ძირითადი ბლოკისაგან:

- ხიდგამდების ბლოკი, რომელიც წარმოადგენს სათანადო მექანიზმებით აღჭურვილ სატრანსპორტო-სამონტაჟო საშუალებას;
- ხიდის ბლოკებისაგან, რომელიც ერთი ან რამოდენიმე ულემენტებისაგან შედგება.

მათი მთლიანობაში, ტრანსფორმირებად სისტემებად განხილვისას შეიძლება ორივე ბლოკი იყოს ფორმათწარმოქმნის მონაწილე, ან შესაძლებელია მხოლოდ ხიდის ბლოკების ასრულებდეს ტრანსფორმაციის პროცესებს.

მექანიზმებული ხიდები, განაპირობებენ სახიდე კონსტრუქციისა და საბაზო მანქანის განსაზღვრულ დამოუკიდებლობას. ეს ყოველივე, უზრუნველყოფს მისი დამზადების ტექნოლოგიისა და მთლიანი კონსტრუქციის შედარებით სიმარტივეს და ქმნის საბაზო მანქანების სახით, მექანიზმებული ხიდების მანქანათა, სერიულად წარმოების შესაძლებლობას, რაც განსაზღვრავს ასეთი გაერთმომლიანების ეკონომიკურ მიზანშეწონილობას.

საბაზო მანქანის სპეციალურ ხიდგამდებ მანქანად გადაქვევა, იძლევა მისი გაუნივერსალურების საშუალებას. ერთიდაიგივე ხიდგამდები, მიმდევრობით შეიძლება გამოყენებულ იქნას, რამოდენიმე

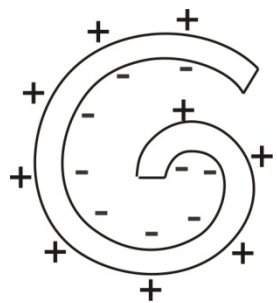
ზღუდებები ხიდის გადებისათვის, როგორც საკუთარი ხიდგამდებით გადასატანი, ასევე სათადარიგო, ჩვეულებრივი ტრანსპორტით გადამტანი სახიდე კონსტრუქციებისათვის. ეს ფაქტი ზრდის შესაძლო ეკონომიკურ ეფექტს, ვინაიდან მექანიზირებული ხიდების საკმაოდ ძვირადღირებულ ნაწილს წარმოადგენს ხიდგამდები.

მექანიზირებულ ხიდებში, ხიდგამდების მეშვეობით, არსებობს ხიდის გადების რამოდენიმე მეთოდი: წამოცმით ან გადაბრუნებით, როგორც მთელი, ასევე დაკეცვადი მაღიანი ნაგებობების და ან სახიდე ბლოკებისა.

მიუხედავად ამისა, გასაშლელი ხიდების, როგორ ტრანსფორმირებადი სისტემების, ფორმატწარმოქმნის თეორია, მათ ერთიანობაში განიხილავს. ამის საფუძველს წარმოადგენს ტრანსფორმირებადი სისტემების თეორია [9].

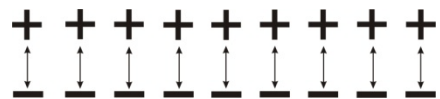
გასაშლელი ხიდების კონსტრუირების ლოგიკის მიხედვით, მნიშვნელოვანია ტრანსფორმირებადი სისტემების თეორია, რომელშიც განხილულია ფორმატწარმოქმნის სამი ძირითადი პრინციპი:

### 1. დახვევის პრინციპი. (ფიგ. I. 1)

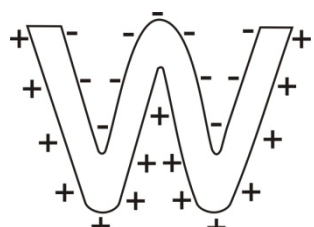


ფიგ. I.1

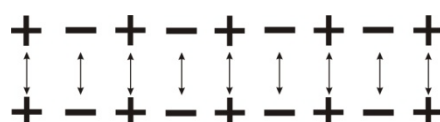
ასეთ მოდელში სისტემის დახვევის ან გაშლის დროს, შესაბამისად ადგილი აქვს მისი საპირისპირო მხარეების (+ -) ურთიერთ-დაახლოებას ან დაშორებას, რაც სიმბოლოების მიხედვით შემდეგნაირად დაიწერება:



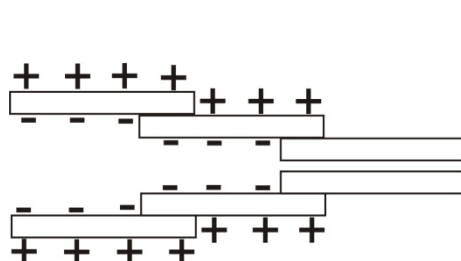
### 2. დაკეცვის პრინციპი. (ფიგ. I. 2)



ასეთ მოდელში სისტემის დაკეცვის ან გახსნის დროს შესაბამისად ადგილი აქვს მისი ერთიდაიგივე მხარეების (+ ; +) და (- ; -) ერთმანეთან დაახლოებას ან დაშორებას, რაც სიმბოლების მიხედვით შემდეგნაირათ დაიწერება:

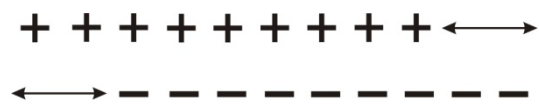


### 3. ტელური ვიზ. I.2 ნციპი. (ვიზ. I.3)



#### ვიზ. I.3

ასეთ მოდულში სისტემის  
დაკეცვისა და გახსნის დროს,  
ადგილი აქვს სხვადასხვა ელემენ-  
ტების, სხვადასხვა სიმბოლოების  
(+ -) მქონე ზედაპირების  
ურთიერთ გრძივად გადაადგილე-  
ბას. ეს იწვევს დაკეცვასა და  
გახსნას, რაც სიმბოლოებით  
შემდეგნაირად დაიწერება:



განხილული პრინციპების მიხედვით, თუ გავაკეთებთ  
სისტემატიზაციას, მაშინ გასაშლელი ერთმალიანი ხიდების გაშლა-  
დაკეცვა და გადასალახ წინააღმდეგობებზე გადების შემდეგ ლოგიკურ  
სქემებს მივიღებთ, რომლებიც მთლიანობაში ორ ძირითად ჯგუფად  
იყოფა.

ტრანსფორმაციის პროცესების ორ ძირითად ჯგუფად დაყოფა,  
გამოწვეულია იმით, რომ სისტემების ანალიზისათვის მოხდეს  
განცალკევება პროცესებისა, რაც დაკავშირებულია ხიდის, როგორც  
ერთიანი ტრანსფორმირებადი სისტემის დამოუკიდებლად განხილვისა,  
იმისდა მიხედვით იგი წინააღმდეგობაზე გაიღება “წამოცმის” თუ  
“გადაბრუნების” მეთოდით.

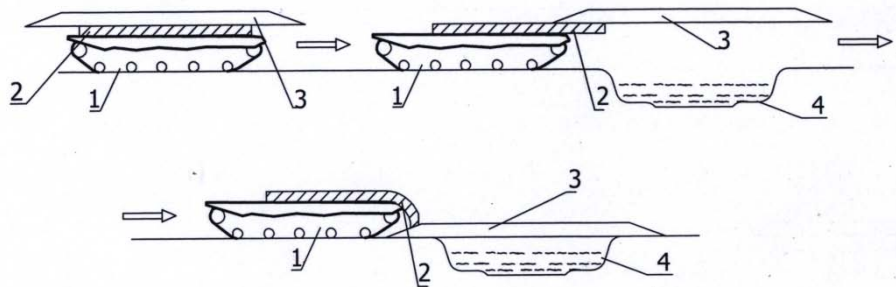
#### I. 2. ტრანსფორმირებადი სისტემების პრინციპული სქემების განხილვა “წამოცმის” მეთოდით ასაგებ ხიდებში.

ზღუდეზე ხიდის გადება, როგორც ერთიანი კონსტრუქციული  
სისტემისა, რიგ შემთხვევაში, ხორციელდება “წამოცმის” მეთოდის  
გამოყენებით.

ასეთ შემთხვევაში ხიდის ერთიანი მაღის ნაშენი ხიდგამდების  
საშუალებით გადაადგილდება გადასალახი დაბრკოლების

მიმართულებით. მთლიანი, გახსნილი კონსტრუქცია ეყრდნობა დაბრკოლების მოპირდაპირე ნაპირს და მხოლოდ ამის შემდეგ ხდება მისი მოცილება ხიდგამდებიდან, დაბრკოლების უახლოეს ნაპირზე დაშვებით. მანმადე ხიდი, როგორც ერთიანი კონსტრუქციული სისტემა ომყოფება კონსოლურ მდგომარეობაში, რომელიც ჩამაგრებულია ხიდგამდების სპეციალურ მოწყობილობაში.

xi di s ko nst r uqc i a dakec va-gaSl i s gar eSe mi t aneba da gai deba gadasal ax wi naaRmdego baz e “wam o c m i s” meT o di T (ფიგ. I.4)

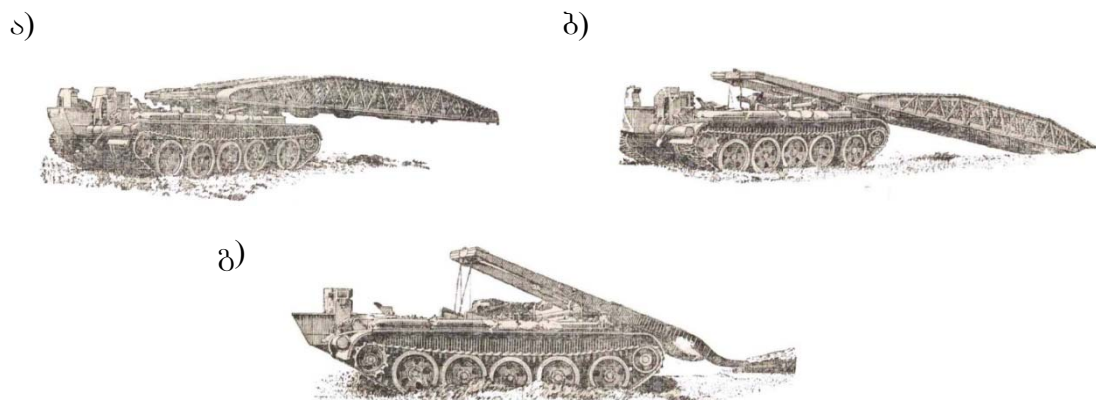


ფიგ. I.4

- სატრანსპორტო საშუალება; 2. - სამონტაჟო საშუალება; 3. - ხიდის კონსტრუქცია; 4. - გადასალახი წინააღმდეგობა.

აღნიშნული სქემა საიერიშო ხიდებისა ფართოდ იყო გამოყენებული ადრინდელ გადაწყვეტებში. ამის მაგალითად შეიძლება განვიხილოთ მოდიფიკაციები რუსული ხიდგამდებისა - MTU (ფიგ.I.5).

ასეთი ხიდების სიგრძე, გამომდინარე მისი სატრანსპორტო პაკეტის ზღვრული გაბარიტებიდან, არ შეიძლება ყოფილიყო 12 მეტრზე მეტი [10].



ფიგ. I.5 ხიდის გადების პროცედურა გადასალახ დაბრკოლებაზე შესრულებული ხიდგამდების მიერ “წამოცმის” მეთოდით.

- ხიდი კონსოლურად არის გამოწეული ხიდგამდებიდან;
- ხიდი დაეყრდნო გადასალახი წინააღმდეგონის შორეულ ნაპირს;
- ხიდგამდებბა დაუშცა ხიდი ახლო ნაპირზე.

ხიდის კონსტრუქციის გადების პროცესი გადასალახ წინააღმდეგობაზე, როდესაც ის ხორციელდება ხიდგამდებზე “წამოცმის” მეთოდით, აუმჯობესებს ხიდგამდების მომსახურე პერსონალის ხედვის არეალს. სამუშაო ზონის ხედვა საკმაო დიაპაზონშია როგორც ხიდის გადების. ასევე მისი დაბრკოლებიდან ახსნის პროცესში. და ეს პროცედურა, როგორც წესი, ხორციელდება ხიდგამდების ეკიპაჟის – მომსახურე პერსონალის ჯავშანმანქანიდან გადმოსვლის გარეშე.

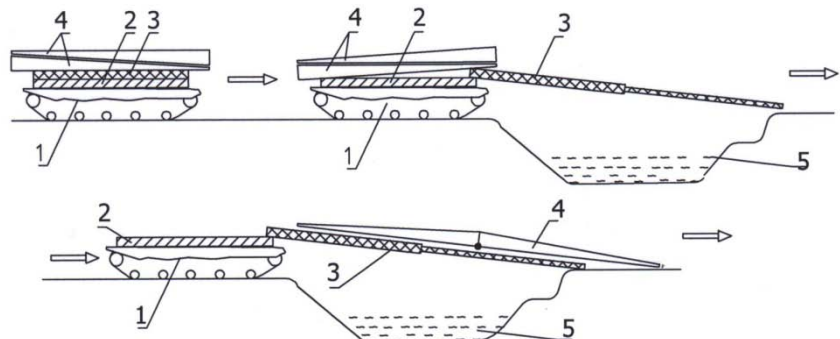
განსაკუთრებული უპირატესობა ხიდის გადებისა “წამოცმის” მეთოდით არის მისი გაშლა და აღების პროცესში, ხიდის მუდმივი მდებარეობა დაბალ დონეზე და ამასთან ერთად პორიზონტალურ მდგომარეობაში, რაც მაქსიმალურად უზრუნველყოფს მასზე საცეცხლე ზემოქმედების წარმოებას.

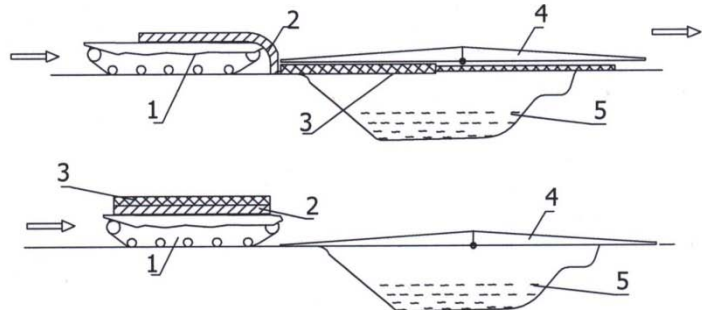
მთლიანობაში, ხიდის დაკეცილი კონსტრუქციის სატრანსპორტო პაკეტი, რომელიც განთავსებულია ხიდგამდებზე უნდა აკმაყოფილებდეს დაშვებულ სატრანსპორტო გაბარიტებს. ეს შეზღუდვა შეეხება მის სიგრძეს, რომელიც შეადგენს 12–13 ან უკეთეს შემთხვევაში 15–16 მეტრს, და მის სიმაღლეს, რაც მყარად არის განსაზღვრული სხვადასხვა ქვეყნების მიხედვით და მისი მინიმალური მნიშვნელობა აღწევს 4მ-ს.

რაც შეეხება ხიდის სიგანეს, იგი ტაქტიკური და ოპერატიული მოთხოვნებიდან გამომდინარე აიღება მაქსიმუმ 4,2 მეტრის ტოლი.

ამდენად, გარკვეული წინაპირობის შემდეგ, დაბრკოლებაზე ხიდის გადების “წამოცმის” მეთოდით შესაძლებელია ტრანსფორმაციის შემდეგი მარტივი პროცესების განხილვა.

I. xi dis mal i s danawevr ebul i bl o kebi T da t el esko pur i i sr i T , xi dis mal i s naSeni s mo wyo ba gadasal ax wi naaRmdego baz e (ფიგ. I.6).





ფიგ. I.6

1. სატრანსპორტო საშუალება; 2. სამონტაჟო საშუალება; 3. ტელესკოპური ისარი; 4. ხიდის მალის დანაწევრებული ბლოკები; 5. გადასალახი წინააღმდეგობა.

აღნიშნული მეთოდი გარკვეულწილად გულისხმობს ტრანსფორმირებადი სისტემების, ჩვენს მიერ ზემოთ განხილული, “ტელესკოპის პრინციპი”. ამასთან, მასში განსაკუთრებით ხიდის ორი ბლოკის გაერთიანება მალის ნაშენად შეიძლება შევადაროთ ასაწყობი ელემენტებისაგან კონსტრუქციის მონტაჟს. ყველა შემთხვევაში წარმოდგენილი სქემა პირველ ეტაპზე წარმოადგენს ასაწყობი ხიდის მალის ნაშენისათვის ტელესკოპური ბაზის შექმნას და შემდგომ მასზე, მალის ბლოკების მიმდევრობითი “დაცურებით” და გაერთიანებით, გადასალახი წინააღმდეგობაზე ხიდის აგება [11].

ანალოგიური სქემით ხორციელდება, ერთ სატრანსპორტო საშუალებაზე განთავსებული გერმანული ხიდის MLC70 LEGUAN მონტაჟი. იგი ტანკ “ლეოპარდის” ბაზაზეა შექმნილი. მისი საშუალებით 26 მეტრიანი წინააღმდეგობის დაძლევა შეიძლება (ფიგ. I.7).

ა)



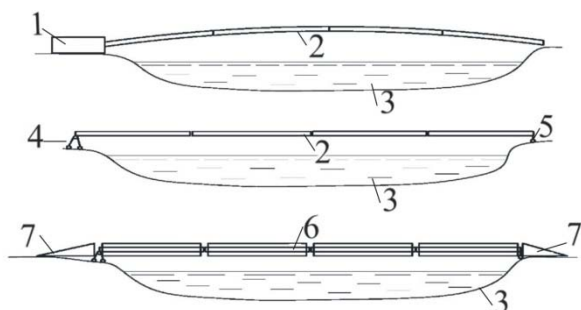
ბ)



- ფიგ. I.7 – ა) ხიდგამდები, რომელიც ხიდს გადასალახ წინააღმდეგობაზე დებს “წამოცმის” მეთოდით სატრანსპორტო მდგომარეობაში; ბ) ხიდგამდები, ტელესკოპის ისრის გამოყენებით ამონტაჟებს “ტელესკოპის პრინციპით”, ტრანსფორმირებად ხიდს.

ასეთი პრინციპი, შედარებით შრომატევადი და რთულია “საიერიშო” ხიდებისათვის. ამასთან, იგი ძალიან ეფექტურად გამოიყენება ეგრეთწოდებული “გამყოლი” ხიდების შექმნისას.

გამყოლი ხიდების აგებისას, რომელთა სიგრძე 48-60 მეტრსაც კი აღწევს, გამოიყენება სპეციალური სამონტაჟო ტექნიკა და მრავალ სატრანსპორტო საშუალებებზე განთავსებული ხიდის მალის ცალკეული ბლოკები. ამასთან, მონტაჟის დრო 30- 45 - 120 წუთამდეც კი იზრდება (ფიგ. I.8).



ფიგ. I.8 – სამონტაჟო ელემენტები და მათზე აგებული ხიდის მალი

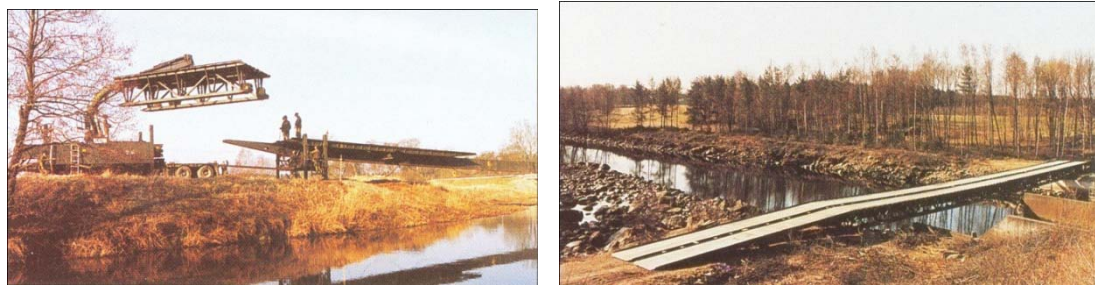
1. -ხიდის მონტაჟის მექანიზმი; 2. ისარი, რომელიც იგება ტელესკოპურად ან თანმიმდევრობითი მონტაჟით; 3. გადასალახი წინააღმდეგობა; 4-5. ხიდის საყრდენები ნაპირზე; 6. მალის ცალკეული ბლოკები; 7. ხიდზე შესასვლელები.

ყველაფერი ეს, მონტაჟის დროს სატრანსპორტო საშუალებების რაოდენობისა და მომსახურე პერსონალის მანქანიდან გადმოსვლის გამო, მიუღებელია “საერიშო” ხიდებისათვის.

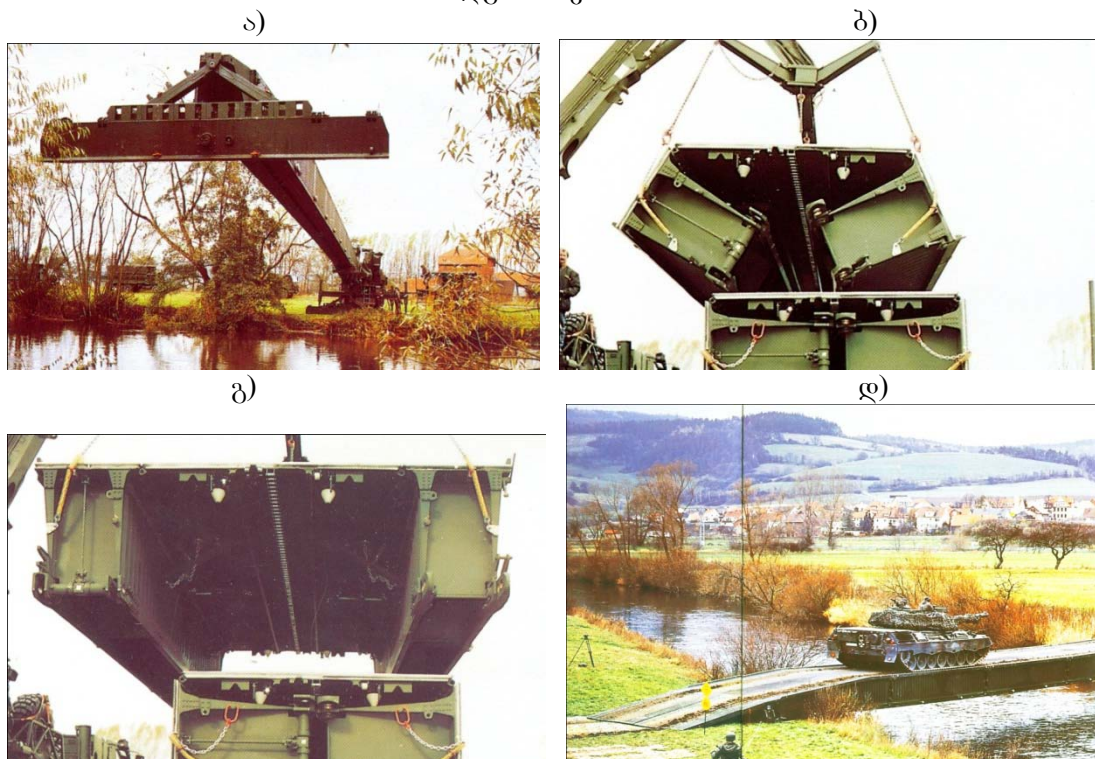
უნდა აღინიშნოს, რომ ხიდის აგება სამონტაჟო ისრის გამოყენებით ფართო გავრცელებას პოულობს ეგრეთ წოდებულ “გამყოლ” ხიდებში.

შექმნილია მრავალი ერთმალიანი გამყოლი ხიდები. მათ შორის არის შვედური FAST BRIDGE 48 (FB 48) და გერმანული DoFB (ფიგ. I.9; ფიგ. I.10).





**ფიგ. I.9 – შეედური, 48 მეტრი მალის, „გამყოლი“ ასაწყობ-დასაშლელი ხიდი.**  
ა) ხიდის „ისრის“ აგება; ბ) სანაპირო ბლოკის მოწყობა; გ) ხიდის მზიდი კონსტრუქციის ასაწყობი ბლოკების მონტაჟი; დ) ხიდი საექსპლოატაციო მდგომარეობაში.



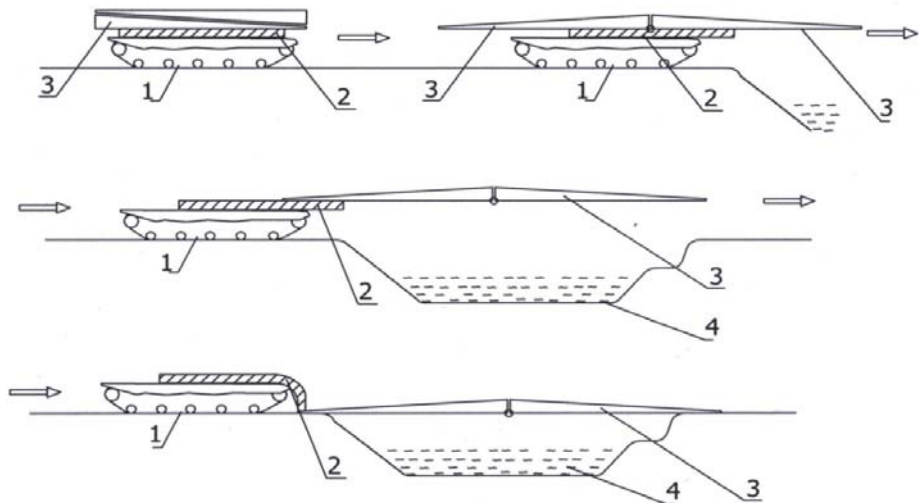
**ფიგ. I.10 – გერმანული, 48 მეტრი მალის, „გამყოლი“ ასაწყობი – ტრანსფორმირებადი ხიდი.**

ა) ხიდის საყრდენი „ისრის“ მონტაჟი; ბ) ხიდის მზიდი ტრანსფორმირებადი ბლოკის ფირმათწარმოქმნის პროცესის განხორციელება; გ) გახსნილი ტრანსფორმირებადი ხიდის ბლოკის მონტაჟი; დ) ხიდი საექსპლოატაციო მდგომარეობაში.

შემოთავაზებული დიდი ზომის ერთმალიანი ხიდები ზომით  $48 \times 60$  მეტრი, რომლებიც მზიდი კარგასის ისრის გამოყენებით ხორციელდება, არ შეიძლება გამოყენებული იქნას ეგრეთ წოდებულ „საიერიშო“ ხიდებში. დამატებით ორი პირობის გამოც.

ჯერ ერთი, ისინი საჭიროებენ დიდ დროს მზიდი კარგასისა და შემდგომ მასზე მალის ნაწილების მოსაწყობად და, მეორეც ის, რომ მათი განთავსება ხდება მრავალ სატრანსპორტო საშუალებაზე.

II. xi di s mal ebi s danawevr eb ul i bl o kebi sagan mTl i ani mal i s naSeni s mo wyo ba da mi si gadeba gadasal ax wi naaRmdego baz e (ფიგ.I.11).



ფიგ. I.11

1. სატრანსპორტო საშუალება; 2. სამონტაჟო საშუალება; 3. ხიდის მაღის კონსტრუქციის დანაწევრებული ბლოკები; 4. გადასალახი წინააღმდეგობა.

განსხვავებით წინა შემთხვევისგან, ხიდის მონტაჟი აღნიშნული სქემით წარმოადგენს ტიპიურ შემთხვევას ტრანსფორმაციით ფორმის შექმნის მესამე პრინციპისა. აქ ხდება ურთიერთგასრიალება ხიდის კონსტრუქციის ბლოკებისა და, ბოლო ეტაპზე, მათი გაერთიანება [12].

ფიგურაზე (ფიგ. 12) წარმოდგენილია კონკრეტული მაგალითები მოცემული მეთოდით ხიდების აგებისა, სათანადო კომპანიების და ხიდგამდებების ტაქტიკური და ტექნიკური პარამეტრების ჩვენებით.



**ფიგ. I.12 - LEGUAN** სისტემის ხიდგამდები, გასაშლელი ხიდით.  
ა) ხიდგამდები და მასზე განთავსებული 26 მეტრი სიგრძის ხიდის ორი  
ნაწილისაგან შემდგარი პაკეტი; ბ) გამოთლიანებული ხიდი, რომელიც  
კონსოლურ მდგომარეობაში ემაგრება ხიდგამდებს.

LEGUAN-1 სისტემის ხიდგამდების და ხიდის ძირითადი  
პარამეტრებია:

საერთო წონა – 50,00 ტ; ხიდის სავალი ნაწილის სიგანე – 3,850;  
ხიდგამდების მაქსიმალური სიმაღლე დაკეცილ პაკეტთან ერთად – 4,01  
მ; ხიდის დაკეცილი პაკეტის სიგრძე – 13, 37 მ; ხიდის სრული სიგრძე  
– 26 მ; სამხედრო ტკირთის კლასი – MLC-70; კონსტრუქციული  
მასალა – ალუმინის შენადნობები; ხიდის წონა – 10,8 ტ.

LEGUAN-ის სისტემა ასევე განხორციელებულია პნევმო-  
საგორავებიან ტრანსპორტზე განთავსებით (ფიგ. I.13) და (ფიგ. I.14).



**ფიგ. I.13 - LEGUAN-ის** სისტემის გასაშლელი ხიდი განთავსებული  
აგტომისაბმელიან სააგტომობილო სატრანსპორტო საშუალებაზე.



#### **ფიგ. I.14 – LEGUAN-1-ის სისტემის ხიდის გაშლის პროცესი.**

აღსანიშნავია, რომ საავტომობილო ხიდგამდებები ფართოდ გამოიყენება როგორც სამსედრო მიზნებისათვის “გამყოლ” ხიდებადაც და ასევე სამოქალაქო მიზნებისათვისაც ექსტრემალურ სიტუაციებში და საგანგებო ვითარებებში.

ხიდგამდების მიერ ხიდის აგების “წამოცმის” მეთოდი საკმაოდ ართულებს ხიდგამდებზე მოწყობილ მექანიკურ სისტემებს. ისინი ფაქტიურად წარმოადგენენ მრავალფუნქციურ აგრეგატებს, რომლებიც ხიდ ემაგრებიან სატრანსპორტო მდგომარეობაში, სმოლისნებს მას მონტაჟის წინ, რისთვისაც ხიდის ცალკეული ბლოკის გამაერთიანებელი კვანძების მონტაჟიც ხიდგამდების მოწყობილობამ უნდა უზრუნველყოს, და რაც მთავარია, კონსოლურად “უკავიათ” მთლიანი, გაშლილი ხიდის კონსტრუქცია, რომლის შემდეგ ასევე ხიდგამდების მექანიკამ უნდა უზრუნველყოს მისი დაშვება გადასალახი დაბრკოლების ნაპირებზე.

მიუხედავათ ასეთი სირთულეებისა, ხიდმშენებლობაში გამოიყენება არა ორი ბლოკისაგან შედგენილი ხიდები, რომლებიც ურთიერთის მიმართ “გასრიალების პრინციპით” აიგებიან, არამედ სამი ბლოკისაგანაც ხდება ხიდების შექმნა (ფიგ. I.15) [13].

ა)



ბ)



#### **ფიგ. I.15 – ხიდგამდები ხიდის PSB2 სამი ბლოკით დატგირთული**

- ა) ხიდგამდები სატრანსპორტო მდგომარეობაში;
- ბ) ხიდი საექსპლოატაციო მდგომარეობაში.

ხიდგამდები, სწრაფადასაგები მოდელებიანი ხიდისა PSB2 წარმოადგენს ხიდმშენებლობის ახალი თაობის შესაძლებლობებს: მოდულური, მაქსიმალური მობილურობით ბრძოლის ველზე და მინიმალური დანახარჯებით გადასასვლელზე. ეს ინოვაციური პროდუქტი გამოირჩევა ტექნიკური შესრულების სრულყოფით. PSB2 იმართება ორკაციანი რაზმით და მიეკუთვნება MLC-70 კლასს მუხლუხა საშუალებებისა და MLC100 თვლიანი სატრანსპორტო საშუალებებისათვის. LEOPARD 2 chassis შასი უზრუნველყოფს მობილურიბას და საიმედოობას, აგრეთვე საერთაშორისო სტანდარტიზაციას და სისტემის თავსებადობას.

სამი სახიდე მოდული, თითოეულის სიგრძე 9,7 მ, შესაძლებელს ხდის დაბრკოლების სიგანის შესაბამისად მოახდინოს კომბინაცია და შესაბამისად ვლებულობთ – 9,7, 18,7 და 27,7 მეტრის ხიდს.

PSB2 ძირითადი მახასიათებლებია:

- სამხედრო ტვირთის კლასი MLC 70/100 ხიდისათვის;
- ხიდების მოდულირი სისტემა, რომელიც შედგება სამი მოდელისაგან, თითოეული 9,7 მ.
- ერთი მოდულის წონა 5,040 კგ.
- მოდულების სამი კომბინაცია: 9,7, 18,7 და 27,7 მ. ხიდის თითო კომბინაციის შესაბამისი წონა: 5,040 კგ, 10080 კგ, 15120 კგ.
- პორიზონტალური გაშლა.
- გაშლის დრო – 5 წ. (მოკლემალიანი ხიდისათვის), 10 წ. (გრძელმალიან ხიდისათვის).
- ცვეთა – 30 წელი (1000 გადალახვა 3000 გაშლა).

გაშლის (გასაშლელი) მოწყობილობა, ხიდის საჭიროსიგრძის შესაბამისად, უზრუნველყოფს “სახიდე მოდულების გამოწევას “სახიდე საწყობიდან”.

მიუხედავად ჩამოთვლილი მრავალი დადებითი თვისებებისა, “საიეროშო” ხიდებში, რომლებიც ტელესკოპის პრინციპით გულისხმობს ფორმათწარმოქმნას, წარმოიშობა მაღის შეზღუდვა – 24, მაქსიმუმ 32 მეტრის ფარგლებში. ამის შემდეგ შეუძლებელი ხდება მისი ზრდა, რაც პირველ რიგში ხიდის ბლოკებით დატვირთული ხიდგამდების გაბარიტების, უპირატესად კი სიმაღლის პირობით არის შეზღუდული.

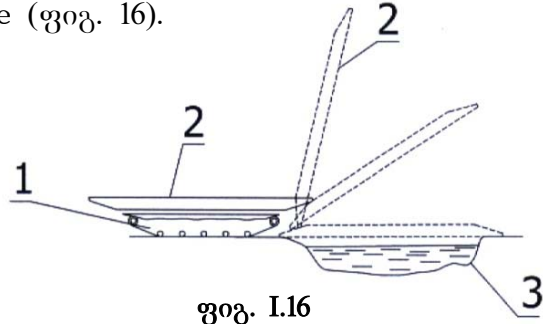
ამიტომ, რიგ შემთხვევაში, მალის გაზრდისათვის შემოთავაზებულია ორ ხიდგამდებზე განთავსებული ხიდები [14] [15].

### I. 3. ტრანსფორმირებადი სისტემების პრინციპული სქემების განხილვა “გადმობრუნების” მეთოდით ასაგებ ხიდებში

სამხედრო გასაშლელ მექანიზებულ ხიდებში ფართოდ გამოიყენება ხიდგამდების მიერ ხიდის გადასალახ დაბრკოლებაზე “გადაბრუნებით” აგების მეთოდი [16] [17].

როდესაც ხიდგამდების მიერ ხიდის აგების მეთოდს განვიხილავთ, კვლავ ავღნიშნავთ, რომ აღნიშნული მეთოდი არ გულისხმობს თვით ხიდის ტრანსფორმაციის პროცესებს. აქ ხიდის კონსტრუქციის ფორმათწარმოქმნა კი არ განიხილება, არამედ საკითხი შეეხება ხიდს, როგორც ერთიანი კონსტრუქციის გადასალახ წინააღმდეგობაზე ხიდგამდების მიერ აგების მეთოდს. სქემატურად ეს მეთოდი წარმოდგენილია ფიგ. I.16-ზე.

xi di s ko nst r uqc i i s “gadabr unebi s” meT o di T gadeba gadasal ax wi naaRmdego baz e (ფიგ. 16).



1 – სატრანსპორტო საშუალება; 2 – ხიდის მალის კონსტრუქცია; 3 – გადასალახი წინააღმდეგობა.

აღნიშნული მეთოდის მიხედვით შექმნილია მრავალი ხიდგამდები. მათ შორის დიდი ბრიტანეთის შეიარაღებაში არსებული “Titan” – Armoured Vehicle Launcher Bridge (AVLB). ხიდგამდებები აგებულია ძირითადად მძიმე ტანკების Chie Ftain და Chellebger-2-ის ბაზაზე (ფიგ.I.17).

ხიდის აგება “გადაბრუნების” მეთოდით აიოლებს დასაყენებელი მექანიზმების მართვას, ვინაიდან მძღოლ-მექანიკოსისთვის უმჯობესდება ხიდის აგებისათვის საჭირო არიალის ხედვა, მაგრამ მოწყობილობების

სისტემა და სხვა მექანიზმები, რომელთა მეშვეობითაც ხორციელდება ხიდის გადაბრუნება, გარკვეულწილად უზღუდავს მძღოლ-მექანიკოსს ხედვის არიალის გარჩევადობას.



ფოგ. I. 17 – “Titan”-ის კლასის ერთმალიანი და ერთბლოგიანი ხიდის მონტაჟი,  
ხიდგამდებიდან მისი ”გადაბრუნებით”.

მექანიზირებულ ხიდებში, სახიდე კონსტრუქცია, სპეციალური მექანიზმები და საბაზო მანქანა, როგორც საველე სვლისას, ასევე ხიდის გადებისას, კონსტრუქციულად მუდმივად დაკავშირებულნი არიან ერთმანეთთან. თავად საბაზო მანქანა წარმოადგენს ხიდის საბჯენს. ამგვარი მეთოდის გამოყენებით, უკეთაა შესაძლებელი, რომ ხიდის დაბრკოლებაზე გადების ყველა ამოცანა გადაწყვეტილ იქნას, ეკიპაჟის მანქანიდან გადმოუსვლელად. ამასთან, შესაძლებელია მიღწეულ იქნას, ხიდის ზღუდეზე გამოყენების მზადყოფნის მაღალი ხარისხი და აგების სწრაფი ტემპი.

“გადაბრუნების” მეთოდით შემოთავაზებული ხიდების დიდ ნაწილში გამშლელი ენერგეტიკული მექანიზმები თბით გასაშლელ ხიდშია განთავსებული [18].

ასევე გასათვალისწინებელია ის გარემოება, რომ “გადაბრუნების” მეთოდით ხიდის აგების, მისი რადიოაქტიურ ადგილას ექსპლუატაციის, ან მისი ტალახით ძლიერი დაბინძურების შემდეგ ხიდის ხიდგამდებზე განთავსებამდე აუცილებელია სავალი ნაწილის გულმოდგინე გასუფთავება და მხოლოდ უკვე ამის შემდეგ, მისი აკეცვა და ხიდგამდებზე დატვირთვა. ეს აიხსნება იმით, რომ მთელი მალიანი

ნაგებობა ხიდგამდებზე, იდება სავალი ნაწილით ქვემოთ და შესაბამისად მთელი მოწამლული გრუნტი ხვდება საბაზო მანქანის ტრანსმისიასა და ხიდის დასაყენებელ მექანიზმებში. ეს პროცედურები არ არის იოლად შესასრულებელი და ისინი გარკვეულ დროს მოითხოვენ.

ასევე გასათვალისწინებელია ხიდის “გადაბრუნების” მეთოდით გამოყენებისას, ხიდის ვერტიკალურ პოზიციაში ყოფნისას მისი განივი მდგრადობის შემცირება.

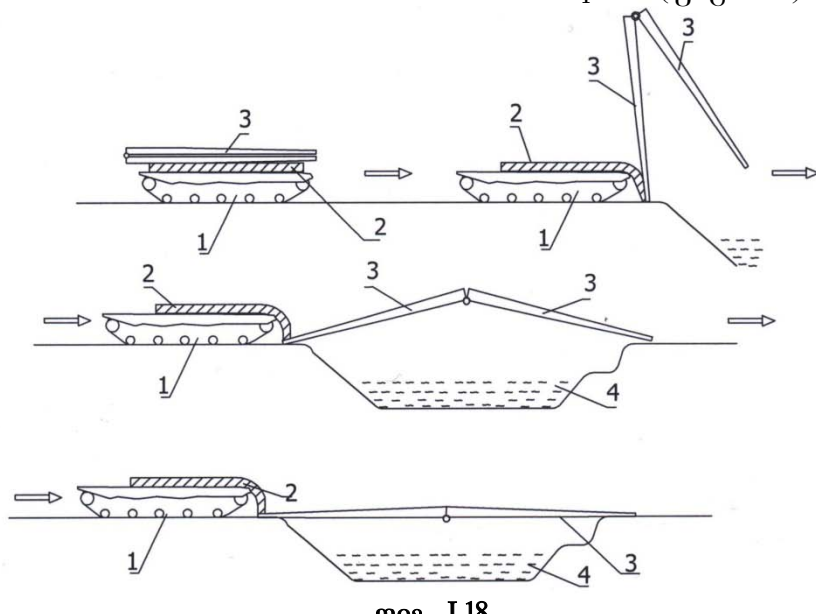
როგორც აღინიშნა “საიერიშო” ხიდები შეიძლება ხიდგამდებზე განთავსდეს, როგორც ერთიანი კონსტრუქცია მისი დანაწევრების და დანაწევრებულ ნაწილებს შორის კავშირების მოწყობის გარეშე, ასევე ტრანსფორმირებადი სისტემის სახით [19].

სწორედ “გადაბრუნების” მეთოდით ხიდის აგებისას, ტრანსფორმირებადი ხიდების შემთხვევაში ფართოდ გამოიყენება ხიდის ფორმატწარმოქმნა “მაკრატელის” და “ორმაგი მაკრატელის” სქემების მიხედვით.

ეს პრინციპი იძლევა საშუალებას ხიდის სატრანსპორტო გაბარიტის – სიგრძის შემცირებისა იმის სანაცვლოდ, რომ იგი შედგება სახსრულად დაკავშირებული ორი ან სამი ბლოკისაგან.

პირველ რიგში განვიხილოთ ხიდის ფორმატწარმოქმნა “მაკრატელისებრი” კონსტრუქციისაგან.

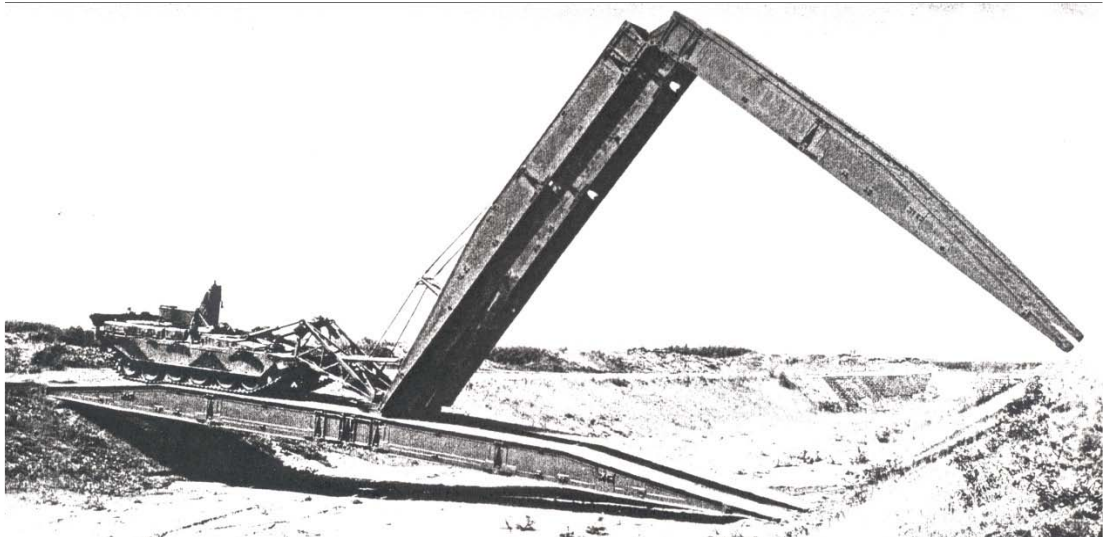
I. xi dis mal i s ‘makr at l i sebr i ’ konst r uqc ia (ფიგ. I.18).



1 – სატრანსპორტო საშუალება; 2 – სამონტაჟო საშუალება; 3 – ორი ნაწილისაგან შემდგარი, მაკრატელას პრინციპით გაერთიანებული მალის კონსტრუქცია; 4 – გადასალახი წინააღმდეგობა.

ხიდის მალის სიდიდე, სატრანსპორტო პაკეტში მისი დანაწევრებული დაკეცვის გარეშე, როგორც წესი, არ შეიძლება იყოს 12 მეტრზე მეტი, თუმცა არსებობს 16 მეტრი სიგრძის სატრანსპორტო პაკეტებიც, რაც ზოგადად ტრანსპორტირების პირობით არის შეზღუდული. ამიტომ გასაშლელი ხიდები და, მით უმეტეს, სამხედრო ხიდები, ძირითადად “მაკრატელის” პრინციპის მიხედვით ხორციელდება.

ამ მხრივ, რეალურად განხორციელებულია მრავალი ხიდის კონსტრუქცია და მათი მოდიფიკაციები (ფიგ. I.19).

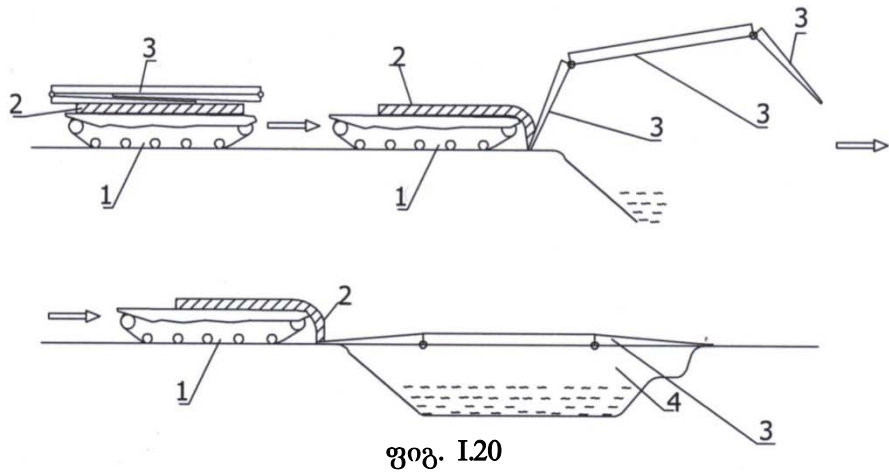


ფიგ. I.19 – გასაშლელი ხიდის “მაკრატლისებრი” კონსტრუქცია.

განხილული ხიდგამდები და “მაკრატლისებრი” ხიდის კონსტრუქცია საშუალებას იძლევა გადაილახოს დაბრკოლება მალით 24,5 მეტრი. მთლიანად განხილული ხიდის ზომა სიგრძეში შეადგენს 26 მეტრს.

გარდა ფიგ. I.15-ზე წარმოდგენილ საიერიშო ხიდის და ხიდგამდების სქემისა, რომელიც ყველაზე მეტად იყო და არის გავრცელებული, საიერიშო ხიდებში ასევე შესაძლებელია სამი ნაწილისაგან შედგენილი, სახსრულად დაკაგშირებული, ხიდის მალის კონსტრუქციის გამოყენებაც.

II. xi dis mal i s or saxsr i ani dasakec -gasaSl el i ko nst r uqc ia  
“o r magi makr at el i” (ფიგ. I.20).



1 – სატრანსპორტო საშუალება; 2 – სამონტაჟო საშუალება; 3 – სამი ბლოკისაგან შემდგარი, ერთმანეთთან სახსრულად დაკავშირებული ხიდის მალის კონსტრუქცია; 4 – გადასალახი წინააღმდეგობა.

ხიდის დაკეცილი პაკეტის ასეთი კონფიგურაცია გააჩნია რუსულ გასაშლელ ერთმალიან ხიდს – MTU-90, რომელიც ხიდგამდებზეა განთავსებული (ფიგ. I. 21).



ფიგ. I. 21 – ხიდგამდები “ორმაგი მაკრატელიანი” ხიდით.

- ა) ხიდგამდები სამ ნაწილად დაკეცილი ხიდით; ბ) “ორმაგი მაკრატელიანი” ხიდის ტრანსფორმაციის პროცესი.

აღსანიშნავია, რომ MTU-90-ში ხიდის გადება და აღება შესაძლებელია გადასალახი წინააღმდეგობის ორიგე მხრიდან.

ამდენად, ერთმალიანი გასაშლელი ხიდის შექმნა შესაძლებელია ტრანსფორმირებადი სისტემების ფორმატზარმოქმნის დახვევის პრინციპით და დაკავევის პრინციპით.

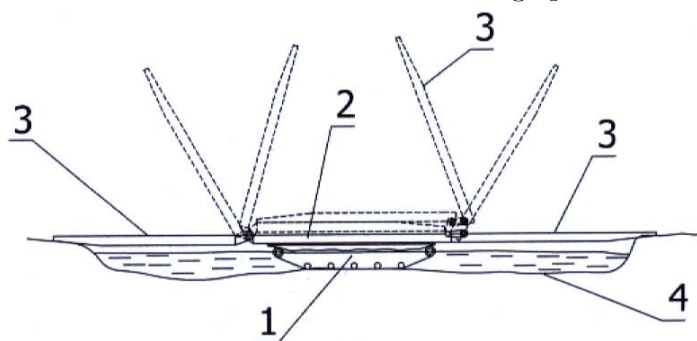
სატანკო ხიდგამდები MTU-90 გათვალისწინებულია ერთმალიანი, ლითონის 24 მეტრიანი ხიდის გასადებად, რომლის ტვირთამწეობა 50 ტონას შეადგენს. ხიდის კონსტრუქცია შედგება ერთმანეთთან სახსრულად დაკავშირებულ სამი ნაწილისაგან. მათგან ერთი – შუა ნაწილი ორქანობიანია და მას ორივე მხრიდან ემაგრება ცალქანობიანი, სამკუთხა ფორმის ნაწილები.

“გადაბრუნების” მეთოდით ხიდების აგების მაგალითია ხიდსაბჯენიანი მანქანები, რომლებმაც სხვადასხვა კონფიგურაციებით ჰქონდეს გავრცელება.

ხიდებში საბაზო მანქანები გამოიყენება შუალედური საბჯენების სახით. ხიდის ასაგებად, მანქანას უწევს ზღუდეში შესვლა და თავის სამ იარუსად დაკეცილ მალიანი ნაგებობის გაშლა.

მექანიზირებული ხიდების ძირითად ნაკლად შეიძლება ჩაითვალოს, მათი გაზრდილი დამოკიდებულება ზღუდეების ხასიათის მიმართ. მანქანის ზღუდეში შესასვლელად, საჭიროა საკმაოდ მყარი გრუნტი, ხოლო წყლის სიღრმე არ უნდა აღემატებოდეს  $1.5 \div 1.8$  მ-ს. ეს უკანასკნელი, ხსნის საბაზო მანქანების პერმეტიზაციის საკითხს, განსაკუთრებით იმ ზედა ნაწილისას, სადაც განლაგებულია მალიანი ნაგებობის გახსნის მექანიზმები.

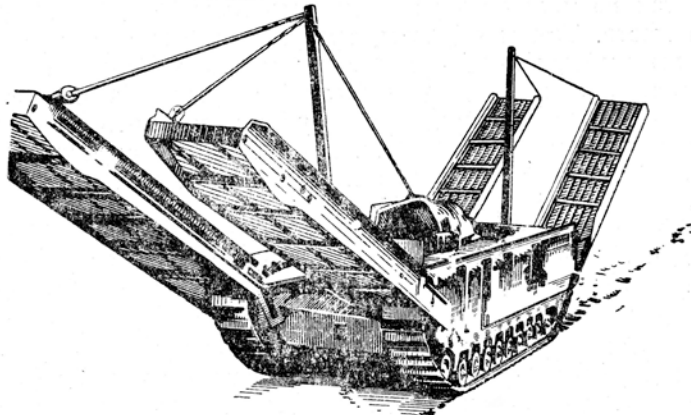
### III. xi dis mal ebi or mkr i vi გდაSl i T (ფიგ. I. 22).



ფიგ. I. 22

- 1 – სატრანსპორტო საშუალება;
- 2 – ხიდის უძრავი მალი;
- 3 – გადასაშლელი მალები;
- 4 – დაბრკოლება.

მაგალითად შეიძლება მოვიყვანოთ ინგლისური ვარიანტი ხიდგამდებისა, რომელსაც ორივე მხარეს აქვს სახსრულად მიერთებული მალები (ფიგ. I. 23).



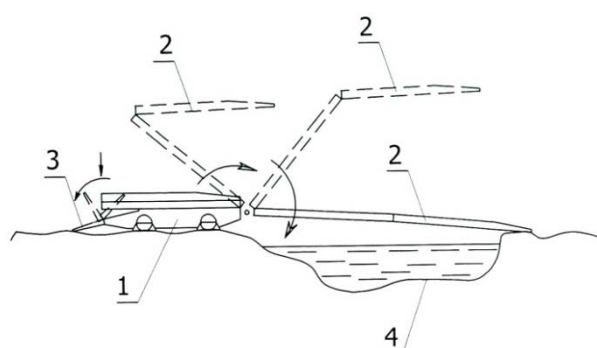
ფიგ. I. 23 – ინგლისური ხიდგამდები, რომელსაც აქვს ორმხრივად გადასახსნელი მალები.

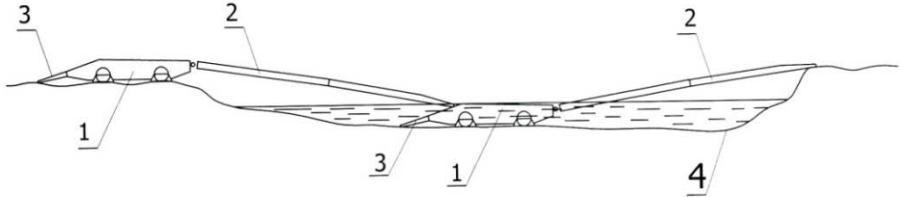
ანალოგიური ვარიანტი დამუშავდა საქართველოს ტექნიკური უნივერსიტეტის ნეგებობების, სპეციალური სისტემებისა და საინჟინრო უზრუნველყოფის ინსტიტუტში (ფიგ. I. 24).



ფიგ. I. 24 – მალების ორმხრივი გადაშლის სამსედრო ხიდის პროექტი.

IV. ხიდის მალის “მაკრატლისებრი” კონსტრუქცია სატრანსპორტო საშუალებაზე მიმაგრებით (ფიგ. I. 25).





ფიგ. I. 25

1 – სატრანსპორტო-სამონტაჟო საშუალება; 2 – “მაკრატლისებრი” მალი;  
3 – ხიდზე შესასვლელი; 4 – დაბრკოლება.

აღნიშნული ტიპის ხიდების კონკრეტული განხორციელების ვარიანტია ფრანგული “ჟილუა”-ს ტიპის ხიდგამდები.

ბორბლებიან საბაზო მანქანას, გააჩნია სპეციალური ჰერმეტიული კორპუსი სიგრძით 11.65 მ და სიგანით 3.05 მ. მანქანის ბაქანის ზედა ნაწილი, წარმოადგენს ხიდის სავალ ნაწილს. საველე მდგომარეობაში, საბაზო მანქანის კორპუსის ზემოდან, მთლიან სიგრძეზე, თავსდება კორპუსთან სახსრულად შეერთებული და “მაკრატელას“ სქემის მიხედვით დაკეცილი მალიანი ნაგებობა. კორპუსის უკანა ნაწილში, მდებარეობს გადამაყირავებელი აპარელი.

მანქანის საერთო სიმაღლე, შეადგენს – 3.9 მ-ს. ხიდის აგებისა და ექსპლუატაციისას, სავალი ნაწილის თვლები შედიან კორპუსის შიგნით. “ჟილუას“ მანქანები იძლევიან საშუალებას ერთმალიანი და ორმალიანი ხიდების აგებისა.

ერთმალიანი ხიდის, სიგრძით 22 მ, წარმოსაქმნელად, მანქანა დგება ნაპირის კიდესთან ახლოს, ან ნაპირიდან ცოტაოდენი გადაკიდებითაც. მანქანა ეშვება კორპუსის ძირით გრუნტზე და მექანიზირებული ხიდის გაშლისას, მისი გადაბრუნების თავიდან ასაცილებლად, სხვა მანქანის წონის დაწოლის შედეგად, სიმყარისათვის, ანხორციელებს ჯდომას გრუნტში. მალიანი ნაგებობა იშლება “მაკრატელას“ სქემის მიხედვით და ეყრდნობა კიდით საპირისპირო ნაპირს.

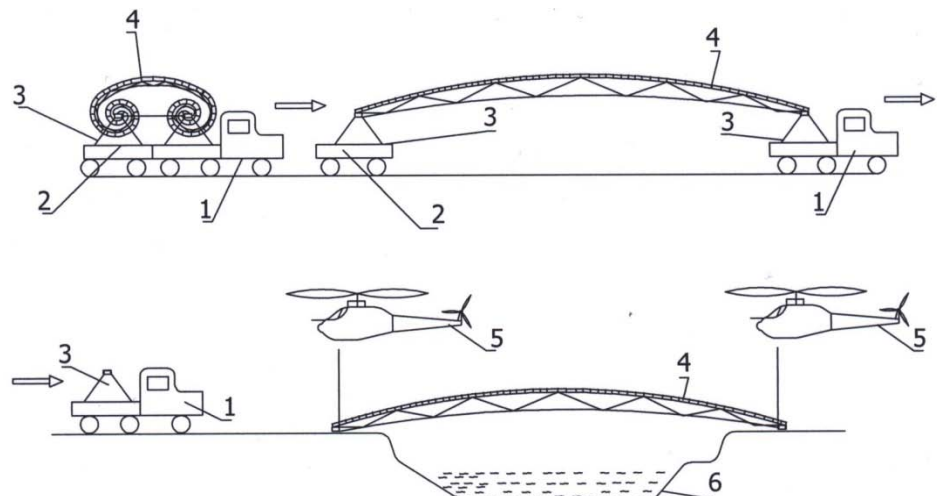
აღნიშნული ტიპის ხიდების ყველაზე მნიშვნელოვან ნაკლებარმოადგენს საპირისპირო ნაპირზე ხიდის აშლის შეუძლებლობა. “ჟილუას” ხიდის უკანასკნელ ნიმუშებში, აუცილებლობის შემთხვევაში, შესაძლებელია მალიანი ნაგებობის კორპუსიდან გამოცალკევება.

გარდა “წამოცმის” ან “გადაბრუნების” მეთოდებით ხიდების აგებისა, პრაქტიკაში ასევე გვხვდება ხიდის გადება გადასალახ დაბრკოლებაზე განსხვავებული მეთოდებით. მათ შორის ყველაზე გავრცელებულია გიდის გადება გადასალახ წინააღმდეგობაზე ამწის ისრიდან ან კიდევ, თუნდაც ვერტმფრენის განთავსებული ჯალაბრის საშუალებით.

ასეთ შემთხვევაში ერთიანი ხიდი, რომელიც შეიძლება იყოს ასევე ტრანსფორმირებადი, სრულყოფილი, გაშლილი სახით, დაბრკოლების ნაპირებს პარალელურად უახლოვდება, ხოლო შემდგომ გაიდება გადასალახ წინააღმდეგობაზე.

ამ მეთოდს პირობითად გუწოდეთ ხიდის “პარალელური” გადაადგილებით აგების მეთოდი.

I. xi dis mal i s daxveul -gasaSl el i ko nst r uqc i a (ფიგ. I. 26).



ფიგ. I. 26

- 1 – სატრანსპორტო საშუალება; 2 – მიმყოლი სატრანსპორტო საშუალება;
- 3 – სამონტაჟო ელემენტები; 4 – დასახვევი ხიდის კონსტრუქცია;
- 5 – ვერტმფრენი; 6 – გადასალახი წინააღმდეგობა.

მოცემულ შემთხვევაში დასახვევი “საიერიშო” ხიდის კონსტრუქცია მეტად დანაწევრებულია. ამასთან, კონსტრუქციული თავისებურებებიდან გამომდინარე რთულდება მისი დაჭერა სხვა მდგომარეობაში, გარდა

საექსპლოატაციო მდგომარეობისა. სწორედ ამიტომ იქნა მონტაჟის სქემებში გამოყენებული ორი ვერტმფრენი, რაც ასევე ართულებს მისი გადების სამუშაოებს გადასალახ წინააღმდეგობაზე.

მიუხედავათ ასეთი სირთულეებისა, შეიძლება ითქვას, რომ აღნიშნული “დახვევის სქემით” მიღწეულია კონსტრუქციული გადაწყვევაზა ხიდისა, რომლის მაღი არის 32–48 მეტრი, ხოლო წონა 17–20 ტონას შეადგენს.

აღნიშნული ტიპის – “დახვევის სქემით” რეალური კონსტრუქციების შექმნა და ისიც საიერიშო ხიდებისათვის კვლავ მოითხოვს ახალი ვარიანტების შექმნას და შესწავლას, რაც ხორციელდება საქართველოს ტექნიკური უნივერსიტეტის ნაგებობების, სპეციალური სისტემებისა და საინჟინრო უზრუნველყოფის ინსტიტუტის.

#### I. 4. ტრანსფორმაციის მარტივი სქემებიდან ხიდის სისტემების რთულ,

#### ორი ტიპის შეწყვილებულ ფორმათწარმოქმნის

#### სქემებზე გადასვლა.

თუ შევაფასებთ წარმოდგენილი სისტემატიზაციით ერთმალიანი ხიდის გადასალახ წინააღმდეგობაზე გაშლა-დაკეცვის ლოგიკურ სქემებს, სხვადასხვა დროს სხვადასხვა ვარიანტებს ეძლეოდათ უპირატესობა.

მიუხედავათ ამისა, სქემები პრაქტიკულად არ შეესაბამება მოცემულ ეტაპზე გასაშლელი ხიდების კონსტრუირების ლოგიკას. ეს არის მცდელობა არსებული ერთმალიანი ხიდების კლასიკური სქემების დაჭრის, სახსრების დაყენების და კომპაქტურად დაკეცვის, რომლის შემდეგ ხდება მათი გამოყენების ადგილას გაშლა და წინააღმდეგობაზე გადება.

სქემების მიხედვით მათი კლასიფიკაცია შემდეგი სახისაა:

A. გასაშლელი ხიდები აგება “წამოცმის” მეთოდით:

- I სქემა – ტელესკოპის პრინციპი – გასაშლელ ისარზე გასრიალებით;
- II სქემა – ტელესკოპის პრინციპი – ხიდის კონსოლურად ჩამაგრებით.

B. გასაშლელი ხიდის აგება “გადაბრუნების” მეთოდით:

- I სქემა – დაკეცვის პრინციპი;
- II სქემა – დახვევის პრინციპი;
- III სქემა – დაკეცვის პრინციპი;
- IV სქემა – დაკეცვის პრინციპი.

C. გასაშლელი ხიდის აგება “გადაადგილების” მეთოდით:

- I სქემა – დახვევის პრინციპი.

როგორც განხილული კლასიფიკაციიდან ჩანს, არც ერთი სქემა ხიდის გაშლა-დაპეცვისა არ შეიცავს რთული გაშლის პრინციპებს, რომელშიც გაერთიანებული იქნება ორი ან სამი პრინციპი ფორმათწარმოქმნისა. სწორედ წარმოდგენილ კვლევაში ეს მიღვომა დაედება საფუძვლად ახალი, უფრო დიდი მალის მქონე ხიდების სქემების შექმნას.

ამასთან, უნდა იქნეს დაცული ხიდის დაკეცილი სატრანსპორტო პაკეტის ზღვრული გაბარიტები, განსაკუთრებით კი სიგრძე, რომელიც 12 მეტრს უახლოვდება. ასევე, მისი ზღვრული წონა, რაც სატრანსპორტო პირობებით არის განსაზღვრული.

ამდენად, შეიძლება ითქვას, რომ ერთმალიანი ხიდები, რომლებიც განკუთვნილია საიერიშო სისტემად:

- ვერ აკმაყოფილებენ მოთხოვნებს მალის გაზრდისა 32–48 მეტრამდე;
- აღნიშნული მალების შემთხვევაში ვეღარ ხერხდება მათი სწრაფად აგება;
- ამასთან, რიგ შემთხვევაში, მოთხოვნებს ემატება სამუშაოების ჩატარება მეორე ნაპირზეც;
- და გაზრდილი მალის შემთხვევაში იზრდება სამონტაჟო და სატრანსპორტო საშუალებათა რიცხვი, რაც მიუდებელია საიერიშო სისტემებისათვის.

აქედან გამომდინარე, ძირითადი მიზანია:

- შეიქმნას ერთმალიანი, დიდი ზომის – 48 მეტრამდე მალის მქონე, გასაშლელი ხიდის კონსტრუქცია, რომლის სატრანსპორტო პაკეტის სიგრძე იქნება 12 მეტრზე ნაკლები და იგი განთავსდება ერთ სამონტაჟო-სატრანსპორტო საშუალებაზე;

- ხიდის მონტაჟი და დემონტაჟი განხორციელდება დროის უმცირეს შუალედში – მაქსიმუმ 10 წუთის ინტერვალში;
- ხიდის მონტაჟი და დემონტაჟი განხორციელდება მომსახურე პერსონალის სამონტაჟო-სატრანსპორტო საშუალებიდან გადმოსვლის გარეშე;
- ხიდის ტრანსპორტირება და გადასალახ წინააღმდეგობაზე გადება, გარდა სატანკო ხიდგამდებისა, შესაძლებელი იქნება ავტომანქანიდან და ვერტმფრენიდანაც.

აღნიშნული მოთხოვნების მიხედვით დამუშავდა მრავალი სქემა საიერიშო, 48 მეტრი მალის მქონე ხიდებისა. მათ საფუძველს წარმოადგენს ტრანსფორმირებადი კონსტრუქციები, რომელშიც გადმოცემულია გასაშლელი სისტემების ფორმათწარმოქმნის ლოგიკა. მის საფუძველზე შეიქმნა გასაშლელი ხიდების ახალი, სრულიად განსხვავებული კონსტრუქციული სქემები.

ტრანსფორმაციის მიხედვით განისაზღვრა რთული სახის ფორმათწარმოქმნის სქემები. თითოეული მათგანი შედგება ორი მარტივი ფორმათწარმოქმნის სქემისაგან:

I – დაკეცვის პრინციპი + ტელესკოპის პრინციპი;

II – დაკეცვის პრინციპი + დახვევის პრინციპი;

I პრინციპის – დაკეცვის პრინციპი + ტელესკოპის პრინციპი – განსხვავებული კონსტრუქციული სქემების მიხედვით განისაზღვრა მესამე შემთხვევაც:

III – დაკეცვის პრინციპი + ტელესკოპის პრინციპი.

როდესაც ხდება გაშლის პრინციპების განხილვა, უნდა შევთანხმდეთ, რომ ერთი და იგივე ტრანსფორმაციის პრინციპით შეიძლება შეირჩეს სხვადასხვა ტიპის კონსტრუქციული სქემები.

— არსებულ “საიერიშო” მექანიზებულ ხიდებში, რომლებიც გადასალახ დაბრკოლებაზე აიგებიან “წამოცმის” ან “გადაბრუნების” მეთოდით, ვერ აკმაყოფილებენ მოთხოვნას  $24 \div 32$  მეტრის ზემოთ მალის ზრდისა, რაც პირველ რიგში შეზღუდულია ხიდის დაკეცილი პაკეტის სატრანსპორტო გაბარიტებით.

— არსებული “საიერიშო” მექანიზებული ხიდების, გადასალახ დაბრკოლებაზე ხიდის დასრულებული, გაშლილი ფორმის

წარმოქმნას, როგორც ტრანსფორმირებადი სისტემების ფორმათწარმოქმნის თეორიიდან გაირკვა, ახორციელებენ ტრანსფორმაციის სახეობებიდა ერთი რომელიმე პრინციპით.

- დისერტაციაში დასახული მიზნის მისაღწევად, რაც წარმოადგენს მექანიზებული, ერთ სატრანსპორტო საშუალებაზე განთავსებული, საიერიშო გასაშლელი ხიდების მალის, შემდგომ 24–32 მეტრზე მეტი სიდიდით შექმნას, აუცილებელია ხიდების ტრანსფორმაციის არა ერთმაგი, არამედ პირველ რიგში ორმაგი ტრანსფორმაციის პრინციპზე გადასვლა.

## II. გასაშლელი ხიდის კონსტრუქცია აგებული ტრანსფორმირებადი სისტემების ფორმათწარმოქმნის ორმაგი პრინციპით – “დაკეცვის პრიბული” + “ტელესკოპის პრინციპი”.

### II.1. ხიდის კონსტრუქციული სქემის აღწერა.

გასაშლელი ხიდის კონსტრუქცია (ფიგ. II.1) შედგება ორი ლიანდისაგან 1. ლიანდები ხიდის გრძივი მიმართულებით ერთმანეთთან დაკავშირებული არიან განივი ცენტრალური ლილვებით 2. აღნიშნულ ღეროებზე, ლიანდების მიხედვით, წყვილ-წყვილად, ცენტრალური ცილინდრული კვანძებით 3, მიმაგრებულია პანტოგრაფების ღეროები 4. პანტოგრაფების ღეროები გრძივად ერთმანეთთან დაკავშირებული არიან ცილინდრული ზედა კვანძებით 5 და ცილინდრული ქვედა კვანძებით 6, რომლებიც განივად ასევე ურთიერთდაკავშირებულია განივი ლილვებით 7.

პანტოგრაფული ღეროები, ცენტრალური ცილინდრული კვანძების ზემოთ უფრო მეტი სიგრძისაა ვიდრე ცენტრალური ცილინდრული კვანძის ქვემოთ. ასეთი სხვაობა მათ სიგრძეებში იძლევა საშუალებას,

პანტოგრაფების სისტემა გრძივად განლაგდეს წრიული მოხაზულობის თაღზე.

ხიდის ქვედა ნაწილში, განაპირა ლილვებზე 8 ემაგრება ხიდის მოქნილი ბაგირებისაგან დამზადებული ქვედა სარტყელები 9, რომლებზეც მიმაგრებულია დრეკადი დეროები 10. ამ დეროების მეორე ბოლო (ფიგ. II.2) მიმაგრებულია პანტოგრაფების ბერკეტებში ჩამაგრებულ ზამბარებთან 11, რათა ხიდის გაშლის ან დაკეცვის მომენტში, ბაგირიანი სისტემა მუდმივად იყოს წინასწარ დაძაბულ მდგომარეობაში, რაც გამორიცხავს მათ არაკანონზომიერ დაკეცვას და ერთმანეთში გადახლართვის შესაძლებლობას.

აღნიშნული ბაგიროვანი სისტემის დაძაბული სტადია თანმხედრია სისტემის საბოლოო, ფიქსირებული ფორმისა [21].

ხიდის (იხ. ფიგ. II.1. და ფიგ. II.2) სავალი ნაწილი შეიცავს ფილებით 12 ორ რიგად შედგენილ სავალ ლიანდებს. ფილების ერთი ბოლო დაკავშირებულია პანტოგრაფული მექანიზმების ზედა სახსრებთან, ხდაც ხიდის ცენტრისკენ მიმართებით, ამავე სახსრებზე შემობრუნების შესაძლებლობით (ფიგ. II.3), ფილებს აქვს დრეკად-მოქნილი უბნები 13 სავალი ზედაპირის სისწორის უზრუნველსაყოფად.

თაღოვანი ფორმის ფილებს მეორე მხარეს აქვს გამონაშვერები 14, ამ ფილების პანტოგრაფულ მექანიზმზე შესრულებულ ბუდეებში 15 დასაფიქსირებლად (ფიგ. II.4).

აღსანიშნავია, რომ კონსოლური წაგრძელებების ბოლო ნაწილის ჩამაგრება ბუდეებში ხორციელდება წარმოდგენილი ხიდის გაშლის ბოლო ეტაპებზე. წარმოდგენილ ეტაპზე ხიდის ზედა სარტყელი მოღუნული და გაჭიმულია, გამონაშვერები ადვილად განთავსდება ბუდეში, ხოლო შემდეგ, ხიდის საყრდენებზე დაშვების ეტაპზე გამონაშვერები მჭიდროდ მიეყრდნობა ბუდის კიდეს იმის გამო, რომ ზედა სარტყელი დებულობს საპროექტო მდგომარეობას და იგი უპვე იკუმშება.

პანტოგრაფული მექანიზმების (იხ. ფიგ. II.3) განაპირა სახსრებზე 16 მიერთებულია სწორი ზედაპირის მქონე სავალი უბნები 17.

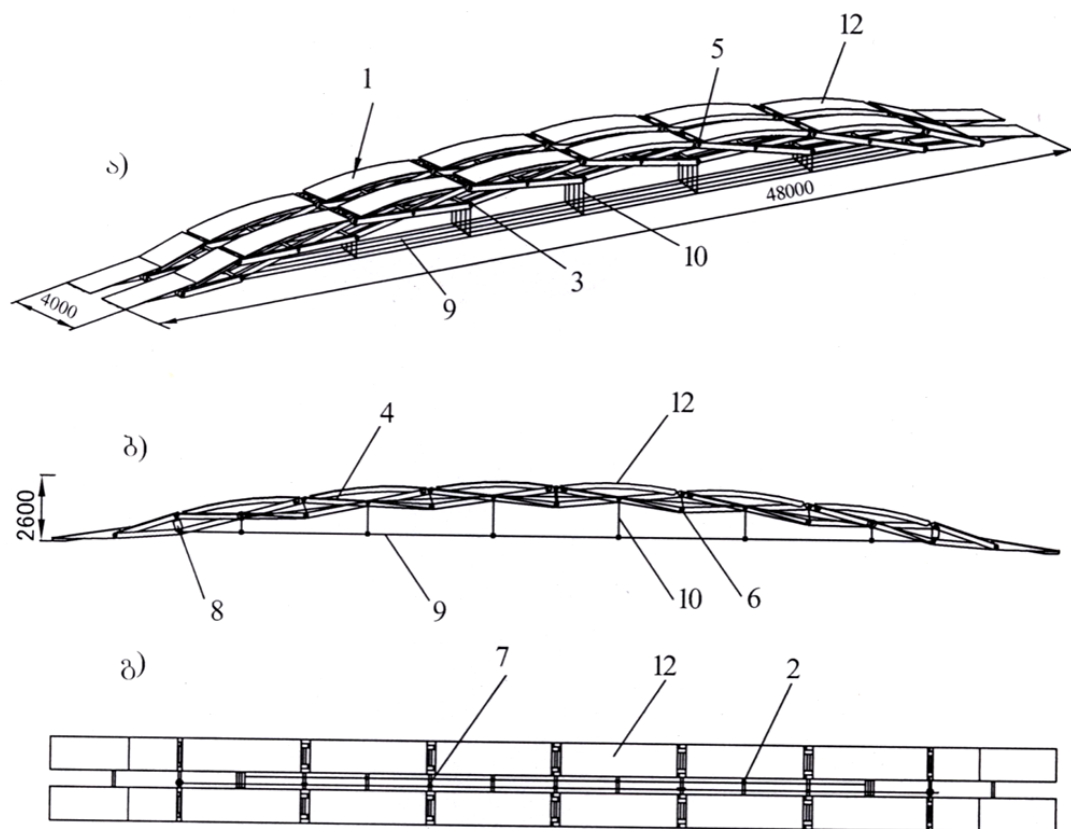
ხიდის საერდენს აქვს გრუნტზე დასაღველი ქუსლი 18 და მასზე გრძივი მიმართულებით სრიალის შესაძლებლობით დაყენებული ზედნადები ფილა 19.

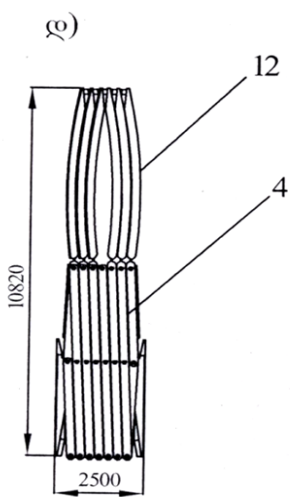
აღნიშნული პრინციპის მიხედვით შესაძლებელი გახდა გასაშლელი ხიდის დაპროექტება, რომლის სრული სიგრძე გაშლილ მდგომარეობაში აღწევს 2,66 მეტრს (იხ. ფიგ. II.1 და ფიგ. II.2).

რაც შეეხება ხიდის დაკეცილ სატრანსპორტო პაკეტს, მისი სიგრძე შედგენს 10,820 მეტრს, ხოლო სიმაღლე აღწევს 2,5 მეტრს.

ასეთი გასაშლელი ხიდის საერთო წონა წინასწარი გაანგარიშებებით აღწევს 20 ტონას.

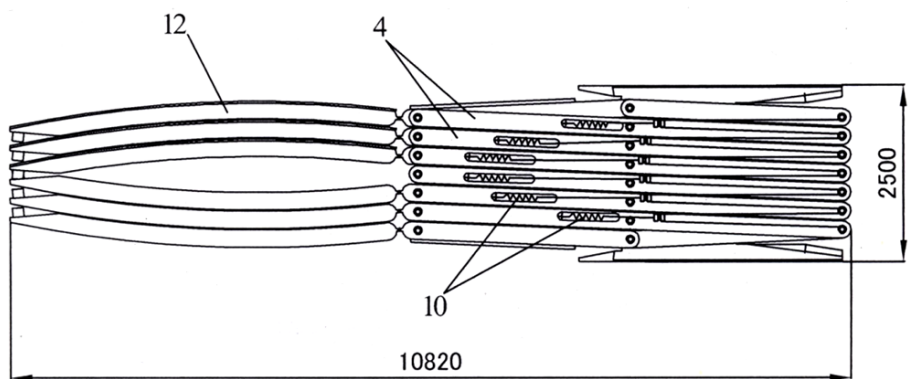
ხიდის პანტოგარფული მექანიზმის გაშლა-დაკეცისათვის გამოყენებულია ელექტროჯალამბრების სისტემა 20, 21 და იგი აღჭურვილია ბაგირების 22, 23 დამხვევი დოლებით 24 (იხ. ფიგ. II.3).



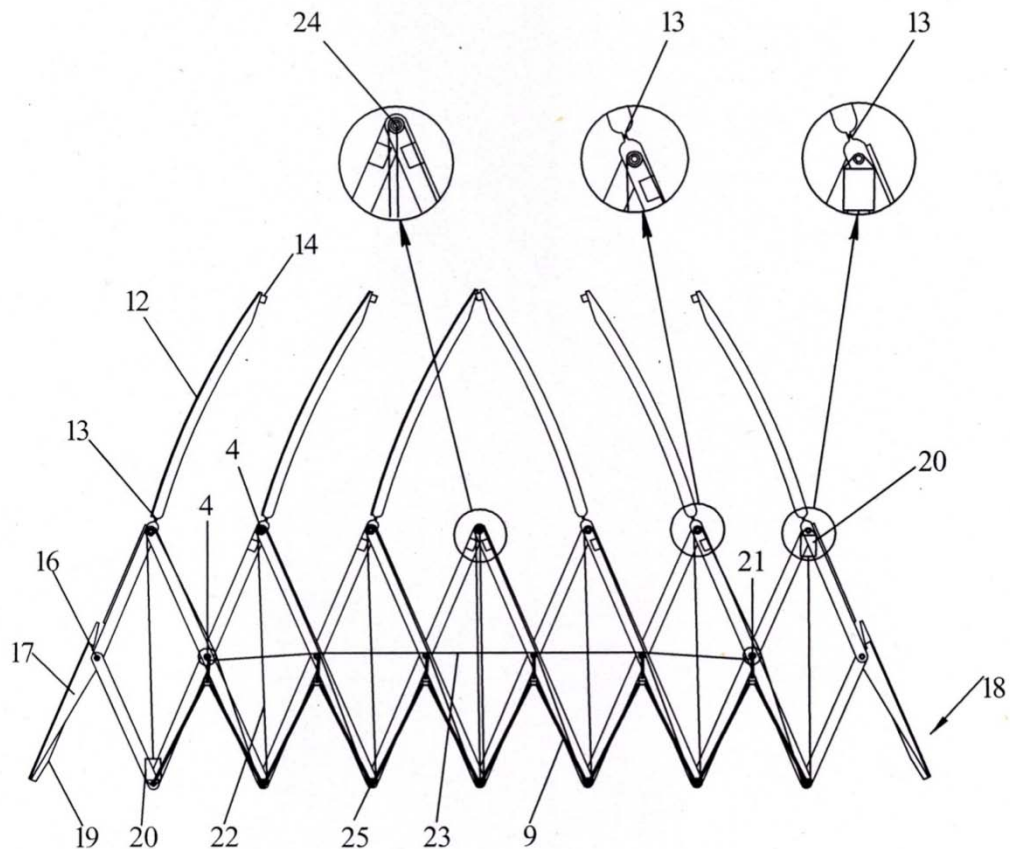


**ფიგ. II 1. – გასაშლელი, “დაკეცვის პრინციპს + ტელესკოპის პრინციპი”,  
ხიდის კონსტრუქციის ხედები**

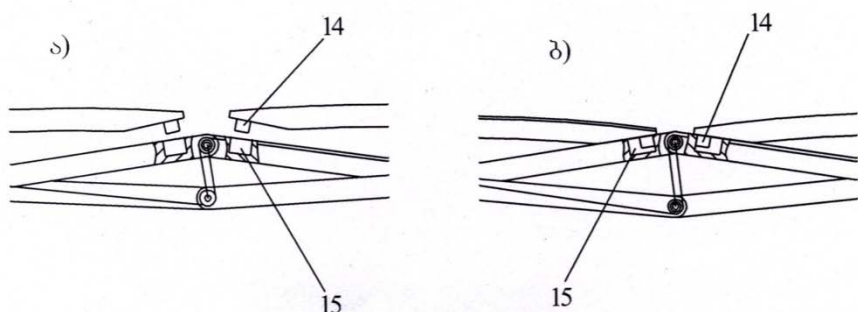
- ა) გასაშლელი ხიდის აქსიონომეტრია; ბ) გასაშლელი ხიდის გვერდხედი;
- გ) გასაშლელი ხიდის ზედხედი; დ) გასაშლელი ხიდის, დაკეცილი  
სატრანსპორტო პაკეტი.



**ფიგ. II.2. – გასაშლელი ხიდის დაკეცილი პაკეტის გრძივი ჭრილი**



ფიგ. II.3. – ხიდის გაშლის კონსტრუქციის კინემატიკური სქემა



ფიგ. II. 4. - ხიდის სავალი ნაწილის თაღოვანი კონსოლური ფილების  
ბოლოებში განთავსებული გამონაშვერების ბუდეში ჩამაგრების  
კონსტრუქციული სქემა

ა) ხიდი გაშლილ მდგომარეობაში, ოდონდ დაყრდნობის გარეშე  
უზრუნველყოფს ზედა სარტყელის წაგრძელებას, რის გამოც კონსოლური

ფილების ბოლოებში განთავსებული გამონაშვერები თავისთავად ჩადის ბუდეებში; ბ) ხიდის დაყრდნობის შემდეგ, ხიდის ზედა სარტყელის სიგრძე იკლებს, რის გამოც კონსოლური ფილის გამონაშვერები, ბუდდებში ჩაიკეტება და ადარ აქვთ უკან ამოწევის საშუალება.

ბაგირები გადაკიდებულია პანტოგრაფის ბერკეტების ბოლოებზე არსებულ გორგოლაჭებზე, რომლის ბოლოები მიმაგრებულია შუა პანტოგრაფის ბერკეტების კვანძებზე 25. ხიდის გაშლა ხდება ბაგირების ელექტროჯალამბრის დოლებზე დახვევით. გაშლის პროცესთან ერთად ხდება ქვედა სარტყელის ბაგირების 9 და დრეკადი ღეროების 10 დაჭიმვაც.

ხიდის დაკეცვა ხდება ელექტროჯალამბრების 21 დოლებზე ბაგირის 23 დახვევის შედეგად.

## II. 2. ხიდის კონსტრუქციის ტრანსფორმაციის პროცესი ხიდგამდების ბაზაზე.

განხილული ხიდისდა ხიდგამდების ურთიერთშეთავსების მრავალი სქემა იქნა განხილული, რომელთაგანაც მოხდა ოპტიმალური ვარიანტის დაზუსტება [22] [23] [24].

ხიდგამდები წარმოადგენს მუხლოვან სატრანსპორტო-სამონტაჟო საშუალებას, რომელიც შესრულებულია ტანკის ბაზაზე.

ტანკზე სათანადოდ მოწყობილი გამოსაწევი და ასევე ამწე მოწყობილობები, რომლებიც უზრუნველყოფენ ხიდის ტრანსფორმაციას (ფიგ.II.5) და შემდგომ მის გადებას გადასალახ წინააღმდეგობაზე.

ხიდგამდების ბაქანზე 1 განთავსებულია ხიდის 2 დაკეცილი სატრანსპორტო პაკეტი. ხიდგამდების გააჩნია კომპლექსი ძალოვანი დანადგარებისა, რომლებიც უზრუნველყოფენ ხიდის ტრანსფორმაციის მთელ პროცესს, ხიდის გადასალახ წინააღმდეგობაზე გადების ჩათვლით.

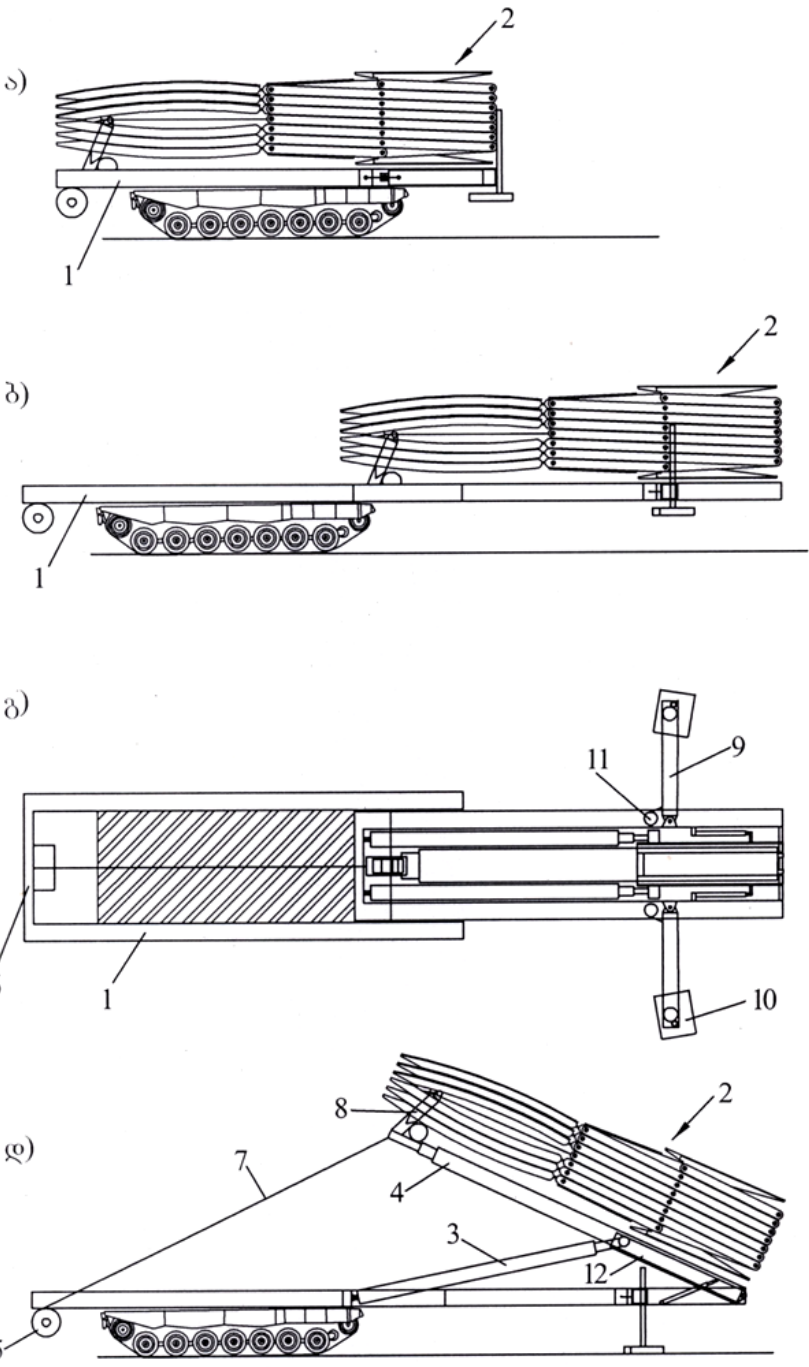
ორი პიდროცილინდრი 3, რომელიც ასრულებს ხიდის აწევის მოვალეობას, განლაგებულია ხიდგამდების მოძრავი ბაქნის 1 ნიშაში, ხოლო მათ შორის კი მოთავსებულია ამწე ისარი აღჭურვილი ტელესკოპური ტიპის პიდროცილინდრით 4. ტვირთის აწევა და დაშვება ხორციელდება სატვირთო ჯალამბრით, შედგენილი პიდროამძრავით 5,

ბაგირის დამხვევი დოლით და აღჭურვილია ჩამპეტი მუხრუჭით. სატვირთო ჯალამბარი მოთავსებულია უძრავი პლატფორმის 6 კილოზე და ბაგირით 7 დაკავშირებულია ტელესკოპური ისრის ბოლოში მოთავსებულ ხიდის ჩამოსაკიდ მოწყობილობასთან 8.

ხიდის გაშლის დროს წარმოქმნილი გადამბრუნი მომენტის გასანეიტრალიზაციის საჭირო გახდა მოძრავი ბაქანის გამოყენება, რომელსაც შეუძლია ტანკის შასზე უძრავი ბაქანის 6 მიმართ გადაადგილება.

ბაქანი აღჭურვილია მექანიკური საყრდენებით 9, რომლის ბოლოებზე მიმაგრებულია გრუნტზე დასაყრდენი ფილები 10. საყრდენის მობრუნება საექსპლოატაციო მდგომარეობაში ხდება ამბრავების 11 საშუალებით.

დაკეცილი ტრანსფორმირებადი ხიდის აწევა და გაშლა ხდება შემდეგნაირად: მბრუნავ ჩარჩოზე 12, რომლის ერთი ბოლო სახსრულად მიმაგრებულია მოძრავი ბაქანის ბოლოზე 13, ხოლო ჩარჩოს მეორე ბოლო კვანძების საშუალებით მიმაგრებულია ჩარჩოზე მიმაგრებულ მიმწოდ ჰიდროცილინდრებთან 3. ამავე ჩარჩოზე ჩამაგრებულია ტელესკოპური ისრის 4 ჰიდროცილინდრის ბოლო და ამდენად ჰიდროცილინდრების 3 მოწლით ჩარჩოზე, ერთდროულად ხდება ჩარჩოსა და ჰიდროცილინდრის მობრუნება ცილინდრული სახსრის გარშემო.



ფიგ. II.5. – ხიდის ქონსტრუქციის ხიდგამდებზე განთავსების და მისი გამოსაწევი – ამწე მექანიზმების სქემები.

- ა) ხიდგამდები და მასზე განთავსებული ხიდის დაკეცილი პაპეტი სატრანსპორტო მდგომარეობაში;
- ბ) და გ) ხიდგამდების გამოსაწევი ბაქნის გვერდებიდან და ზედებიდან;
- დ) ხიდგამდების ამწე მოწყობილობის სქემა.

მბრუნავ ჩარჩოზე და ჩამოსაკიდ მოწყობილობაზე სპეციალური სამაგრის საშუალებით მიმაგრებულია ტრანსფორმირებადი ხიდი.

ხიდის აწევის მოცემულ კინემატიკურ სქემაში გამოყენებულია ორი მცირე ზომის ტელესკოპური ჰიდროცილინდრები, რომელთა დანიშნულებაა ხიდის საწყისი წამოწევა, რატა შეუქმნას მხარი ამწევ ჰიდროცილინდრებს და ამგვარად გაზარდოს მიწოდის ძალა ჩარჩოზე. ამწეს ისრის დახრის კუთხის შეცვლა ხდება ჰიდროცილინდრებით, ხოლო ხიდის აწევა და დაშვება ხორციელდება სატვირთო ჯალამბრით.

აღნიშნული სისტემას ბაზაზე ხდება ხიდგამდებიდან ხიდის მომზადება გასაშლელად, მისი ტრანსფორმაცია და გადასალახ დაბრკოლებაზე გადება (ფიგ. II.6).

სქემებზე ეტაპობრივადაა წარმოდგენილი სრული ციკლი ხიდგამდებისა, რომელიც მოიცავს I–XI პოზიციებს:

I პოზიცია – გადასავლელის მოწყობის ადგილის შერჩევა.

II პოზიცია – მოძრავი ბაქნის გადაადგილება და საყრდენების გამოშვება.

III და IV პოზიცია – მიმწოდი ჰიდროცილინდრებით ხიდის აწევა ვერტიკალურ მდგომარეობამდე.

V პოზიცია – ტელესკოპური ისრით ხიდის აწევა მაქსიმალურ სიმაღლეზე.

VI პოზიცია – ტელესკოპური ისრის ხიდის დაკეცილ პაკეტან ერთად დაშვება ხიდის პირველად გასაშლელ მდგომარეობამდე.

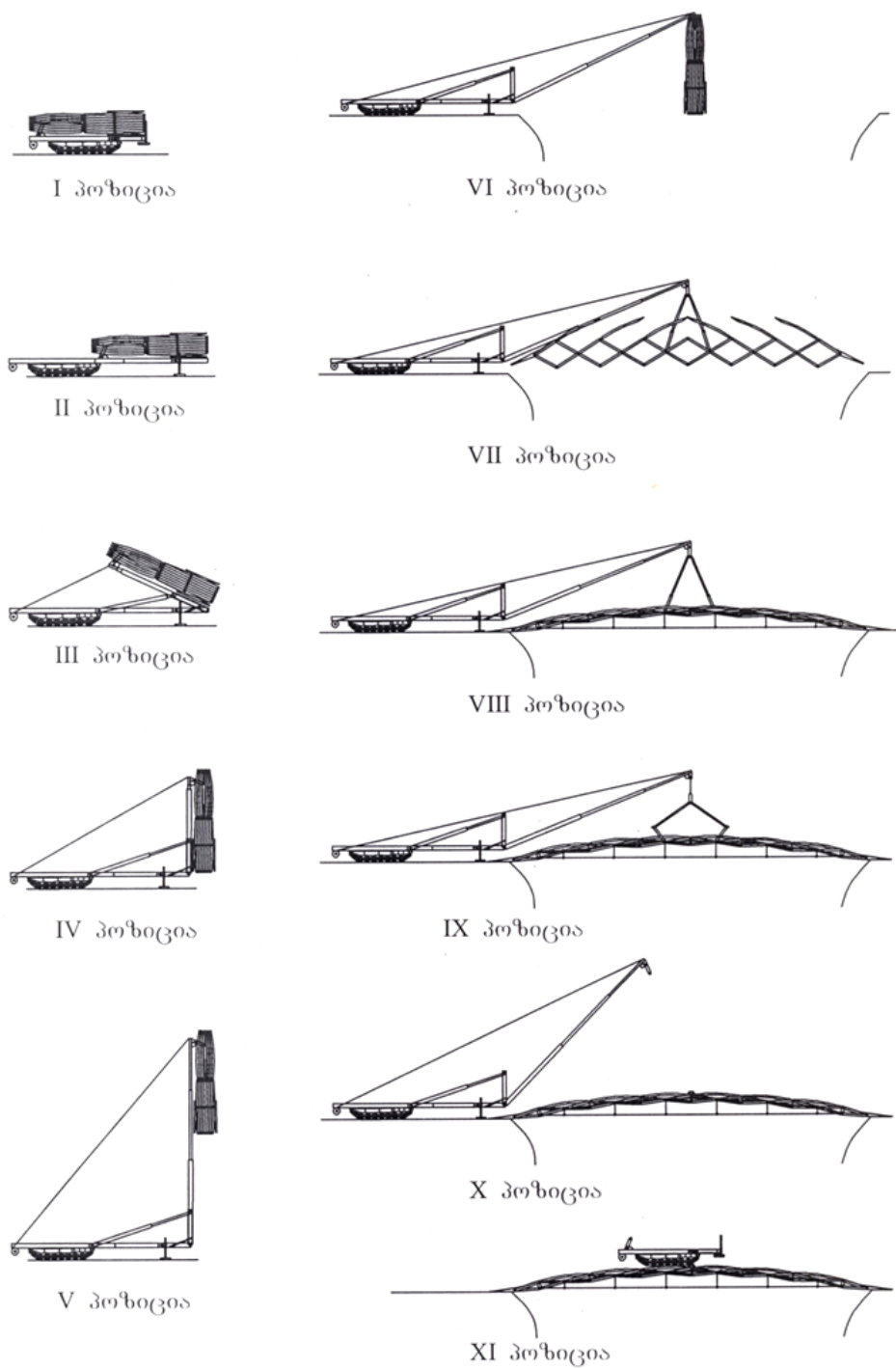
VII პოზიცია – ხიდის ტრანსფორმაციის პროცესი “დაკეცვის პრინციპი” + “ტელესკოპის პრინციპი” მიხედვით.

VIII პოზიცია – გახსნილი ხიდის დაშვება საყრდენებზე.

IX პოზიცია – ხიდის ამწესთან ჩაბმის კონსტრუქციის ჩაკეტვა.

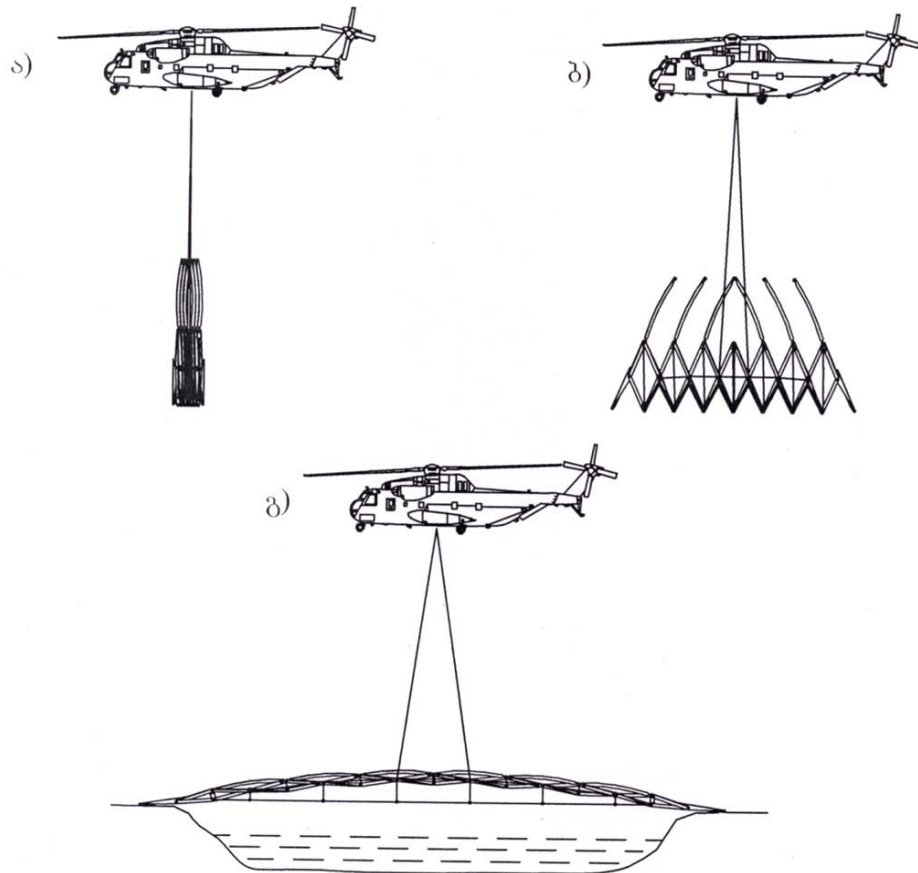
X პოზიცია – ხიდის ამწის კაუჭის ახსნა.

XI პოზიცია – ხიდი გადებულია დაბრკოლებაზე სრულ საექსპლოატაციო პირობებში.



ფიგ. II. 6. – ხიდგამდების სრული ციკლის სქემები.

რაც შეეხება გასაშლელი ხიდის კონსტრუქციის გრანსპორტირებას, მონტაჟს და დემონტაჟს ვერტმფრენის 61 გამოყენებით, ის იდენტურია გასაშლელი ხიდის კონსტრუქციის სახმელეთო სატრანსპორტო-სამონტაჟო საშუალებებით გახსნისა და დაკეცვის (ფიგ. II.7) [25].

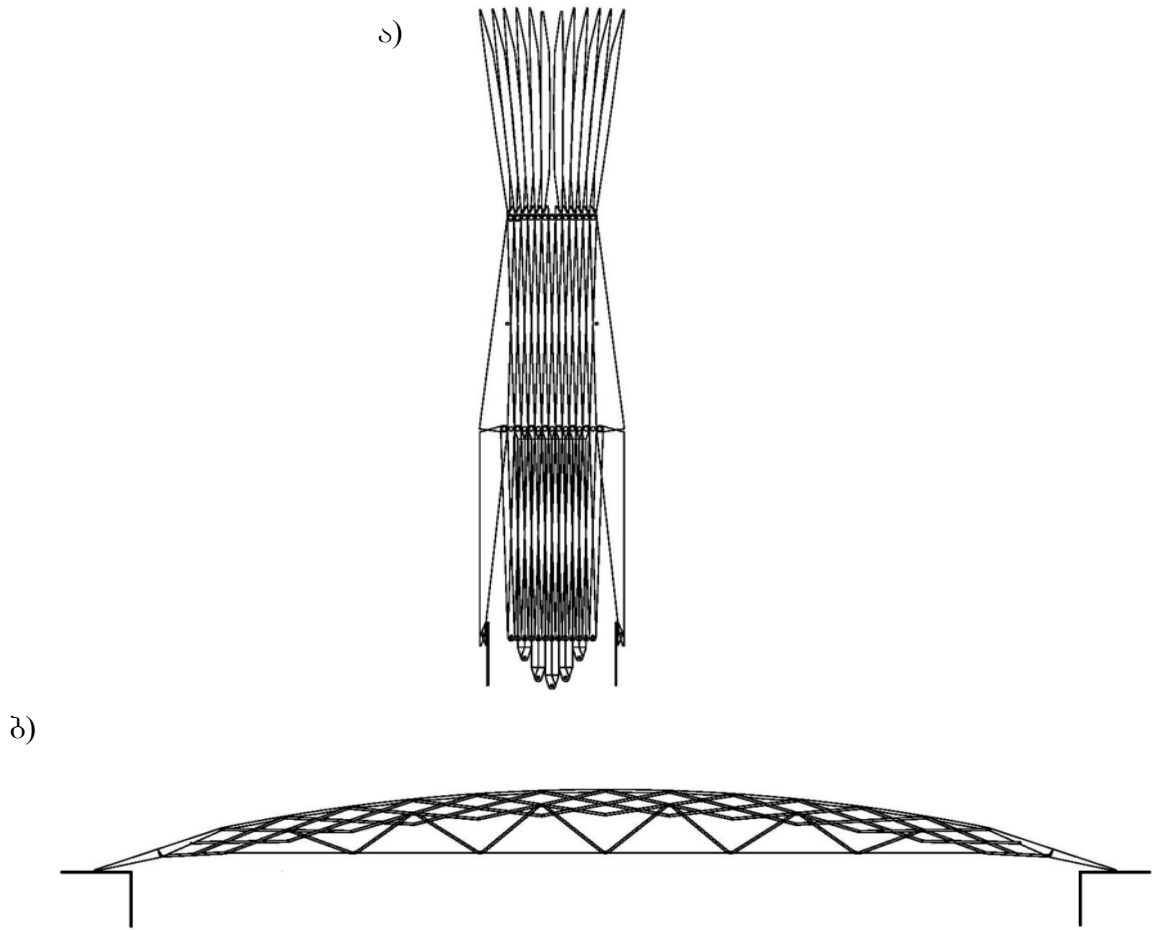


**ფიგ. II. 7. – ხიდის ტრანსპორტირება და მონტაჟი დაბრკოლებაზე ვერტმფრენის გამოყენებით.**

ა) ვერტმფრენი ხიდით; ბ) დაბრკოლების თავზე ვერტმფრენზე შეკიდული ხიდის ტრანსფორმაცია; გ) ვერტმფრენით გაშლილი ხიდის გადება გადასალახ დაბრკოლებაზე.

აქვე წარმოდგენილია შეწყვილებული სისტემის კინემატიკური სქემის მქონე გასაშლელი ხიდის კონსტრუქციის II ვარიანტი დაპევილ და გაშლილ მდგომარეობაში (ფიგ. II.8), სადაც, ერთის მხრივ, პანტოგრაფები გაორმაგებულია და, მეორეს მხრივ, ხიდს გააჩნია ირიბნები. ამდენად, თაღოვანი ხიდის კონსტრუქცია გადაიქცა სეგმენტურ, ირიბნებიან ფერმად, რომლის ზედა სარტყელი კომბინირებულია [26].

ასეთმა გადაწყვეტამ შეცვალა ხიდის მუშაობის სურათი. სტატიკურად ურკვევი სისტემიდან იგი გადაიქცა სტატიკურად რკვევად სისტემად. საექსპლოატაციო მდგომარეობაში ზედა სარტყელის ღუნვა-კუმშვაზე მუშაობის უნარით იგი უშუალოდ ითვისებს ხიდზე მოძრავი ტექნიკის მიერ გამოწვეულ მდუნავ მომენტს და ასევე ხიდის ზედა სარტყელში აღძრულ მკუმშავ ძალვებს.



ფიგ. II. 8. შეწყვილებული სისტემის კინემატიკური სქემის მქონე  
გასაშლელი ხიდის კონსტრუქცია დაკეცილ (ა)  
და გაშლილ (ბ) მდგომარეობაში.

მიუხედავად ამისა, პლავ დარჩა უარყოფითი თვისებები, მაგალითად სავალი ნაწილის და მისი ჩაბმის კვანძების შედარებით მცირე ზომები, რაც ქმნის საშიშროებას 50-60 ტონა სატრანსპორტო საშუალების მიერ, ხიდზე გადაადგილებისას სხვადასხვა ძალოვანი ფაქტორებით მათი დაზიანებისა. ამას გარდა, კონსტრუქციის დამზადება უკვე ითხოვდა მისი პანტოგრაფების ურთიერთხამაგრების პრეცეზიულობას, რაც ართულებდა ხიდის კონსტრუქციას თავისი შესრულების მომენტში. ამდენად, წარმოდგენილი ხიდის კონსტრუქცია ისევ სვამდა საკითხს მისი შემდგომი დახვეწისა.

**II. 3. “დაკუცვის პრინციპს” + “ტელესკოპის პრინციპის” მიხედვით  
შექმნილი გასაშლელი ხიდის, მზიდი პანტოგრაფული სისტემას  
სტრუქტურული და კინემატიკური ანალიზი.**

განხილული გასაშლელ-დასაკეცი ხიდის ტრანსფორმაციის მექანიზმი, რომელიც კონსტრუქციული გადაწყვეტით ლაკონერი და მარტივი არის, სტრუქტურული ანალიზის მხრივ, რაც მის კინემატიკას შეეხება, მეტად რთულია.

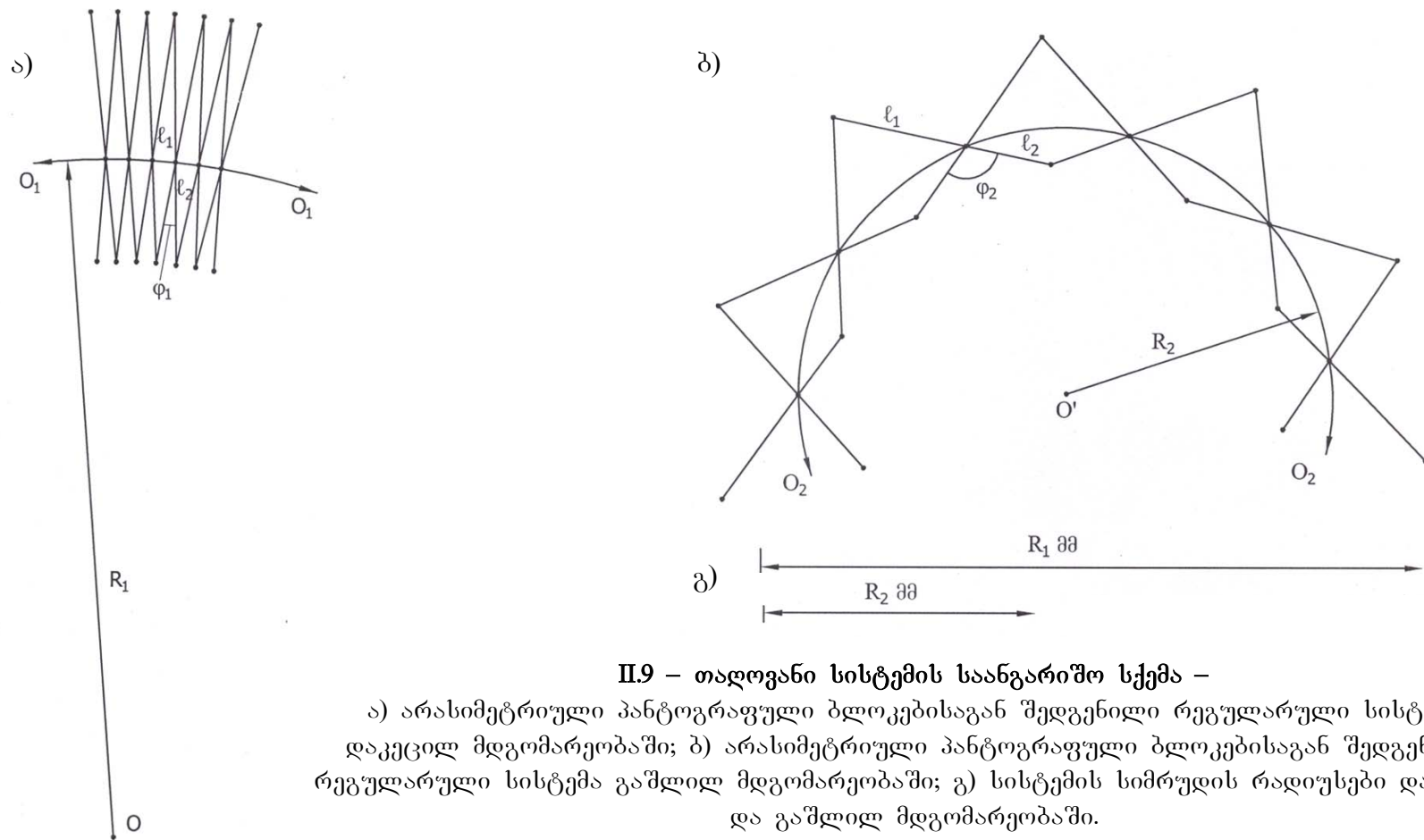
ერთი შეხედვით  $\ell_1$  და  $\ell_2$  ბერკეტებისაგან შემდგარი პანტოგრაფები, რომლებიც  $\ell_1 > \ell_2$  პრინციპის გამო წრიულ მოხაზულობას აღწევენ პანტოგრაფების მიერ ჯაჭვური სქემით გაერთიანების შემთხვევაში, თითქოს ყოველთვის ინარჩუნებენ ტრაექტორიის სიმრუდის ერთ და იგივე მნიშვნელობას  $R$ -ს პანტოგრაფებს შორის ნებისმიერი კუთხის ფ შემთხვევაში. მაგრამ ეს ასე არ არის.

გაშლის საწყის პერიოდში, როდესაც პანტოგრაფების ბერკეტებს შორის კუთხე ფ აღწევს თავის მინიმალურ მნიშვნელობას ფ<sub>1</sub>-ს პანტოგრაფებისაგან შედგენილი ჯაჭვის სისმეტრიის დერძი განთავსებულია წრეხაზზე, რომლის რადიუსია  $R_1$  (ფიგ. II.9.ა).

ამის შემდეგ იწყება პანტოგრაფების შორის არსებული კუთხის ფის მატება და იგი აღწევს ფ<sub>2</sub>-ს. სწორედ ამ მომენტში პანტოგრაფების ჯაჭვის სისმეტრიის დერძი უკვე განთავსდება წრეხაზზე, რომლის რადიუსია  $R_2$  (ფიგ. II.9.ბ).

ეს თვისება, პანტოგრაფული ჯაჭვებისა, რომელიც ვლინდება რეგულარული კონტურის შემთხვევაში, რომლის თითოეული ბლოკი წარმოადგენს არასიმეტრიულ ბერკეტულ მექანიზმს იწვევს მრავალ კანონზომიერებას სისტემის ტრანსფორმაციით ფორმათწარმოქმნის შემთხვევაში.

ეს კანონზომიერება მდგომარეობს იმაში, რომ გაშლის პირველ ეტაპზე სიმრუდის რადიუსი –  $R$  შედარებით დიდი სიდიდისაა და მისი მნიშვნელობა კლებულობს გაცილებით ნაკლებად ვიდრე სისტემის გაშლის ბოლო ეტაპებზე.



**II.9 – თაღოვანი სისტემის საანგარიშო სქემა –**

- ა) არასიმეტრიული პანტოგრაფული ბლოკებისაგან შედგენილი რეგულარული სისტემა  
დაკეცილ მდგომარეობაში; ბ) არასიმეტრიული პანტოგრაფული ბლოკებისაგან შედგენილი  
რეგულარული სისტემა გაშლილ მდგომარეობაში; გ) სისტემის სიმრუდის რადიუსები დაკეცილ  
და გაშლილ მდგომარეობაში.

ამის გამო, ხიდის ფორმათწარმოქმნის პროცესში, გაშლის საწყის ეტაპებზე, ხიდის აწევის ისარი არის ძალიან მცირე და ბოლო ეტაპებზე ხდება მისი სწრაფი ზრდა.

ეს თვისება განაპირობებს ასევე ამწის გამოყენების სირთულეებს ხიდის გაშლის შემთხვევაში, როცა ამწის ბაგირი ხიდის ცენტრალურ კვანძშია ჩაბმული. ასეთ ვითარებაში ამწის ისარი მოითხოვს დიდ სიგრძეს და დიდ დახრას, რაც იწვევს კონსტრუქციული გადაწყვეტის სირთულეებს.

რაც შეეხება გაშლილი ხიდის გეომეტრიული პარამეტრების გაანგარიშების მეთოდს, იგი შემოთავაზებულია შემდგომ თავში.

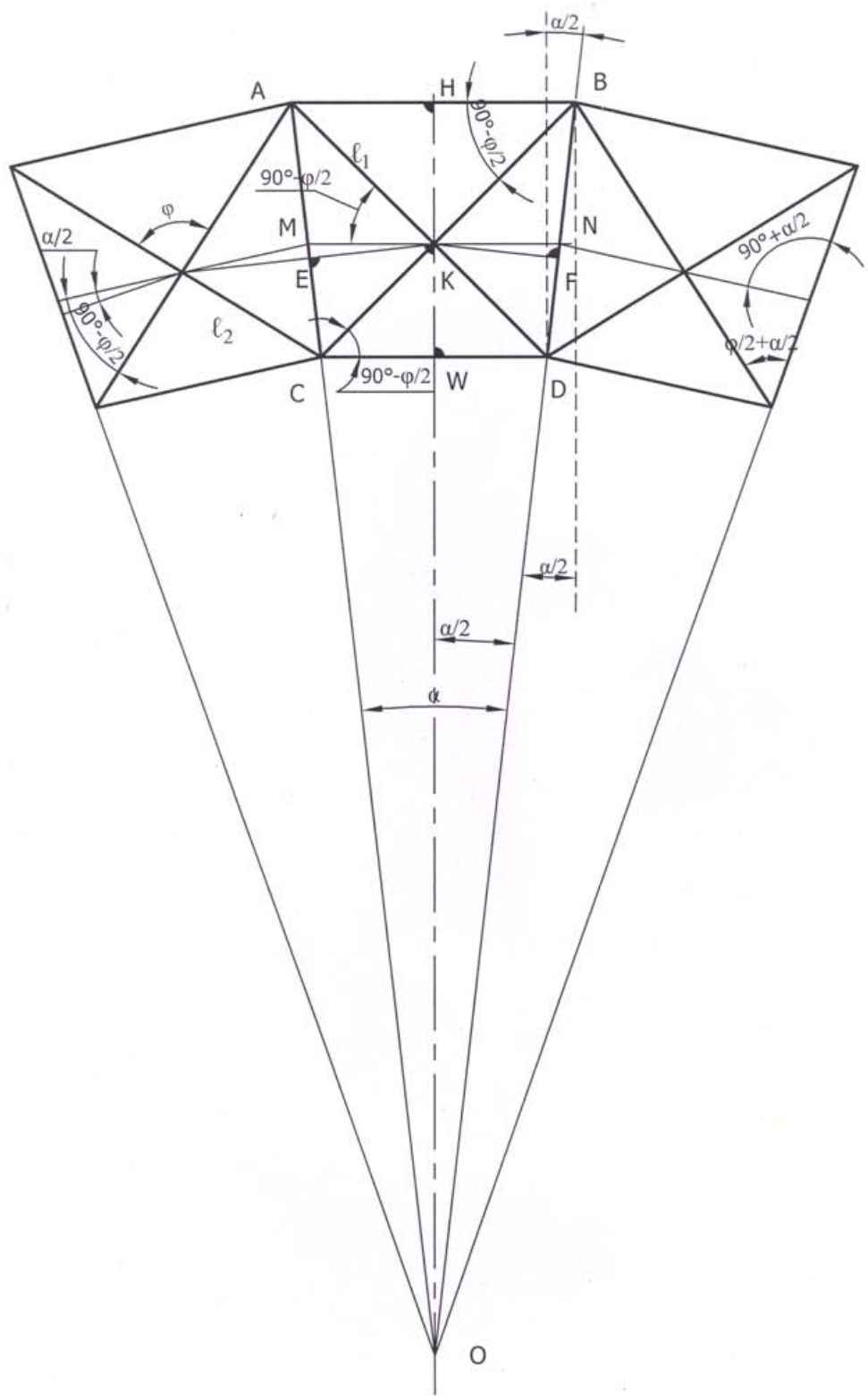
## II. 4. შეწყვილებული სისტემის კინემატიკური ანალიზი

კინემატიკური ანალიზი განხილულია კონკრეტული მალის ხიდის სქემის მიხედვით, სადაც დაზუსტებულია ყველა საწყისი პარამეტრიც: მალი –  $L$ ; ხიდის აწევის ისარი, საყრდენების დონიდან დერძის მაქსიმალური სიმაღლე –  $f$ ; პანტოგრაფის ბერკეტის ზომები –  $\ell_1$  და  $\ell_2$ ; თაღის განივალების სიმაღლე, ზედა და ქვედა სახსრებს შორის მანძილი –  $h$ .

შესაბამისად, აღნიშნული ძირითადი პარამეტრების მიხედვით უნდა განისაზღვროს ხიდის ტრანსფორმირებადი სქემის კვანძების კოორდინატები ფორმათწარმოქნის ნებისმიერ ეტაპზე და ასევე ამ ეტაპის შესაბამისი ნეიტრალური დერძების რადიუსის ხიდიდე.

მიუხედავად იმისა, რომ ძირითადი ამოცანა არის ჯაჭვური სქემით განლაგებული პანტოგრაფული სქემის რეგულარული სისტემის განხილვა, რომელსაც გააჩნია შეწყვილებული ბერკეტები, პირველ ეტაპზე ანალიზურად დგინდება ნეიტრალის დერძის რადიუსი, მარტივი პანტოგრაფული სისტემით აგებული რეგულარული ჯაჭვისა.

ამ მიზნით განვიხილოთ ხიდის პანტოგრაფული სისტემის საანგარიშო კინემატიკური სქემის გამარტივებული, არა შეწყვილებული ფრაგმენტი (ფიგ. II.10.ა).



ფიგ. II. 10. ა. – სისტემის კინემატიკური სქემა – გამარტივებული  
არაშეწყვილებული სქემის ფრაგმენტი.

ფრაგმენტზე ნაჩვენებია სამი სექცია კინემატიკური, რეგულარული სისტემის ჯაჭვისა. იგი შედგება არათანაბარი სიგრძის ბერკეტებისაგან. ნეიტრალური დერძის ზემოთ – ცენტრალური სახსრების ზემოთ განთავსებულია ბერკეტის ნაწილი, რომლის სიგრძე არის  $\ell_1$ , ხოლო ნეიტრალური დერძის – ცენტრალური სახსრების ქვემოთ განთავსებული ბერკეტის ნაწილის სიგრძე –  $\ell_2$ .

აღნიშნული ბერკეტები გადაჯვარედინებულია ცენტრალურ კვანძში, რომელიც ნეიტრალურ სიმეტრიის დერძზე მდებარეობს, ხოლო ბერკეტის ბოლოები ცილინდრული სახსრებით უკავშირდება მეზობელი სექციის ბერკეტის შესაბამის ბოლოებს, რომლებიც იმავე ცილინდრულ კვანძშია ჩამაგრებული.

ნეიტრალური, სიმეტრიის დერძის სიმრუდე განისაზღვრება სიმრუდის რადიუსით -  $R$ -ით, რომელიც ბერკეტების ურთიერთის მიმართ  $\varphi$  კუთხის ცვალებადობით შემოტრიალების შემთხვევაში სხვადასხვა სიდიდეს დებულობს.

ამასთან, კინემატიკურ საანგარიშო სქემაში ცენტრალურ კვანძებზე გამავალი სიმეტრიული დერძი და პანტოგრაფების ჯაჭვის ზედა და ქვედა კვანძებზე გამავალი მრუდე ხაზები შეცვლილია კვანძებს შორის გატარებული სწორი მონაკვეთებით.

ზედა და ქვედა კვანძის შემაერთებელი ხაზები იკვეთება ერთ – “O” წერტილში, რომელიც წარმოადგენს სიმრუდის რადიუსის საწყის წერტილს, რომლიდანაც კონცენტრული წრეხაზებია გატარებული ზედა კვანძებზე, ქვედა კვანძებზე და ცენტრალურ კვანძებზე.

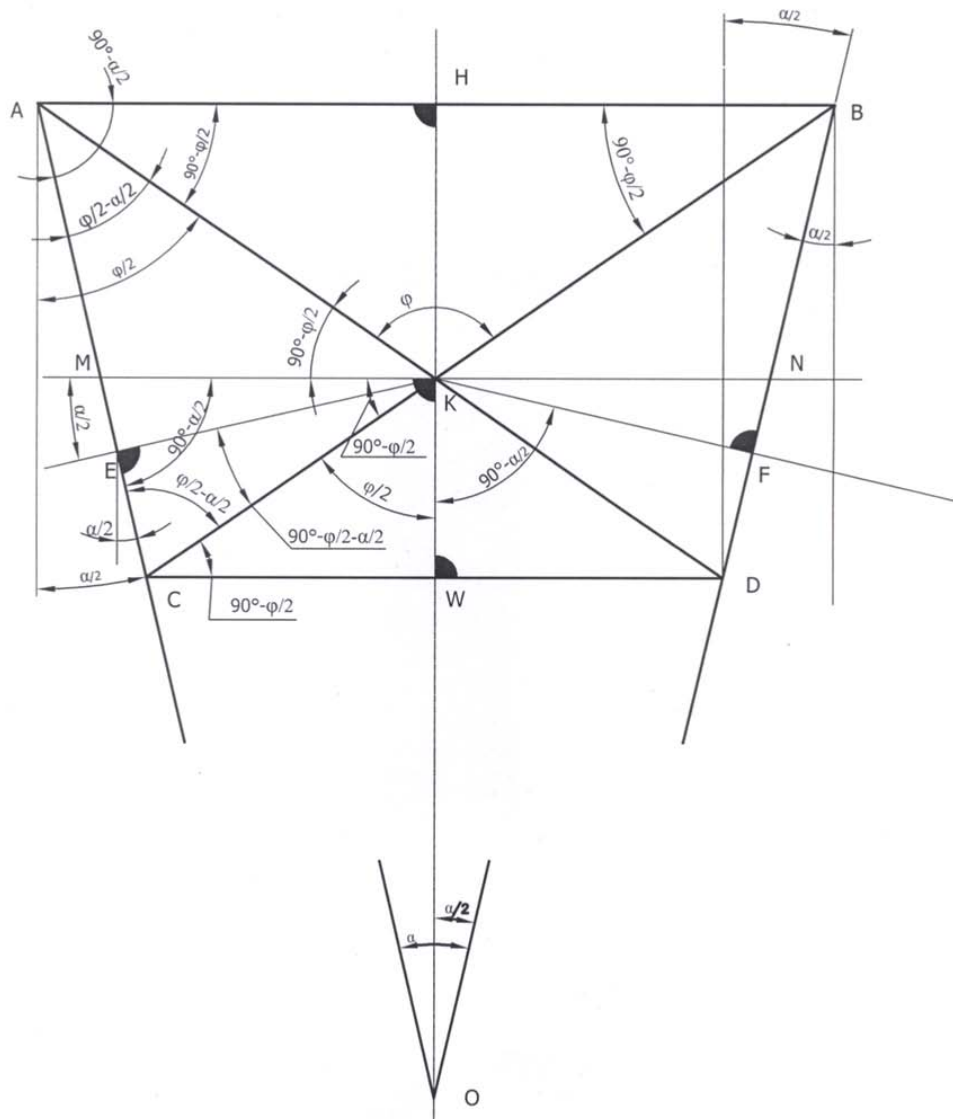
აღნიშნულ სქემაზე (იხ. ფიგ. II.10.ა) დატანილია ყველა სახასიათო დეროების განზოგადოებული სიგრძეები და კვანძებში დეროების ურთიერთგადაკვეთით შექმნილი განზოგადოებული კუთხის სიდიდეების აღმნიშვნელები.

შესაბამისად წარმოდგენილია (ნახ. II.10.ბ) აღნიშნული შეწყვილებული სისტემის კინემატიკური სქემის გამარტივებული არაშეწყვილებული პანტოგრაფების გადაკვეთის ერთი სექციის სქემა.

აღნიშნული სქემების გრაფიკული გამოსახულება დაედო საფუძვლად გაანგარიშების პროცესს, რომლის მიზანია დადგენა

პანტოგრაფული ჯაჭვის რეგულარული სქემის სიმეტრიის დერძის სიმრუდის რადიუსის სიდიდის –  $R$ -ის დამოკიდებულებისა პანტოგრაფის ბერკეტის ცენტრალური კვანძის მიმართ ზემოთ დაქვემოთ სიგრძეებისა –  $\ell_1$  და  $\ell_2$  და მათ შორის განთავსებულ, ასევე ცვალებად კუთხებს  $\varphi$ -ს შორის.

ამასთან  $\varphi$ -ს ნებისმიერი მნიშვნელობა შეესაბამება მეზობელ ცენტრალურ კვანძებზე, გატარებული დერძის სიმრუდის რადიუსებს შორის ცენტრალური კუთხის  $\alpha$ -სიდიდე, რომელიც  $\varphi$ -ს მიმართ ასევე ცვლადი დამოკიდებულებისაა.



II.10.პ. – სისტემის კინემატიკური სქემა – გამარტივებული,  
არაშეწყვილებული სქემის ერთი სექცია

წარმოდგენილი სქემის მიხედვით (იხ. ნახ. II.10)

$$\Delta \text{KON} \text{ სადაც } < \text{OKN}=90^\circ; R = KN \cdot \sin \frac{\alpha}{2}.$$

Δ KNB-დან სინუსების თვარებით

$$\frac{KN}{\sin(\frac{\varphi}{2} - \frac{\alpha}{2})} = \frac{\ell_1}{\sin(90^\circ + \frac{\alpha}{2})}$$

საიდანაც

$$KN = \frac{\ell_1 \cdot \sin(\frac{\varphi}{2} - \frac{\alpha}{2})}{\sin(90^\circ + \frac{\alpha}{2})}$$

შესაბამისად სათანადო გარდაქმნით

$$KN = \frac{\ell_1 \cdot \sin(\frac{\varphi}{2} - \frac{\alpha}{2})}{\cos \frac{\alpha}{2}}$$

ამდენად

$$R = \ell_1 \sin\left(\frac{\varphi}{2} - \frac{\alpha}{2}\right) \cdot \frac{\sin \frac{\alpha}{2}}{\cos \frac{\alpha}{2}} \quad \text{ან} \quad R = \ell_1 \sin\left(\frac{\varphi}{2} - \frac{\alpha}{2}\right) \tan \frac{\alpha}{2}$$

ანალოგიური მსვლელობით შეიძლება  $R$ -ის სიდიდის განსაზღვრა სხვა გზით.

$$\Delta \text{OKF} \text{ სადაც } < \text{KFO}=90^\circ; R = KF \cdot \cos\left(90^\circ - \frac{\alpha}{2}\right) \quad \text{ან} \quad R = KF \cdot \sin \frac{\alpha}{2}.$$

$$\text{ასევე } \Delta \text{KFD-დან } < \text{KFD}=90^\circ; KF = \ell_2 \cdot \sin\left(\frac{\varphi}{2} + \frac{\alpha}{2}\right)$$

$$\text{ამდენად } R = \ell_2 \cdot \sin\left(\frac{\varphi}{2} + \frac{\alpha}{2}\right) \cdot \sin \frac{\alpha}{2}$$

აღნიშნული ორი გზით განსაზღვრული ერთი და იგივე სიდიდის  $R$ -ის მნიშვნელობა ქმნის იმის პირობას, რომ დაიწეროს ტოლობა:

$$\ell_1 \cdot \sin\left(\frac{\varphi}{2} - \frac{\alpha}{2}\right) \cdot \frac{\sin \frac{\alpha}{2}}{\cos \frac{\alpha}{2}} = \ell_2 \cdot \sin\left(\frac{\varphi}{2} + \frac{\alpha}{2}\right) \cdot \sin \frac{\alpha}{2}$$

სათანადო გარდაქმნების შემდეგ მიიღება, რომ

$$\frac{\ell_1}{\ell_2} = \frac{\sin \frac{\varphi}{2} \cdot \cos \frac{\alpha}{2} + \cos \frac{\varphi}{2} \cdot \sin \frac{\alpha}{2}}{\sin \frac{\varphi}{2} \cdot \cos \frac{\alpha}{2} - \cos \frac{\varphi}{2} \cdot \sin \frac{\alpha}{2}} \cdot \cos \frac{\alpha}{2}$$

ანიშნული გამოსახულება ამყარებს ფუნქციურნალურ

დამოკიდებულებას კუთხე  $\varphi$  და კუთხე  $\alpha$  შორის. იმდენად, რამდენადაც აღნიშნულ გამოსახულებაში გარდა  $\alpha$  -სი ყველა სხვა სიდიდე

ცნობილია როგორც საწყისი პირობა –  $\ell_1$ ;  $\ell_2$  და  $\varphi$ . გამოსახულება იძლევა საშუალებას კონკრეტული მნიშვნელობის ჩასმის შედეგად, ტრანსფორმაციის ფორმის ნებისმიერ მომენტისათვის დავადგინოთ  $\alpha$ -ს მნიშვნელობა. ეს, თავის მხრივ, იძლევა საშუალებას  $\alpha$ -ს დადგენის შემდეგ განისაზღვროს სიმეტრიის დერძის სიმრუდის –  $R$ -ის მნიშვნელობა ტრანსფორმაციის შედეგად ფორმათწარმოქმნის სათანადო მომენტში, რადგანაც გამოსახულებაში  $R = \ell_1 \sin\left(\frac{\varphi}{2} - \frac{\alpha}{2}\right) \operatorname{tg} \frac{\alpha}{2}$  ყველა სიდიდე, გარდა  $R$ -ისა უკვე განისაზღვრული იქნება.

ახლა გადავიდეთ რკალური შეწყვილებული ბერკეტული სისტემის ამძრავი კონტურის კონექტიკური პარამეტრების განსაზღვრის კონკრეტულ მაგალითზე (ფიგ. II.11), რომელიც განხორციელდა გრაფიკულად კომპიუტერული პროგრამის – “ავტოკადის” ბაზაზე.

გრაფიკულმა ექსპერიმენტმა აჩვენა, რომ კინემატიკურმა სქემებმა კონსტრუქციის გაშლის სხვადასხვა ეტაპებზე შეცვალა არა მარტო სიმეტრიის დერძის სიმრუდის რადიუსი  $R$ , არამედ პანტოგრაფების სისტემით აგების დროს ასევე იცვლება ზომები თვით სახსრებს შორის.

$$\ell = 7349 \text{ მმ}; \ell_1 = 1882; \ell_2 = 1850; \ell_3 = 1821; \ell_4 = 1795; R_1 = 72653$$

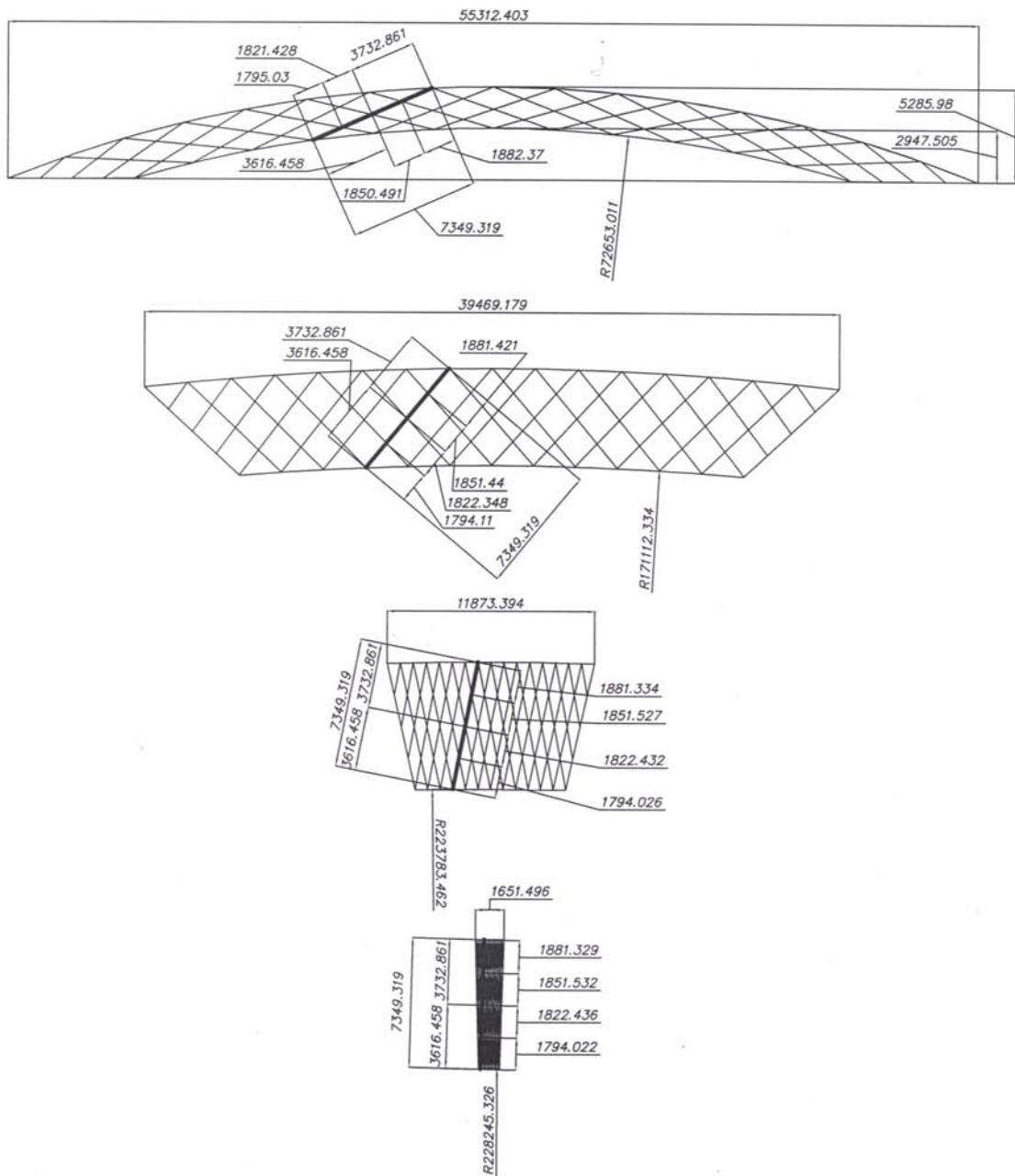
$$\ell = 7349 \text{ მმ}; \ell_1 = 1881; \ell_2 = 1851; \ell_3 = 1822; \ell_4 = 1794; R_1 = 171112$$

$$\ell = 7349 \text{ მმ}; \ell_1 = 1881; \ell_2 = 1851; \ell_3 = 1822; \ell_4 = 1794; R_1 = 223783$$

$$\ell = 7349 \text{ მმ}; \ell_1 = 1881; \ell_2 = 1851; \ell_3 = 1822; \ell_4 = 1794; R_1 = 228245$$

სახსრებს შორის მანძილის ცვლილებები, კონსტრუქციულად შეიძლება გამოსწორდეს სახსრებში, დეროს გრძივი მიმართულებით გარკვეული სიდიდის ლუფტების მომატების გზით, რაც კონკრეტულ შემთხვევაში სულ რამოდენიმე მილიმეტრით განისაზღვრება.

აღნიშნული სირთულეები, კიდევ ერთი დამატებითი პირობაა იმ მოსაზრებებთან ერთად, რაც გამოითქვა შეწყვილებული პანტოგრაფული სისტემების მიმართ, რომ უარი ვთქვათ მის გამოყენებაზე დიდი ტვირთამწეობის მქონე გასაშლელ ხიდებში.



**ფიგ. II.11 – სისტემის ამძრავი კონტური კინემატიკური პარამეტრების  
განსაზღვრისათვის – სისტემის დაკეცვის ეტაპები გაშლილი  
მდგომარეობიდან ხიდის დაკეცილ პაკეტამდე**

გასაშლელ ხიდს გააჩნია დადებითი ოვისებები:

- ხიდის კონსტრუქციული სქემა საშუალებას იძლევა გადაიღახოს 48 მეტრი სიგანის წინააღმდეგობა;
- ხიდი იშლება დროის მცირე მონაკვეთში;
- ხიდის გაშლა წარმოებს მისი ტრანსფორმაციის პროცესში ადამიანის ჩარევის გარეშე;
- ხიდის სატრანსპორტო პაკეტის ზომებია  $11.2 \times 4.1 \times 2.85$  მეტრი;
- ხიდის წონა 17 ტ;
- ხიდი გაშლის შემდეგ არ საჭიროებს დამატებით ჩამკეტებს;
- ხიდის სავალი ნაწილი ერთვება ხიდის თაღის საერთო მუშაობაში და ამით მიიღწევა მასალის ეკონომია.

გასაშლელი ხიდის უარყოფითი ოვისებებია:

- ხიდის კონსტრუქციაში მრავალი ცილინდრული სახსრების არსებობა, რომლებიც თავისი განლაგებით იწვევენ ხიდის განივი მიმართულებით გადაადგილების ხარისხის ზრდას;
- ხიდის მონტაჟი შესაძლებელია მისი შეკიდებით შუა ნაწილში, რაც იწვევს დამატებითი მასალის ხარჯს ხიდგამდების სათანადო აღჭურვისათვის, განსაკუთრებით კი 28–30 მეტრი სიგრძის ტელესკოპური ისრის მოწყობისათვის;
- ხიდს მონტაჟის დროს აქვს ძალიან დაბალი სიხისტე გრძივი მიმართულებით დუნგაზე, რადგანაც გაშლის დროს მუშაობაში არის ჩართული ხიდის მხოლოდ და მხოლოდ ურთიერთგადაჯვარედინებული ელემენტები. მათ გააჩნიათ კრიტიკული წერტილები, სადაც მისი სიხისტე მინიმალურია.

### III. გასაშლელი ხიდის კონსტრუქცია აგებული ტრანსფორმირებადი სისტემების ფორმათწარმოქმნის პრინციპით – “დაკევის პრინციპი + დახვევის პრინციპი”

#### III.1. ხიდის კონსტრუქციული სქემის აღწერა

“დაკევის პრინციპი” + ”დახვევის პრინციპი”, როგორც ტრანსფორმირებადი სისტემის ფორმათწარმოქმნის კინემატიკური სქემა, გამოყენებულ იქნა ავტორის მიერ კოსმოსური რეფლექტორის დამუშავებისას [28].

ყოველივე ზემოაღნიშნულის გათვალისწინებით შემუშავდა გასაშლელი ხიდის კონსტრუქციის ახალი ვარიანტი (ფიგ.III.1, ფიგ.III.2).

ხიდის კონსტრუქცია გამოირჩევა იმით, რომ პანტოგრაფული სქემით ურთიერთდაკავშირებული ხისტი ელემენტები, რომლებიც ერთმანეთს გადაჯვარედინებულად უკავშირდებიან ცენტრალური ცილინდრული სახსრებით და განაპირა ცილინდრული სახსრებით, გაშლის ეტაპებზე ემსახურებიან და წარმოადგენენ მხოლოდ და მხოლოდ გაშლის ელემენტებს, რომლებიც უზრუნველყოფენ ტრანსფორმაციით ფორმათწარმოქმნის პროცესს, მაგრამ ხიდის გაშლის ბოლო ეტაპზე ისინი განლაგდებიან თაღის მოხაზულობით და უკვე წარმოადგენენ ხიდის ზედა სავალი ნაწილის სარტყელს.

ტრანსფორმირებადი სისტემის ასეთი გადაწყვეტა იმ მიზნით მოხდა, რომ გასაშლელი ხიდის ყველაზე უფრო მასიური და ღუნგაზე დიდი სიხისტის მქონე, სავალი ნაწილის მზიდი სისტემები, ხიდის გაშლამდე ასრულებს ძირითადი ელემენტების როლს, რომლითაც ფორმათწარმოქმნის პროცესი ხორციელდება.

ხიდი შედგება აღმავალი პანტოგრაფებისაგან 1 (იხ. ფიგ. III.1 და ფიგ. III.2) და დაღმავალი პანტოგრაფებისაგან 2. პანტოგრაფები ურთიერთიკვეთებიან, სადაც მოწყობილია მთავარი ცილინდრული სახსრები, რომლებიც განთავსდება განივად განლაგებულ ცენტრალურ ლილვებზე 3. აღსანიშნავია, რომ პანტოგრაფების ორი სახეობიდან ან აღმავალი ან დაღმავალი პანტოგრაფები ცენტრალურ ლილვთან

ხისტად არიან ჩამაგრებული. ანალოგიური სქემით არის მოწყობილი ხიდის განაპირა სექციები, სადაც ლიანდების 4 მიხედვით, ცენტრალური ლილვი ორ ნაწილად არის გაყოფილი.

ლიანდების მიხედვით გადაჯვარედინებული პანტიგრაფების ცალკეული სექციები, გრძივად დაკავშირებულია მეზობელ სექციებთან. ეს კავშირი ხორციელდება აღმავალ და დაღმავალ პანტოგრაფებს შორის მოწყობილი სახსრებით, რომლებშიც გაყრილია ზედა ლილვები 5 და ქვედა ლილვები 6.

აღსანიშნავია, რომ აღმავალი და დაღმავალი პანტოგრაფების მაკავშირებელი ზედა ლილვები და ქვედა ლილვები განთავსებულია მთავარ ცენტრალურ ლილვზე გამავალი ლიანდების უკიდურესად დაცილებულ წერტილებში.

სწორედ მათი დაცილების მანძილებს შორის სხვაობა ანიჭებს პანტოგრაფებს, ხიდის გაშლის მომენტში, პოლიგონალურ ან წრიულ მოხაზულობას.

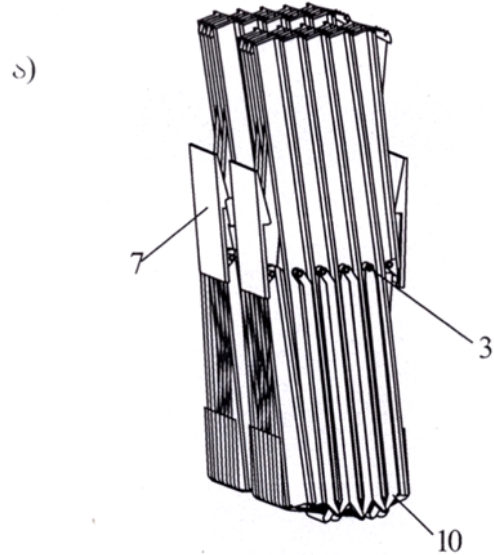
ასეთი მოხაზულობის მიღება, სათანადო გეომეტრიული გათვლების გარეშე შეუძლებელს ხდის სისტემის გაშლა-დაკუცვას, ამიტომ ამის შესახებ ცალკე ანალიზი იქნება განხილული.

ხიდის განაპირა განცალკევებულ ლილვებზე, ასევე, ჩამაგრებულია ხიდის საყრდენები 7, რომლებსაც გააჩნიათ ოვით საყრდენების მიმართ ხიდის გარკვეული გასრიალების უნარები, რაც აუცილებელია ხიდის ქვედა მოქნილი სარტყელების 8 დასაჭიროება.

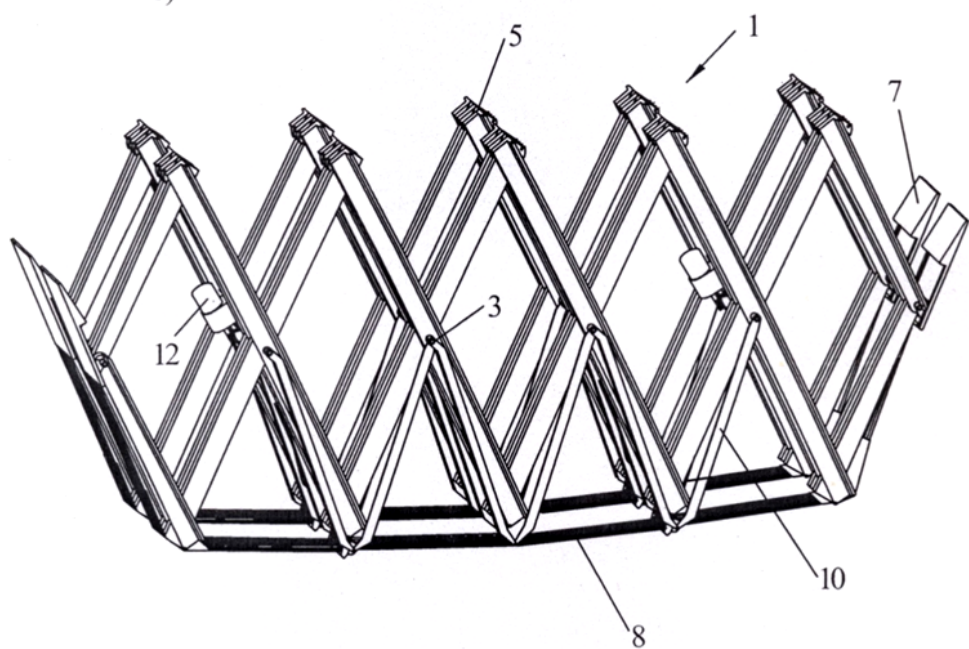
მოქნილი სარტყელები, რომლებიც მაღალი სიმტკიცის მასალისაგან არიან დამაზადებული, ჩამაგრებულია ქვედა სარტყელის კვანძებში 9. ბოლოები კი ემაგრება ქვედა ლილვებზე მოწყობილ კვანძებში.

ქვედა სარტყელის კვანძებში, ასევე, ჩამაგრდება ხიდის ირიბნები 10. ეს კავშირი ხორციელდება ქვედა სარტყელის განივი დეროების 11 საშუალებით. განივ დეროებს აქვთ უნარი, ხიდის დაკუცვის დროს, დაიხვიონ ქვედა მოქნილი სარტყელი თავის თავზე.

მეორე ბოლოთი ირიბნები ცილინდრული კვანძებით ემაგრება ცენტრალურ ლილვებზე.

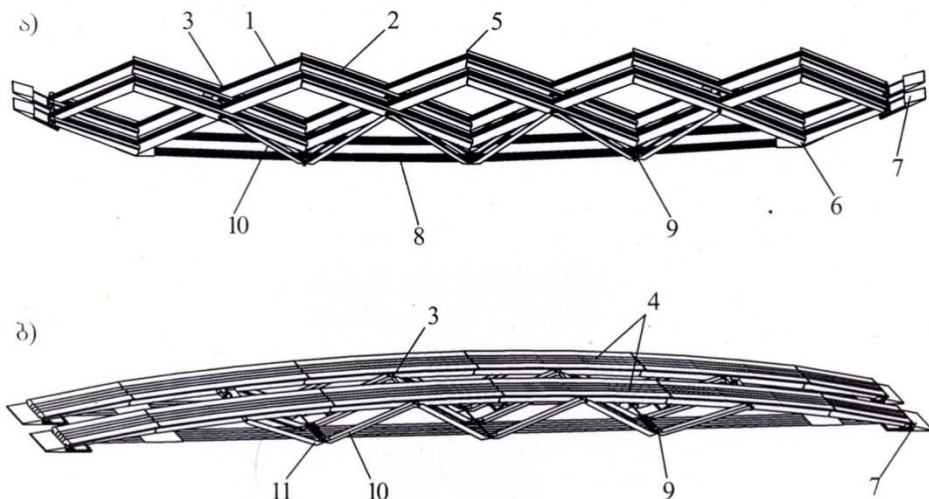


ა)



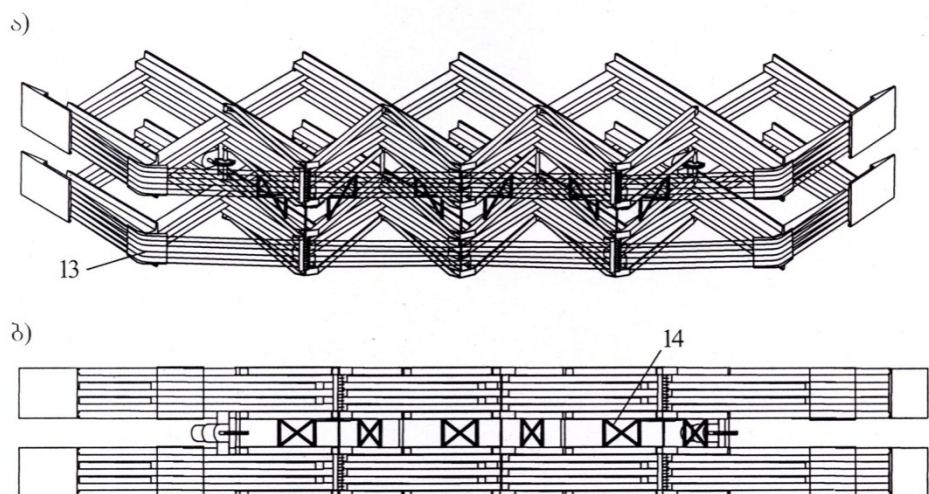
**ფიგ. III. 1. – ხიდის კონსტრუქციის გაშლის სქემები.**

- ა) ხიდი დაკეცილი სატრანსპორტო პაკეტის გაბარიტებით;
- ბ) ხიდის ტრანსფორმაციის პირველადი ეტაპი.



ფიგ. III. 2. – ხიდის კონსტრუქციის გაშლისა და ფიქსაციის სქემები.

- ა) ხიდის ტრანსფორმაციის მეორე ეტაპი;  
ბ) ხიდის კონსტრუქციის გაშლილ, ფიქსირებულ მდგომარეობაში.



ფიგ. III. 3. – ხიდის კონსტრუქციაზე განთავსებული ქვედა მოქნილი სარტყელის დამცავი ფირფიტები და ირიბნებზე მოწყობილი დამატებითი კავშირების სქემა.

- ა) ხიდის სივრცითი სქემა; ბ) ხიდის ზედხედი.

ხიდის გაშლის მექანიზმები, მოცემულ შემთხვევაში წარმოდგენილია ელექტროამძრავის 12 სახით. იგი ემაგრება აღმავალ ირიბნებს, ხოლო თავის ბრუნვით ცენტრალური ლილვის ირგვლივ ატრიალებს დაღმავალ ირიბნებს, რაც უზრუნველყოფს სისტემის გაშლა-დაკეცვას.

ხიდს ქვედა სარტყელის განაპირა სიბრტყეებზე, განთავსებული აქვს მოქნილი ფირფიტები 13 დაკავშირებული ქვედა სარტყელის

მოქნილ დეროებთან (ფიგ. III.3). ასეთი გადაწყვეტა აუცილებელია იმისათვის, რომ ხიდის დაკეცვის მომენტში, პანტოგრაფების ქვედა მაკავშირებელ კვანძებში არ მოხდეს მოქნილი ქვედა სარტყელების არაკონტროლირებადი ჩაკეცვა.

ხიდის ორ რიგად განლაგებული ლიანდები ერთმანეთში დამატებით ერთიანდებიან კავშირებით 14, რომელიც ხიდის ირიბნებზეა მოწყობილი.

განხილვას მოითხოვს ზედა და ქვედა პანტოგრაფების, ხიდის სრული გახსნის დროს, მაკავშირებელი ჩამკეტები. ისინი ორ ვარიანტად არის წარმოდგენილი (ფიგ. III. 4; ა და ბ).

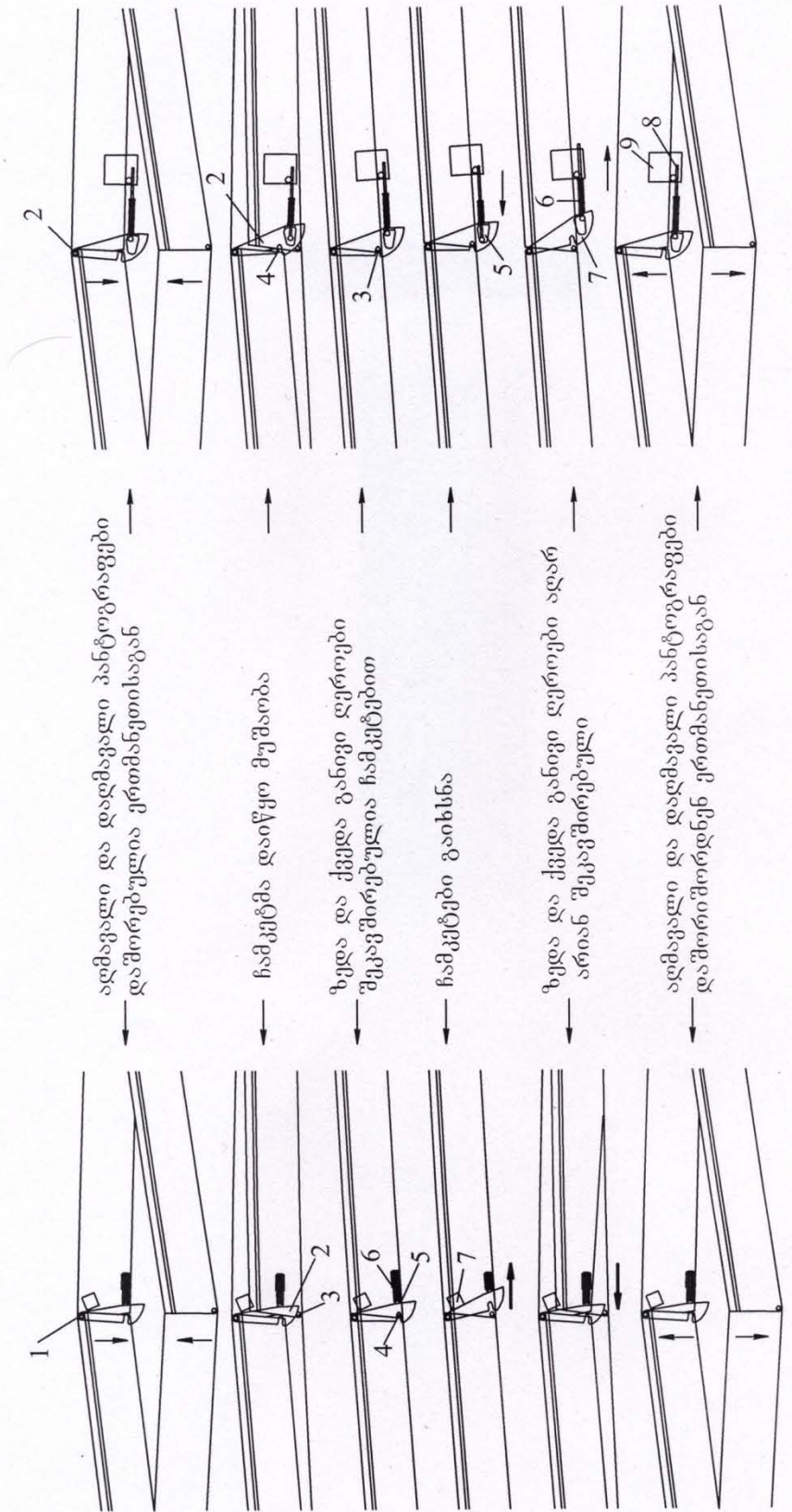
პირველი ვარიანტი (იხ. ფიგ. II. 4. ა) შემდეგ პრინციპზეა აგებული. პანტოგრაფების შემაერთებელ ზედა განივ ლილვზე 1, ცილინდრული სახსრით დამაგრებულია სატაცი 2, რომელსაც აქვს ქვედა განივი დეროების 3 ჩასასმელი ბუდე 4. სატაცი ყოველთვის დაძაბულ მდგომარეობაშია. მას ებჯინება საბჯენი 5, რომელსაც აწვება ზამბარა 6 განთავსებული ზამბარის ბუდეში.

ხიდის სრული გაშლის შემდეგ ხდება, ქვედა განივი დეროების გასრიალება სატაცზე და მისი შესვლა დამჭერ ბუდეში. ხიდის გახსნის დროს სატაცი მიიზიდება ელექტრომაგნიტით 7 და ხდება ქვედა განივი ლილვის გათავისუფლება სატაციდან.

მეორე ვარიანტი (იხ. ფიგ. II. 4. ბ) შემდეგ პრინციპზეა აგებული. პანტოგრაფების შემაერთებელი ზედა განივ დეროებზე 1, ცილინდრული სახსრით დამაგრებულია სატაცი 2, რომელსაც აქვს ქვედა განივი დეროების 3 ჩასასმელი ბუდე 4.

სატაცს აქვს ფიგურული ამონაჭერი 5, რომელშიც მოძრაობს დამჭერის 6 თითო 7. დამჭერის მეორე ბოლო 8 კი გადაადგილდება ელექტრო. ამძრავით 9, რითაც ხდება ბუდეში ქვედა განივი დეროს განთავსება ან მისგან გათავისუფლება.

განხილულ ხიდს, რომელსაც მრავალი დადებითი თვისება გააჩნია, გაშლის ბოლო ეტაპზე, პანტოგრაფების მაკავშირებელი ზედა განივი დეროების და ქვედა განივი დეროების ურთიერთმაკავშირებელი ჩამკეტების მხრივ გარკვეული პრობლემები ახასიათებს.



ზოგ. III. 4. – პანტოგრაფების ზედა და ქვედა განივი ლეროების მაკაფშირებელი ჩამოსწერი.

ა) ზამთარებიანი ჩამოსწერი; ბ) ელექტროამძრავიანი ჩამოსწერი.

გართულებულია ხიდის გაშლის ბოლო ეტაპებზე ყველა ჩამპეტის ერთობლივი ჩაპეტვა, რამაც შეიძლება შექმნას არასაშტატო ვითარება. ამასთან, ხიდის გეომეტრიული თავისებურებებიდან გამომდინარე, თითოეულ პანტოგრაფის სიმაღლის 50 სანტიმეტრამდე გაზრდის შემთხვევაში, პანტოგრაფების მაკავშირებელი ზედა და ქვედა ცილინდრული სახსრები და, მით უმეტეს, განივი დეროები შედარებით მცირე სიდიდის დიამეტრის არის. ეს კი, გარდა მუშაობის სტატიკური და დინამიკური სურათის სირთულისა, ასევე, ხიდის ექსპლუატაციის პირობებიდანაც ქმნის ბევრ სიძნელეს, რადგან მასზე მუხლუხებიანი მძიმე ტანკი გადაადგილდება, რაც იწვევს ხიდის სავალი ნაწილის, მცირე ფართით ურთიერთშემხები ზედაპირების თელვას.

აღნიშნული ნაკლოვანებების აღმოფხვრა შესაძლებელია, მაგრამ 48 მეტრი მაღის შემთხვევაში, სავალი ნაწილის თითოეული ბლოკის, პანტოგრაფების განივალების სიმაღლის კიდევ უფრო მეტი მომატება იწვევს ხიდის დაკეცილი პაკეტის საერთო სიმაღლის ზრდას, რაც ართულებს ხიდის ტრანსპორტირებას. ხიდის სხვა ყველა კომპონენტი, შეესაბამება გაზრდილმაღალიანი გასაშლელი ხიდის მოთხოვნებს, როდესაც მისი სრული სიგრძე 48 მეტრამდე აღწევს.

ახლა კვლავ დავუბრუნდეთ ხიდის კონსტრუქციული სტრუქტურის ტრანსფორმაციის პროცესებს.

როგორც აღინიშნა ხიდი გაშლილ მდგომარეობაში წარმოადგენს სეგმენტურ კომბინირებულ ფერმას, რომელსაც გააჩნია ზედა ღუნვა-კუმშვაზე მომუშავე ხისტი სარტყელი, ხისტი, ცენტრალურ კვანძებში სახსრულად ჩამაგრებული ირიბნები, რომელთაც სამკუთხა ფორმის განლაგების სქემა აქვთ და ქვედა მოქნილი სარტყელი, რომელიც ხიდის დაკეცვის დროს ირიბნების შეერთების ქვედა სახსრულ კვანძებში ეხვევიან ირიბნებს შემაერთებელ განივ დერძებზე.

ხიდი შედგება ორი ლიანდისაგან, რომლებიც ერთმანეთს უკავშირდებიან ცენტრალურ სახსრულ კვანძებს მიერთებული მთავარი ლილგებით. ასეთი სქემა ხიდის დაკეცილი სატრანსპორტო პაკეტიდან, ვიდრე გაშლის შედეგად არ მიიღწევა ფორმა დასრულებული ხიდისა, რომელიც უზრუნველყოფს მის სრულ ექსპლუატაციას, გამოირჩევა დიდი მზიდუნარიანობით და, ამასთან ერთად, საკუთარო წონის შემსუბუქებით. რაც მიიღწევა კონსტრუქციულ მასალებში მაღალი

სიმტკიცის ალუმინის შენადნობების გარდა, ასევე მაღალი სიმტკიცის ფოლადის ბაზირების გამოყენებით და სავალი ნაწილის ფილის ხიდის კონსტრუქციის საერთო მუშაობაში ჩართვით.

გასაშლელი ხიდი (იხ. ფიგ. III.1 და ფიგ. III.2) პირველ ეტაპზე წარმოადგენს სატრანსპორტო პაკეტის სახით დაკეცილ კონსტრუქციას (იხ. ფიგ. III.1.ა).

შემდეგ ეტაპზე იწყება ხიდის ტრანსფორმაცია (იხ. ფიგ. III.1.ბ. და III.2.ა), ხოლო ბოლო ეტაპზე ტრანსფორმაციის პროცესი მთავრდება და მიიღება ხიდის გაშლილი კონსტრუქცია (იხ. ფიგ. III.2.ბ).

როგორც ვხედავთ, ტრანსფორმირებადი კონსტრუქციის მაგალითზე, ხიდს გააჩნია პირველად ფიქსირებული ფორმა, დაპეცილი სატრანსპორტო პაკეტის სახით; ფუნქციონალური ფორმები, რიმლებიც ტრანსფორმაციის პროცესში წარმოიქმნება; და საექსპლოატაციო ფუნქციონალური ფორმა გაშლილი ხიდის სახით.

ამრიგად, შექმნილი ხიდი სრულ შესაბამოსიბაშია ტრანსფორმირებადი სისტემების თეორიით განსაზღვრულ განმარტებასთან, რომლის მიხედვით – ტრანსფორმირებადი ხისტემა არის ერთმანეთთან გარკვეული წესით დაკავშირებული ელემენტების ერთობლიობა, რომლებიც წარმოშობები მთლიანობას, რომელსაც ახასიათებს მრავალი ფიქსირებული, მათ შორის ფუნქციონალური ფორმა, რომელთა დროს ელემენტების ურთიერთგანლაგება ინარჩუნებს რა ურთიერთკავშირის მთლიანობას, იცვლება დროსა და ხიდის სივრცეში.

წარმოდგენილი ხიდი, ასევე წარმოადგენს მექანიზმებისა და ნაგებობის შერწყმით მიღებულ ერთობლიობას, რომელსაც საფუძვლად უდევს კონკრეტული კონსტრუქციული გადაწყვეტა.

### III. 2. ხიდის მონტაჟისა და დემონტაჟის სქემები სატანკო ხიდგამდების გამოყენებით.

ხიდის ტრანსპორტირებისა, გასაშლელად მომზადებისა, ტრანსფორმაციისა და გადასალახ დაბრკოლებაზე მოწყობოსათვის შეიქმნა განსაკუთრებული კონფიგურაციის ხიდგამდების პროექტი (ფიგ. III. 5. და ფიგ. III. 6).

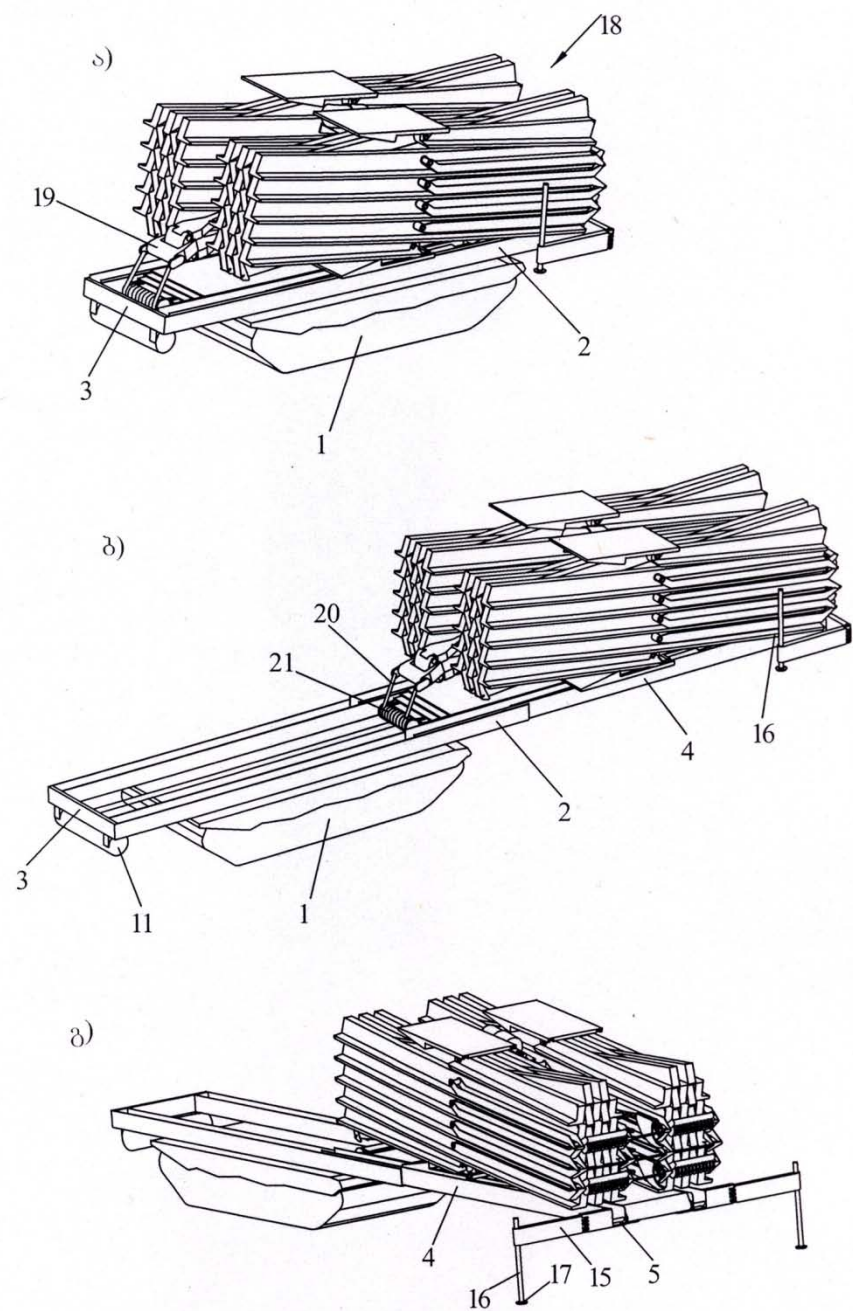
ხიდის დანიშნულების ადგილამდე მისატანად შეიძლება გამოყენებულ იქნას მუხლუხა სატრანსპორტო საშუალება, რომელსაც

შასიზე 1 დაყენებული აქვს გრძივი მიმმართველები 2. მიმმართველები კიჩოს მხარეს გაერთიანებულია ერთმანეთთან განივას 3 მეშვეობით. მიმმართველებში სრიალა სახსრებით ჩასმულია გამოსაწევი კოჭები 4. გამოსაწევი კოჭების მასის წონა მხარის ბოლოებს აქვს დამაკავშირებელი დერძი 5. დერძზე დაყენებულია  $90^{\circ}$  შემობრუნების შესაძლებლობის მქონე ამწევ-დამწევი საყრდენები 6 ამწე ისრის 7 აწევა-დაწევისათვის.

ამწევ-დამწევი საყრდენები აღჭურვილია პიდროცილინდრებით 8, რომლებიც სასხრულად მიერთებულია გამოსაწევ კოჭებსა და ამწევ-დამწევ საყრდენებზე. კოჭების დამაკავშირებელ დერძზე შემობრუნების შესაძლებლობით მიერთებულია ამწე ტელესკოპური ისარი. ამწე ისრის თავზე 9 დამაგრებულია ბაგირის 10 ერთ-ერთი ბოლო. ბაგირის მეორე ბოლო დამაგრებულია განივაზე დაყენებულ ამძრავიან დოლზე 11. ამწე ისრის თავზე დაყენებულია დამატებითი ამძრავიანი დოლი 12 მასზე დახვევის შესაძლებლობით დამაგრებული სატაცის 13 საწევი ბაგირით 14. ხოლო გამოსაწევ კოჭებთან სახსრულად გვერდებზე გაწევის შესაძლებლობით დაკავშირებულია ძელები 15. ძელების ბოლოებზე მიერთებულია ამწევ-დამწევი დეროები 16 მათზე სახსრულად მიერთებული საყრდენი ფილებით 17.

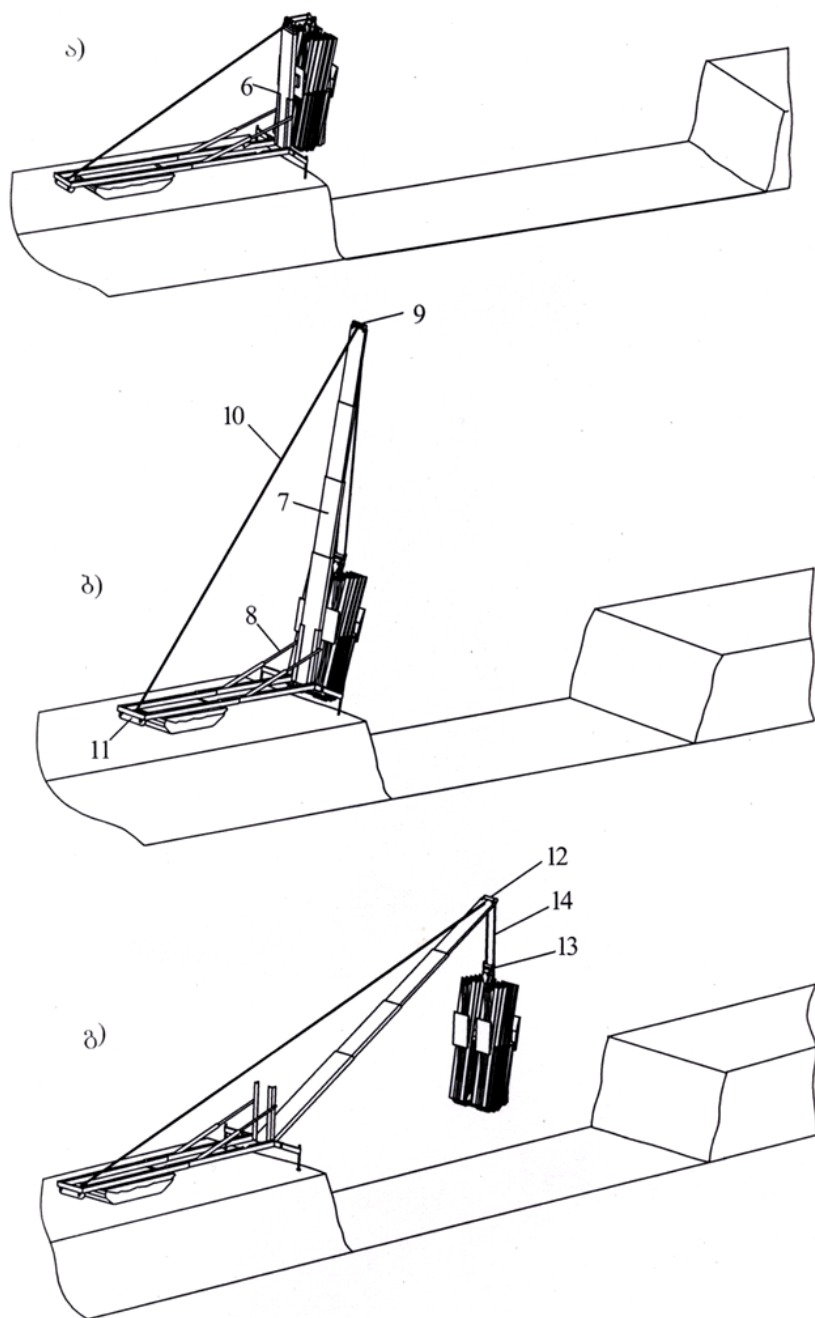
მუხლუხა ხიდგამდებზე ხიდი 18 დაკეცილ მდგომარეობაში 18 გვერდით დაყრდნობილია მის გამოსაწევ კოჭებზე და დამაგრებულია სატაცზე 19 სამაგრი ელემენტის მარყუჯის მეშვეობით. სატაცის საწევი ბაგირი 20 დახვეულია დოლზე 21. ამწე ისარი და მისი ამწევ-დამწევი საყრდენები დაკეცილია.

ხიდის წინააღმდეგობაზე გაშლისათვის ხიდგამდებს მიაყენებენ მის ნაპირთან. მართვის პულტით მოქმედებაში მოდიან გრძივ მიმმართველებში დაყენებული კოჭები, რომლებიც გასრიალდება მიმმართველებზე და გაიწევს წინააღმდეგობისკენ. ამძრავის ამუშავებით წარმოებს კოჭებთან სახსრულად მიერთებული ძელების გვერდებისკენ გაწევა. შემდეგ ხორციელდება ძელების ბოლოებზე მიერთებული ამწევ-დამწევი საყრდენების სიგრძის რეგულირება მანამ, სანამ საყრდენი ფილები მიებჯინება გრუნტს.



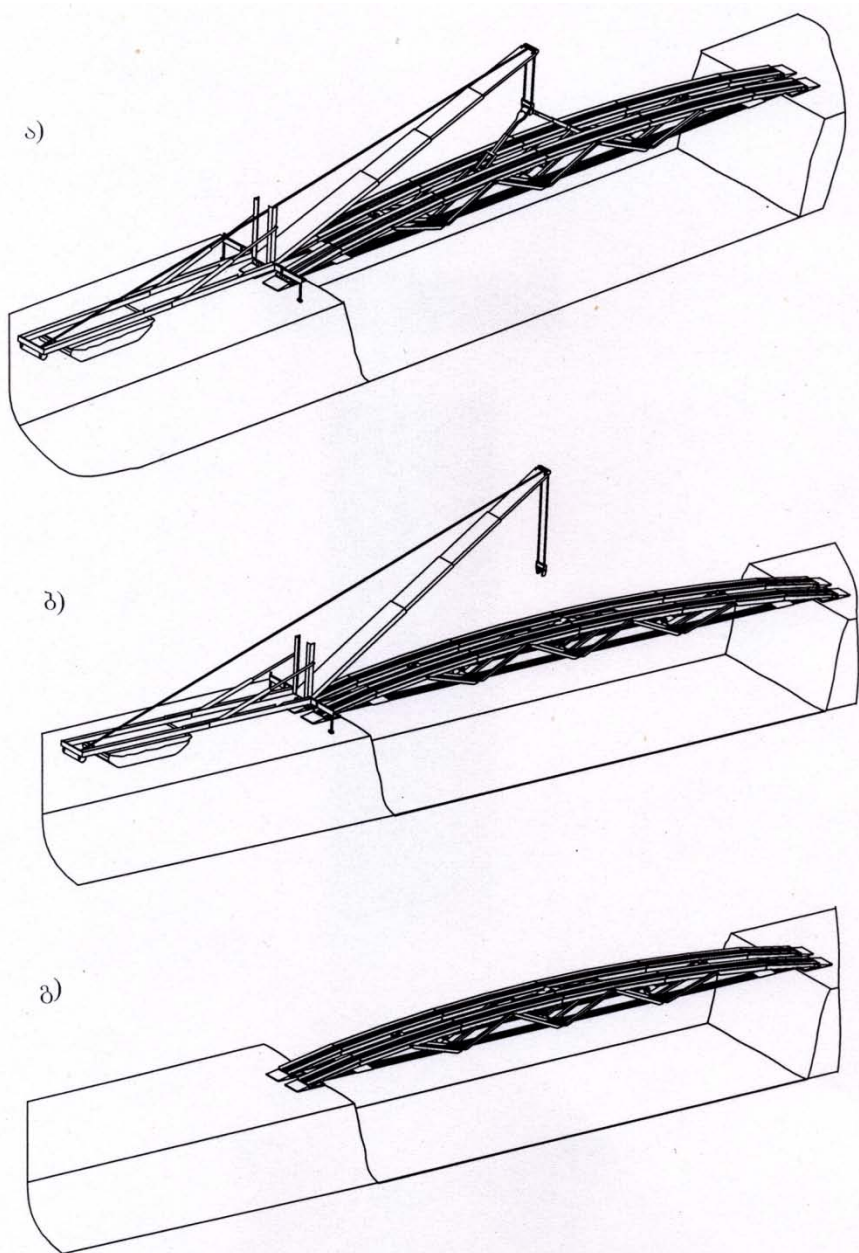
ფიგ. III. 5. – ხიდგამდებისა და ხიდის ურთიერთშეთავსებული პროცესები.

- ა) ხიდგამდები და მასზე განთავსებული ხიდი სატრანსპორტო მდგომარეობაში;
- ბ) ხიდგამდების მიერ ხიდის კონსოლური გამოწევა;
- გ) ხიდგამდების სრული მომზადება ხიდის მონტაჟისათვის.



ფიგ. III. 6. – ხიდის ტრანსფორმაციის სქემები გადასალახ დაბრკოლებაზე.

- ა) ხიდის ტრანსფორმაციის პროცესის სასტარტო მდგომარეობა;
- ბ) ხიდგამდების ტელესკოპური ისრის ვერტიკალურად გაშლა;
- გ) ტელესკოპური ისარი დახრილ მდგომარეობაში.



**ფიგ. III. 7. – ხიდის გადასალახ დაბრკოლებაზე გადების პროცესები.**

- ა) ხიდგამდების ისარი დაკავშირებულია ხიდის ჩასაბმელ მოწყობილობასთან;
- ბ) ხიდგამდებმა დაასრულა ხიდის დაბრკოლებაზე გადების პროცესი;
- გ) ხიდი საექსპლოატაციო მდგომარეობაში.

შემდეგ ეტაპზე მართვის პულტიდან ჰიდროცილინდრების ამოქმედებით ხერციელდება ამწე ტელესკოპური ისრის ქვეშ მოწყობილი ამწევ-დამწევი საყრდენების  $90^{\circ}$ -ით აწევა, რომელსაც თან ახლავს ამწე ისრის აღმართვა. ამის შემდეგ ხდება ტელესკოპური ამწე ისრის გაშლა და წინააღმდეგობისკენ გადახრა იქამდე, სანამ მოხდება

დაკეცილი ხიდის წინააღმდეგობაზე გაშლისათვის ხელსაყრელი მდგომარეობის დაკავება და წარმოებს ხიდის გაშლა. ხიდის საყრდენების ნაპირებზე მიბჯენისას სატაცი თავისუფლდება ხიდის მისაბმელი მოწყობილობის 22 მარყუჟიდან (ფიგ. III.7).

ამის შემდეგ ხდება ხიდგამდების დაკეცვა. შემდგომ, ხიდგამდები გადაივლის ხიდს და მისი მეორე ბოლოს მხრიდან აწარმოებს მისაბმელი ელემენტის მარყუჟზე სატაცის კაუჭის მოჭიდებას, ხიდის აწევას, დაკეცვას და ხიდგამდებზე დაყრდნობას ახალი დანიშნულების ადგილზე გადასატანად. გასაშლელი ხიდის დემონტაჟი ხორციელდება რევერსით მონტაჟის პროცესისა.

ხიდის დანიშნულების ადგილამდე მისატანად ასევე შეიძლება გამოყენებულ იქნეს ვერტმფრენი. ამ შემთხვევაში დაკეცილი ხიდის ჩასაბმელ მარყუჟში გაეყრება სატაცის კაუჭი ბაგირით. ვერტმფრენის ჯალამბარზე ბაგირის დახვევით წარმოებს მისი აწევა და წინააღმდეგობასთან გადატანა. ჯალამბარის ამოქმედებით ხდება ბაგირის ზღუდისკენ ჩაშვება, დისტანციური მართვის პულტის გამოყენებით ამოქმედებიან ხიდის საკეტების მაღებლოკირებელი ელექტრომაგნიტები, რასაც მოყვება ხიდის გაშლა. წინააღმდეგობის ნაპირებზე საყრდენების დაყრდნობის შემდეგ გრძელდება ბაგირის ჩაშვებას იქამდე, სანამ დაიკეცება ხიდის ჩასაბმელი მოწყობილობის ტელესკოპური დეროები და ჩასაბმელი მარყუჟი ჩაიწევა სავალი ნაწილის კოჭებს შორის. ხელით ან დისტანციური მართვის პულტით ხიდის ჩასაბმელ მარყუჟს ათავისუფლებენ სატაცებისაგან, რის შემდეგ ხიდი დებულობს საექსპლუატაციო მდგომარეობას.

### III. 3. გასაშლელი ხიდის გაანგარიშება

“დაკეცვის პრინციპს” + “დახვევის პრინციპით” შექმნილი “48 მეტრი მალის მქონე, საიერიშო გასაშლელი ხიდი და ხიდგამდები” წარმოდგენილი 92 გვერდზე შესრულებული სამუშაოს და მისი დაცვით 2008 წელს გიორგი მემარიაშვილს მიენიჭა მაგისტრის აკადემიური ხარისხი.

ნაშრომში, სხვა საკითხებითან ერთად განხილულია ხიდის კონსტრუქციის გაანგარიშება. ამდენად, აქ წარმოდგენილია ხიდის გაანგარიშების და კონსტრუირების ძირითადი შედეგები, რომელიც მთლიანი სახით განხილულია აღნიშნულ ნაშრომში.

გასაშლელი სამხედრო ხიდის კლასია – MBC70, რაც ხიდის ტვირთამწეობის მიხედვით მიანიშნებს 70 ტონა სასარგებლო დატვირთვას.

ხიდის დაკეცილი სატრანსპორტო პაკეტის სიგრძე შეადგენს 11,2 მ; სიგანე – 4,1 მ; სიმაღლე კი – 3 მ.

გასაშლელი ხიდის საერთო სიგრძე 48 მეტრია. ხიდის გაშლის სანგარიშო დრო 7 წუთია.

ხიდის მალის ნაშენის წინასწარ შერჩეული მასალა ალუმინის შენადნობია, მარკით 1915T. მისი საანგარიშო წინაღობა გაჭიმვაზე, კუმშვაზე და დუნგისას შეადგენს  $R_i = 2000 \text{ კგ/სმ}^2$ . მასალის დრეკადობის მოდულია  $E = 710000 \text{ კგ/სმ}^2$ . ძვრის მოდულია  $G = 270\ 000 \text{ კგ/სმ}^2$ . პუასონის კოეფიციენტია  $\mu = 0,3$ . ტემპერატურისაგან ხაზობრივი გაფართოების კოეფიციენტი შეადგენს  $K = 0,23 \cdot 10^{-4}$ . სიმკვრივის საშუალო მნიშვნელობაა  $\rho = 2,7 \text{ ტ/მ}^3$ .

ხიდის კონსტრუქციებში, ასევე, გამოყენებულია ფოლადის შენადნობები, რომლის საანგარიშო წინაღობაა  $R = 2100 \text{ კგ/სმ}^2$ , ხოლო დრეკადობის მოდელია  $E = 2\ 100\ 000 \text{ კგ/სმ}^2$ .

ხიდის კონსტრუქციაში ქვედა მოქნილი სარტყელები შესრულებულია მაღალი სიმტკიცის ბაგირებისაგან, რომელთა ნორმატიული წინაღობა  $R_\sigma = 14\ 000 \text{ კგ/სმ}^2$ .

ხიდზე მოძრავი დატვირთვა შეესაბამება სტანდარტს – HG – 60-ს.

ხიდის კონსტრუქციის გაანგარიშება ხდება სამ ეტაპად:

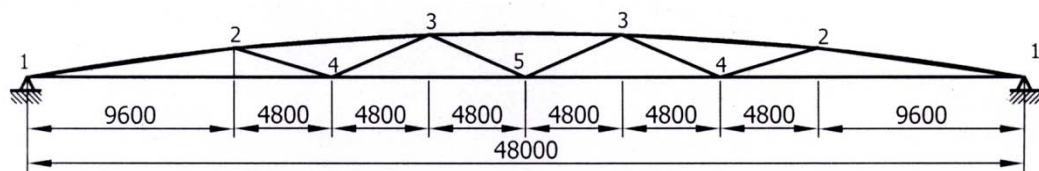
*I ეტაპი.* ხიდის მიახლოებითი საინჟინრო გაანგარიშება. ამ ეტაპზე ლიტერატურაში არსებული მიახლოებითი ფორმულებით და მეთოდებით ხდება ხიდის კონსტრუქციის მიახლოებითი ანგარიში.

*II ეტაპი.* ხიდის წინასწარი კონსტრუირება, საკუთარი კვეთებით, წონით და დროებითი ტვირთით გაანგარიშდება ყველა შესაძლო დატვირთვებზე. ეს ეტაპი შუალედურ ანგარიშს მოიცავს, რომლის

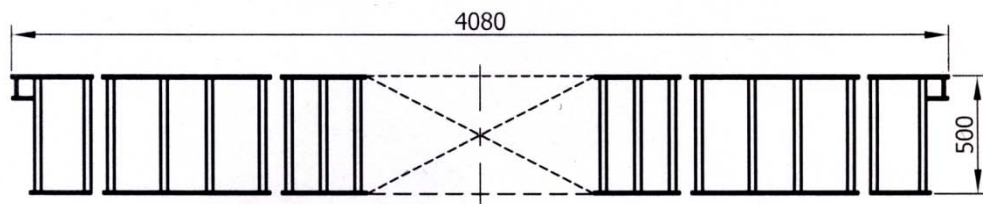
შედეგის მიხედვით, უკვე ხდება საბოლოო კვეთების ზუსტად განსაზღვრა და საბოლოო ანგარიშის ჩატარება.

*III გზაპი.* ხიდის კონსტრუქციის საბოლოო ანგარიში საექსპლოატაციო და ტექნოლოგიურ დატვირთვაზე, იძლევა შედეგებს, რომლის მიხედვითაც კონტროლდება ყველა კვეთში ძალვები. ამასთან, ამ ეტაპზეც მოსალოდნელია რიგი ცვლილების შეტანა კონსტრუქციის ელემენტების კვეთებში.

გაშლილ მდგომარეობაში ხიდის ბრტყელი პრინციპული სქემა წარმოდგენილია ფიგ. III.8-ზე.

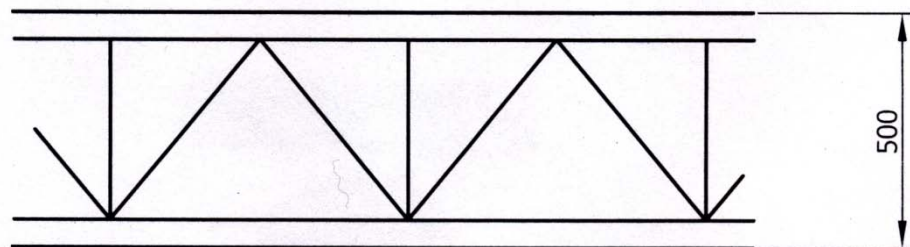


ჰრილი 1-1



ფიგ. III.8. – ხიდის გეერდხედის სქემა და ზედა კომბინირებული სარტყელის ჰრილი 1-1.

ზედა კომბინირებული სარტყელი სტრუქტურაში წარმოადგენს ფერმებს, გასივრცოებულს ფერმების ზედა და ქვედა სარტყლების მუშაობაში ჩართული ფილების სახით. (ფიგ. III. 9).



ფიგ. III. 9. ზედა სარტყლის სტრუქტურის სქემა.

კონსტრუქციის ანგარიში, სათანადო საანგარიშო სქემის და საანგარიშო მოდელის შექმნის შემდეგ მოხდა პროგრამული უზრუნველყოფით “Lira 2008”.

ანგარიშის ანალიზის შედეგად, შესაძლო კრიტიკულ დატვირთვებიდან შეიქმნა მაქსიმალური ძალოვანი ფაქტორები:

$$M_{\text{ძუღმივი}} = 40,6759 \cdot 0,08855 = 3,6 \text{ ტ. გ.}$$

$$M_{\text{დროებითი}} = 3,58428 \cdot 7 = 25,08996 \text{ ტ. გ.}$$

$$\Sigma M = 3,6 + 25,1 = 28,7 \text{ ტ. გ.}$$

$$N_{\text{ძუღმივი}} = 224,165 \cdot 0,08855 = -19,85 \text{ ტ. გ.}$$

$$N_{\text{დროებითი}} = -24,165 \cdot 7 = 173,06 \text{ ტ. გ.}$$

$$\Sigma N = -19,9 - 173,1 = -193,0 \text{ ტ. გ.}$$

$$N_{\text{ძველა ძუღმივი}} = 281 \cdot 0,08855 = 24,883 \text{ ტ. გ.}$$

$$N_{\text{ძველა დროებითი}} = 26,3012 \cdot 7 = 184,11 \text{ ტ. გ.}$$

$$\Sigma N_{\text{ძველა}} = 24,9 + 184,2 = 219,1 \text{ ტ. გ.}$$

$$N_{\text{გაჭიმული ირიბ. ძუღმივი}} = 30,9 \cdot 0,08855 : 2 : 2 = 1,4125 \text{ ტ. გ.}$$

$$N_{\text{გაჭიმული ირიბ. დროებითი}} = 7 \cdot 7 : 2 : 2 \approx 25 \text{ ტ. გ.}$$

$$\Sigma N_{\text{გაჭიმული ირიბანი}} = 1,4125 + 25 = 27 \text{ ტ. გ.}$$

$$N_{\text{გუცუმშული ირიბ. ძუღმივი}} = -20 \cdot 0,08855 : 2 : 2 = -0,9 \text{ ტ. გ.}$$

$$N_{\text{გუცუმშული ირიბ. დროებითი}} = -4 \cdot 7 : 2 = -14 \text{ ტ. გ.}$$

$$\Sigma N_{\text{გუცუმშული ირიბანი}} = -0,9 - 14 \approx -15 \text{ ტ. გ.}$$

ასევე დასადგენია გადაადგილებები, რომლებიც არის x და z ღერძების მიმართ.

$\begin{cases} \Delta_x \text{ მუდმივი} = 137 \cdot 0,08855 = 12,1 \text{ სმ} \\ \Delta_x \text{ დროებითი} = 9,62 \cdot 7 = 67,34 \text{ მმ} = 6,7 \text{ სმ} \end{cases}$  ზედა კომბინირებულ სარტყელში აღგილობრივი მღუნავი მომენტისაგან გამოწვეული

$$\Sigma \Delta_x^{\max} = 1,2 + 6,7 \approx 8 \text{ სმ}$$

$\begin{cases} \Delta_z \text{ მუდმივი} = 716 \cdot 0,08855 = 65,4 \text{ მმ} = 6,54 \text{ სმ} \\ \Delta_z \text{ დროებითი} = 58 \cdot 7 = 406 \text{ მმ} = 40,6 \text{ სმ} \end{cases}$  ფერმის ქვედა სარტყელში

$$\Sigma \Delta_z^{\max} = 6,54 + 41 \approx 47,5 \text{ სმ}$$

მოცემული ბალოვანი ფაქტორების მიხედვით შეირჩა  
კონსტრუქციის ელემენტების განივავეთები.

უნდა აღინიშნოს, რომ ხიდის ელემენტების წონების განსაზღვრაში მოცემულ ეტაპზე არ შესულა ხიდისათვის აუცილებელი დამატებითი ელემენტების წონები, რომლებიც აუცილებელია რეალურ პირობებში ხიდის აგებისა და ექსპლოატაციისათვის.

ხიდის წონის სპეციფიკაცია

1. ზედა საგალი ნაწილის ლიანდად განლაგებული ფილები – 1 ცალის წონა 1087 კბ.

$G_1$  – მთლიანი წონა 10870 კბ

მასალა ალუმინის მაღალი სიმტკიცის შენადნობი 1931.

2. ქვედა მოქნილი ტროსებისაგან (ბაგირებისაგან) შემდგარი, ორ ნაწილად გაყოფილი სარტყელი – მასალა ფოლადის შენადნობები.

ტროსი (ბაგირი)  $\emptyset 11$  მმ.

$R_{\text{ტრო}}=10.000 \text{ კბ/სმ}^2$

$n=84$  ცალი       $n_l=42$  ცალი

$G_2$  – საერთო წონა 3100 კბ

3. ალუმინის შენადნობების ირიბანების საერთო წონა

$G_3$  – შეადგენს 2460 კბ.

4. ლითონის ლილვები დიამეტრით  $\emptyset 11$  მმ. ფილის სიგანე  $\delta=5$  მმ და  $\emptyset 40$  მმ. კედლის სიგანე  $\delta=10$  მმ მათი წონა

$G_4$  – შეადგენს 612 კბ.

5. ალუმინის შენადნობების საყრდენები – 4 ცალი მათი საერთო წონა

$G_5$  – შეადგენს 714 კბ.

6. ლითონის გახსნა-დაკეცვის ორი ძრავა და ამძრავი. მათი საერთო წონა

$G_6$  – შეადგენს 200 კბ.

$$\Sigma G = G_1 + G_2 + G_3 + G_4 + G_5 + G_6$$

$$\Sigma G = 17896 \text{ კბ.}$$

“დაკეცვის პრინციპს” + “დახვევის პრინციპით” შექმნილ გასაშლელ ხიდს, რომლის მალი 48 მ-ს აღწევს, გააჩნია შემდეგი დადებითი ოვისებები:

— გასაშლელი ხიდის ზედა კომბინირებული სარტყელი, რომელიც სავალი ნაწილის მუშა ელემენტია, შედგება დიდი სიხისტის მქონე, ღუნვაზე კარგად მომუშავე, ჯვარედინი სქემით შედგენილ და ურთიერთდაკავშირებულ პანტოგრაფებისაგან.

პანტოგრაფები, ხიდის ტრანსფორმაციის, გაშლა-დაპევის პროცესში, ასრულებენ ძირითადი მზიდი ელემენტების როლს, რომლებიც უზრუნველყოფენ ფორმათწარმოქმნას. ხოლო უკვე გაშლილი, საექსპლოატაციო მდგომარეობაში მყოფი ხიდისათვის, აღნიშნული პანტოგრაფები წარმოადგენენ ხიდის სავალი ნაწილის, ღუნვა-კუმშვაზე მომუშავე, კომბინირებულ სარტყელს ფერმისა.

ამასთან, ხიდს გააჩნია ნაკლოვანებები:

- ხიდის სატრანსპორტო პაკეტის შედარებით დიდი სიმაღლე, რაც როგორც არსებულ მექანიზებულ ხიდებშია, ჩვენს შემთხვევაშიც, ასევე, უარყოფითად მოქმედებს შასზე აგებული ხიდგამდების მანევრულობაზე.
- ხიდის კონსტრუქციის ზედა სარტყელში, მისი შეზღუდული სიმაღლიდან გამომდინარე, ადგილი აქვს მრავალი, შედარებით მცირე დიამეტრის ლილვების და ლერძების გამოყენებას, რაც მექანიზებული ხიდებისათვის, რომელზეც მძიმე და უხეში დატვირთვა — ტანკები გადატარდება, გარკვეულ ნაკლად უნდა ჩაითვალოს.

**IV. გასაშლელი, “დაკუცვის პრინციპი” +  
“დახვევის პრინციპით” შექმნილი ხიდის,  
4,8 მეტრი მაღის მქონე მოდელის ექსპერიმენტული კვლევა.**

**IV. 1. ხიდის მოდელის კონსტრუირება**

გასაშლელი ხიდის კონსტრუქციის ფუნქციონალური, განსაკუთრებით კინემატიკური მახასიათებლების შესასწავლად, რომლის საბოლოო მიზანი, ასევე იყო მისი შედარება თეორიული გათვლების შედეგებთან, დაპროეკტდა და დამზადდა 4,8 მეტრი სიგრძის ხიდის მოდელი, ხიდგამდებთან ერთად.

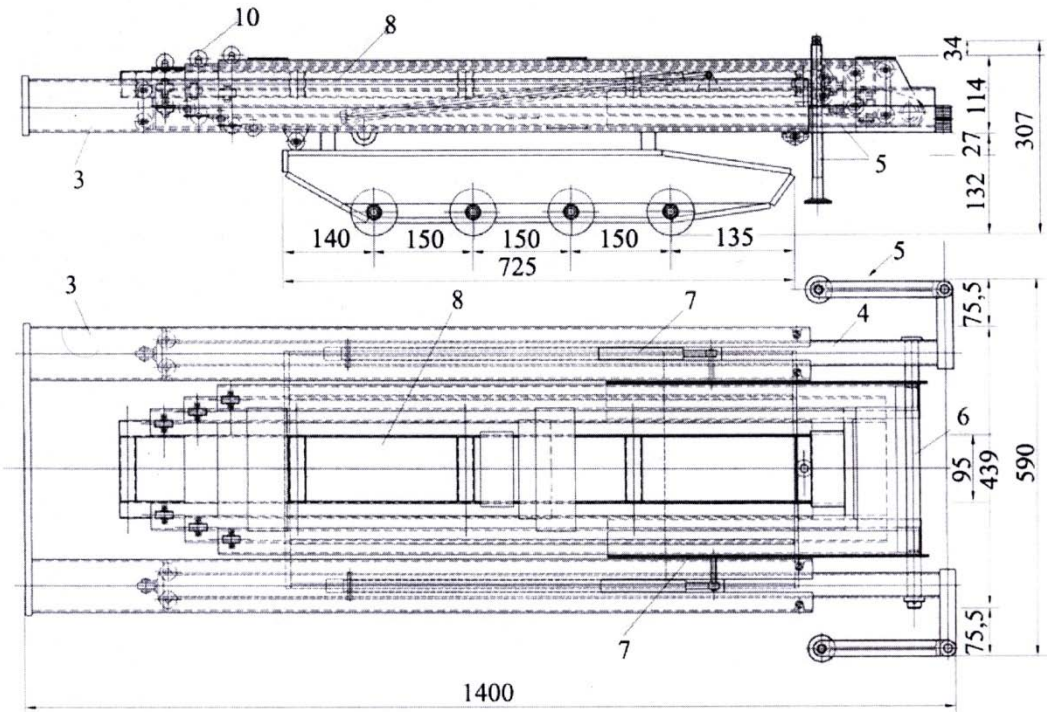
რეალურ კონსტრუქციასთან შედარებით მოდელის მასშტაბმა შეადგინა 1 : 10-თან. ხიდის გამოსაცდელი მოდელი შეიქმნა რეალური, 48-მეტრიანი გასაშლელი ხიდის კონსტრუქციების ზომების მაქსიმალური თანაფარდობის დაცვით. ასევე, მოდელში ძირითადად შენარჩუნებულია ცალკეული კვანძების, დეტალებისა და კონსტრუქციის მთლიანი ფრაგმენტების შესაბამისობა რეალურ კონსტრუქციასთან.

კონსტრუქციის ზედა კომბინირებული სარტყელის და საყრდენის დასამზადებლად გამოყენებულ იქნა ალუმინის მაღალი სიმტკიცის შენადნობები, ირიბნები დამზადდა ფოლადისაგან, ხოლო ქვედა მოქნილი სარტყელები შესრულებულია მაღალი სიმტკიცის ბაგირების გამოყენებით.

ასეთივე წესით და იმავე მასშტაბში დამზადდა ხიდის სატრანსპორტო-გამშლელი მოწყობილობის – ხიდგამდების მოდელიც, რომლის მასალად გამოყენებულ იქნა ფოლადი. ხიდის მოდელის გამშლელი მოწყობილობის დაპროექტება–დამზადების დროს გათვალისწინებული იქნა ის პირობები, რომელშიც მუშაობს რეალური გამშლელი მოწყობილობა (ფიგ. IV. 1).

მოდელის ეგრეთ წოდებული ხიდგამდების კონსტრუქცია წარმოადგენს ოთხი წევილი ბორბალის 1 საშუალებით გადაადგილებად შასს 2, რომელზეც განთავსებულია ხიდის სატრანსპორტო პირობებში

ტარებისა და გადასალახ დაბრკოლებაზე გამლის სამონტაჟო მოწყობილობები.



ფიგ. IV. 1. – ხიდგამდების მოდელის კონსტრუქციული სქემა

ა) გვერდხედი; ბ) ზედხედი

მოძრავ შასზე მიმაგრებულია უძრავი ბაქანი 3, რომელშიც განთავსებულია გამოსაწევ–შესაწევი ბაქანი 4. მისი გამოწევის შემდეგ, გრუნტოან მყარი ფიქსაციისათვის, მოძრავი ბაქნის ბოლოს განთავსებულია გამოსაწევი, ასაწევ–დასაწევი საბჯენები 5.

მოძრავ ბაქანზე განთავსებულია, მასთან ცილინდრული კვანძებით ჩამაგრებული ძირითადი ღერძი 6, რომელზეც დამაგრებულია ასაწევ–დასაწევი ჩარჩო 7 და მასთან ერთად გასაშლელი ტელესკოპური ისარი 8.

ბაქანზე, ჩარჩოს წამოსაწევად კერტიკალურ მდგომარეობამდე, ერთი ბოლოთი ჩამაგრებულია პიდროცილინდრის მექანიკური იმიტატორები 9, რომლებიც მეორე ბოლოთი ემაგრებიან ასაწევ ჩარჩოს.

ტელესკოპური ისარი გაშლა–დაკეცვას ახორციელებს ბაგიროვანი სისტემით, რომლებიც ასევე გორგოლაჭებზეა 10 გადატარებული.

ფიგ. IV. 2-ზე წარმოდგენილია ზომების მიხედვით დამზადებული ხიდგამდები.



ფიგ. IV. 2. – ხიდგამდების მოდელის საერთო ხედი

ექსპერიმენტული კვლევების დაგეგმვის დროს განსაკუთრებული ყურადღება დაეთმო გასაშლელი ხიდის მოდელის ფუნქციონალურ და განსაკუთრებით კინემატიკურ შესაბამისობას რეალურ 48-მეტრიან კონსტრუქციასთან.

მოდელში ხიდის მთლიანი სიგრძე შეადგენს 4873,05 მმ-ს (ფიგ.IV.3).

მოდელი	შედგება	აღმავალი	1	და	დაღმავალი	2
--------	---------	----------	---	----	-----------	---

პანტოგრაფებისაგან (ფიგ. IV.4).

პანტოგრაფებისაგან შედგენილია ორი ლიანდა 3. თითოეული პანტოგრაფის განივევეთია 50 მმ. x 18 მმ. ისინი დამზადებულია მაღალი სიმტკიცის ალუმინის შენადნობისაგან. თითო ლიანდაში გრძივად გაერთიანებულია ხუთი პანტოგრაფი. ცენტრალური კვანძი 4 განთავსებულია ცენტრალურ ლილვზე 5, რომელიც ფოლადისაა და მისი დიამეტრი შეადგენს  $D=12$  მმ-ს. აღმავალი და დაღმავალი პანტოგრაფები, ერთმანეთის მიმართ ჯვარედინი განლაგებით ცენტრალური კვანძებით და ცენტრალური ლილვებით, არიან ურთიერთდაკავშირებული. პანტოგრაფების ბოლოები ურთიერთმონაცვლეობით, გრძივი მიმართულებით ერთმანეთს უკავშირდებიან პანტოგრაფების განაპირა კვანძებში გაყრილი ზედა

განივი დეროებით 6 და ქვედა განივი დეროებით 7. აღნიშნული დეროები დამზადებულია ფოლადისაგან და მათი დიამეტრია  $d=6$  მმ. მანძილი ზედა განივი ლილვისა და ქვედა განივი ლილვის ცეტრებს შორის არის 36 მმ.

ყოველი ლიანდის ორი პანტოგრაფი ხისტად არის ჩამაგრებული 8 ცენტრალურ ლილვში. ლიანდის დანარჩენი სამი პანტოგრაფი კი მოძრავად უკავშირდება ლილვს. აღსანიშნავია, რომ ლიანდის განაპირა პანტოგრაფებს გააჩნიათ 24,25 მმ თაროები ხიდის სავალი ნაწილის სრული სიგანის 158,5 მმ-ს მისაღწევად [29].

პანტოგრაფები დამზადებულია მაღალი სიმტკიცის ალუმინის შენადნობისაგან. განივევეთში თითოეული მათგანის ინერციის მომენტია  $J=7,5$  სმ<sup>3</sup>, ხოლო ერთდროულად ათივე პანტოგრაფის ინერციის მომენტო შეადგენს  $\Sigma J=75$  სმ<sup>3</sup>-ს. ალუმინის შენადნობის საერთო წონაა  $\rho=2,700$  გ/მ<sup>3</sup>, ხოლო მასალის პუასონის კოეფიციენტის  $\mu=0,3$ . რაც შეეხება ფართს, პანტოგრაფის განივევეთის ფართი ერთი პანტოგრაფისათვის შეადგენს  $F=9$  სმ<sup>2</sup>, ხოლო მთლიანი ფართი ზედა სარტყელის განივალეთისა არის  $\Sigma F = 90$  სმ<sup>2</sup>.

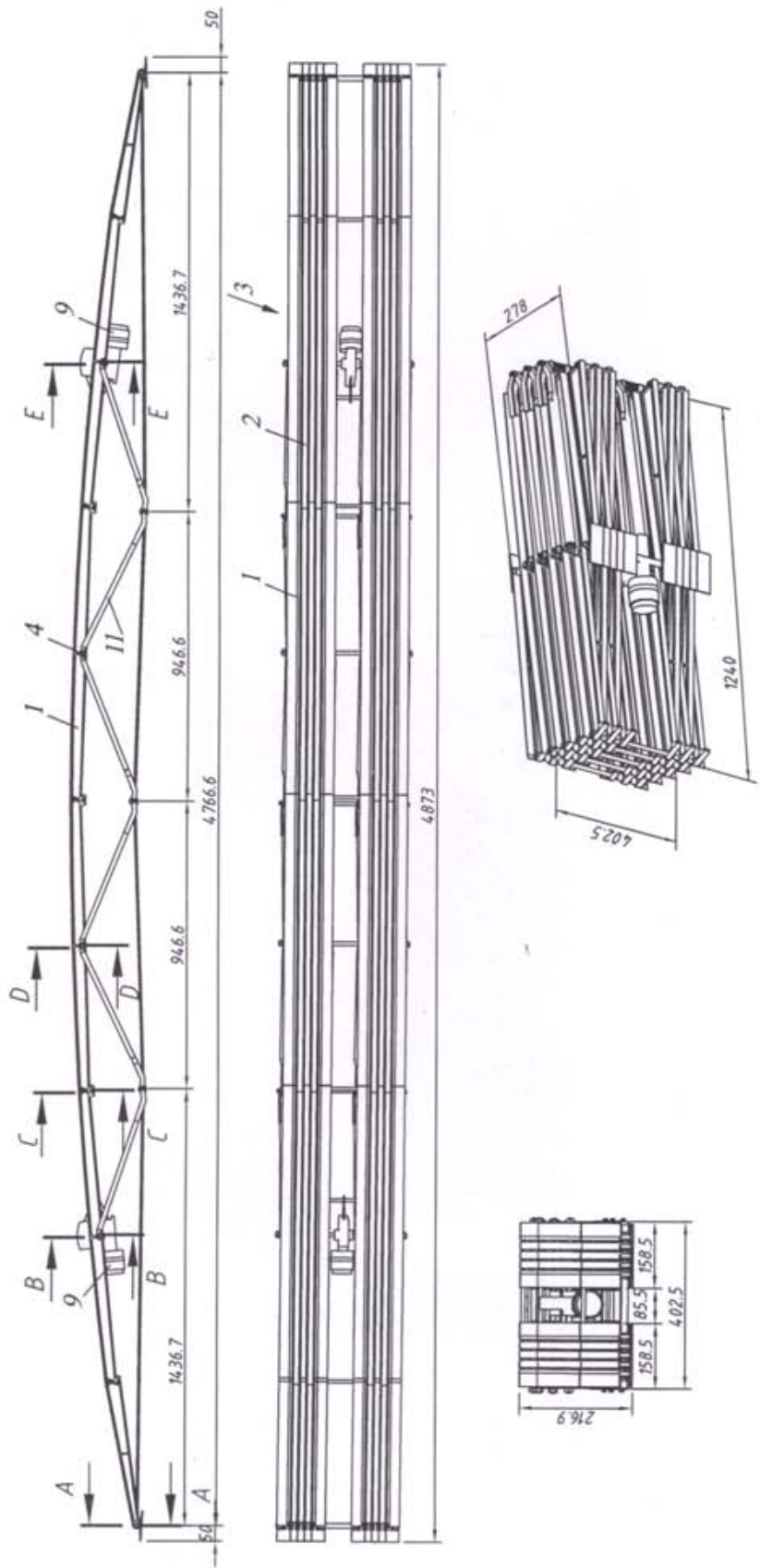
ლიანდებს შორის განთავსებული ხიდის მოდელის გამშლელ-დამკეცი მექანიზმი წარმოადგენს ელექტრო ამძრავს DP-09, პლანეტარული რედუქტორით, რომელზეც მორგებულია ჭიახრახნული რედუქტორი, რაც ქმნის პანტოგრაფების ურთიერთის მიმართ მობრუნების ერთიან მექანიზმს 9 (იხ. ფიგ. IV.4) და (ფოგ. IV.5).

ჭიახრახნული რედუქტორის ჭიაპბილანის დერძი, ტორსიული გადაცემით დაკავშირებულია ცენტრალურ ლილვზე მოძრავად დამაგრებულ პანტოგრაფთან, ხოლო რედუქტორის კორპუსი, განმბრჯენით დამაგრებულია ბერკეტის მეორე მწკრივზე – უძრავ პანტოგრაფთან.

ყოველი მონაცელე პანტოგრაფი, მაკრატლის პრინციპით, ერთმანეთის მიმართ ქმნიან წყვილ ძალას, რომელიც ბრუნვის დერძზე წარმოქმნის მბრუნავ მომენტს.

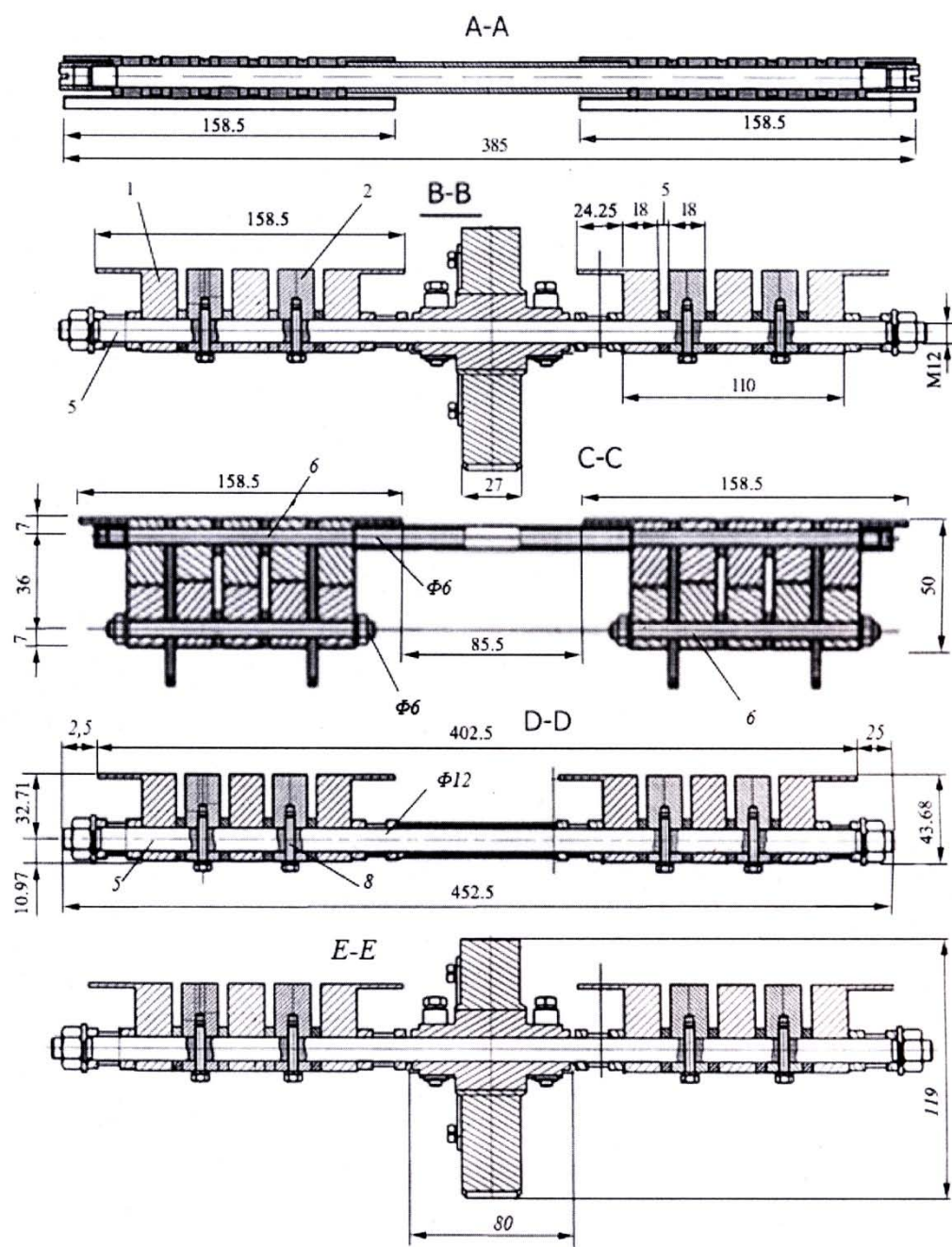
აღსანიშნავია, რომ ხიდი აღჭურვილია ორი გამშლელი მექანიზმით, რომლებიც, როგორც ორი მუშა სისტემა, გაერთიანებული

ერთ ბალოგან მექანიზმში მუშაობს იძულებითი სინქრონულობის რეჟიმი.



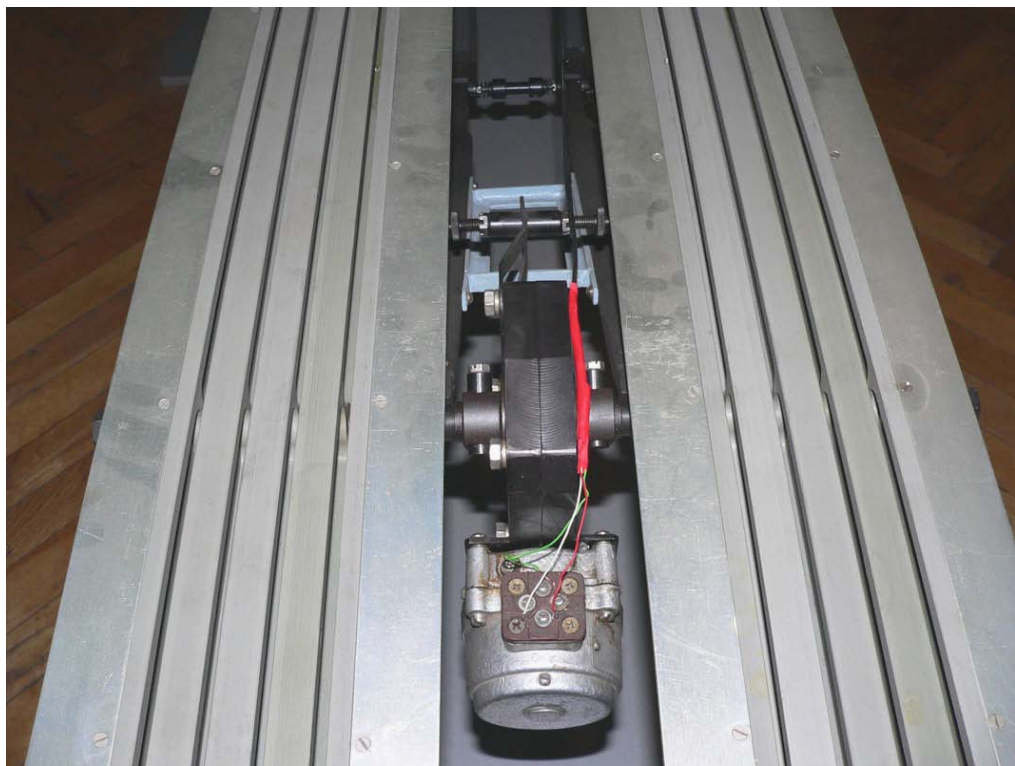
გიგ. IV. 3. – ხიფის მოდელის ქონსტრუქცია:

- მოდელის გვერდები;
- მოდელის ზედაები და ხიფის მოდელის დაკლილი სატრანსპორტო პაკეტი;
- მოდელის წინაეთი.



ფიგ. IV. 4. – ხიდის მოდელის ზედა კომბინირებული სარტყელის  
ჭრილები

ფიგ. IV. 3-ის მიხედვით.



**ფიგ. IV.5. - ხიდის გამშლელ-დამკეცავი ერთიანი ელექტრო ამძრავიანი  
მექანიზმი რედუქტორებით**

მოდელში ასევე არის მოწყობილი პანტოგრაფების საპროექტო მდგომარეობაში ყოფნის დროს ზედა და ქვედა დერძების ჩამკეტები 10 (იხ. ფიგ. IV.4), რომლებიც ხიდის ფიქსირებული საპროექტო მდგომარეობის დროს აერთიანებს – კეტავს ზედა და ქვედა განივ ლილვებს.

გარდა ზედა კომბინირებული სარტყელისა, მოდელში, რეალური კონსტრუქციის პროექტის პრინციპებთან მაქსიმალური მსგავსებით (ფიგ. IV.6) დაპროექტდა ირიბნები 11, რომლებიც ზედა სარტყელის ცენტრალურ ლილვზეა ერთი ბოლოთო დამაგრებული, ხოლო მეორე ბოლოთი კი ემაგრება ქვედა სარტყელის კვანძების განივ ლერძს 12 (იხ. ფიგ. IV.3).

ირიბნები დამზადებულია ფოლადის შენადნობისაგან.

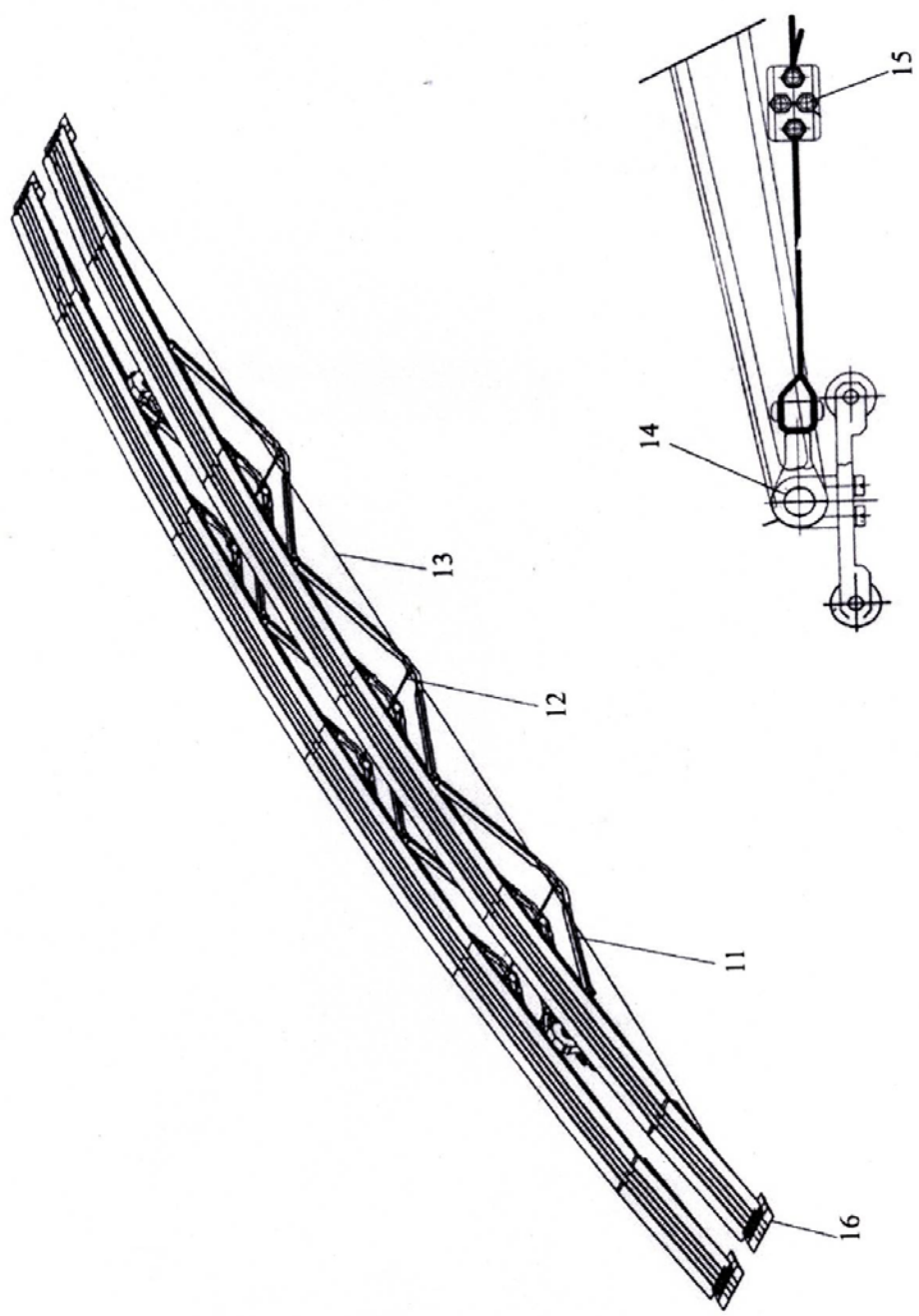
რაც შეეხება ქვედა დაძაბულ, მოქნილ სარტყელებს 13, ისინი განაპირებზე ემაგრებიან განაპირა ცენტრალურ ლილვებზე განთავსებულ წამოსაცმელებს 14, ხოლო შუალედურ კვანძებში უძრავად ფიქსირდებიან ქვედა სარტყელის განივ ლეროებთან. ქვედა სარტყელებს გააჩნიათ სიგრძის მარეგულირებელი მოწყობილობა 15 (ფიგ. IV.7).



ფიგ. IV.6. - ხიდის მოდელის ფრაგმენტი ზედა კომბინირებული სარტყელის ურთიერთკავშირების, ირიბნების, ქვედა სარტყელის განვი ღეროებიოს და მოქნილი ქვედა სარტყელის ჩვენებით.

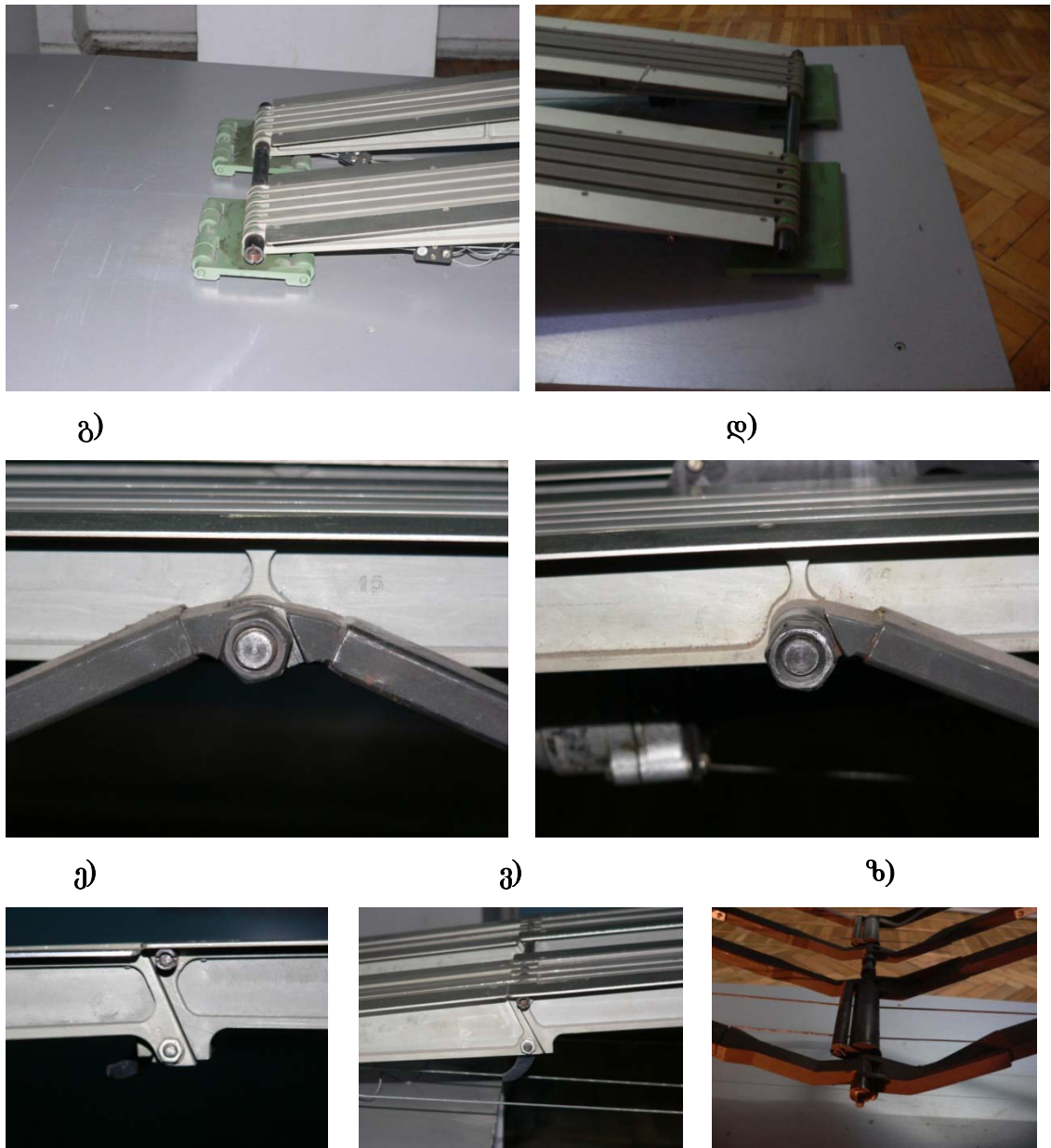
ქვედა მოქნილი სარტყელები დამზადებულია მაღალი სინტკიცის ბაგირებისაგან, რომელთა გაწყვეტის ძაბვა შეადგენს  $14000 \text{ კგ/სმ}^2$ .

სისტემა აღჭურვილია განაპირა ცენტრალურ ლილვებზე მოწყობილ, მობრუნების საშუალების მქონე ხიდის საყრდენი საბჯენებით 16, რომელთაგან ერთი უძრავად ეყრდნობა დაბრკოლებას ნაპირზე, მეორე კი გადაადგილდება დასაყრდნობი ზედაპირის მიმართ. ამის აუცილებლობა განპირობებულია იმისათვის, რომ, ხიდის მოდელის ორივე ნაპირზე დაყრდნობის შემდეგ, მას გააჩნდეს საშუალება ქვედა სარტყელის გაჭიმვისა და ზედა სარტყელის სრულად ჩაკეტვისა, რაც, როგორც წესი, ქვედა საყრდენის გადაადგილებით მიიღწევა (ფიგ. IV.8). აქევა ნაჩვენები მოდელის ზედა სარტყელის ცენტრალური კვანძის, პანტოგრაფების განაპირა კვანძების და ქვედა სარტყელის კვანძის რეალური, მოდელში არსებული გადაწყვეტები.



δ)

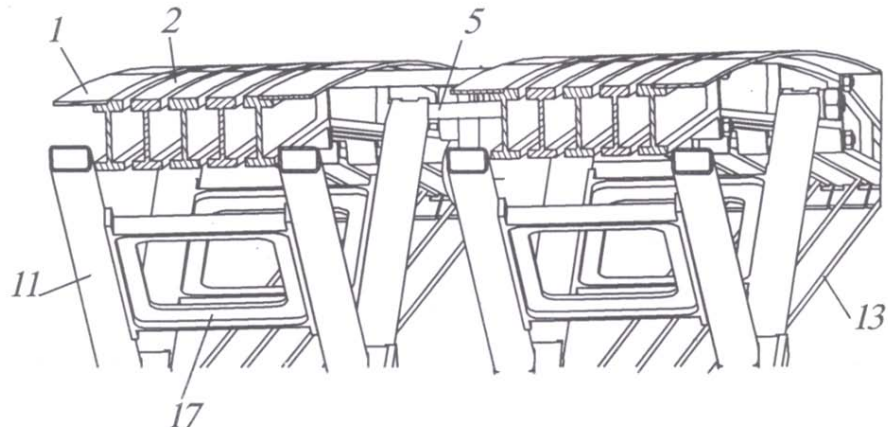
δ)



**ფიგ. IV. 8. – მოდელის სხვადასხვა კვანძები**

ა) საყრდენი მოძრავი კვანძი; ბ) საყრდენი უძრავი კვანძი; გ)  
ცენტრალურ ლილვზე ირიბნების ჩამაგრების კვანძი; დ) ცენტრალურ  
ლილვზე განაპირა ირიბნების ჩამაგრების კვანძი; ე) პანტოგრაფების  
ბოლოების ურთიერთდაკავშირების კვანძი; ვ) პანტოგრაფების  
ბოლოების ურთიერთდაკავშირების განაპირა კვანძი; ზ) ქვედა  
სარტყელის კვანძი.

რაც შეეხება ზედა სარტყელში განთავსებულ პანტოგრაფებს, კვანძიდან კვანძამდე მათ აქვთ ორტესებრი ფორმის განივავეთი. ამასთან, ირიბნები ერთიანდებიან ჩარჩოსებრი კავშირებით 17 (ფიგ.IV.9).



ფიგ. IV. 9. – ხიდის მოდელის ჭრილის აქსიონომეტრიული ფრაგმენტი

მიუხედავად ასეთი საწყისი პირობებისა მოდელის კონსტრუქციების მხრივ, სტატიკურ დატვირთვებზე, მაგრამ არა კონსტრუქციის რღვევის სტდიამდე, ჩატარდა კვლევები, რომელმაც შემდეგი შედეგები აჩვენა:

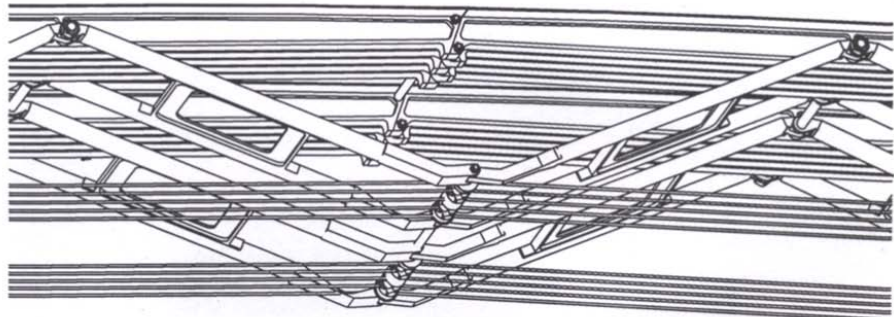
1. ძალვები კონსტრუქციის ზედა და ქვედა ლილვებში, დატვირთვების პირველ ეტაპებზე, სანამ მოხდება კვანძებში არსებული უზუსტობების და ტექნოლოგიური “ლუფტების” შევსება, ნაწილობრივ განსხვავდება თეორიული შედეგებისაგან.

თეორიული შედეგები, შესაბამის დატვირთვაზე, მიღებული იყო კონსტრუქციის მოდელის სივრცითი სქემის გაანგარიშებით პროგრამა “Lira-2000”-ით.

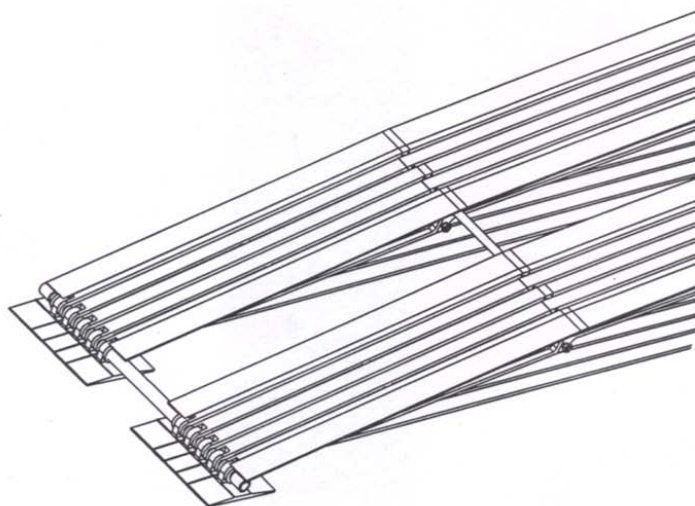
დატვირთვის შემდეგ ეტაპზე სარტყელებში აღძრული ძალვების მნიშვნელობები თეორიულ შედეგებთან  $7\% \div 3\%$ -ით განსხვავდება, რაც სრულიად მისადებია.

2. განსხვავებული შედეგები მიღებულია და გაანგარიშებულ იქნა ხიდის მოდელის ქვედა მოქნილი დერძებიანი სარტყელის მუშაობის შესწავლისას (ფიგ. IV.10).

ა)



ბ)



ფიგ. IV. 10. – ხიდის მოდელის ქვედა სარტყელის განთავსების სქემები,

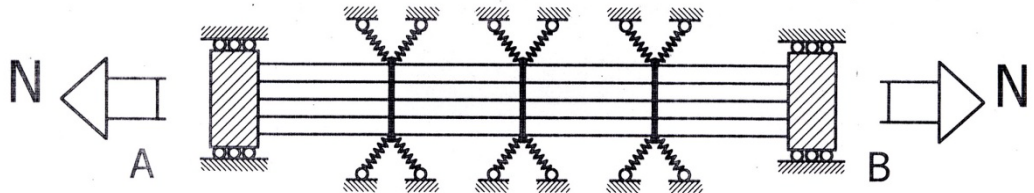
შემდგარი ხუთ-ხუთი მაღალი სიმტკიცის ფოლადის ბაგირებისაგან.

ა) ქვედა სარტყელის ხედი შუალედურ საყრდენებს შორის; ბ) ქვედა სარტყელის ჩამაგრება განაპირა კვანძებში.

ხიდის მოდელის ერთი ლიანდის ქვედა სარტყელი წარმოადგენდა გრძივად განთავსებულ ხუთ მაღალი სიმტკიცის ბაგირს. თითოეული ბაგირის დიამეტრია  $D = 3$  მმ. როგორც ითქვა, ბაგირები განაპირებზე ჩაბმულია განაპირა განივ ლილვებთან, ხოლო შუალედებში, ქვედა კვანძის განივ ლეროებთან (ფიგ. IV.11).

ეს დეროები სივრცეში ფიქსირდება შუალედური განივი საყრდენებით, რომლის ბოლოები ჩამაგრებულია ირიბნების ბოლოებთან. თავისთავად ირიბნები, რომლებიც სხვადასხვა სიგრძისაა, სხვადასხვა ძალვებს ითვისებენ და ასევე ისინი განიცდიან ხიდის სავალი ნაწილიდან გადმოცემულ სხვადასხვა გადაადგილებებს. განივი ლეროები სივრცეში, მაღალი სიმტკიცის ბაგირებთან შედარებით, უფრო

დეფორმირებადია, ამიტომ აღნიშნული ბაგირები შეიძლება, სხვა ელემენტებთან შედარებით, უფრო დამყოლ საყრდენებზე ჩამაგრებულად განვიხილოთ.



**ფიგ. IV. 11 – ქვედა სარტყელის ხუთბაგირიანი ჩამაგრების საანგარიშო სქემა**

რაც შეეხება ქვედა სარტყელის ფიქსაციას ბოლოებში, იგი მაღალი სიხისტის საყრდენებად შეიძლება განვიხილოთ. ქვედა სარტყელის მოქნილი დეროები ჩამაგრებულია ლილვზე, სადაც, ასევე მასიური, ღუნვა-კუმშვაზე მომუშავე, პანტოგრაფების ბოლოებია ჩამაგრებული. აღნიშნულმა საყრდენებმა A – A, შეიძლება განიცადოს გადატანითი მოძრაობა ხიდის ლიანდების გრძივად, რაც გამოწვეულია ზედა სარტყელის გრძივი დეფორმაციებით.

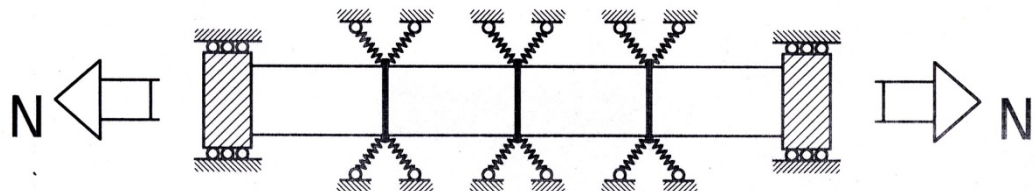
ასეთ ვითარებაში გვაქვს სქემა ქვედა სარტყელის შემადგენელი ბაგირების ჩამაგრებისა ხისტ ბლოკებში A და B.

როგორც ექსპერიმენტმა აჩვენა, გართულებულია ბაგირების სრული სიგრძეების ისე შერჩევა ქვედა სარტყელებში, რომ ყველა მათგანში ერთნაირი სიდიდის ძალვები წარმოიქმნას და თითოეულში შეადგინოს  $\frac{N}{5}$ .

მიუხედავად საპროექტო სიგრძეების მრავალეტაპიანი შერჩევისა, ექსპერიმენტით ქვედა სარტყელის ბაგირებში ძალვების ცვალებადობა 35%-მდე სხვაობით დაფიქსირდა. ეს გამოიწვია იმან, რომ ერთ ხისტ A ან B დისკში მრავალი, ჩვენს შემთხვევაში 5, ბაგირი მაგრდება, რომელთა საწყისი სიგრძეების დიდი სიზუსტით ერთმანეთის მიმართ ტოლობა მნელად მისაღწევი აღმოჩნდა [30] [31].

მეორე მხრივ, შუალედური საყრდენების სხვადასხვა სიდიდეებით დეფორმაციები, ასევე განაპირობებენ ძალების არათანაბარი გადანაწილებას ბაგირებში.

მიღებულ იქნა გადაწყვეტილება და ექსპერიმენტის პროცესშივე მოხდა ქვედა სარტყელის სქემის ცვლილება (ფიგ. IV. 12).



ფიგ. IV. 12. – ქვედა სარტყელის ორბაგირიანი ჩამაგრების სქემა.

ბაგირების რაოდენობის შეცვლამ, 5-დან 2-მდე, განაპირობა სტაბილური სურათი ქვედა სარტყელის მიერ ათვისებული ძალების თანაფარდობისა.

ამ პრინციპით მოხდა საბოლოო სახით ცალკეული ლიანდის ქვედა სარტყელში ორი ბაგირის მოწყობა (იხ. ფიგ. IV.6).

ხიდის მოდელის მთლიანმა წონამ, დამატებით მოწყობილობებით, მექანიკური კვანძებით და სხვა დამატებითი ელემენტებით, შეადგინა 58,725 კგ. აღნიშნული წონა თანაბარი ტვირთის სახით  $q = 12,23$  კგ/მ გადანაწილდება ხიდის გრძივად.

ექსპერიმენტისათვის დადგინდა, მისი დამზადებისათვის გამოყენებული ცალკეული კონსტრუქციული მასალის დრეკადობის მოდული, რამაც შეადგინა: ალუმინის შენადნობისაგან დამზადებული ზედა სარტყელისათვის -  $E = 710000$  კგ/სმ<sup>2</sup>; ირიბნების, ცენტრალური ლილვების, განივი ლილვების და განივი ლეროებისათვის, რომლებიც დამზადებულია ფოლადის შენადნობებისაგან -  $E = 2\ 100\ 000$  კგ/სმ<sup>2</sup>; მაღალი სიმტკიცის ფოლადის ტროსები -  $E = 1\ 800\ 000$  კგ/სმ<sup>2</sup>. მოქნილდეროებიანი, ბაგიროვანი ქვედა სარტყელის განივალების ჯამურმა ფართმა შეადგინა  $\Sigma F = 70,69 \text{ kN}$ .

განისაზღვრა საანგარიშო წონადობები: ალუმინის შენადნობებისათვის  $R_{\text{საანგარიშო}} = 1750$  კგ/სმ<sup>2</sup>; ფოლადის შენადნობებისათვის  $R_{\text{საანგარიშო}} = 2100$  კგ/სმ<sup>2</sup> და მაღალი სიმტკიცის ფოლადისათვის  $R_{\text{საანგარიშო}} = 10000$  კგ/სმ<sup>2</sup>.

განაპირა პანტოგრაფების თაროები, არც ექსპერიმენტში და არც თეორიულ გათვლებში არ იქნება გათვალისწინებული.

**IV. 2. ხიდის მოდელის კონსტრუქციული სტრუქტურის  
დაძაბულ-დეფორმაციული სურათი სტატიკური  
დატვირთვის პირობებში.**

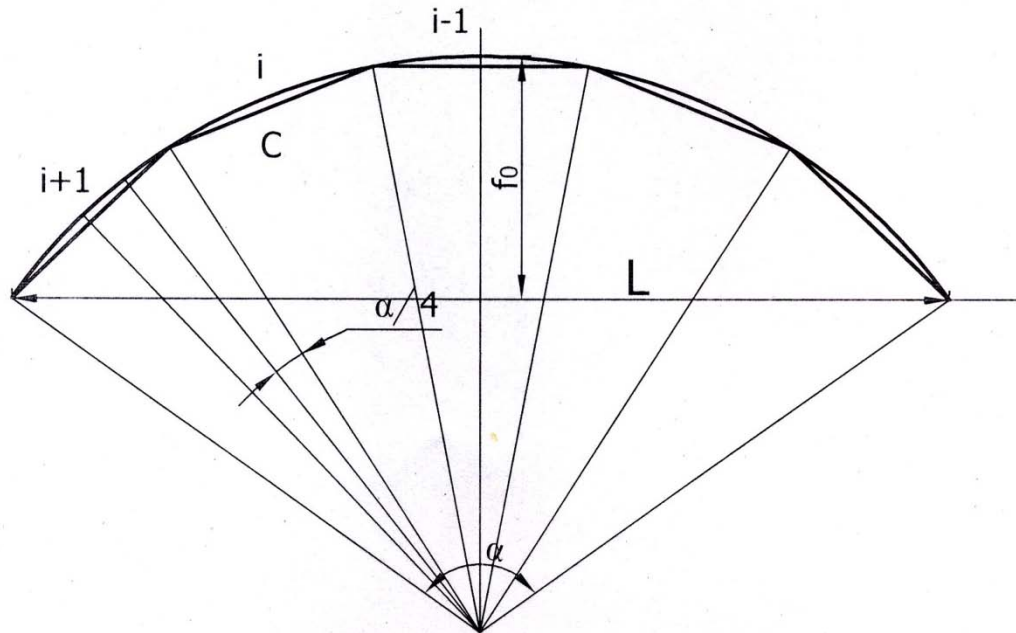
კონსტრუქციული მოდელის აგება მოხდა, ელემენტების განივავეთების და სიგრძეების პროპორციული შემცირებით, რეალურ, 48-მეტრიან ხიდის კონსტრუქციასთან შედარებით. ეს იმიტომ გაპეტდა, რომ რეალურად შეფასებულიყო კონსტრუქციის საექსპლოატაციო თვისებების შენარჩუნებისათვის აუცილებელი კვანძების საერთო მუშაობის სურათი და სისტემის კინემატიკა. ამდენად, კონსტრუქციის მოდელში დაცული არ არის გეომეტრიული მსგავსება რეალურ კონსტრუქციასთან. ამის გამო მოდელის კონსტრუქციის ელემენტების მზიდუნარიანობის ურთიერთფარდობა, რომელიც 48-მეტრიან კონსტრუქციაში თითქმის 1,2-ს უახლოვდება, მოცემულ გადაწყვეტაში 7÷12-ის ტოლია.

გარდა ამისა, მოცემულ ექსპერიმენტში უპირველესი და გადამწყვეტი მნიშვნელობა ქონდა ზედა სარტყელის კინეტიკურ ანალიზს, რაც საბოლოო ჯამში მისი სრული გაშლის და ჩამკეტების ამოქმედებით ტრანსფორმაციის საექსპლოატაციო ფორმის ფიქსაციით უნდა დამთავრებულიყო. გამომდინარე ამ მოთხოვნებიდან აქცენტი გაპეტდა მოდელსა და რეალურ კონსტრუქციას შორის პროპორციების დაცვის მხრივ.

**IV. 2. 1. გასაშლელი ხიდის, ზედა სარტყელის განზოგადოებული  
გეომეტრიული პარამეტრები.**

გასაშლელი საიერიშო ხიდის ზედა სარტყელის წრიული, ან წრეზე განთავსებული ტეხილი მოხაზულობა, უნდა განისაზღვროს ზედა სარტყელის ცენტრალური კვანძების ცენტრზე გამავალი წრეხაზით, რომლის რადიუსი არის R. რაც შეეხება ხიდის საანგარიშო მალს L-ს, იგი აიღება ტოლი განაპირა ცენტრალური კვანძების ცენტრებს შორის მანძილისა. რაც შეეხება ზედა სარტყელის აწევის ისარს –  $f_0$ , იგი წარმოადგენს მაქსიმალური მანძილის განაპირა

ცენტრალურ კვანძებს - შემაერთებელი ხაზიდან ზედა სარტყელის სიმეტრიის დერძის წრებაზის მოხაზულობამდე (ფიგ. IV.13).



ფიგ. IV. 13. – საწყისი საანგარიშო პარამეტრების გეომეტრიული სქემა.

$$\text{წრის } \text{რადიუსი } R = 0,5 f_0 + 0,125 \frac{L^2}{f_0} \quad (\text{IV.1})$$

$L$  და  $f_0$  განსაზღვრული წრებაზის სიგრძე დავყოთ  $n$  ტოლ ნაწილად და შევაერთოდ წრებაზის ცენტრთან – O-სთან,  $n$  ნაწილად დაყოფილი წრებაზის მონაკვეთები შესაბამისად ავდნიშნოთ  $c$ -თი. ასეთი გეომეტრიის პირობიდან –

$$\sin \frac{n\alpha}{2} = \frac{0,5L}{R} \quad (\text{IV.2})$$

$$\frac{n}{2}\alpha = \arcsin \frac{0,5L}{R} \quad (\text{IV.3})$$

$$c = 2R \cdot \sin 0,5\alpha \quad (\text{IV.4})$$

ახლა განვიხილოთ ფიგ. IV.14.

რადიუსის მართობსა და პანტოგრაფის ბერკეტის ქვედა დაბოლოებას შორის მდებარე კუთხე  $\gamma$  –  $< \gamma$ , წინასწარი პირობით არ შეიძლება იყოს უარყოფითი მნიშვნელობის.

$$< \gamma \geq 0 \quad (\text{IV.5})$$

მისი სიდიდე კონსტრუქციული პირობით შეირჩევა. რაც უფრო მეტია  $\gamma$ -ს დადგბითი მნიშვნელობა, მით უფრო მაღალია განივავეთის სიმაღლე ზედა კომბინირებული სარტყელისა. თავისთავად ასეთი პირობა აუმჯობესებს კონსტრუქციის საერთო მუშაობას, მაგრამ ხიდის

დაგეცილი სატრანსპორტო პაკეტის მაქსიმალური სიმაღლიდან გამომდინარე  $\gamma$  ცვალებადობს  $0,6^\circ - 1,2^\circ$  შორის. ყველა შემთხვევაში  $\gamma$ -ს სიდიდე განსაზღვრულია და იგი წინასწარ ცნობილ პარამეტრების ჯგუფს მიეკუთვნება.

$$\begin{aligned} \Delta O_1 K N - \varphi \alpha \delta & < O_1 K N = 90^\circ - \gamma; \quad \text{ასევე} \\ \Delta O O_1 K - \varphi \alpha \delta & < O_1 K N = 90^\circ - \frac{\alpha}{2}; \quad \text{რაც შეუხება } \Delta O_1 K N - \partial \alpha \\ & < K O_1 N \quad \text{იგი გვლობა } 180^\circ - (90^\circ - \gamma) - \left(90^\circ - \frac{\alpha}{2}\right); \quad \text{რაც } < K_1 O N = \frac{\alpha}{2} + \gamma \end{aligned}$$

სინუსების თეორემით  $\Delta O_1 K N - \partial \alpha$  შეიძლება დაიწეროს:

$$\begin{aligned} \frac{O_1 K}{\sin(90^\circ - \gamma)} &= \frac{O_1 N}{\sin\left(90^\circ - \frac{\alpha}{2}\right)} \quad \text{ის იგივე, რაც} \quad \frac{c}{2 \sin(90^\circ - \gamma)} \\ &= \frac{\ell_2}{\sin\left(90^\circ - \frac{\alpha}{2}\right)} \end{aligned}$$

ამ ტოლობაში უცნობია  $\ell_2$ .

$$\ell_2 = \frac{c \cdot \sin\left(90^\circ - \frac{\alpha}{2}\right)}{2 \cdot \sin(90^\circ - \gamma)} \quad (IV.6)$$

აქვე დავწეროთ მეორე ტოლობა სინუსების თეორემით:

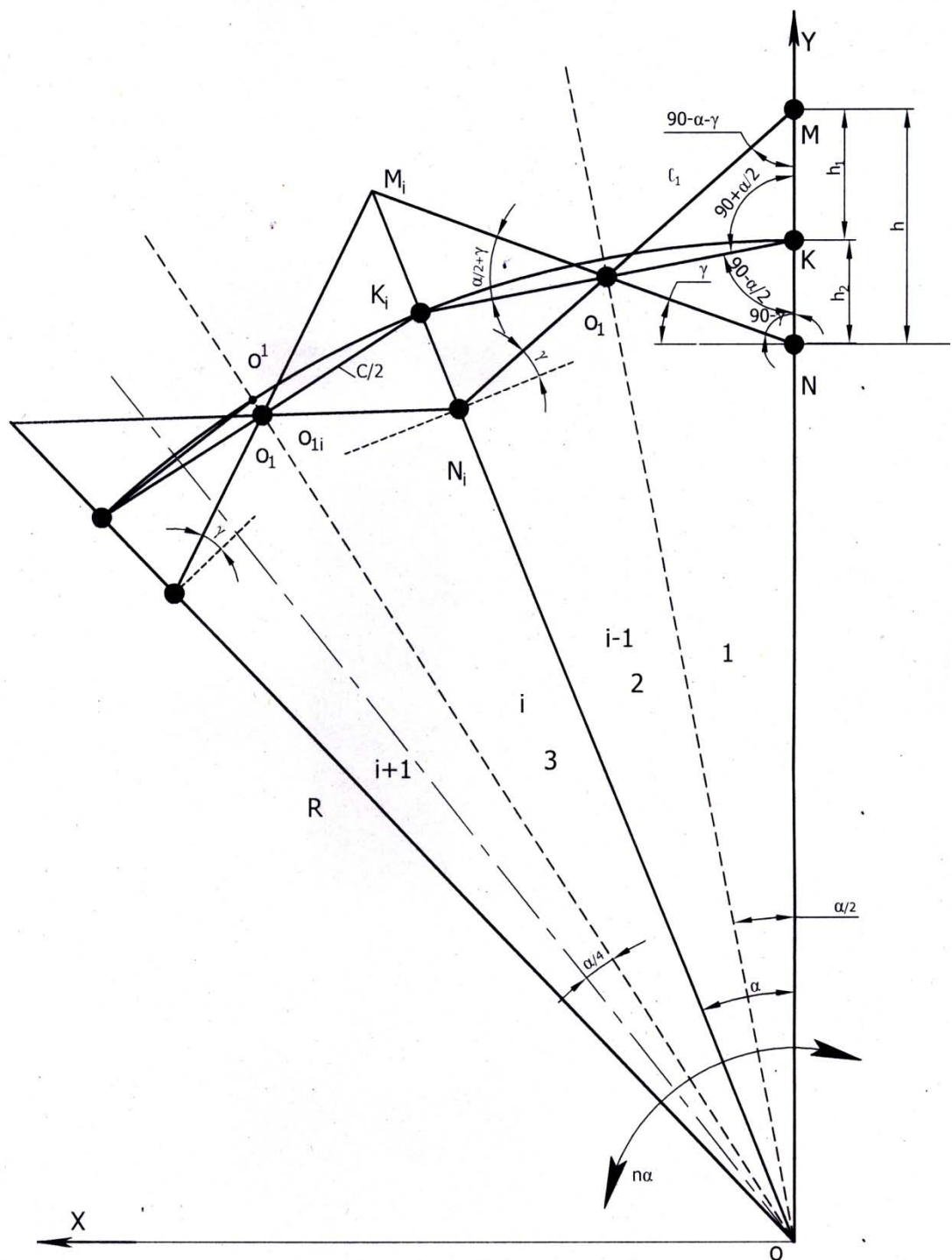
$$\begin{aligned} \frac{O_1 N}{\sin\left(90^\circ - \frac{\alpha}{2}\right)} &= \frac{K N}{\sin\left(\frac{\alpha}{2} + \gamma\right)} \quad \text{ის იგივე, რაც} \quad \frac{\ell_2}{\sin\left(90^\circ - \frac{\alpha}{2}\right)} \\ &= \frac{h_2}{\sin\left(\frac{\alpha}{2} + \gamma\right)} \end{aligned}$$

სადაც უცნობია  $h_2$ .

$$h_2 = \frac{\ell_2 \cdot \sin\left(\frac{\alpha}{2} + \gamma\right)}{\sin\left(90^\circ - \frac{\alpha}{2}\right)} \quad (IV.7)$$

განვიხილოთ  $\Delta O_1 M K$  და სინუსებით თეორიის მიხედვით ჩავწეროთ:

$$\begin{aligned} \frac{O_1 M}{\sin\left(90^\circ + \frac{\alpha}{2}\right)} &= \frac{0,5 c}{\sin(90^\circ - \alpha - \gamma)} \quad \text{ის იგივე, რაც} \quad \frac{\ell_1}{\sin\left(90^\circ + \frac{\alpha}{2}\right)} \\ &= \frac{0,5 c}{\sin(90^\circ - \alpha - \gamma)} \end{aligned}$$



ფიგ. IV. 14. - წრეხაზზე განთავსებული პანტოგრაფების ცენტრალური  
კვანძების და პანტოგრაფების ბერკეტების შეერთების კვანძების  
მდებარეობა სიბრტყეებზე, განსაზღვრული წრის რადიუსით.

აქ უცნობია  $\ell_1$

$$\ell_1 = \frac{c \cdot \sin\left(90^\circ + \frac{\alpha}{2}\right)}{2 \cdot \sin(90^\circ - \alpha - \gamma)} \quad (IV.8)$$

ასევე  $\Delta O_1 MK$ -დან სინუსების თეორემის მიხედვით ჩაიწერება:

$$\frac{MK}{\sin\left(\frac{\alpha}{2} + \gamma\right)} = \frac{O, M}{\sin\left(90^\circ + \frac{\alpha}{2}\right)} \quad \frac{h_1}{\sin\left(\frac{\alpha}{2} + \gamma\right)} = \frac{\ell_1}{\sin\left(90^\circ + \frac{\alpha}{2}\right)}$$

აქ უცნობია  $h_1$ .

$$h_1 = \frac{\ell \cdot \sin\left(\frac{\alpha}{2} + \gamma\right)}{\sin\left(90^\circ + \frac{\alpha}{2}\right)} \quad (IV.9)$$

შესაბამისად –

$$h = h_1 + h_2 \quad (IV.10) \quad \text{და} \quad \ell = \ell_1 + \ell_2 \quad (IV.11)$$

მოცემული სქემის მიხედვით, ასევე შეიძლება განისაზღვროს

$O^1O_1$ , ამისათვის განვიხილოთ  $\angle FOO_1$   $\angle O^1EO_1$  - ისინი ტოლებია, რადგან ერთმანეთის შესაბამისი გვერდები, ურთიერთის მიმართ მართკუთხა განლაგებისაა, ამიტომ:

$$\angle FOO_1 = \angle O^1EO_1 = \frac{\alpha}{4}$$

ამდენად

$$O^1O_1 = \frac{c}{2} \operatorname{tg} \frac{\alpha}{4} \quad (IV.12)$$

რაც შეეხება  $O_1; M; N$  და  $K$  განზოგადოებულ მდებარეობას სიბრტყეზე, სეჭვიების მიხედვით იგი კოორდინატთა სისტემაში  $OX$  და  $OY$  დერძების მიმართ შემდეგნაირად ჩაიწერება:

$$X_{Mi} = R_M \sin\left[\frac{\alpha}{2}(i-1)\right] \quad (IV.13)$$

$$Y_{Mi} = R_M \cos\left[\frac{\alpha}{2}(i-1)\right]$$

სადაც  $R_M = R + KM$   $(IV.14)$

$$X_{ki} = R \sin\left[\frac{\alpha}{2}(i-1)\right]$$

$$Y_{ki} = R \cos\left[\frac{\alpha}{2}(i-1)\right] \quad (IV.15)$$

$$X_{Ni} = R_N \sin\left[\frac{\alpha}{2}(i-1)\right]$$

$$Y_{Ni} = R_N \cos\left[\frac{\alpha}{2}(i-1)\right] \quad (IV.16)$$

$$\text{სადაც } R_N = R - KN \quad (IV.17)$$

$$X_{O_1i} = R_{O_1} \cdot \sin\frac{\alpha}{2} i \quad (IV.18)$$

$$Y_{O_1i} = R_{O_1} \cdot \cos\frac{\alpha}{2} i$$

$$\text{სადაც } R_{O_1} = R - O^1 O_1 \quad (\text{IV. 19})$$

წარმოდგენილი გაანგარიშების მიხედვით შეიძლება განისაზღვროს განზოგადოებული პარამეტრების მქონე გასაშლელი, “დაკეცის პრინციპი” + “დახვევის პრინციპით” აგებული ხიდის გეომეტრიული პარამეტრები. აღნიშნული მეთოდით გაანგარიშდა ხიდის მოდელის კონსტრუქციის გეომეტრიული პარამეტრები.

#### IV. 2. 2. ხიდის ტრანსფორმაციის პროცესების ექსპერიმენტული კვლევა მუდმივი დატვირთვის ზემოქმედებისას.

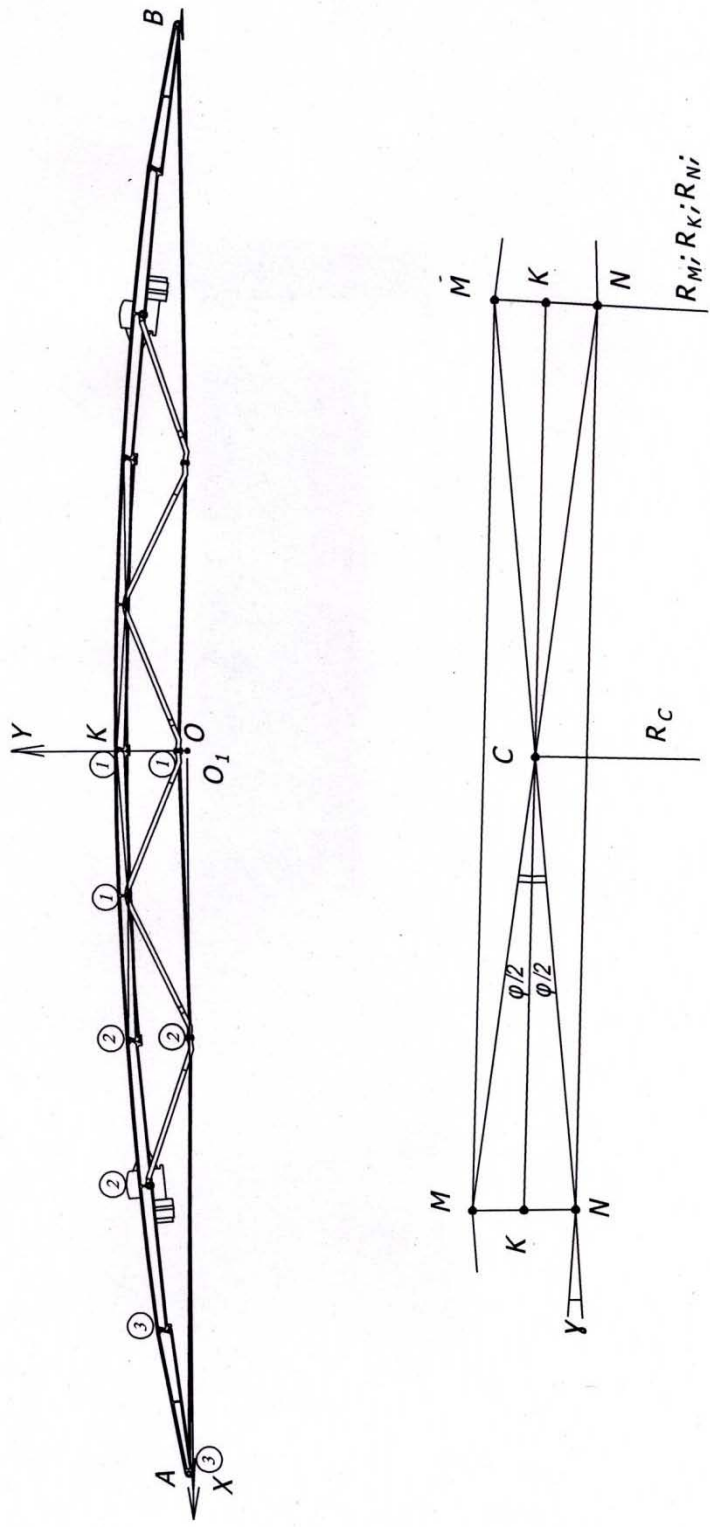
ტრანსფორმაციის პროცესების შესწავლისათვის, დასადგენია საცდელი მოდელისათვის იმ ძირითადი პარამეტრების შერჩევა, რომლებითაც ხიდის კონსტრუქცია ფორმათწარმოქმნის პროცესს ახორციელებს. ამდენად, ძირითადი პარამეტრები, ნაწილობრივ განსხვავდება საცდელი ხიდის იმ ძირითადი პარამეტრებისაგან, რომელიც მოდელის აღწერის დროს იქნა გამოყენებული. ამის მაგალითია ხიდის ზედა სარტყელი. მისი განივალეთის სიმაღლე ზედა და ქვედა განივი ლილვების დონეზე შეადგენს 50 მმ., მაგრამ, როცა ვირჩევთ იმ გეომეტრიულ პარამეტრებს, რომლებიც ფორმათწარმოქმნის მახასიათებლებია, იგივე ზედა და ქვედა განივი ლილვების დონეზე არა პანტოგრაფების მიერ მიღწეული განივალეთის სრული სიმაღლე, არამედ ზედა და ქვედა ლილვების სიმეტრიის დერძებს შორის მანძილი – 35,95მმ მიიღება.

ასეთი მიდგომით გასაშლელი ხიდის, გაშლილი მდგომარეობის, საბჯენებზე დაყრდნობილი ხიდის შემდეგი ძირითადი და ძირითადიდან წარმოებული პარამეტრებია (ფიგ. IV.15) –

ძირითადი პარამეტრები:

- ხიდის მალი  $AB = L = 4766,64$  მმ;
- ხიდის ზედა სარტყელის აწევის საანგარიშო ისარი  $OK = f_o = 182,73$  მმ;
- ხიდის ზედა სარტყელის აწევის ისარი ხიდის საყრდენების შემაერთებელი  $AB$  ხაზის დონიდან  $O_1K = f = 198,96$  მმ;

- ხიდის ზედა და ქვედა განივავეთების ცენტრებს შორის მანძილი  $MN = h = 35,95$  მმ;
- ხიდის ზედა სარტყელის თითოეული ბლოკის სუგრძე  $MM = 959,84$  მმ;
- ხიდის ქვედა სარტყელის თითოეული ბლოკის ქვედა დონის სიგრძე  $NM = 957,53$  მმ;
- ხიდის თითოეულ ბლოკში, ტრაპეციაში დიაგონალების ურთიერთგადაკვეთის წერტილებში –  $C$  გადაერთებული ზედა ან ქვედა ხაზის  $MM$ -ის ან  $NN$ -ის პარალელური ხაზის  $KK$  მიერ შედგენილი კუთხე თითოეულ დიაგონალთან  $\angle NCK$  და  $\angle MCK$  ტოლია  $0,5\varphi = 2,15^\circ$ .
- $MN$  მონაკვეთის მიმართ,  $N$  წერტილში,  $MN$  ხაზის მართობულად გავლებულ წირსა და ტრაპეციის დიაგონალს  $MC$  შორის კუთხე  $\gamma = +0,63^\circ$ .
- მონაკვეთის სიგრძე  $MK = h_1 = 18,01$  მმ;
- მონაკვეთის სიგრძე  $KM = h_2 = 17,94$  მმ;
- მონაკვეთის სიგრძე  $MC = \ell_1 = 480,34$  მმ;
- მონაკვეთის სიგრძე  $CN = \ell_2 = 479,18$  მმ;
- მონაკვეთის სიგრძე, რომელიც  $C$  წერტილზე გაივლის  $MCN = \ell = 599,52$  მმ.



ვიგ. IV. 15. – ხედის მოდელის სქემა და მისი ძირითადი და წარმოქმნული გეოგრაფიული პარამეტრები

წარმოებული პარამეტრები:

- წრიული ზედა სარტყელის  $M$  წერტილზე გამავალი წრეხაზის რადიუსი  $R_M = 14992,9804$  მმ;
  - წრიული ზედა სარტყელის  $K$  წერტილზე გამავალი წრეხაზის რადიუსი  $R_K = 14974,7499$  მმ;
  - წრიული ზედა სარტყელის  $N$  წერტილზე გამავალი წრეხაზის რადიუსი  $R_N = 14956,9999$  მმ;
  - წრიული ზედა სარტყელის  $C$  წერტილზე გამავალი წრეხაზის რადიუსი  $R_C = 14967,3020$  მმ;
- რაც შექება მოდელის სხვადასხვა კვანძების კოორდინატებს, ისინი მოცემულია ცხრილში 1.

ცხრილი IV.1 - მოდელის კვანძების კოორდინატები

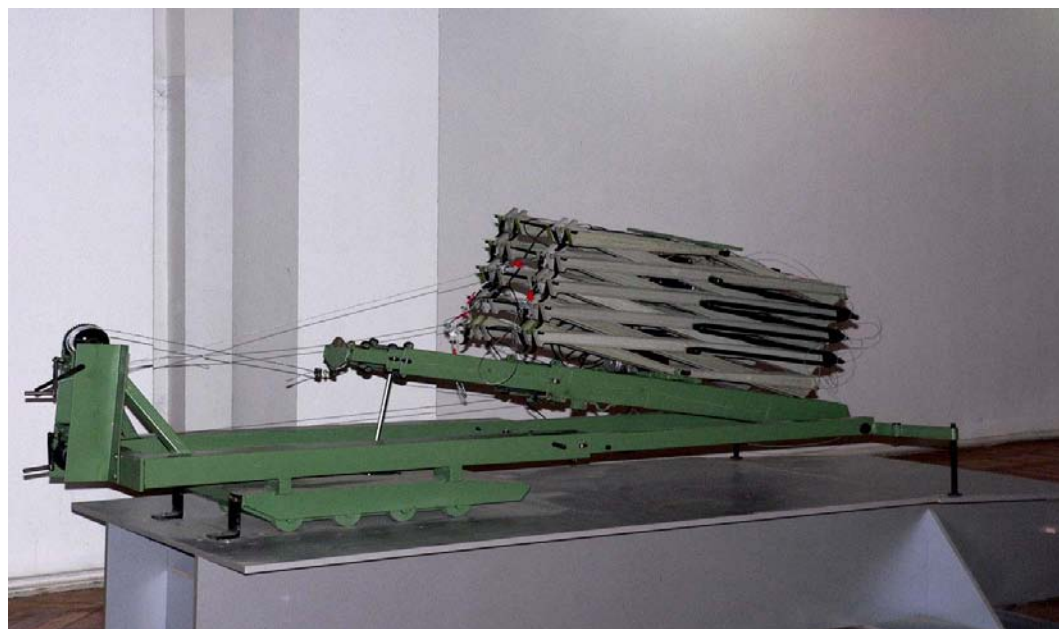
საკონტროლო წერტილები	X (მმ)	Y (მმ)
M <sub>1</sub>	2,78	200,88
N <sub>1</sub>	2,78	182,88
O <sub>1</sub>	0,00	0,00
C <sub>1</sub>	476,39	167,59
M <sub>2</sub>	956,73	170,31
N <sub>2</sub>	955,53	152,35
O <sub>2</sub>	946,65	30,34
C <sub>2</sub>	1432,80	106,42
M <sub>3</sub>	1912,32	78,39
N <sub>3</sub>	1907,73	42,69
A <sub>3</sub>	2383,32	15,83

აღნიშნულ პარამეტრებიანი გასაშლელი ხიდის მოდელი დაიკვეცა სატრანსპორტო პაკეტის სახით და განთავსდა ხიდგამდებზე (ფიგ. IV.16). ასეთ მდგომარეობაში, ხიდგამდები ხიდით იკავებს საწყის პოზიციას გადასალახი წინააღმდეგობია ნაპირთან, მისი კიდესაგან წინასწარ განსაზღვრულ მანძილზე.



ფიგ. IV.16. - ხიდგამდების საწყის პოზიციაზე

ხიდგამდების ჩარჩოდან დაბრკოლების მიმართულებით გამოდის შიდა ჩარჩო მასზე დამაგრებული მზიდი ისრით და ხიდის კონსტრუქციით. გამოსაწევი შიდა ჩარჩო წინა მხრიდან აღჭურვილია საყრდენებით, რომლებიც ჩამოიწევიან და ხდება ხიდგამდების მზიდი ჩარჩოს დაყრდნობა გრუნტზე საყრდენბით (ფიგ. IV.17). ხიდგამდების ტელესკოპური მზიდი ისარი მასზე დამაგრებული დაკეცილი ხიდის კონსტრუქციით იწყებს ბრუნვას საყრდენი ლერძის გარშემო და წამოდგომას ვერტიკალურ მდგომარეობამდე. ვერტიკალური მდგომარეობაში მყოფი ჩაპეცილი ოთხსაფეხურიანი ტელესკოპური მზიდი ისარი ბოლომდე იშლება და აგრძელებს ბრუნვას საყრდენი ლერძის გარშემო. ამ მომენტიდან ხიდის დაკეცილი კონსტრუქცია თავისუფლადაა დაკიდებული ისარზე (ფიგ. IV.18.) და (ფიგ. IV.19).



ფიგ. IV. 18. - ტელესკოპური მზიდი ისარი იწყებს წამოდგომას

ვერტიკალური მდგომარეობის გავლის მომენტიდან მუშაობაში ერთვება შემაკავებელი – დამზღვევი ბაგირები, რომლებიც უზრუნველყოფენ ისრის უსაფრთხო გაშლას და დახრას (ფიგ. IV.19). ტელესკოპური მზიდი ისრის ბოლო აღწევს გადასალახი წინააღმდეგობის შუა წერტილს და ფიქსირდება ამ მდგომარეობაში. ამ მომენტიდან დაკეცილი ხიდის პაკეტი მზადაა გასაშლელად (ფიგ. IV.20. და ფიგ. IV.21). ირთვება ელექტრო ძრავები და ხიდის კონსტრუქცია

იწყებს გაშლას. ბაგირის ჩაბმის წერტილის გარშემო კონსტრუქციის რხევების და პორიზონტალურ სიბრტყეში მობრუნების თავიდან ასაცილებლად კონსტრუქციის მეორე და მეოთხე სახსრებში ჩაბმულია დამატებითი მასინქრონიზებელი ბაგირები, რომელთა მეშვეობით ხდება გაშლის პროცესის კონტროლირება და კორექტირება (ფიგ. IV.22) და (ფიგ. IV.23). გაშლილი ხიდის კონსტრუქცია თავისი ბოლოებით ეხება ნაპირებს, მაგრამ მისი წონის ძირითად ნაწილს ჯერ კიდევ მზიდი ისარი აღიქვამს (ფიგ. IV.24). ხდება ნაპირებზე ნაწილობრივ დაყრდნობილ ხიდის სახსრების ჩაკეტვა და ხიდის ქვედა სარტყელის ბაგირების მოჭიმვა (ფიგ. IV.25). ხდება ხიდის მზიდი ბაგირის მოშვება და ჩახსნა. ხიდი მთლიანად აღიქვამს საკუთარ წონას, მოყვანილია საექსპლოატაციო – მუშა მდგომარეობაში (ფიგ. IV.26) და შესაძლებელია მოდელის გამოცდა შესაბამის დატვირთვებზე, რისთვისაც თვით ხიდგამდები გამოიყენება.



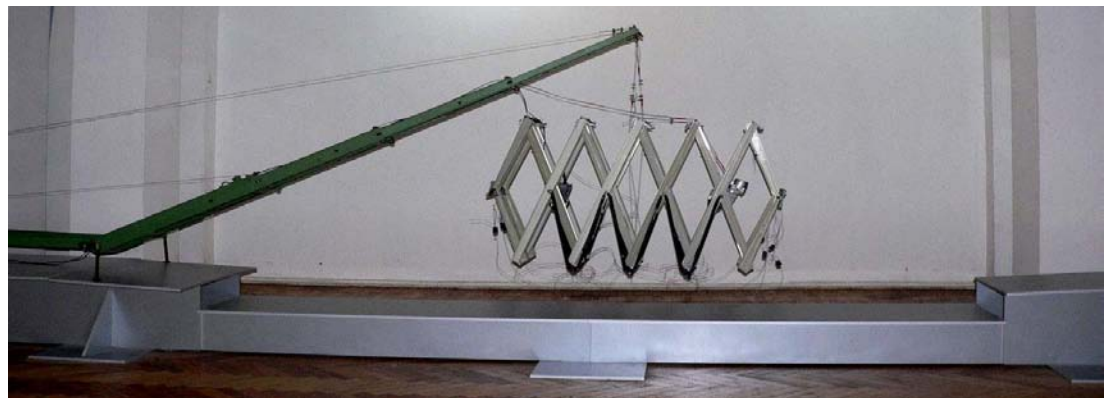
ფიგ. IV.19. - ტელესკოპური მზიდი ისარი ვერტიკალურ მდგომარეობაში



ფიგ. IV.20. - დაკეცილი ხიდის პაკეტის გადაადგილება წინააღმდეგობის ცენტრისკენ



ფიგ. IV.21. - დაკეცილი ხიდის მოდელის პაკეტი წინააღმდეგობის ცენტრში



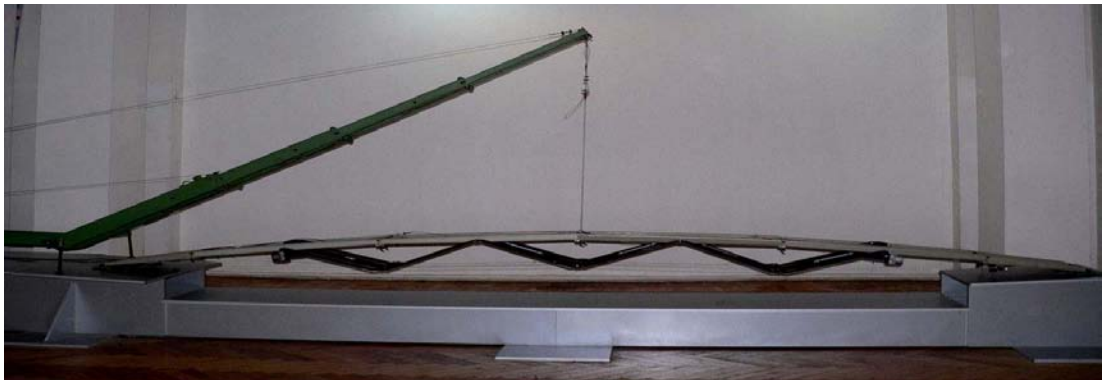
ფიგ. IV.22. - ხიდის მოდელის გაშლის პროცესი



ფიგ. IV.24. - ხიდის მოდელის ბოლოები ეხება ნაპირებს



ფიგ. IV.25. - სახსრების ჩაკეტვა და ქედა სარტყელის მოჭიმება

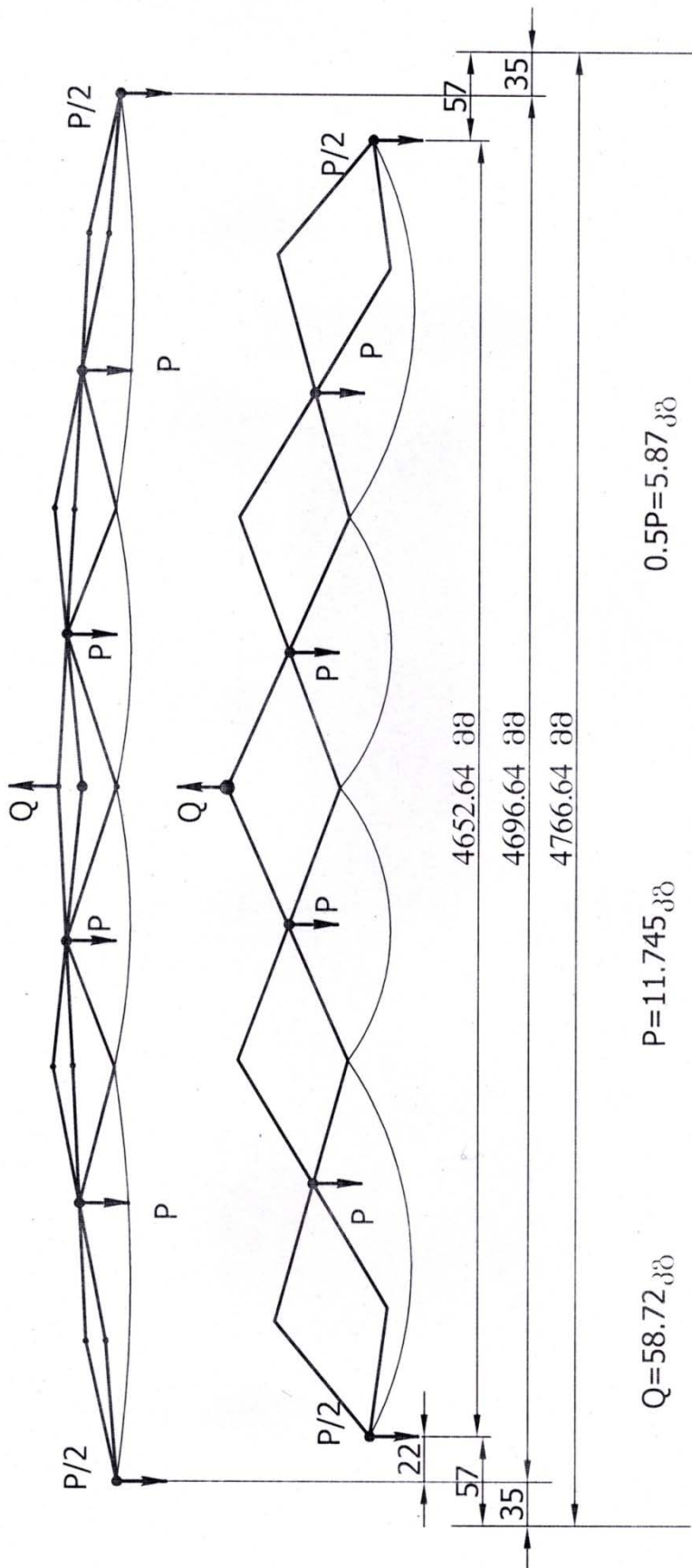


**ფიგ. IV.26. - გაშლილი ხიდის მოდელი**

ექსპერიმენტის დროს ხიდის მოდელის გაშლა ხდებოდა, ხიდის სამონტაჟო მდგომარეობაში დამჭერი ბაგირის ჩაბმა, ცენტრალურ ნაწილში, პანტოგრაფების ურთიერთკავშირის ზედა განივ ლილვებზე ან პანტოგრაფების ურთიერთკავშირის ქვედა განივ ლილვებზე.

პირველ შემთხვევაში, როდესაც გასაშლელი ხიდის ბაგირებზე შეკიდება ხდებოდა ზედა განივ ლილვაზე, ხიდის გამშლელი ელექტროამძრავი ხიდის გაშლის მომენტიდან იწყებდა დიდი დატვირთვით მუშაობას – იგი მოითხოვდა გაზრდილი ენერგორესურსის დახარჯვას ხიდის გაშლისათვის(ფიგ. IV.27).

რაც შეეხება იმ შემთხვევას, როდესაც დამჭერი ბაგირი ჩაბმული იყო ქვედა განივ ლილვზე, ხიდი იწყებდა გაშლას ელექტროამძრავის გარეშე. უფრო მეტიც, ამ მომენტში ხიდის გაშლა საჭიროებს ტრანსფორმაციის დიდი სიჩქარის შენელებას, გაშლის პროცესის დემპფირებას, რასაც მოდელში ასრულებდა ის ელექტროამძრავი, რომლის ძირითადი ფუნქცია სისტემის გახსნის უზრუნველყოფაა.



ზოგ. IV. 27. – ხიდის მოდელის გთხოვაზე ურთის სქემის ტრანსფორმაციები დამჭერი ბაზირის  
სხვადასხვა წერტილში ჩაბმისას  
ა) ბაზირი ჩაბმულია ხიდის მოდელის ქვედა განივ ლილებებშე; ბ) ბაზირი ჩაბმულია ხიდის მოდელის ზემო განივ.

გასათვალისწინებელია ის, რომ ხიდის გაშლის ბოლო ეტაპზე, განსაკუთრებით კი დამჭერი ბაგირის ზედა ლილვზე ჩამაგრებისას, საჭირო ხდება ელექტროამძრავის მიერ ხიდის ტრანსფორმაციის აქტიური უზრუნველყოფა.

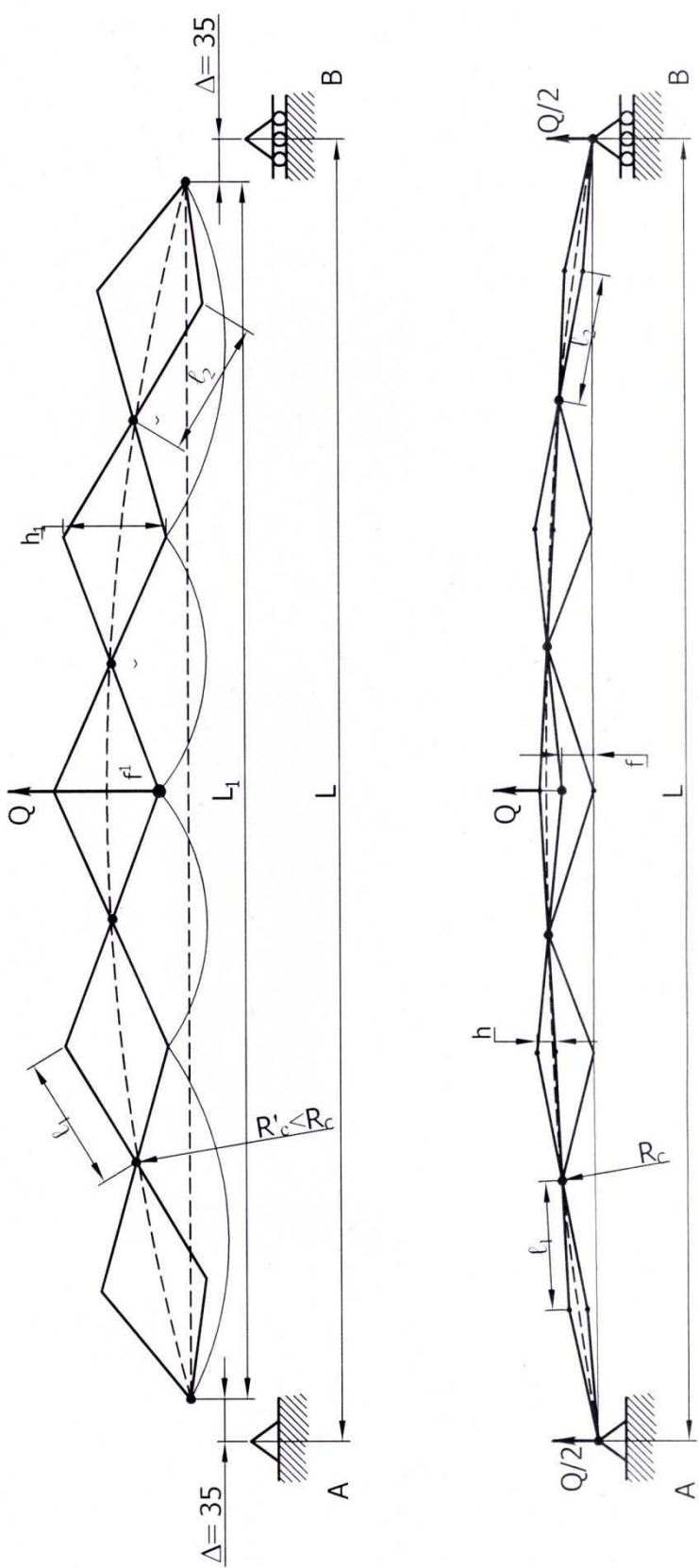
აღნიშნული დაძაბულ-დეფორმაციული სურათი ხიდის მოდელის გაშლისა ბოლო ეტაპზე, სათანადო ენერგოუზრუნველყოფით, ექსპერიმენტულ კვლევაში შესწავლილი იქნა როგორც თეორიულად, ასევე პრაქტიკულად მოდელის გამოცდების პირობებში.

როგორც გაირკვა, აღნიშნულ “საფინიშო” სიტუაციაში ორი ძირითადი ფაქტორი მოქმედება – დამჭერი ბაგირის ჩაბმის წერტილის შერჩევა და ზედა სარტყელის წრიული მოხაზულობის სიმრუდის რადიუსის შეცვლა.

რაც შეეხება დამჭერი ბაგირის ჩაბმის წერტილის შერჩევას, მოდელის მრავალჯერადი გახსნა-დაკეცვის შემდეგ, გადაწყდა, რიმ იგი უნდა ჩაებას პანტოგრაფების მაკავშირებელი შუა, ქვედა ლილვში. ასეთი გადაწყვეტილება გაცილებით მოსახერხებელია ორი ფაქტორის გამო – გახსნის პირველ ეტაპზე კონსტრუქცია იხსნება საკუთარი წონის სР ზემოქმედების შედეგად და ამძრავი, პასიურ რეჟიმში ასრულებს დემპფერის როლს, ხოლო ბოლო ეტაპზე კონსტრუქციის გახსნისა ამძრავი გაცილებით ნაკლები ენერგოსასსრებით უზრუნველყოფს ტრანსფორმაციის შედეგად ხიდის მოდელის ფუნქციონალური ფორმის წარმოქმნას.

ხიდის მოდელში გაცილებით რთული გამოდგა ტრანსფორმაციის ბოლო ეტაპის სტაბილური ფორმათწარმოქმნის პროცესის უზრუნველყოფა ზედა სარტყელის წრიული მოხაზულობის სიმრუდის რადიუსის ცვლილების გამო, რასაც ადგილი აქვს ხიდის მონტაჟის დროს, მისი საკუთარი წონის ზემოქმედების გამო (ფიგ. IV.28).

ექსპერიმენტის შედეგად დადგინდა, რომ ხიდის სრული გაშლა, სანამ ის ამწის ბაგირზეა ჩამოკიდებული და საბჯენებით არ ეყრდნობა, იმის გამო, რომ იგი დამატებით იღუნება, არ მოხერხდა.



ზოგ. IV. 28. – ხილის მოდელის გინემატიკური სქემის ტრანსფორმაციები  
ა) საყრდენებზე დაყრდნობამდე; ბ) საყრდენებზე დაყრდნობის შემდეგ.

ამის ძირითადი მიზეზი არის ის, რომ ხიდის მოდელის პანტოგრაფების შემაერთებელი ზედა განივი ლილვის ცენტრსა და ქვედა განივი ლილვის ცენტრს შორის მანძილი  $h^1$  არის უფრო მეტი, ვიდრე ამ მანძილის საპროექტო მნიშვნელობა –  $h$ .

გარდა ამისა, როდესაც აღნიშნული მანძილი  $h^1$  აღემატება  $h=32$  მმ, არ ხერხდება ზედა განივი ლილვის და ქვედა განივი ლილვის ჩაკეტვა, რადგანაც ჩამკეტის კონსტრუქციის მხარი, სწორედ 36 მმ-ის დროს კეტავს სისტემას.

$$\text{ამის პირობა } \text{ასე } \text{ჩაიწერა } R_C^1 < R_C;$$

$$h = 36\partial\partial < h_1; f = 198,96 < f^1;$$

$$\Delta = 35 \partial\partial - b; \ell_1 = \text{const}; \ell_2 = \text{const}; \ell = \text{const}.$$

ამასთან,  $R_C^1$  ზედა სარტყელის გაყოლებაზე ცვლადი სიდიდეა.

ამის შემდეგ, როცა ხიდის მოდელი დაეჭვება საყრდენებზე, მოიხსენება მასზე მოდებული რეაქცია, ბაგირის ჩაბმის წერტილიდან, წარმოიქმნება რეაქციები საყრდენებზე –  $\frac{\varrho}{2} = 29,3625$  კგ., გასრიალდება ხიდის განაპირა ცენტრალური ლილვები საყრდენებზე 35 მმ + 35 მმ, ზედა სარტყელის რადიუსი  $R$  მიაღწევს ასევე საპროექტო სიდიდეებს  $R_C = 14967,302$  მმ, ხოლო აწევის ისარი ზედა სარტყელისა  $f$  შეადგენს 198,96 მმ-ს, მხოლოდ მაშინ ზედა განივი და ქვედა განივი ლილვების ცენტრებს შორის მანძილი  $h$  უტოლდება საპროექტო სიდიდეს – 36 მმ და ამ მდგომარეობაში საკეტები ჩაიკეტა.

მიუხედავად იმისა, რომ მოდელის მრავალჯერადი გამოცდის შედეგად, გამლა-დაკეცვის 25 ციკლის შემთხვევაში, საკეტების სრულად ჩაკეტვამ მიაღწია 85%-ს. უნდა აღინიშნოს, რომ არსებული კვანძი მოითხოვს ისეთ ცვლილებას, რომელიც მას მისცემდა საშუალებას ზედა და ქვედა განივი ლილვების ცენტრებს შორის საპროექტო მანძილის – 36 მმ-ის შემთხვევაში, ჩაკეტვაზე მუშაობა დაეწყო 45 მმ-დან და “ძალდატანებით” მიეყვანა კვანძები საპროექტო მდგომარეობამდე.

ჩატარებული ექსპერიმენტული კვლევების შედეგად, რეალური კონსტრუქციის პროექტში, სწორედ სათანადო რეკომენდაციებით მოხდა ჩამკეტის კონსტრუქციაში ცვლილების შეტანა.

ექსპერიმენტის ბოლოს მოხდა ხიდგამდების მოდელის გადატარება ხიდზე (ფიგ. IV.29) და ხიდის ახსნა მეორე მხრიდან.



**ფიგ. IV.29. - ხიდის მოდელზე ხიდგამდების გადასვლა**

ხიდის მოდელის ექსპერიმენტული კვლევა მიზნად ისახავდა:

- ხიდის მოდელის სტატიკური დატვირთვების და კონსტრუქციაში წარმოქმნილი ძალების შედარებას თეორიულ გათვლებთან;
  - ხიდის გაშლა-დაკეცვის შესაძლო სქემების დადგენას;
  - ხიდის გაშლა-დაკეცვის შერჩეული სქემების საიმედოობის დადგენას;
  - ხიდის მოდელის ტრანსფორმაციის უზრუნველყოფას ორი ელექტროამძრავით, რომელთა პარამეტრების მიხედვით ხიდის გაშლის დრომ შეადგინა 3 წუთი და 25 წამი;
  - ხიდის ტრანსფორმაციის კინემატიკური სქემის კვლევას და მის შედარებას თეორიულ პარამეტრებთან;
  - ხიდის ქვედა, მოქნილი, მრავალი ბაგირისაგან შედგენილი სარტყელის მუშაობის პირობების შესწავლას;
  - ხიდის კონსტრუქციული ელემენტების და კვანძების შესაბამისობის დადგენას რეალური კონსტრუქციის შექმნის მოთხოვნებთან.
- დადგინდა:
- ხიდის მოდელის სტატიკური დატვირთვებისაგან წარმოქმნილი ძალები ხიდის კონსტრუქციის ელემენტებში დატვირთვების

- ეტაპების შესაბამისად 7%-3% განსხვავდება ხიდის მოდელის თეორიულ გათვლებთან შედარებით. ამავე დროს, მაქსიმალური განსხვავება მოდის მოდელის სტატიკური ძალებით დატვირთვის პირველ ეტაპზე, სანამ მოხდება ხიდის კონსტრუქციის კვანძებში არსებული “ლუფტების” და ასევე კონსტრუქციის დამზადების ტექნოლოგიური უზუსტობების “ამოყრას” მოდელის კონსტრუქციის დაძაბვის შედეგად.
- ხიდის მოდელის გაშლის ოპტიმალური სქემა, როდესაც ხიდის დამჭერი ბაგირი ებმება ქვედა განივ კიკზე, რიწვევს პირველ ეტაპზე ხიდის თვითგაშლას და აქ ხიდის გამშლელი ელექტროამძრავები და რედუქტორი გვევლინება ხიდის ელემენტების სივრცეში სწრაფი გადაადგილების დემპფერად, ხოლო ბოლო ეტაპებზე ხდება ხიდის გაშლა მცირე ენერგეტიკული რესურსით.
  - ხიდის გაშლა-დაკეცვის – მისი ტრანსფორმაციის პროცესი, თუ არ ჩავთვლით ბოლო ეტაპზე ჩამკეტების სრულ ჩაკეტვას, რამაც გაშლების რაოდენობის 85% მიაღწია, გამოირჩევა მაქსიმალური საიმედოობით და იგი ჩატარებული 25 ციკლის შემდეგ ხიდის მოდელის გაშლა-დაკეცვის ციკლისა შეადგენს 100%.
  - ხიდის მოდელის კონსტრუქციის ფორმათწარმოქმნის პროცესი, ხიდის დაკეცილი სატრანსპორტო პაკეტიდან მისი საექსპლოატაციო ფორმის მიღწევამდე, შეადგენს მინიმუმ 3 წუთს და 57 წამს – მაქსიმუმ 4 წუთსა და 9 წამს. ამ მხრივ საშუალო სტატიკური გადახრა 25-ციკლიანი გაშლა-დაკეცვის დროს შეესაბამება 10%-15%, რაც სტაბილური შედეგია. რაც შეეხება ხიდის მოდელის გაშლის დროის გაზრდას ელექტროამძრავების და რედუქტორის თეორიული გაანგარიშებებიდან გამომდინარე, აქ ორი პირობად გასათვალისწინებელი – პირველი ის, რომ თეორიაში არ იყო შეუვქნილი ხახუნის ძალები და, მეორე, თვით ორი ძრავის მახასიათებლების რეალური სხვაობა.
  - ხიდის მოდელის კონსტრუქციის ტრანსფორმაციის პროცესის ექსპერიმენტული კვლევების დროს განსხვავებული ადგილი

დაეთმო ფორმათწარმოქმნის კინემატიკის შესწავლას და შედეგების შედარებას თეორიულ გათვლებთან.

აღსანიშნავია ის, რომ მოხდა მაქსიმალური თანხვედრა ფორმათწარმოქმნის ექსპერიმენტული შედეგების თეორიულ გათვლებთან, რისთვისაც სისტემის ტრანსფორმაციის გეომეტრიის მხრივ მნიშვნელოვანი თეორიული კვლევები იქნა ჩატარებული დისერტაციის სამუშაოს ფარგლებში.

- ხიდის მოდელში, ექსპერიმენტულმა კვლევებმა მოითხოვა ცვლილებების შეტანა ქვედა სარტყელის კონსტრუქციაში, სადაც განაპირა ხისტ ბლოკებში, ჩამაგრებული იყო მრავალი მოქნილი ბაზირი. აღნიშნულმა გადაწყვეტილებამ არ გაამართლა, რადგანაც მაღალი ტექნოლოგიების გამოყენებითაც კი არ იქნა მიღწეული ყველა ბაზირის თანაბარი საწყისი სიგრძეები, რაც განაპირობებდა მათ შორის ძალვების უთანაბრობას საშუალოდ 35%-ის ფარგლებში.

მიღებული იქნა გადაწყვეტილება, თითოეული ლიანდის ქვედა 5-ბაზირიანი სარტყელი შეცვლილიყო უფრო დიდი დიამეტრის 2-ბაზირიან სისტემად, რამაც შედარებით ნაკლები სხვაობა 10% – 12% გამოიწვია ძალებს შორის ქვედა სარტყელში.

- მიუხედავად იმისა, რომ ხიდის მოდელის ექსპერიმენტულმა კვლევამ წარმოაჩინა კონსტრუქციის ზოგადი ნაკლოვანებები, კვანძების შესაძლო საპროექტო ზომების სიმცირის მხრივ, განსაკუთრებით აღსანიშნავია ჩამკეტი კვანძების მოდერნიზაციის აუცილებლობა. კვანძი, მიღებული საპროექტო ზომებთან შედარებით პანტოგრაფების შემაერთებელი ზედა და ქვედა ლილვების ცენტრებს შორის მანძილისა, ჩაკეტვის ძალოვან პროცედურას უნდა იწყებდეს აღნიშნულ ზომებთან შედარებით 12% – 15% მეტი ზომის დიაპაზონში.

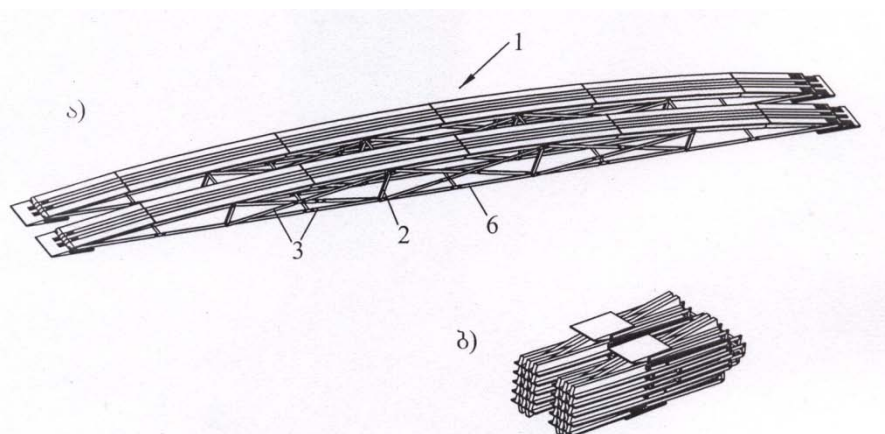
ამ რეკომენდაციით შევარჩიეთ ჩამკეტი კვანძები ხიდის სისტემებში, რომლებიც სადისერტაციო სამუშაოშია განხილული.

**V. ტრანსფორმაციის ორმაგი პრინციპით აგებული გასაშლელი  
ხიდების კონსტრუქციული  
სრულყოფა და ტრანსფორმაციის სამმაგ  
პრინციპზე გადასვლის აუცილებლობა**

**V. 1. “დაკეცვის პრინციპს”+”დახვევის პრონციპით” შექმნილი ხიდის  
შეცვლა “დაკეცვის პრინციპს” + “დაკეცვის პრინციპით” შექმნილი  
ტრანსფორმირებადი ხიდით.**

ჩატარებულმა თეორიულმა და ექსპერიმენტულმა კვლევებმა და განსაკუთრებით “დაკეცვის პრინციპს” + “დახვევის პრინციპით” შექმნილი ხიდის სქემის კონსტრუქციების ლოგიკამ, წინა პლანზე წამოწია ის მიმართულებები ცვლილებებისა, რომლებიც გააძარტივებენ კონსტრუქციას და შეამცირებენ მისი დაკეცილი სატრანსპორტო პაკეტის სიმაღლეს, რაც ესოდენ მნიშვნელოვანია [32] [33] [34].

ამ მხრივ, “დაკეცვის პრინციპს” + “დახვევის პრინციპით” შემნილი ტრანსფორმირებადი ხიდის სქემაში (იხ. ფიგ. III.1 და ფიგ. III.2) მოხდა ძირეული ცვლილებები ხიდის გისოსის და ქვედა სარტყელების სქემებში. ამასთან, შენარჩუნებული იქნა ზედა კომბინირებული სარტყელი, რომელიც გასაშლელი ხიდის ფორმათწარმოქმნისას ძირითად ფუნქციას ასრულებს ხიდის ტრანსფორმაციის პროცესში, ხოლო ხიდის გაშლის ბოლო ეტაპზე გადაიქცევა სავალი ნაწილის მზიდ კონსტრუქციად (ფიგ. V.1).



**ფიგ. V.1. - “დაკეცვის პრინციპს” + “დაკეცვის პრინციპით” შექმნილი  
გასაშლელი ხიდის კონსტრუქციული სქემები.**

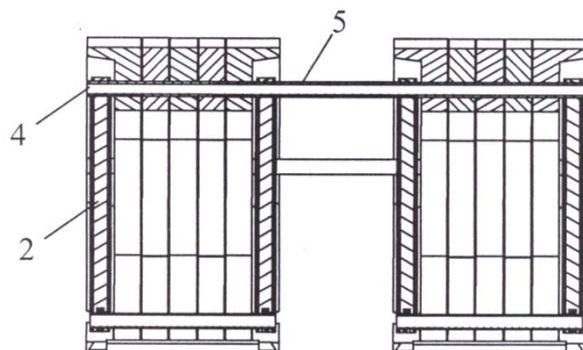
ა) გასაშლელი ხიდის აქსიონომეტრიული ხედი;  
ბ) ხიდის დაკეცილი სატრანსპორტო პაკეტის ხედი.

როგორც აღინიშნა, გასაშლელი ხიდის ზედა სარტყელები 1, რომლებიც გაშლილი ხიდის მდგომარეობაში სავალ ნაწილს წარმოადგენენ, სისტემაში უცვლელი სახით დარჩა.

რაც შეეხება ირიბნებს, ისინი შეიცვალა დგარებით 2 და ჯვარედინად განლაგებული ირიბნებით 3.

დგარები, რომლებიც ძირითადათ ითვისებენ მკუმშავ ძალვებს ხისტი ელემენტებისაგან, პროფილებისაგან არის დამზადებული. რაც შეეხება ჯვარედინად განთავსებულ ირიბნებს, ისინი მოცემულ შემთხვევაში გამჭიმავი ძალვების ათვისებაზეა გათვალისწინებული ისე, როგორც ეს იყო გაუ-ჟურავსკის ხელითონის ფერმებში.

ირიბნები ზედა სარტყელზე ემაგრება დგარების ჩამაგრების კვანძებში 4, რომლებიც განთავსებულია ზედა სარტყელის ცენტრალურ ლილებზე 5, რომელთა ირგვლივ ბრუნავს ზედა სარტყელის პანტოგრაფული ელემენტები, რომლებიც, როგორც ითქვა, გაშლილი ხიდის მდგომარეობაში ზედა სარტყელს წარმოდგენს (ფიგ. V.2)

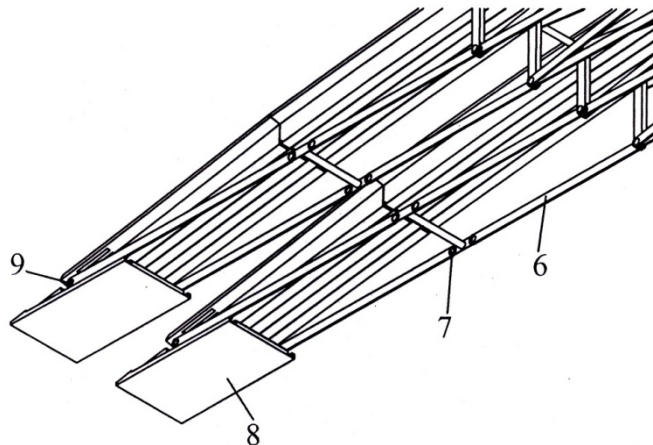


ფიგ. V.2. – ხიდის ქონსტრუქციის განივი, ვერტიკალური ჭრილი გამავალ დგარზე.

ქვედა სარტყელთან 6, რომელიც მოცემულ შემთხვევაში დამზადებულია ლითონის გაჭიმული დეროებისაგან, ირიბნები ასევე დგარებთან ერთად არის ჩამაგრებული კვანძის 7 საშუალებით.

იმის გამი, რომ სისტემაში ირიბნები და ქვედა სარტყელები ითვისებენ მხოლოდ გამჭიმავ ძალვებს, მათი კვეთის შერჩევის დროს ადარ არის საჭირო კვეთის გაზრდა გრძივი ღუნვის გათვალისწინებით.

ხიდის ქვედა სარტყელები ბოლოებით, ცილინდრული სახსრებით ჩამაგრებულია ხიდის საბჯენი ფილების 8 თავზე განთავსებულ ლილვზე 9, სადაც ასევე ცილინდრული სახსრებით ემაგრება სარტყელის ბოლოები (ფიგ. V.3)



ფიგ. V.3 – გასაშლელი ხიდის საბჯენები

წარმოდგენილი ცვლილებები მოცემულ სქემაში ასევე მირითადათ განხორციელდა იმისათვის, რომ, ჯერ ერთი, მრავალბაგირიანი ქვედა სარტყელი შეცვლილიყო, რაც იწვევდა ქვედა სარტყელის ბაგირების არათანაბარ დაჭიმულობას და, მეორე მხრივ, იმ მოტივით, რომ გაადვილებულიყო სისტემის დაკმცვა.

ამისათვის ირიბნები და ქვედა სარტყელები წარმოდგენილია დაედის ტიპის ცილინდრული სახსრებით 10 და მათ შორის მოწყობილი ჩანამატებით 11 (ფიგ. V.4).

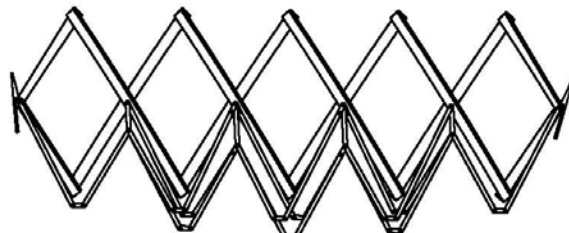
ამას გარდა, დაკმცვის სქემის რეალიზაციისათვის, ირიბნები და ქვედა სარტყელები განთავსებულია პარალელურ, ერთმანეთის მიმართ აცილებულ სიბრტყეებზე.

დაკმცილი ხიდი ხიდგამდებზე განთავსდება “დაკმცვის პრინციპს”+ + “დახვევის პრინციპით” განხორციელებული ხიდის ანალოგიურად.

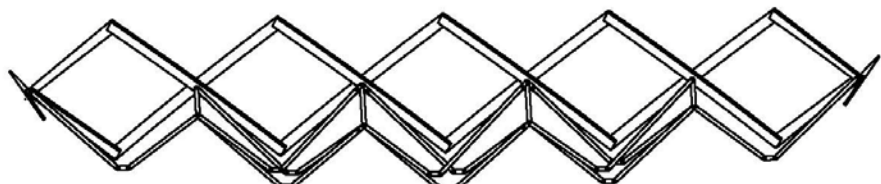
ანალოგიურია მისი გადასალახ წინააღმდეგომაზე გადების მთელი პროცესი და ხიდგამდებიდან მოხსნის და ხიდგამდებზე ხელახლი გადების სქემები.



I ეტაპი – ხიდი დაკეცილ მდგომარეობაში



II ეტაპი – ხიდის გახსნის საწყისი ფაზა



III ეტაპი – ხიდის გახსნის შუალედური ფაზა



IV ეტაპი – ხიდის გახსნის საბოლოო ფაზა



V ეტაპი – ხიდი გაშლილ მდგომარეობაში

ფიგ. V.4 – “დაკეცვის პრინციპს”+”დაკეცვის პრინციპით” შექმნილი ხიდის ტრანსფორმაციის ეტაპები, გასაშლელი ხიდის დაკეცილი სატრანსპორტო პაკეტიდან ხიდის სრულ გაშლამდე.

V. 2. “დაკეცვის პრინციპს” + ”დაკეცვის პრინციპით” შექმნილი,  
48 მეტრი მაღის მქონე გასაშლელი ხიდის  
გაანგარიშება და კონსტრუირება

გასაშლელი ხიდის სიგრძე შეადგენს 48 მეტრს, აწევის ისარი საბრჯენების დონიდან 1,981 მეტრია, ხიდის სიგანეა 4,1 მეტრი. ამასთან, ხიდის დაკეცილი სატრანსპორტო პაკეტის სიმაღლეა 3 მეტრი. დაკეცილი ხიდის პაკეტის გაბარიტი სიგრძეში 11,2 მეტრია. გასაშლელი ხიდის კლასი ტვირთამწეობის მხრივ არის MLC 70, რაც სამხედრო ხიდებისათვის შეადგენს 70 ტონას დროებითი სასარგებლო ტვირთის სახით [35] [36] [37].

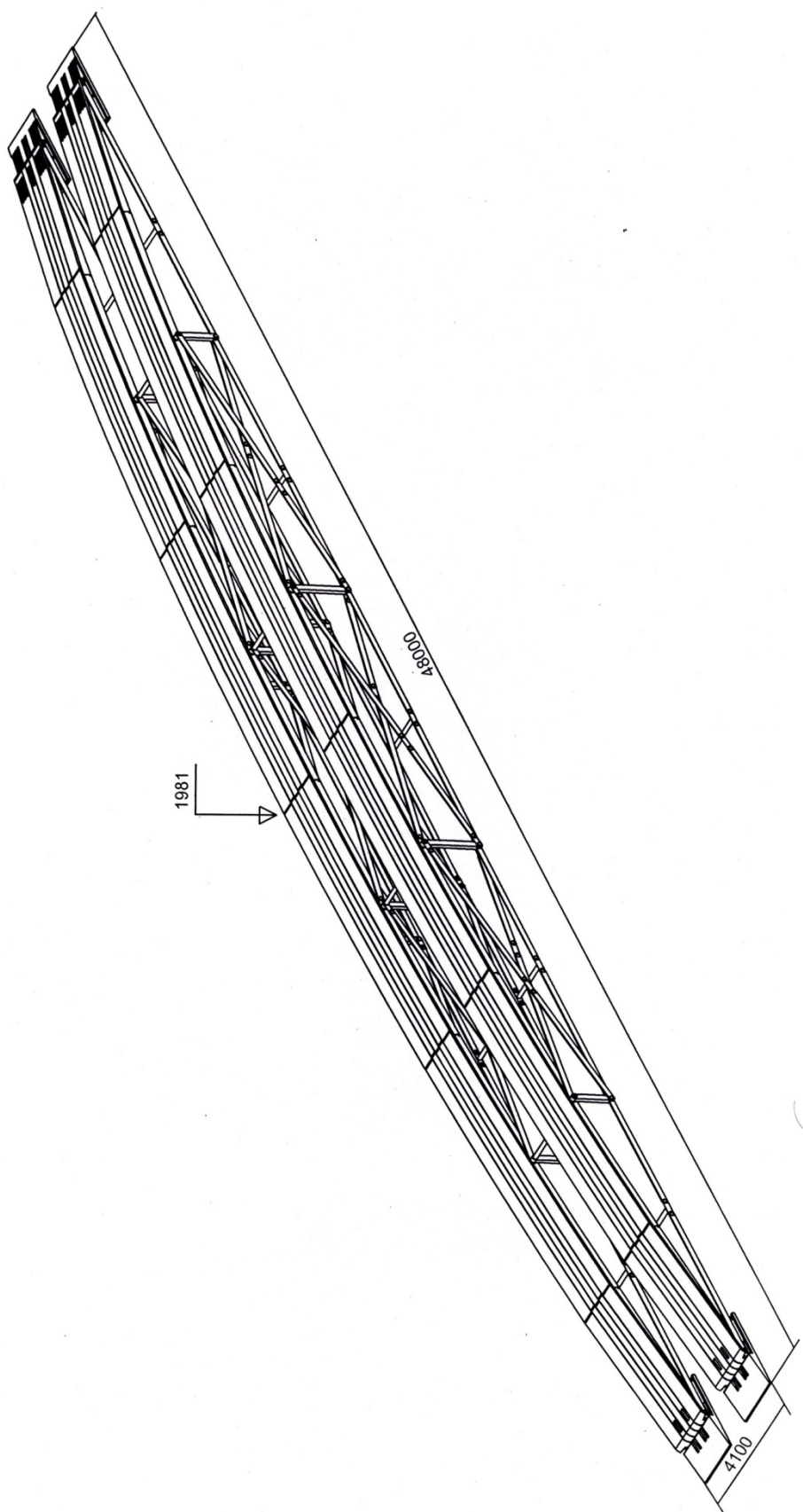
ხიდი მოლიანად მზადდება ალუმინის შენადნობისაგან, კონკრეტულად კი შენადნობით, რომლის მარკაა 1917T. მისი საანგარიშო წინაღობა შეადგენს  $R_i=2000 \text{ კგ/სმ}^2$ . ამასთან, დრეკადობის მოდელია  $E=710000 \text{ კგ/სმ}^2$ , ხოლო ძვრის მოდელი  $G=270000 \text{ კგ/სმ}^2$ . პუსტონის კოეფიციენტია  $\mu=0,3$ . ხიდის კონსტრუქციული მასალის სიმკვრივე  $\rho=2,7 \text{ ტ/მ}^3$ . ტემპერატურისაგან ხაზოვანი გაფართოების კოეფიციენტია  $K=0,23 \cdot 10^{-4}$ .

ხიდის გაშლის ხანგრძლივობა შეადგენს 7 წუთს. ხიდზე მოძრავი დატვირთვა შეესაბამება სტანდარტს – HG-60-ს. ხიდის საკუთარი წონა წინასწარი მიახლოებითი ანგარიშით შეადგენს 20ტ-ს. ხიდის საანგარიშო სქემა მოცემულია ფიგ. V. 5-ზე.

ხიდის დატვირთვების სქემები პოზიციების მიხედვით მოცემულია ცხრილში 1, ხოლო შესაბამისი დატვირთვის პოზიციისათვის ხიდის კონსტრუქციის ჩაღუნვის და ელემენტებში ძალვების და ძაბვების მნიშვნელობები, შერჩეული დატვირთვების კრიტიკული კომბინაციებისათვის, მოცემულია ცრილში V.2.

ხიდის გაანგარიშება განხორციელდა პროგრამული უზრუნველყოფით “Lira-2008”. სათანადო ანგარიშის შემდეგ შეირჩა

კვეთები და ჯამური სპეციფიკაცია წონებისა, რის შედეგადაც გასაშლელი ხიდის საერთო წომან მიაღწია 198-ს. წონაში გათვალისწინებული არ არის ხიდის დამატებითი კონსტრუქციული ელემენტის წონები, რომლებიც აუცილებელია მისი ნორმალური ექსპლუატაციისათვის.



გეგ. V5. გასაშენელი ხილის საერთო  
სანგრძოლო ხედი

ცხრილი V.1 – ხიდის დატვირთვის სქემები პოზიციების მიხედვით

Nº	ლიანდის დატვირთვის სქემები. დატვირთვის კლასი – НГ-60	
1		2223.03
2		2223.03
3		2223.03
4		2223.03
5		2223.03
6		2223.03
7		2223.03

ცხრილი V.2 – ხიდის კონსტრუქციის ჩაღუნვების და ელემენტებში ძალვების და ძაბვების მნიშვნელობები

№	მაქსიმალური დეფორმაციების, ძალვების და ძაბვების მნიშვნელობები	დატვირთვის სქემები						
		1	2	3	4	5	6	7
1	ჩაღუნვები (სმ)	11.4	16.6	21.5	34.6	35.6	41.2	-
2	გრძივი ძალვები ქვედა სართყელებში (ტ)	13.27	34.0	66.6	76.6	65.0	71.5	64.25
3	გრძივი ძალვები ძირითადი ფერმის გისოსში (ტ)	4.449	22.64	33.3	25.5	32.5	35.7	32.1
4	გრძივი ძალვები ზედა სარტყელის ფერმის გისოსში (ტ)	0.344 - 0.337	3.52 - 3.296	2.851 - 3.157	3.745 - 3.773	2.894 - 3.2	3.588 - 3.624	2.315 - 2.648
გაანგარიშება კონსტრუქციის მუშაობით დრეკად-პლასტიკურ სტადიაში								
5	გრძივი ძაბვები ქვედა ფილაში (ტ/მ <sup>2</sup> )	1481.2	20215.3	10974.9	10869.1	7771.0	8543.3	8623.6
6	გრძივი ძაბვები ზედა ფილაში (ტ/მ <sup>2</sup> )	1578.8	18046.5	11272.4	14546.8	11044.3	14181.0	10147.7

მიუხედავად გარკვეული ცვლილებებისა ხიდის კონსტრუქციაში კვლავ შენარჩუნებული იქნა შემდეგი დადებითი და უარყოფითი ოვისებები.

ხიდის დადებითი ოვისებები:

- ხიდის კონსტრუქციული სქემა საშუალებას იძლევა გადაიღავოს 48 მეტრი სიგანის წინააღმდეგობა;
- ხიდი იშლება დროის მცირე მონაკვეთში;
- ხიდის გაშლა წარმოებს მისი ტრანსფორმაციის პროცესში ადამიანის ჩაუსკლელად;
- ხიდის წონა 19 ტ.

ამას დაემატა -

- ხიდის მონტაჟის დროს გაიზარდა ხიდის გრძივი სიხისტე გერტიკალურ მდგომარეობაში;
- ხიდის გაშლის მექანიზმი გაშლის ბოლო ეტაპზე გადაიქცევა ხიდის სავალ ნაწილად - ფერმის ზედა კომბინირებულ სარტყელებად;
- ხიდის დიდი განივი სიხისტე;
- ხიდის გაშლისა და დაკეცვისათვის შესაძლებელია არ იყოს გამოყენებული ხიდის ენერგეტიკული მექანიზმები.

ხიდის უარყოფითი ოვისებები:

- ხიდის გაშლა და დაკეცვა შესაძლებელია მხოლოდ და მხოლოდ მისი შუა წერტილიდან, რაც ასევე იწვევს ხიდგამდებების სამონტაჟო ელემენტების წონის ზრდას;
- გართულებულია ბოლო ეტაპზე ხიდის კვანძების ჩაპეტვის პროცესი, რაც არ უქვემდებარება პროგნოზირებად კონტროლს;
- ხიდის სავალ ნაწილში გამოყენებული შემაერთებელი კვანძების ზომები შეზღუდულია, რაც არასაიმედოს ხდის მათ მუშაობას დიდი დინამიკური ძალებისა და დარტყმის დროს;
- ვერ იქნა მიღწეული სასურველი სურათი ქვედა სარტყელის ელემენტების დახვევისა და შემდგომი მოდერნიზება დაკეცვის გარიანტისა;
- გაიზარდა ხიდის სატრანსპორტო პაკეტის ზომები 11.4x4.0x3.4 მ.

### ცხრილი V.3 – ტაქტიკურ-ტექნიკური პარამეტრების შედარება

პარამეტრები	FV4205 დიდი ბრიტანეთი	REMB USA	მთიმე სატანგო ხიდგამდები. საფრანგეთი	AVLB USA	HAB USA	“ბიბერი” გერმანია	ქართული პროექტი
კერძავი	3	2	3	2	2	2	2
ტვირთამშეობის კლასი	60 ტ	70 ტ	50 ტ	60 ტ	70 ტ	60 ტ	70 ტ
გაბარიტები							
სიგრძე	13.7 მ	16 მ	11.4 მ	11.8 მ	16 მ	11.4 მ	11.2 მ
სიგანე	4.16 მ	4 მ	3.8 მ	4 მ	4 მ	4 მ	4.1 მ
სიმაღლე	3.9 მ	4.3 მ			4 მ		4.3 მ
სახიდე ფერმის საერთო სიგრძე		31 მ	22 მ	19 მ	31 მ	22 მ	50 მ
გადასალახი წინააღმდეგობის სიგანე	22.9 მ		20 მ	18 მ		20 მ	48 მ
საერთო მასა	52.5 ტ	37.6 ტ	40 ტ	50 ტ	52 ტ	45 ტ	53 ტ
სახიდე ფერმის წონა	–	16 ტ	8 ტ	15 ტ	16 ტ	–	17 ტ
ხიდის წინააღ- მდეგობაზე გადატების დრო	3 წთ	5 წთ	8 წთ	3 წთ	5 წთ	3-5 წთ	7 წთ
საბაზო ტანკი	ჩიტგენი აბრამსი	M1	AMX-30	M60A1	M60A1	ლეოპარდი	M1 “აბრამსი” “ლეოპარდი” T-84
გერტმფრენი	X	X	X	X	X	X	МИ-26ТМ CH-53E

მსოფლიოში არსებული “საიეროშო” მექანიზებულ ხიდებთან, სადისერტაციო ნაშრომში განხილული “დაკეცვის პრიბუპს” + “დაკეცვის პრინციპით” შექმნილი გასაშლელი ხიდის ტაქტიკურ-ტექნიკური პარამეტრები მოცემულია ცხრილში 3.

აღიშნული ნაკლოვანებების აღმოფხვრის მიზნით დამუშავდა ახალი სქემა ხიდისა.

### V.3. გასაშლელი ხიდის ორმაგი ტრანსფორმაციის –

“დაკეცვის პრინციპს” + “ტელესკოპის პრინციპით”

შექმნილი სქემა

მიუხედავად სხვადასხვა გარიანტების შექმნისა, რომლებიც იძლევიან საშუალებას  $32 \div 48$  მეტრი მაღის მქონე გასაშლელი, საიეროშო მექანიზებული ხიდების შექმნისა, ფორმატურმოქმნის

ორმაგი ტრანსფორმაციის პრინციპით სხვადასხვა კომბინაციებისა, ვერ იქნა მიღწეული დაკეცილი პაკეტის სიმაღლის საგრძნობი შემცირება.

ამდენად, დაიწყო ძიება, გასაშლელ ხიდებში სუფთა ტელესკოპის პრინციპით შექმნილი ხიდების ანალოგიებისა, რაც შემდგომში გახდებოდა საფუძველი “დაკეცის პრინციპი” + “ტელესკოპის პრინციპით” ხიდის კონსტრუქციული სქემის შექმნისა [38] [39] [40] [41].

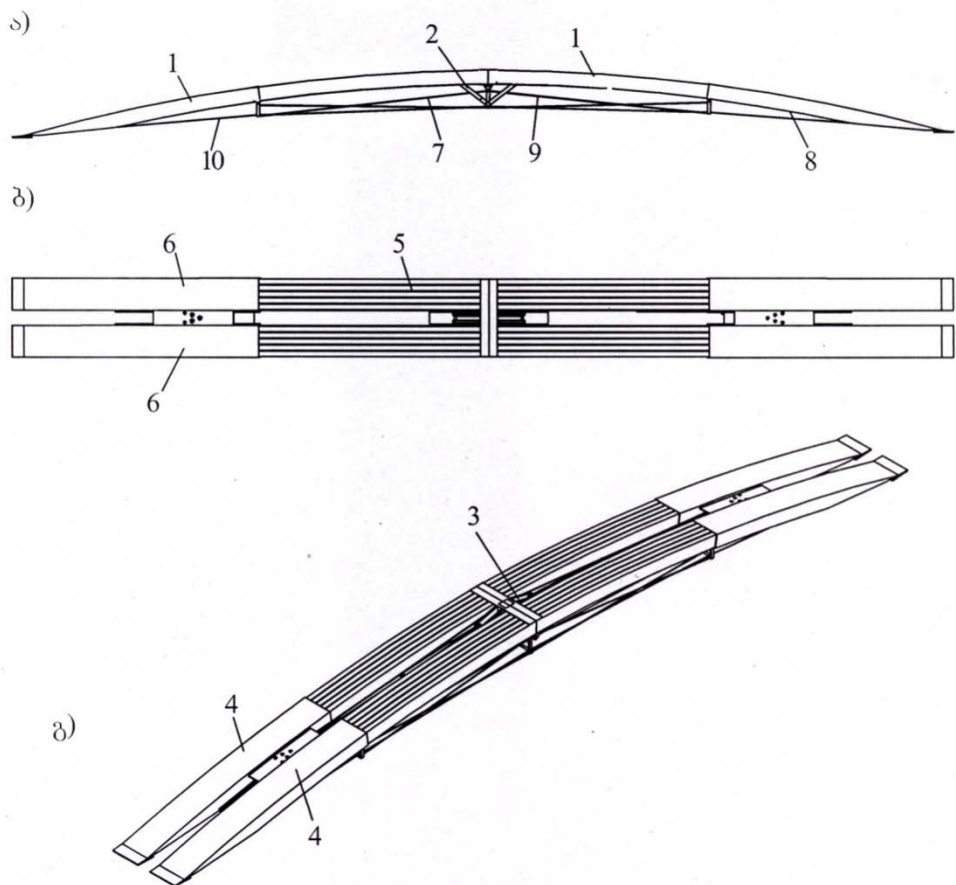
აღნიშნული სქემის მიხედვით შემუშავდა ხიდის კონსტრუქცია, რომელიც წარმოდგენილია ფიგ. V.6-ზე.

კონსტრუქცია შედგება ორ ცენტრალურ სავალი ნაწილისაგან 1, რომლებიც ერთმანეთს უკავშირდება ცილინდრული სახსარით 2, და რომელშიც განთავსებულია კები 3. თითოეული სავალი ნაწილი 1 შედგება ორი ლიანდისაგან 4, ხოლო თითოეული ლიანდი წარმოადგენს დამოუკიდებელი კოჭების 5 გრძივად განლაგებულ რიგებს. კოჭები ურთიერთდაკავშირებულია მხოლოდ კების ნაწილის 3 სიახლოვეს. აღნიშნული კოჭები 5, თითოეული ცალ-ცალკე, ტელესკოპური ჩასმით, მოთავსებულია განაპირა სავალი ნაწილის ბლოკებში 6. ასეთი განაპირა ბლოკები არის სულ ოთხი ცალი. განაპირა ორ-ორი ბლოკი ხიდის კების მხარეს გაერთიანებულია, ხოლო მეორე ბოლოები მათ თავისუფალი აქვთ.

ხიდის კონსტრუქცია ქვემოდან აღჭურვილია მოქნილი ირიბნებით 7, ხისტი დგარებით 8, გამშლელი მოწყობილობებით 9 და მოქნილი ქვედა სარტყელებით 10. ხიდის დაკეცვის დროს ყველა მათგანი განთავსდება ასევე დაკეცილ მდგომარეობაში მყოფ ცენტრალურ ნაწილებსა და განაპირა ბლოკებს შორის.

ხიდის კონსტრუქცია განთავსდება სატანკო ხიდგამდებზე. იგი დამაგრებულია ხიდგამდებთან ერთ-ერთ განაპირა ბლოკის საშუალებით. ხიდის გაშლა გადასალახ წინააღმდეგობაზე ხდება წარმოდგენილი სქემის მიხედვით (ფიგ. V.7).

ხიდგამდებზე 1 მოწყობილ უძრავ ბაქანს 2 გააჩნია გამოსაწევი და გრუნტზე დასაყრდნობი მოძრავი ბაქანი 3, რომელზეც ჩამაგრებულია ჰიდროცილინდრები 4.



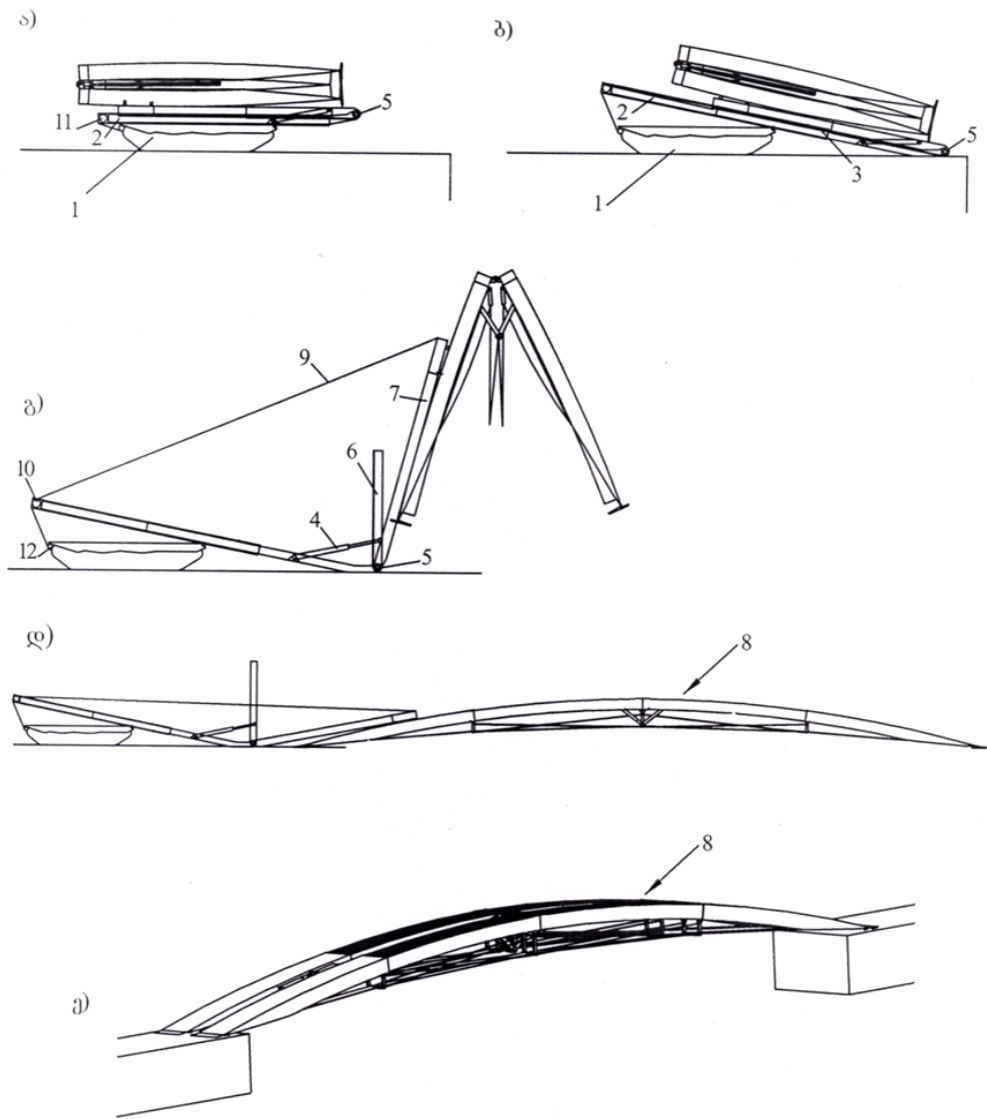
**ფიგ. V.6. გასაშლელი ხიდის, “დაკეცვის პრინციპს”+”ტელესკოპის პრინციპით”, შექმნილი კონსტრუქცია**

ა) ხიდის წინხედი; ბ) ხიდის ზედხედი; გ) გაშლილი ხიდის კონსტრუქცია

პიდროცილინდრების საშუალებით ვერტიკალურ მდგომარეობაში წამოიწევა მოძრავი ბაქნის ბოლოში მოწყობილ ღერძულ ცილინდრულ სახსარში 5 ჩამაგრებული ჩარჩო 6.

ჩარჩოსთან ერთად ვერტიკალურ მდგომარეობაში მოდის ღერძულ ცილინდრულ სახსარში ჩამაგრებული მოძრავი ისარი 7, რომელზეც მიმაგრებულია გასაშლელი ხიდის 8 განაპირა ლიანდა.

მოძრავი ისარს მეორე ბოლოში ჩაბმული აქვს ბაგირი 9, რომელიც გადატარდება უძრავი ბაქნის ბოლოში მოწყობილ გორგოლაჭზე 10 და ეხევება ჯალაშბარს 11 დოლზე 12, რომელიც ხიდგამდებზე – ტანგზეა მოწყობილი.



ფიგ. V.7 – ხიდის დაბრკოლებაზე გადების ტრანსფორმაციის სქემები.

- ა) ხიდგამდები გასაშლელი ხიდის სატრანსპორტო პაკეტთან ერთად;
- ბ) ხიდგამდები მოყვანილია მზადყოფნაში ხიდის გადასალას წინააღმდეგობაზე გასაშლელად; გ) ხიდგამდები ხიდის გაშლის საწყის მომენტში; დ) ხიდის გაშლის პროცესი; ე) გასაშლელი ხიდი საექსპლოატაციო მდგომარეობაში.

ხიდის კონსტრუქციის დაკეცილი პაკეტის სიმაღლემ, სხვა გადაწყვეტებთან ერთად, იკლო 23–27% და 48 მეტრი მაღის მქონე ხიდისათვის შეადგინა 1,9÷2,1 მეტრი. ხიდის წონა დასაშვების ფარგლებშია და იგი 32÷48 მეტრი მაღის შემთხვევაში იცვლება 17÷24 ტონას შორის.

განსაკუთრებით აღსანიშნავია ხიდგამდების სქემა – მისი მოძრავი ბაქანი, რომელიც, ერთი მხრივ, ზრდის მანძილს ხიდის საყრდენიდან ტანკის საბჯენის ცენტრამდე, რაც აუცილებელია ხიდის მდგომარეობის შესანარჩუნებლად მის ამოყირავების საწინააღმდეგოდ და, მეორე მხრივ, ხიდგამდების მთლიანი კონსტრუქციული სქემა გამარტივებულია, რასაც ასევე განაპირობებს მოძრავი ბაქნის ბოლო ნაწილის დაყრდნობა გრუნტზე.

— ხიდის კონსტრუქციული სქემა უზრუნველყოფს, ზემოთ განხილული ხიდების დადგებით თვისებებთან ერთად, ასევე, სატრანსპორტო პაკეტის სიმაღლის შემცირებას და იგი მოცემულ  $45 \div 48$  მეტრი მაღლის შემთხვევაში შეადგენს 2 მეტრს.

— განსაკუთრებით აღსანიშნავია ის, რომ ხიდში აღარ არის გამოყენებული მცირე ზომის და დიდი რაოდენობის ცილინდრული სახსრები, ხოლო მისი გაშლა შესაძლებელია ხიდგამდების მოკლე სამონტაჟო ნაწილის განაპირა ბლოკში ჩაბმით, რაც ამსუბუქებს ხიდგამდების კონსტრუქციის წონას.

— ხიდის გაშლა და დაკავება ხორციელდება მექანიზმებით, რომელთა ენერგეტიკული უზრუნველყოფა ხორციელდება ხიდგამდებებიდან.

— აღნიშნული ხიდები შესწავლილი იქნა გაშლის და გაშლილი პროცესების დაძაბული მდგომარეობის მხრივ, რამაც დაადასტურა ხიდების შექმნის რეალობა.

ამდენად, შეიძლება გაკეთდეს დასკვნა იმის შესახებ, რომ შემდგომში სწრაფადასაგები ხიდების მაღლის ზრდა შესაძლებელია მხოლოდ და მხოლოდ ტრანსფორმირებადი საინჟინრო სისტემების ფორმატარმოქმნის მარტივი პრინციპებიდან რთული, ორი ან ორზე მეტი ფორმატარმოქმნის პრინციპების შეთავსებით ერთ კონსტრუქციულ სქემაში.

— ამასთან, ხიდის კონსტრუქციაში გართულებულია ტელესკოპური ლიანდების ერთმანეთში ჩასმა, რომელიც ტექნიკურად და ტექნოლოგიურად მოითხივს ადგილობრივად კვათების საგრძნობ მომატებას. ასევე ხიდის უარყოფით თვისებად უნდა ჩაითვალოს ლიანდის დამოუკიდებელი კოჭებისაგან შედგენა, რაც მოითხოვს

კოჭებს შორის გარკვეული სიდიდის 7–70 სანტიმეტრის დიობის დატოვებას.

- რაც შეეხება ტრანსფორმაციის შედეგად ფორმატურმოქმნის რთულ
- შედგენილ პრინციპებზე დაფუძნებული კონკრეტული კონსტრუქციული სქემის ოპტიმალურ ვარიანტის შერჩევას, ეს უკვე შემდგომ ამოცანას წარმოადგენს.

## VI. სამმაგი ტიპის ტრასფორმაციის და ორმაგი შეთავსებული ტიპის გადების ახალი გასაშლელი, საიერიშო, ერთმალიანი მექანიზებული ხიდი მაღის 32÷48 მეტრი

### VI.1. ახალი გასაშლელი ხიდის ტექნოლოგიური და კონსრუქციული თვისებები

როგორც განხილული მასალიდან ჩანს, ორმაგი ტრანსფორმაციით მიიღწევა დიდი მალების მქონე გასაშლელი ხიდების შექმნა, მაგრამ მათ ამავე დროს ახასიათებს ზოგიერთი ის ნაკლოვანებები, რაც გააჩნიათ არსებულ სამხედრო მექანიზებულ ხიდებს [42].

ეს ნაკლოვანებება, პირველ რიგში მათი სატრანსპორტო პაკეტის დიდი სიმაღლე, რაც, სხვა უარყოფით თვისებებთან ერთად, დიდი გაბარიტების გამი იწვევს სატრანსპორტო საშუალებების მობილურობის შემცირებას.

ასევე გასათვალისწინებელია ხიდგამდების – ტანკის მაღალი ტვირთიამწეობის უნარი, რაც აუცილებელია დიდმალიანი ხიდების ტარებისა და მონტაჟისათვის.

ამასთან, სრულიად განსხვავებულ გადაწყვეტას მოითხოვს ხიდგადების მექანიზმები და კონსტრუქცია, რომელიც შესაბამისი უნდა იყოს ხიდის გადებისას ხიდგამდებების სტაბილურობის შენარჩუნების

მხრივ და ასევე უნდა განახორციელოს ხიდის სწრაფი გადება და ახსნა გადასალახი დაბრკოლებიდან.

განსაკუთრებით აღსანიშნავია ხიდის პრინციპული პვანძების კონსტრუირება, რომელმაც არ უნდა გამოიწვიოს გართულებები ახალი სქემით ხიდის შექმნაში.

აღნიშნული მიზნებისათვის შესარჩევია თანამედროვე ტანკების ტიპები, რომლებიც შესაძლოა გამოყენებულ იქნას ახალი ხიდის ტრანსპორტირებისა და მონტაჟისათვის [43] [44].

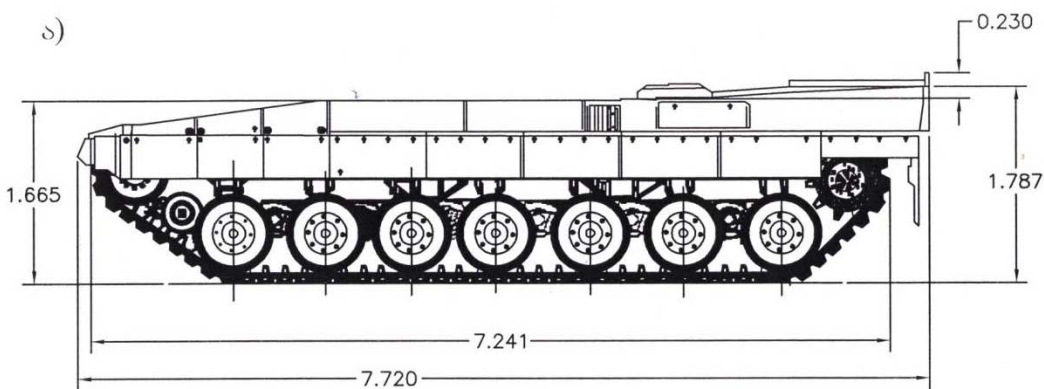
საბაზო ტანკად შეიძლება განხილულ იქნას: „ჩელენჯერ-2”; „ვიკერს” Mk7; „მერკავა 2 A5”; C-1 „არიეტე”; T-80B; MIA2 „აბრამსი”; „ლეპლერი-2”; NKP და „ლეოპარდ”-2.

აღნიშნულ ტანკებს გააჩნიათ ძრავის დიდი სიმძლავრე 1000-1500ც.ძ, სათანადო სიგრძე და სხვა პარამეტრები, რომლებიც აუცილებელია დიდი გასაშლელი ხიდების ტრანსპორტირებისა და მონტაჟისათვის.

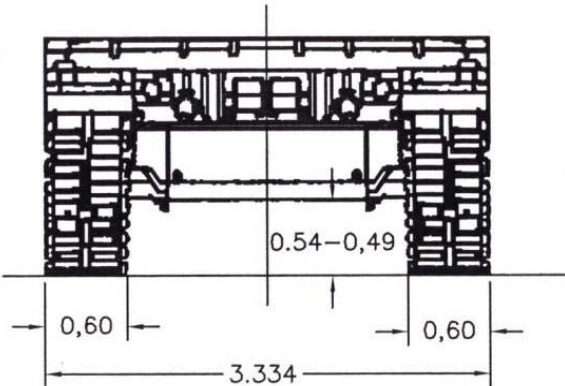
ჩვენს შემთხვევაში ტექნიკური, ტექნოლოგიური და კომერციული მიზნებით მოცემულ ეტაპზე უპირატესობა ენიჭება “ლეოპარდ 2”-ის გამოყენებას.

საბაზო ტანკი “ლეოპარდ 2” (ფიგ. VI.1) წარმოადგენს დაჯავშნულ მანქანას 12 ცილინდრიანი დიზელის ძრავით, რომლის სიმძლავრეა 1500ც.ძ, ბრუნვით 2600ბრ/წთ. ტანკის წონა კოშკის, ზარბაზნის და საბრძოლო ჭურვების გარეშე შეადგენს 40 ტონას.

a)



ბ)



ფიგ. VI. 1. – ტანკ “ლეოპარდ 2”-ის ხედები საცეცხლე კოშკოს ზარბაზნის და საბრძოლო ჭურვების გარეშე.

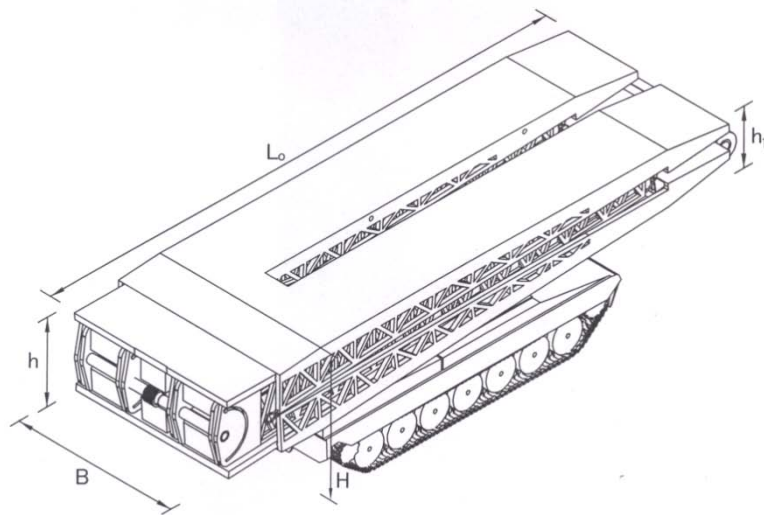
ა) გვერდხედი; ბ) წინხედი.

იგი ანგითარებს 73 კმ/სთ სიჩქარეს გზატკეცილზე. საშუალო სვლის მარაგი შეადგენს 550 კგ-ს. წინაღობის დახრილობის გადალახვის კუთხე ტოლია  $60^\circ(32^\circ)$ -ის. გრუნტზე ხვედრითი დაწოლა უტოლდება 0,88 კმ/სმ<sup>2</sup>. ტანკის კლინერისა 0,52 და 0,49 მეტრი.

აღნიშნულ ტანკზე, როგორც ხიდგამდებზე მოეწყო ხიდის გადმოხსნის, გახსნის და გადასალახ წინააღმდეგობაზე გადების მექანიზმების კონსტრუქცია, რომელიც დაპროექტდა ძირითადი ორი პარამეტრის მიხედვით: – ხიდის სატრანსპორტო, დაკეცილი პაკეტის გაბარიტების, მისი წონის და სატანკო ხიდგამდების გაბარიტებისა და წონის შესაბამისად.

ხიდის დაკეცილი პაკეტის სქემა მოცემულია (ფიგ.VI.2) მისი გაბარიტებია: სიგრძე –  $L_o = 12,3$  მ.; სიგანე –  $B = 4,01$  მ.; სიმაღლე –  $h = 2,235$  მ., ხოლო წონა –  $G$ , შეადგენს 19200 კილოგრამს, რაც შეხება ხიდის მაღს  $L$  იგი შეადგენს 39 მეტრს.

შესაბამისად, პირველ რიგში, ხიდის დაბრკოლებაზე გადება-აღების მომენტიდან გამომდინარე, მოხდა ხიდგამდების გეომეტრიული პარამეტრების შერჩევა.



### ფიგ. VI. 2. – ხიდის დაკეცილი პაკეტი განთავსებული ხიდგამდებზე

ხიდი შედგება გაწყვილებული ორი ტიპის ლიანდებისაგან 1, 2. ყოველი ლიანდა წარმოადგენს კომპლექსურ სისტემას. ცენტრალურ მბრუნავ კვანძში 3 ურთიერთდაკავშირებულია სისტემის შიდა ლიანდები 1. მბრუნავი კვანძის ირგვლივ ბრუნვით მიიღწევა ხიდის გახსნა ან დაკეცვა. დაკეცვის დროს ლიანდის წიბოები 4, რომლებიც გრძივი ღერძების სხვადასხვა მხარეს არიან განლაგებული, ერთმანეთში ჯდებიან. ასეთი ფორმით მიიღწევა დაკეცილი პაკეტის მინიმალური ზომები. რაც შეეხება ლიანდის ფილებს 5, 6 – სავალ ნაწილებს დაკეცილ მდგომარეობაში, ისინი პაკეტის სხვადასხვა მხარეს განთავსდებიან (ფიგ. VI.3).

ყოველ შიდა ლიანდის, სავალი ნაწილის ზემოთ, განთავსებული აქვს “Π”-მაგვარი ფორმის გარე ლიანდა, შიდა და გარე ლიანდების კავშირი მიიღწევა გარე ლიანდის წიბიების 7 სრიალით შიდა ლიანდის სავალ ნაწილზე მოსრიალე კვანძების 8 საშუალებით.

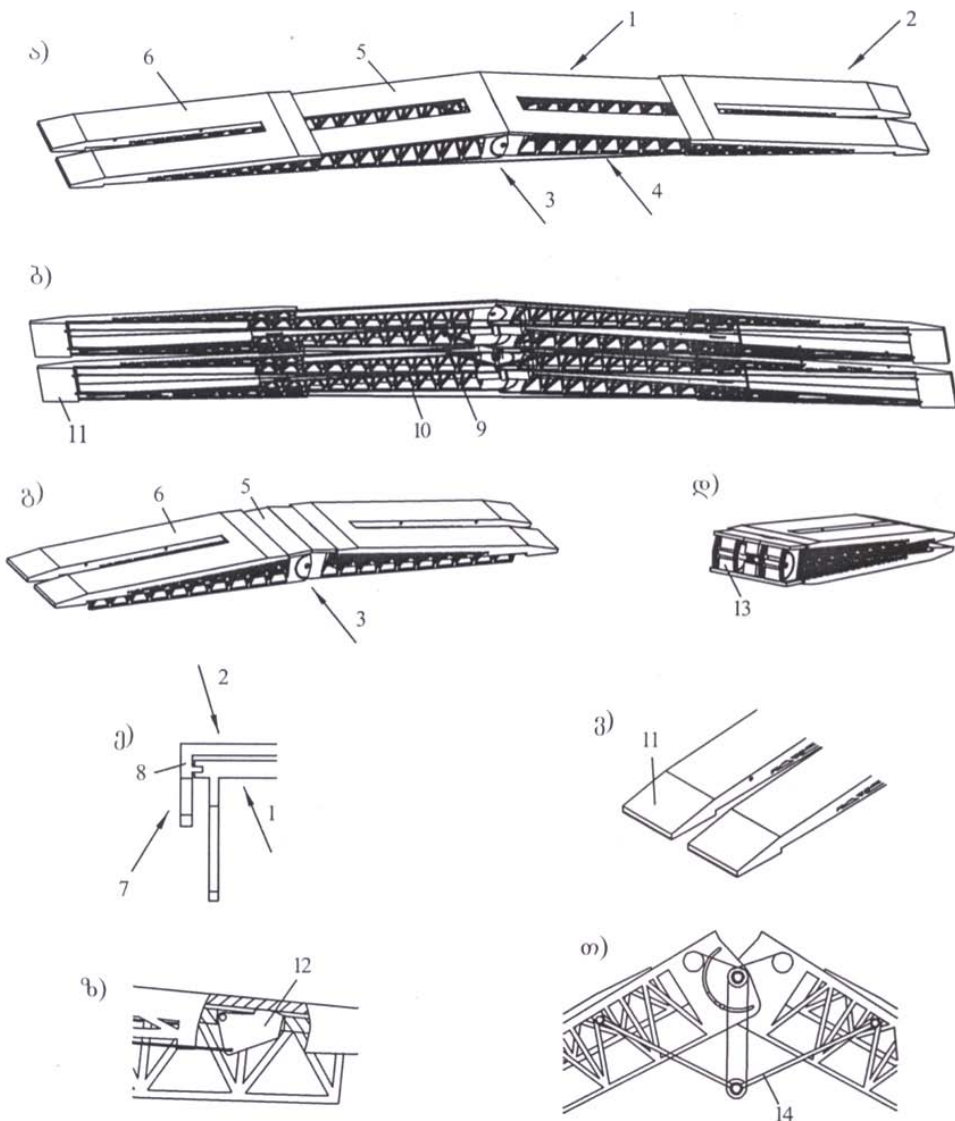
პაკეტის გახსნის პროცესში ჯერ ურთიერთშემობრუნებით იხსნება შიდა ლიანდები, შემდეგ კი ურთიერთგასრიალებით გაშლას იწყებენ გარე ლიანდები.

გარე ლიანდა ასევე შედგება სავალი ნაწილის ფილისაგან და წიბოებისაგან.

ლიანდების ურთიერთგადანაცვლების ბოლო მომენტში მუშაობაში ერთვება ლიანდების ქვედა სარტყელები, რომლებიც ასევე როულ,

შედგენილ კონსტრუქციას წარმოადგენს 9, 10. ისინი განცალკევებულად ორი ნაწილისაგან შედგება. პირველი, ეს არის ხისტი, ფერმის ან ფურცლოვანი წიბოს ქვემოთ განთავსებული სარტყელის ნაწილი და, მეორე, მაღალი სიმტკიცის ვანტი, რომელიც ლიანდის ქვედა ხისტ სარტყელებშია განთავსებული. ხიდის გახსნის პროცესში ვანტები გამოდიან ბუდეებიდან და ხისტი ქვედა სარტყელის გაგრძელებით ქმნიან ხიდის მთლიან ქვედა სარტყელებს.

ვანტური დეროები 10, შიდა ლიანდისთვის, მეორე ბოლოთი ემაგრება ხიდის საბჯენებს 11. ხოლო მოსრიალე გარე ლიანდებისათვის, რომლის ბოლოებზე საბრჯენია განთავსებული, ქვედა მოქნილი ბაგიროვანი სარტყელი აერთიანებს საპირისპირო მხარეს განთავსებულ მოსრიალე ლიანდების ქვედა ხისტ სარტყელებს.



**ფიგ. VI. 3. – სამმაგი ტიპის ტრანსფორმაციის და ორმაგი ტიპის  
გადების**  
**საიერიშო, მექანიზებული ხიდის სქემები**

- ა) ხიდი გაშლილ მდგომარეობაში; ბ) გაშლილი ხიდის ხედი ქვემოდან;  
გ) ნახევრად გაშლილი ხიდი, როდესაც განაპირა ლიანდების  
გასრიალებით, მოხდა ხიდის ტრანსფორმაცია; დ) ხიდის დაკეცილი  
სატრანსპორტო პაკეტი, მიღებული ნახევრადგაშლილი ხიდის  
ცენტრალური კვანძების, შემობრუნებით და ერთმანეთში ჩაკეტვით; ე)  
ხიდის წიბოების სრიალის კვანძის სქემა; ვ) ხიდის საბჯენების სქემა;  
ზ) ხიდის ლიანდების ბლოკირების სქემა მისაბჯენის გამოყენებით; თ)  
ლიანდების ურთიერთბრუნვის პრინციპი საბჯენების გამოყენებით.

საპროექტო მდგომარეობაში ხდება შიდა და გარე მოსრიალე  
ლიანდების სავალ ნაწილებს შორის დროებითი მისაბჯენების 12  
გამოწევა.

რაც შეეხება თვით ამძრავ მექანიზმებს 13, ისინი განთავსებულია  
ხიდის შუა ნაწილში. ბაგირებით და პოლისპასტური სისტემებით ხდება  
როგორც ლიანდების ურთიერთგადაადგილება, ასევე შიდა ლიანდების  
ურთიერთმობრუნება, რისთვისაც დამატებითი საბჯენებია 14  
გამოყენებული.

ხიდი გაერთიანებულია ხიდგამდებთან, რომელიც სქემატურად და  
კონსტრუქციულად არის გადაწყვეტილი (ფიგ. VI.4.ა).

ხიდი განთავსდება სატანკო ხიდგამდების 15 კონსოლურ  
გამონაშვერებზე 16, რომლზეც სპეციალური ამძრავით ხდება ხიდის წინ  
გამოწევა. კრიტიკულ წერტილში ხიდის დაკეცილი პაკეტი იწყებს  
ამოტრიალებას. ეს პროცესი კონტროლირდება პაკეტის ფიქსატორებით  
და ჯალამბრებით (ფიგ. VI.4.ბ და VI.4.გ).

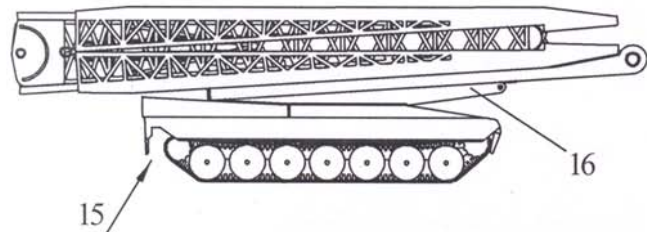
ხიდის კონსტრუქცია განთავსებული უძრავ ისარზე 17, რომელიც,  
ხიდის მონტაჟის დროს, მეორე ბოლოთი ეყრდნობა გრუნტს, იკავებს  
სასტარტო პოზიციას (ფიგ. VI.5.ა). ამ მდგომარეობაში უძრავი ისრიდან  
ხდება დგარებისა 18 და მოძრავი ისრის 19 ერთდროული გადაყვანა  
ვერტიკალურ მდგომარეობაში პიდროცილინდრებით 20. ეს პროცესი  
კონტროლირდება ბაგიროვანი სისტემისა 21 და ჯალამბრების  
საშუალებით.

ვერტიკალურ მდგომარეობაში მოძრავი ისარი, რომელზეც ორივე  
მხრიდან, სპეციალური კვანძებით ემაგრება მოსრიალე, განაპირა  
ლიანდები, იწყებს დახრას ტანკის საწინააღმდეგო მიმართულებით. ეს

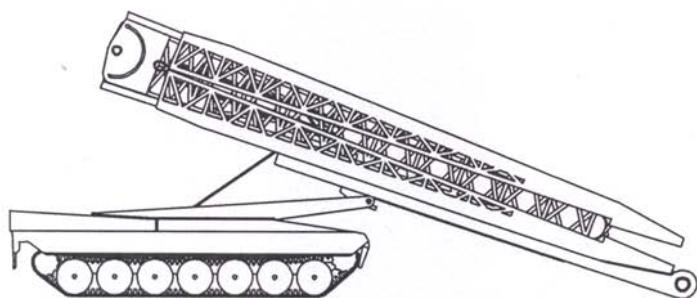
პროცესი, ასევე, კონტროლირდება უკვე სხვა ჯალამბრებით და ბაგირების სისტემით (ფიგ. VI.5.ბ და VI.5.გ).

ასეთ მდგომარეობაში ხიდის პაკეტი იშლება. პირველ ეტაპზე ხდება მისი გაშლა შემობრუნებით. მეორე ეტაპზე კი შემობრუნების პროცესის შემდეგ იწყება გასრიალების პროცესი (ფიგ. VI.6.).

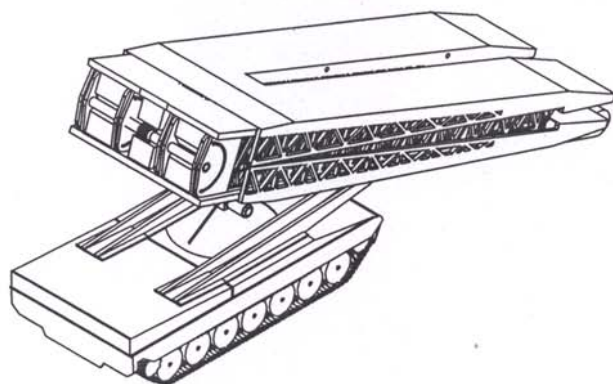
ა)



ბ)

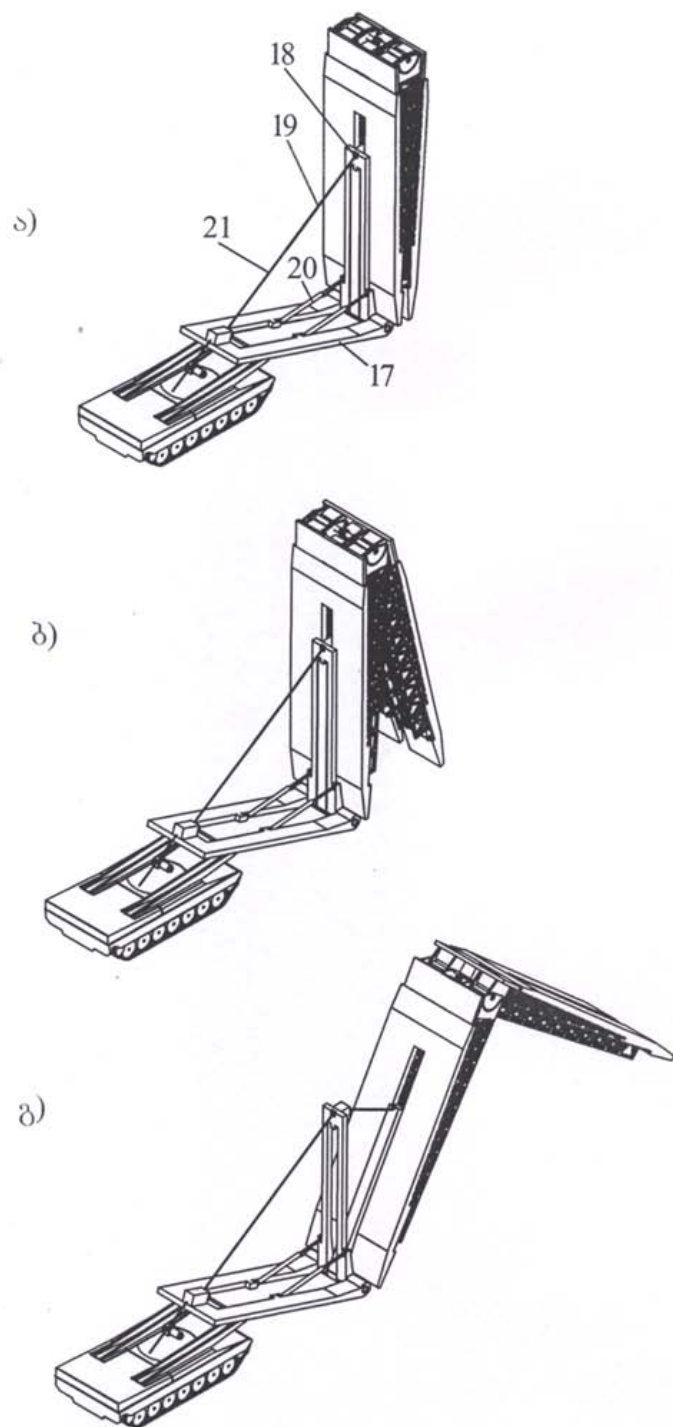


გ)



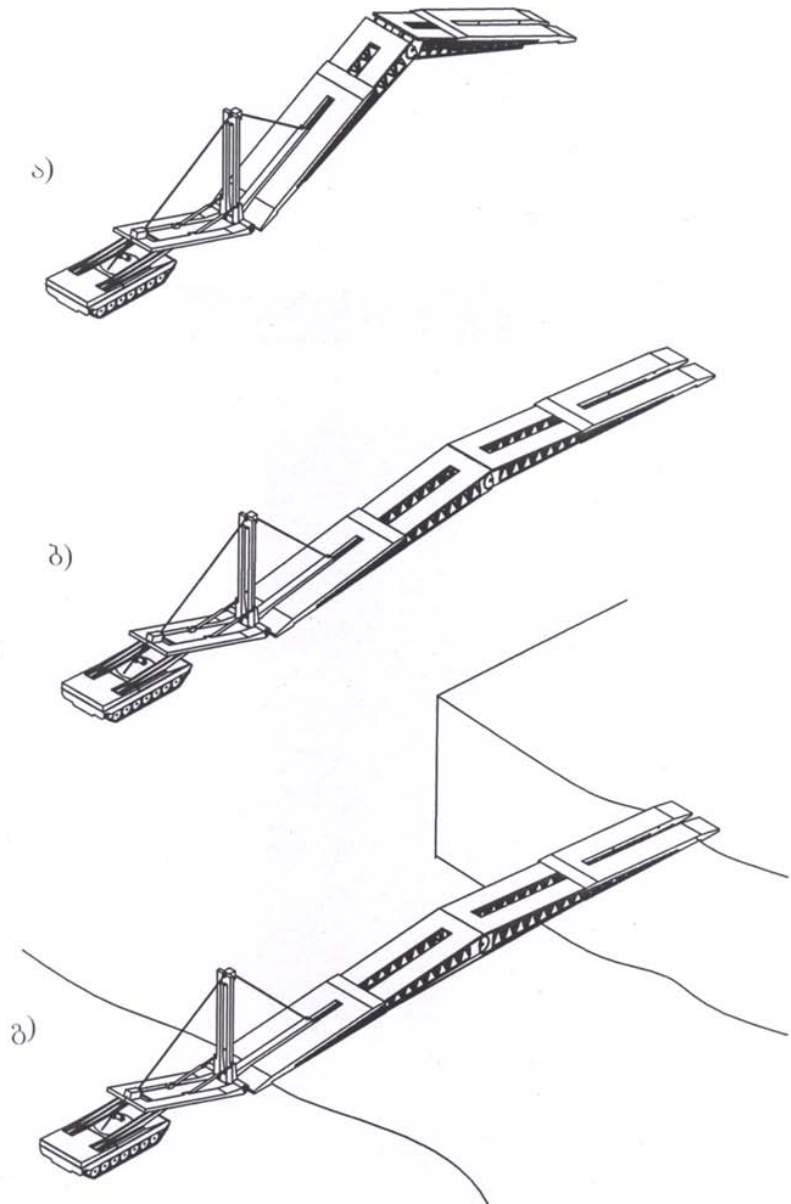
ფიგ. VI.4. – ხიდის დაკეცილი პაკეტი განთავსებული ხიდგამდებზე და მისი წინ გამოწევით დაყრდნობა გრუნტზე

ა) ხიდი ხიდგამდებთან ერთად სატრანსპორტო მდგომარეობაში; ბ) ხიდგამდების და ხიდის ურთიერთგანთავსება ხიდის წინ გაწევისა და გრუნტზე დაყრდნობის ეტაპზე – გვერდხედი; გ) ხიდის წინ გაწევის და გრუნტზე დაყრდნობის სქემა – აქსიონომეტრია.



ფიგ. VI5. – ხიდის გაშლის სასტარტო პოზიცია და ხიდის გაშლის პირველი ეტაპი.

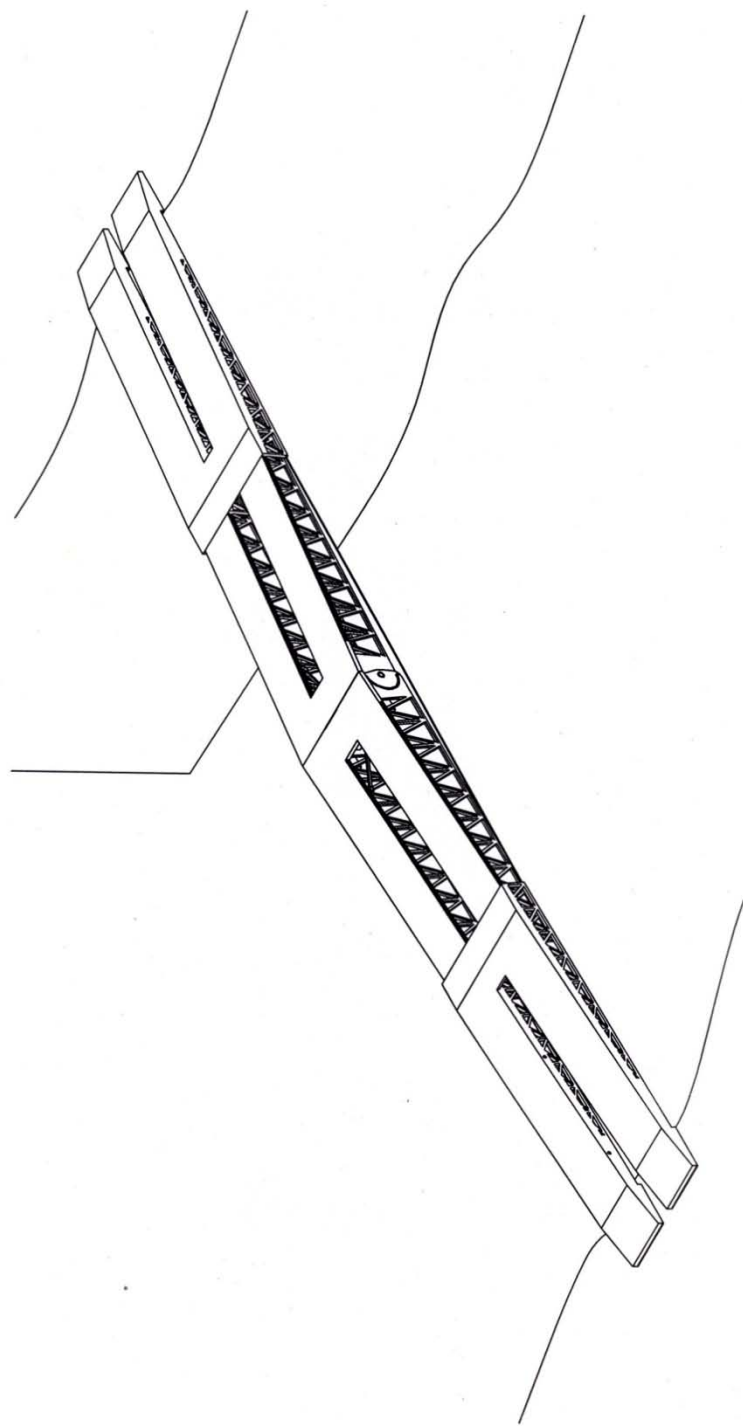
ა) ხიდგამდებთან დაკავშირებული ხიდი გახსნის წინა ეტაპზე; ბ) ხიდის გაშლის პირველი ეტაპი; გ) ხიდის გაშლის პირველი ეტაპის დასასრული, რომლის შემდეგ ტრანსფორმაციის პროცესში ერთვება განაპირა ლიანდები.



#### ფიგ. VI.6. – ხიდის გაშლის მეორე ეტაპი

ა) განაპირა ლიანდებმა დაიწყეს სრიალით გადაადგილებას შიგა ლიანდების მიმართ; ბ) კომპლექსური ტრანსფორმაციის პროცესი, როდესაც ფორმატარმოქმნა ხორციელდევა როგორც ცენტრალური კვანძის მიმართ ლიანდების ურთიერთშემობრუნებით, ასევე აღნიშნულ ლიანდებზე განაპირა ლიანდების სრიალით; გ) ხიდის გაშლის ფინიში.

ფიგ. VI.7. – ხედი გადებული გადასაჭრებაზე დაძრგოლებაზე



ამ სახით, სრულად გაშლილი ხიდი გაიდება გადასაჭრებაზე  
წინააღმდეგობაზე (ფიგ. VI.7.).

ხიდის ახსნა გადასალახ წინააღმდეგობიდან ხდება განხილული პროცესის რევერსით, რომელიც იძლევა საშუალებას ხიდის კვლავ განთავსებისა ტანგზე.

## VI.2. ტრანსფორმირებადი ხიდის და ხიდგამდების პროექტირების საკუანძო საკითხები

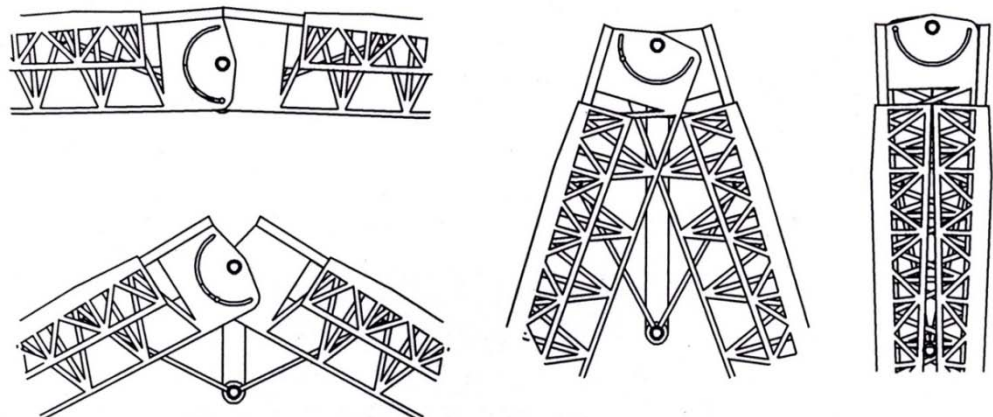
ხიდის შექმნის განსაკუთრებული პრინციპებია:

- ხიდის გადება დაბრკოლებაზე წარმოებს კომპლექსური მეთოდით შემობრუნება + გასრიალება;
- ხიდის დაკაცილი პაკეტი, ზომების შემცირების მიზნით, ერთმანეთში ჯდება – “ტელესკოპის პრინციპი”;
- ხიდს გააჩნია ასევე ტრანსფორმაციის ორი პრინციპი – “დახვევის პრინციპი” + “ტელესკოპის პრინციპი”;
- ხიდის სამონტაჟო კონსტრუქციას აქვს გაზრდილი მხარი, რომელიც ზრდის მანძილს სამონტაჟო მოწყობილობის საბჯენიდან ტანკის სიმძიმის ცენტრამდე, რაც დიდი მაბრუნებელი მომენტის ათვისების საშუალებას იძლევა;
- ხიდს აქვს, ტექნიკური და ტექნოლოგიური თვალსაზრისით, ორი ძირითადი კვანძი, რომელთა პრაქტიკული რეალიზაცია სრულიად შესაძლებელია უკვე არსებულ მექანიზმებულ ხიდებში განხორციელებული კონსტრუქციული გადაწყვეტილების პრინციპების გამოყენებით (ფიგ. VI.8) და (ფიგ. VI.9).

გერმანული ხიდგამდები და ხიდი ლეგუანი – “LEGUAN” შექმნილია და წარმოებაშია გერმანიის ფედერაციულ რესპიბლიკაში. ლეგუანის ხიდგამდები ხიდით წარმოდგენილია ფიგ. VI.9-ზე მისი შასი აგებულია ტანკ „ლეოპარდ-2“-ის ბაზაზე. ხიდი გაშლილ მდგომარეობაში არის 26 მეტრის [45].

აღნიშნული კლასის და მოდიფიკაციის ხიდებში ერთ-ერთი გამორჩეულია “წარმოცმის” პრინციპზე შექმნილი და წარმოებაში მყოფი ამერიკის შეერთებული შტატების ხიდი ხიდგამდებით, HAB – “Wolverine” (ფიგ. VI.10) [46].

ა)



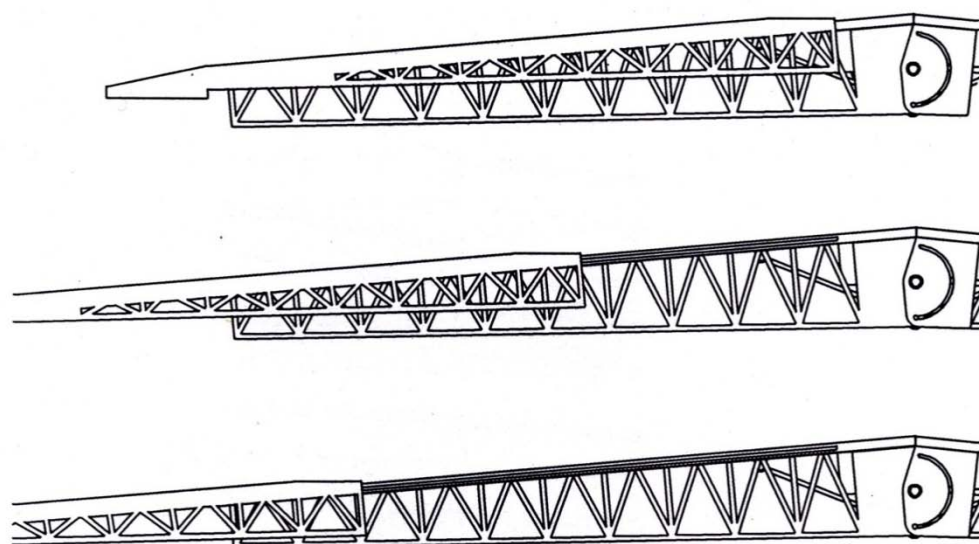
ბ)



ფიგ. VI.8. – ცენტრალური კვანძის მიმართ ლიანდების ურთიერთშემობრუნებით განხორციელებული ტრანსფორმაციის პროცესი გაზრდილმაღიან ხიდში და რეალურად არსებული კონსტრუქციული სისტემა ცენტრალური კვანძის მიმართ მბრუნავი ლიანდებისა.

- ა) ახალი კონსტრუქციული სისტემა;
- ბ) რეალურად არსებული კონსტრუქციული სისტემა.

ა)



ბ)



ფიგ. VI.9. – ლიანდების ურთიერთგასრიალებით განხორციელებული  
ტრანსფორმაციის პროცესი გაზრდილმალიან ხიდში და რეალურად  
არსებული კონსტრუქციული სისტემა ხიდგამდებიდან  
გამოსრიალებული ლიანდებისა, რომელსაც ხიდგამდები კონსოლურად  
აფიქსირებს.

- ა) ახალი კონსტრუქციული სისტემა;
- ბ) რეალურად არსებული კონსტრუქციული სისტემა

ა)



ბ)



**ფიგ. VI.10. – ხიდგამდების და ხიდის “Volverine”**

ა) სატრანსპორტო პოზიცია; ბ) ხიდგამდების პოზიცია.

მიზანშრონილი იქნება განვიხილოთ ბოლო მიღწევა “საიერო” გასაშლელი, მექანიზებული ხიდგამდების და ხიდისა HAB – “Volverine”, რომელიც ამერიკის შეერთებულ შტატებშია დამზადებული. აღნიშნული უმაღლესი კლასის ხიდის სიგრძე, მიუხედავად ყველა მცდელობისა, შეადგენს 32 მეტრს, ხოლო დაკეცილი სატრანსპორტო პაკეტის სიგრძეა 16 მეტრი, რაც ძალიან ართულებს ტანკის და ხიდის ერთდროულ გადაადგილებას.

HAB-ის ტაქტიკურ-ტექნიკური მახასიათებლებია:

საბაზო ტანკი – “აბრამსი” M1 A2.

ეკიპაჟი – 2 კაცი.

ტვირთამწეობის კლასი – 70 ტ.

გაბარიტები –

სიგრძე – 16 მ.

სიგანე – 4 მ.

სიმაღლე – 4 მ.

სახიდე ფერმის სიგრძე – 3 მ.

მასა –

საერთო – დაახლოებით 52 ტ.

სახიდე ფერმა – 16 ტ.

ხიდის წინააღმდეგობაზე გადების დრო – 5 წთ.

სვლის სიჩქარე – 701 კგ/სთ.

ძრავის სიმძლავერე – 1500 ცხ. ძ.

მძიმე სატანკო ხიდგამდები HAB (აშშ) შეიარაღებაში მიღებულია 1986 წელს. ხიდგამდები დამუშავებულია საბაზო ტანკის MI “აბრამსის” ბაზაზე. მას აქვს ლიანდისებრი სახიდე ფერმა, შემდგარი ორი ხიდის სექციისაგან სიგრძით თითოეული 7 მ, ორი შემაერთებული ელემენტით სიგრძით თითოეული 1 მ და ორი 7,5 მ აპარელები ფერმის გამოყენებისათვის გადასალახ წინააღმდეგობაზე გამოიყენება ავანბეჭები.

მექანიზებული ხიდი REMB (აშშ) შეიარაღებაში მიღებულია 1986 წელს. გამოყენებულია ისეთივე ლიანდისებრი ფერმა, როგორც მძიმე სატანკო ხიდგამდებზე. ხიდის მალის გაზრდისას 50 მეტრამდე გათვალისწინებულია ბაგირების გამაძლიერებელი კომპლექტის გამოყენება.

REMB-ის ტაქტიკურ-ტექნიკური მახასიათებლებია:

შასი – სააგტომობილო.

ეპიპაჟი – 2 კაცი.

ტვირთამწეობის კლასი – 70 ტ.

გაბარიტები –

სიგრძე – 16 მ.

სიგანე – 4 მ.

სიმაღლე – 4,3 მ.

ხიდური ფერმის სიგრძე – 31 მ.

მასა –

საერთო – 37,6 ტ.

სახიდე ფერმისა – 16 ტ.

ხიდის წინააღმდეგობაზე გადების დრო – 5 წუთი.

სვლის სიჩქარე – 88 კგ/სთ-მდე.

ძრავის სიმძლავრე – 440 ცხ.ძ.

ასევე შეიაღარებაში არსებული, და მოცემულ ეტაპზე ერთ-ერთი ბოლო ვარიანტია, ინგლისური ხიდი ხიდგამდებით – “Titan”-ი. იგი აგებულია ტანკ “ჩელენჯერ-2”-ის ბაზაზე. ხიდის კლასია MLS-70. ხიდის სიგრძე გაშლილ მდგომარეობაში შეადგენს 26 მეტრს. მთლიანი წონა ტანკთან ერთად აღწევს 70 ტონას (ფიგ. VI.11) [47].



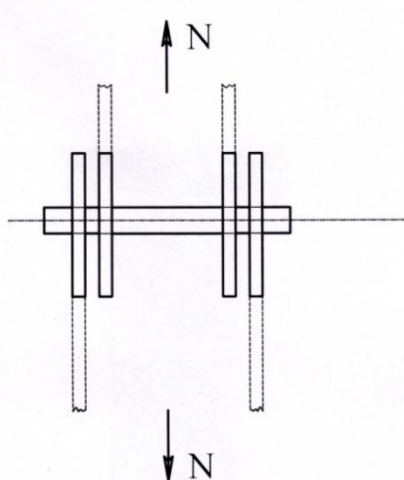
ფიგ. VI. 11. – ხიდგამდები ხიდით – “Titani” აგებული ტანკ “ჩელენჯერ-2”-ის შასზე.

ამასთან, სამმაგი ტიპის ტრანსფორმაციის და ორმაგი ტიპის გადების ახალი გასაშლებელი, საიერიშო, ერთმალიანი, მექანიზებული ხიდის შექმნისა და პროექტირებისათვის აუცილებელი განსაკუთრებული მოთხოვნები, რომელიც ზოგადად “საიერიშო” ხიდებს წაეყენებათ, მნიშვნელოვანი საკითხია ხიდის კონკრეტული ვარიანტის დაპროექტების სტადიაზე.

პარაგრაფ VI.2-ში განხილული სიკითხები ნაშრომში წარმოდგენილია იმ მიზნით, რომ სრულყოფილი გახდეს ხიდის პროექტირების მეთოდიკა. ამასთან, ახალი საიერიშო, საბაზო გასაშლელი ხიდის შექმნის განსაკუთრებულ პრინციპებისგან განსხვავებით, კონსტრუქციის თავისებურებების გათვალისწინებით, განხილულია სხვა კონკრეტული საკითხები – შემობრუნების კვანძის დაპროექტებისა და გაანგარიშების თავისებურებები, რომელიც შედგენილია არსებული ლიტერატურული წყაროების მიხედვით [48] [49].

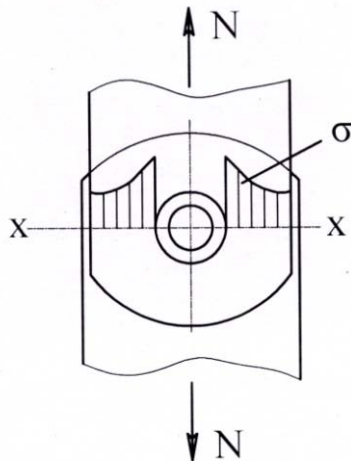
ხიდის კონსტრუქციების განხილვის დროს, ერთ-ერთი საპასუხისმგებლო კვანძია ლიანდების ურთიერთის მიმართ შემობრუნების მოწყობილობა (იხ. ფიგ. VI.8).

ცალკეული ლიანდების შემთხვევაში, ლიანდების ურთიერთშემობრუნებისა და მათი წერტილების ურთიერთში შესვლის გამო კვანძს შემდეგი სქემა აქვს (ფიგ. VI.12).



ფიგ. VI. 12. – მანქვალებიანი კვანძის სქემა

ძალვის ერთი ყუნწიდან მეორეზე გადაცემა, როგორც ლიტერატურული წყაროებიდან არის ცნობილი, ხორციელდება მანქვალის საშუალებით, რომელიც ნახვრეტში ჩასმული ლილვით ხორციელდება, რომლის შედეგად ხდება ძაბვის არათანაბარი განაწილება ნახვრეტის გარშემო ყუნწის მასალის სიღრმეში და მანქვალში (ფიგ. VI.13).



ფიგ. VI.13 – ძაბვების კონცენტრაცია მანქვალის განივალეთში.

დეფორმაციის შესაძლო ხასიათი და მანქვალიანი შეერთების რღვევა (ფიგ.VI.14), დამოკიდებულია მანქვალისა და ყუნწების ზომათა შესაბამისობაზე და ასევე, მათი შემადგენელი მასალის თვისებებზე.

არასაკმარისი განივალეთების ფართების გამო, ასევე შესაძლებელია მრგვალი ნახვრეტის ოვალურად გადაქცევა, ან არასაკმარისი პეტოების პირობებში მანქვალიანი შეერთების ხანგრძლივი ექსპლოატაცია დატვირთვის ქვეშ (ფიგ.VI.15).

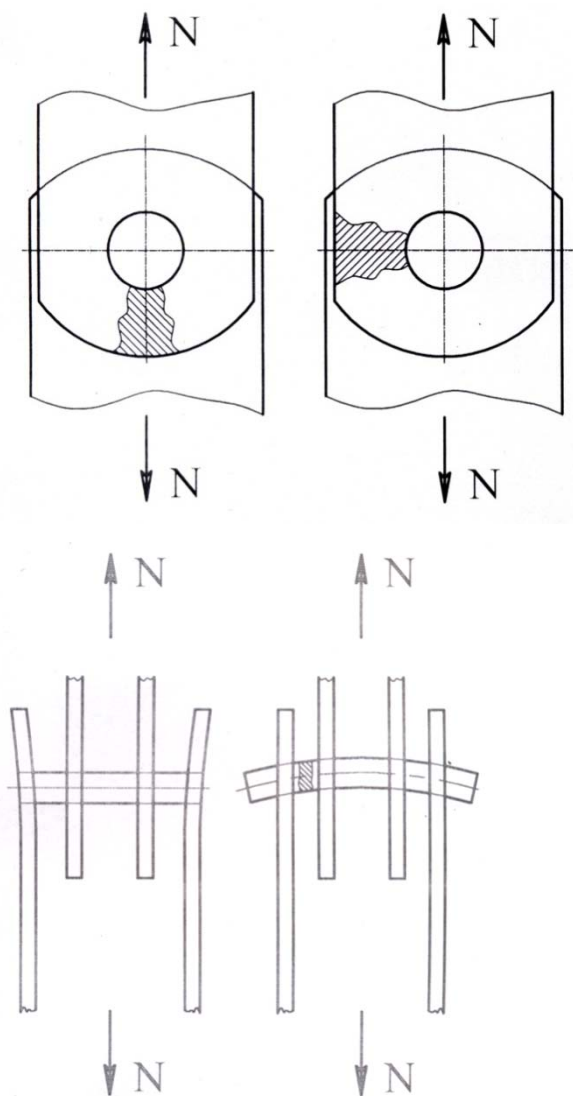
მანქვალიან შეერთებში წრიული ნახვრეტის ოვალურად გადაქცევის აღმოსაფხვრელად, აუცილებელია გაიზარდოს ყუნწის განივალეთის ფართი და მანქვალები ისეთი ზომის დამზადდეს, როდესაც ძაბვათა კონცენტრაციის ადგილებში არ მოხდება ძაბვების მასალის დენადობის ზღვრამდე მიღწევა.

ა)

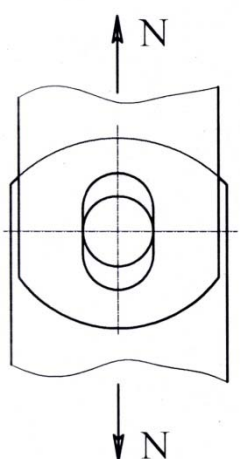
ბ)

გ)

დ)

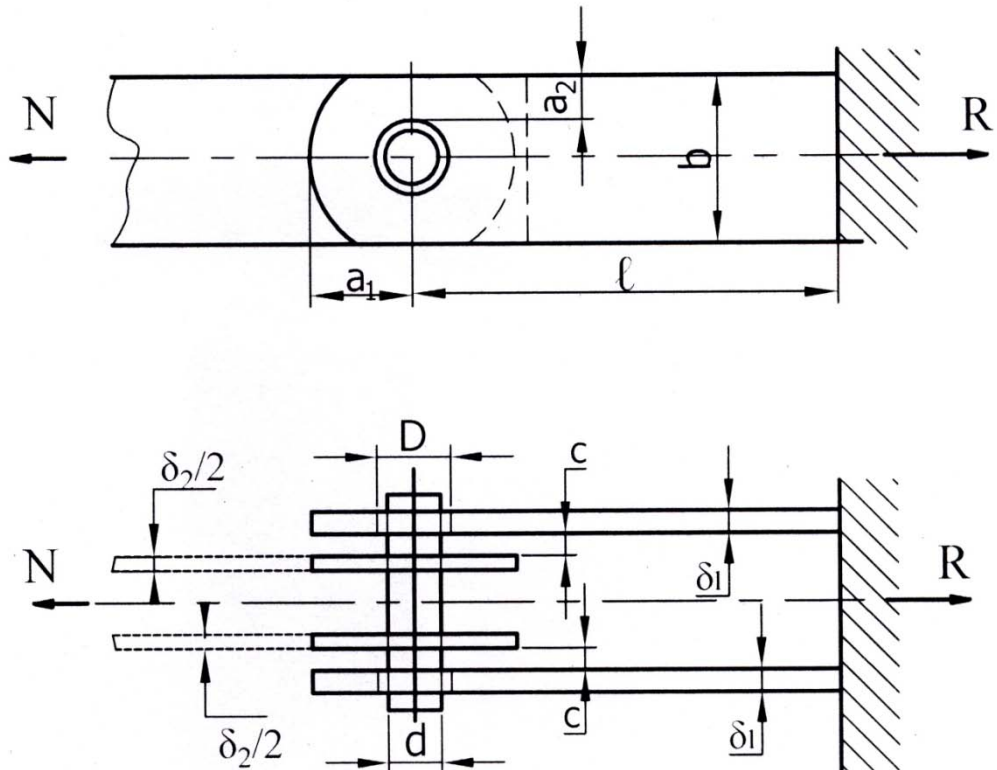


ფიგ. VI. 14 – დეფორმაციების შესაძლო სახეები კვანძის ელემენტებში  
ა) მასალის ამოტებვა; ბ) ყუნწის მასალის ხლებვა; გ) კვანძის  
ელემენტების დიდი დეფორმაციები; დ) მანქვალის გაკვეთა.



ფიგ. VI.15. – წრიული ნახვრეტის  
ოვალურად გადაქცევა მანქვალიანი  
შეერთების ხანგრძლივი

ნორმატიული მასალების მიხედვით, აღნიშნული ეფექტის მისაღწევად, წინასწარ მოწმდება ყუნწი და მანჭვალი, რომელთა თანაბარსიმტკიცის პირობიდან აიღება ყუნწის ნახვრეტით დასუსტებული კვეთი  $F$  ტოლი –  $2a_1\delta_2$  (ფიგ.VI.16)



ფიგ. VI.16. – მანჭვალიანი შეერთების საანგარიშო სქემა  
ა) გვერდხედი; ბ) ზედხედი.

წარმოდგენილი სქემის მიხედვით ყუნწის ძირითადი ზომები უნდა აკმაყოფილებდეს პირობას:

$$k = 0.56 + 0.46 \frac{a_2}{a_1} - 0.1 \frac{b}{d} \leq 1$$

სადაც  $K$  კოეფიციენტი ითვალისწინებს ყუნწის სიმტკიცეზე ყუნწის ძირითადი ზომების ზეგავლენას.

მანჭვალიანი შეერთების სიმტკიცე განისაზღვრება შემდეგი ოთხი პირობის მიხედვით:

1. ყუნწის გაჭიმვისას  $F=2a_1\delta_2$ , ფართობზე, სიმტკიცის პრობის თანახმად

$$\sigma = \frac{N}{2a_1\delta_2 k} \leq mR_0,$$

სადაც  $R_0$  – ძირითადი საანგარიშო წინაღობაა.

2. ყუნწის თელვისას, სიმტკიცის პირობის თანახმად

$$\sigma = \frac{N}{d\delta_2} \leq m R_{\text{თელ}}^g$$

სადაც,

$R_{\text{თელ}}^g$  – ყუნწის თელვის წინაღობაა, რომელიც ალუმინის

შენადნობებისათვის მიიღება  $R_{\text{თელ}}^g = 1,2R_0$ ;

$m$  – მუშაობის პირობის კოეფიციენტია, რომელიც უზრუნველყოფს ნარჩენი პლასტიკური დეფორმაციების შეზღუდვას. ნაკლებად დასაშვებია ნახვრეტის ოვალად გადაქცევა მანქვალიან შეერთებებში, რომლებიც წარმოადგენენ სახრებს. ამ შემთხვევაში მიიღება  $m=0.8$ . მოსახსნელი შეერთებისათვის  $m=1.0$ .

3. დუნგაზე მანქვალის სიმტკიცის პირობიდან, მისი დრეკად-

$$\text{პლასტიკურ } \text{სტადიაში } \text{მუშაობისას } \sigma = \frac{M}{W_{\text{პლ}}} = \frac{V(2\delta_1+4c+\delta_2)}{8W_{\text{პლ}}} \leq R_{\text{ლ}}^{\partial\delta\mathcal{F}}$$

სადაც  $R_{\text{ლ}}^{\partial\delta\mathcal{F}}$  – მანქვალის დუნგის საანგარიშო წინაღობაა;

$W_{\text{პლ}}$  – მანქვალის წინაღობის პლასტიკური მომენტი  $W_{\text{პლ}}=1.7 \cdot 0.1 \cdot d^3$

4. ორმაგი ჭრის მანქვალის დროს სიმტკიცის პირობის თნახმად

$$\tau = \frac{N}{4\frac{\pi d^2}{4}} = \frac{V}{\pi d^2} \leq R_{\text{ჭრ}}^{\partial\delta\mathcal{F}},$$

სადაც  $R_{\text{ჭრ}}^{\partial\delta\mathcal{F}}$  – მანქვალის ჭრის საანგარიშო წინაღობაა.

ყუნწის ყბებში ძაბვა მათ სისქეზე ნაწილდება არათაბრად. ამასთან შესაბამისად მანქვალიან ფოლადის შეერთებებში ყუნწის სისქესთან შედარებით გათვალისწინებულია ორმაგი ყუნწის ყბების ჯამური სისქის გაზრდა 10%-ით, ხოლო მსუბუქი შენადნობებისას – 15%-ით.

სიმტკიცის პირობის მიხედვით ყუნწებს შორის დრეჩო რეცომენდირებულულია შეადგენდეს  $c = 0.1\delta_2$  ხოლო შეერთების აწყობისა და დაშლის პირობიდან, საერთოდ იდებენ  $2 \div 3$ მ-ის ტოლს. მანქვალსა და ნახვრეტს შორის დრეჩო, ზოგადად შეადგენს  $1 \div 1.5$ მ-ს.

სარტყლის მიმართ შესაპირაპირებელი შეერთების აცილებითი განლაგებისას გაითვალისწინება დამატებითი მღუნავი მომენტის მოქმედება, რომელიც ჩნდება სარტყლის დერძის მიმართ მანჯგალის ცენტრის გადანაცვლების გამო.

აღნიშნული საკითხი აქ მოყვანილია ხიდის კონკრეტული ვარიანტის კონსტრუქციული შეფასებისა და მისი შემობრუნების კვანძის დაპროექტებისათვის.

საიერიშო ხიდის კონსტრუქციის ერთ-ერთ თვისებას წარმოადგენს რთული – ტრანსფორმაციის სამპარამეტრიანი გაშლა-დაკეცვის მდგომარეობა.

ასეთი მიდგომით ზოგადად თუ განვიხილავთ ხიდის გაშლისა და დაკეცვის მროცესს მისი მდგრადობის გათვალისწინებით შეიძლება განვაცალკეოთ ორი შესაძლებელი შემთხვევა:

I ვარიანტი – ეტაპობრივი ვარიანტი ხიდის გაშლისა:

1. ხიდის გაშლის პირველი ეტაპი მოიცავს მის გაშლას, „შემობრუნებით“;
2. ხიდის გაშლის მეორე ეტაპზე ხიდის ელემენტები იწყებს „ტელესკოპის“ პრინციპით ურთიერთის მიმართ წაგრძელებას.

II ვარიანტი – ხიდის კომპლექსური გაშლა:

1. ხიდის კომპლექსური გაშლა ხორცილება ერთდროულია როგორც „შემობრუნებით“, ასევე „ტელესკოპის“ პრინციპით ელემენტთა ურთიერთგადაადგილებითაც.

ამდენად, გაშლის პროცესში ხიდზე, ფორმათწარმოქნის ეტაპების შესაბამისად, სხვადასხვა სიდიდით, მოქმედებს როგორც გარე ძალების მიურ წარმოდგენილი ჯამური მომენტი სM, ასევე ხიდის გასრიალებისას წარმოდგენილი ჯამური ძალვები თ. ძალვით აღნიშნული ფაქტორები სM და თ, საბოლოო სახით გადაეცემა ხიდგამდებსაც. ამდენად, არის მნიშვნელოვანი მათი ურთიერთშეთავსების შეფასება გაშლის სხვადასხვა ეტაპებზე, რომ, ერთი მხრივ, შემოწმდეს ხიდის კონსტრუქციის მზიდუნარიანობა მისი გაშლის დროს წარმოქმნილ ძალვებზე და, მეორე მხრივ, მოხდეს ხიდგამდების სამონტაჟო მოწყობილობის დაგეგმარება ისე, რომ არ

მოხდეს ხიდგამდების ამოყირავება როგორც მისი გრძივი ლერძის სიბრტყეში, ასევე მის მართობულება.

ლიტერატურიდან ცნობილია, რომ ნორმატიული მაჩვენებლების მიხედვით  $\Sigma M = M_G + M_W + M_j + M_{\text{ხა}},$  სადაც ჯამური მომენტი შედგება ხიდის კონსტრუქციის წონისა და მრუდხარას წონისაგან გამოწვეული წინაღობის ძალთა ჯამური მომენტის –  $M_g,$  ქარის წნევისაგან გამოწვეული წინაღობის ძალთა მომენტის –  $M_w,$  ინერციულ ძალთა ჯამური მომენტის –  $M_j$  და ხახუნის ძალთა მომენტისაგან –  $M_{\text{ხა}}.$

ხიდის გასრიალებით გამოწვეული მთლიანი დატვირთვა, რომელიც გადაეცემა ხიდგამდების საანგარიშო დატვირთვის ხიდიდეს –  $T_b.$

$$T = P_G + P_j + P_w + P_{\text{ხა}}$$

სადაც  $P_G$  – არის ხიდის კონსტრუქციის საკუთარი წონის მდგენელი;

$P_j$  – ხიდის კონსტრუქციის მასის ინერციის ძალები,  
რომლებიც ტრანსფორმაციის პროცესში იცვლება;

$P_w$  – ქარის წნევა; ხოლო  $P_{\text{ხა}}$  – ხახუნის წინაღობაა.

საერთოდ, ხიდის მალის ნაწილების ურთიერთგასრიალების სიჩქარე შეადგენს  $0,4\text{--}1,4$  მ/წმ.

ხიდის და ხიგამდების მდგრადობა როგორც გრძივი, ასევე განივი მიმართულებით მიიღება  $k = 1,2 \dots 1,35.$   $k$  სამხედრო მექანიზმებულ ხიდებში გაანგარიშდება  $k = \frac{M_{\text{გასტაბილუზებელი}}}{M_{\text{გადამყირავებელი}}}.$

ამასთან, ხიდის და ხიდგამდების გრძივი მდგრადობა ხიდის კონსტრუქციის ტრანსფორმაციის და ფიქსაციის მომენტში, აიღება იმ შემთხვევისათვის, როდესაც გადასალახი დაბრკოლების ნაპირზე, ზღუდის მხარეს დახრა შეადგენს  $10^\circ \div 12^\circ,$  ხოლო განივი მდგრადობა ხიდის და ხიდგამდების ისეთ პროფილში დგომით, როცა მათი განივი გადახრა შეადგენს  $7^\circ\text{-ს.}$

მნიშვნელოვანია ის, რომ ხიდი დაბრკოლების ორივე ნაპირზე უნდა ებჯინებოდეს ისეთი ფიზიკურ-მექანიკური თვისებების მქონე და, ამასთან, ფიზიკურ-მექანიკური თვისებებიდან გამომდინარე, ხიდის დაბჯენის ისეთი გეომეტრიული პარამეტრებით, რომ არ მოხდეს გრუნტის ჩამოშლა ან ჩამოგრევა. ეს პირობა უნდა იყოს დაცული

ხიდზე სასარგებლო დატვირთვის გადატარების, აუტოგერის გრუნტზე დაწოლის და სხვა გათვალისწინებული თუ გაუთვალისწინებელი დატვირთვების დროს. აღნიშნულიდან გამომდინარე, ხიდის სრული სიგრძე და მის მიერ დაბრკოლების გადასალახი მალის სიდიდე ყოველთვის განსხვავდება ერთმანეთისაგან და ზოგჯერ საკმაოდ ნაკლებია დაბრკოლების გადასალახი მალი –  $L_{ხიდი} > L_{დაბრკოლების მალი}$ .

პროექტის მიზანია – შეიქმნას სამხედრო მექანიზმებული, გასაშლელი ერთმალიანი საბაზო ხიდი გაზრდილი მალით 38-48 მეტრის ფარგლებში.

ამასთან, ხიდმა უნდა დააკმაყოფილოს სტრანსპორტო პაკეტის ზღვრული გაბარიტები – სიგრძე 12-13 მეტრი და ხიდგამდების სიმაღლე 3.8-3.9 მეტრი.

გარდა ამისა, დიდი მალის, ხიდგამდების ხიდის გადასალა წინააღმდეგობაზე მონტაჟის მოწყობილობამ უნდა უზრუნველყოს ხიდგამდების დიდი მასტაბილიზებული მაბრუნებული მომენტის სიდიდე, გაშლილი ხიდის მაბრუნებული – ამომყირავებელ მომენტან შედარებით.

გარდა აღნიშნულისა, ხიდგამდებმა უნდა დააკმაყოფილოს შემდეგი ძირთადი მოთხოვნები:

- ხიდის სატრანსპორტო – დაკეცილი ან დანაწევრებული ნაწილების სატრანსპორტო პაკეტის გაბარიტები იყოს სტანდატული ან სტანდარტებთან მიახლოებული ისე, რომ არ უშლიდეს მის გადაადგილებას და მონტაჟს.
- ხიდის მთლიანი წონა იყოს სატრანსპორტო საშუალების მზიდუნარიანობის შესაბამისი.
- ხიდი იყოს ერთმალიანი.
- ხიდის სიგრძე – მალის სიგრძე იყოს რაც შეიძლება მეტი.
- ხიდის გადასალახ წინააღმდეგობაზე მონტაჟის და დემონტაჟის დრო განისაზღვროს რამოდენიმე – 2 – 5 – 7 მაჟსიმუმ 10 წუთით.
- ხიდის მონტაჟის დროს არ იყოს საჭიროება მისი მომსახურებისა გადასალახი წინააღმდეგობის მეორე ნაპირზეც.

- ხიდის მომსახურე ეკიპაჟი იყოს განთავსებული სატრანსპორტო-სამონტაჟო საშუალებაში.
- ხიდის სამონტაჟო-სატრანსპორტო საშუალება იყოს შეთავსებული და ერთი ერთეული.
- ხიდის სამონტაჟო-სატრანსპორტო საშუალება იყოს დაჯავშნული და სხვა მრავალი.
- ხიდის დაზიანების შემთხვევაში, მასზე ჭურვის ან ნაღმის მოხვედრის შედეგ, ხიდმა მეტნაკლებად უნდა შეინარჩუნოს მზიდუნარიანობა და საექსპოლოაციო თვისებები და ამის შემდეგ უნდა შესაძლებელი იყოს მისი ახსნა დაბრკოლებიდან, ხიდის სამონტაჟო ხიდგამდების საშუალებით, სხვა ტექნიკური საშუალების გამოყენებლად.
- ახალი ტიპის ხიდგამდების დანერგვა ჯარებში და შესაბამისი ტაქტიკური მონახაზების და პროცედურების ჩამოყალიბება კიდევ უფრო გაზრდის ქართული შეიარაღებული ძალების მოქნილობასა და სამანევრო შესაძლებლობებს, საშუალებას მისცემს მათ მაქსიმალური ეფექტურობით იქნას გამოყენებული სვლიდან ფორსირება და მოხერხდეს მოწინააღმდეგის დაჯაბნა ლოკალურ მობილურობასა და ბრძოლის ტემპების საკითხებში.
- საგანგებო მდგომარეობის შედეგების – მათ შორის ბუნებრივი და ტექნოგენური კატასტროფების ლიკვიდაციის ოპერაციის საწყის ეტაპზე ყველაზე მიზანშეწონილია ქართული გრძელი მალის მქონე საიერიშო ხიდების გამოყენება.
- სახიდე ნაგებობის ძარად შესაძლებელია გამოყენებული იქნას ტანკი, სატერიტო ავტომანქანა, სარკინიგზო ვაგონი, ასევე გადატანილი და დამონტაჟებული იქნას ვერტმფრენით – რაც მნიშვნელოვნად ზრდის მის უნივერსალიზაციის ხარისხს.

## ძირითადი დასკვნები

\* დამუშავებული გასაშლელი ხიდის კონსტრუქცია, აგებული ტრანსფორმირებადი სისტემების ფორმათწარმოქმნის ორმაგი “დაპეცის პრინციპს” + “ტელესკოპის პრინციპი”. ახალი, 48 მეტრი მაღის მქონე, გასაშლელი, მრავალჯერადი ხიდი შეესაბამება სამოქალაქო პირობებში – ექსტრემალურ სიტუაციებში და საგანგებო ვითარებებში გამოყენების თანამედროვე მოთხოვნებს.

\* დამუშავებულია გასაშლელი ხიდი და მისი გადასალახ წინააღმდეგობაზე გადების ხიდგამდები. ხიდი შექმნილია ტრანსფორმირებადი სისტემების ფორმათწარმოქმნის “დაპეცის პრინციპს” + “დახვევის პრინციპით”. გასაშლელი ხიდი, მაღით 48 მეტრამდე, შეესაბამება საჯარისო ნაწილების და საკომუნიკაციო ზონის მომსახურების პირობებს. ასევე, მისი გამოყენება მეტად ეფექტურია სამოქალაქო პირობებში.

აღნიშნული ხიდის ბაზაზე, ასევე, დამუშავდა გაუმჯობესებული ვარიანტ კონსტრუქციისა, რომელიც ემყარება ტრანსფორმირებადი სისტემების “დაკეცვის პრინციპს” + “დაკეცვის პრინციპი”.

\* ჩატარებულმა ექსპერიმენტულმა კვლევებმა, რომელიც განხორციელდა ტრანსფორმირებადი სისტემების “დაკეცვის პრინციპს” + “დახვევის პრინციპით” შექმნილი ხიდის 4,8 მეტრი სიგრძის და სათანადო ხიდგამდების მოდელზე, აჩვენა სრული შესაბამისობა გასაშლელი ხიდის თეორიული შედეგებსა და ექსპერიმენტულ შედეგებს შორის, როგორც სტატიკური დატვირთვების მიმართ, ასევე ტრანსფორმირებადი სისტემების ფორმათწარმოქმნის მხრივ, როგორც კინეტიკური სისტემისა. ექსპერიმენტის შედეგების მიხედვით მოხდა ცალკეული კვანძებისა და დეტალების ცვლილება და მოდერნიზება.

\* ნაშრომში დამუშავებულია სამმაგი ტიპის ტრანსფორმაციის და ხიდის გადების ორმაგი ტიპის, შეთავსებული, ახალი, საბაზო, საიერიშო ერთმალიანი გასაშლელი მექანიზებული ხიდი მაღით 32÷48 მეტრი და განსხვავებული სქემის ხიდგამდები, რომელიც ყველა თანამედროვე მოთხოვნებით შეესაბამება ბრძოლის ველზე გამოყენების პირობებს. მისი გამოყენება შესაძლებელია სამოქალაქო ვითარებაში.

## გამოყენებული ლიტერატურა

- [1] Field Manual 3-34 (FM 5-100) Engineering Operations. Washington DC, USA: Headquarters, Department of the Army 2004. 350 p.
- [2] Hephaestus Books. Articles on Military Engineering Vehicles, Including: Small Box Girder, M104 Wolverine, Amx-30 Bridge, M60a1 Armored Vehicle Launched Bridge (Avlb). Hephaestus Books. 2011. 166 p.
- [3] Hanus J. P. Investigation of a Deployable Military Bridge System with a Fiberglass Reinforced Concrete Deck. Madison: University of Wisconsin, 2007, 517 p;
- [4] Kosmatka J. B. Composite Bridging for Military and Emergency Applications. Alaska, USA, *Journal of Bridge. Engineering*, 2010, 13(4), pp 388-397;
- [5] Lamdher J. C. Dynamic Analysis of a FRP Deployable Box Beam. Kingston, Ontario, Canada: Queen's University, 2008, 113 p;
- [6] Zanlun H. AM 15 Design of Deployable Mobile Bridge. Singapore: National University, 2008, 60 p;
- [7] Yixiang Z. AM33 Analysis of Mobile Deployable Bridge. Singapore: National University of Singapore, 2008, 45 p;
- [8] Медзмариашвили Э.В.Трансформируемые системы. Тбилиси. Академия наук СССР.1990,106c.
- [9] Медзмариашвили Э.В.Трансформируемые конструкции в космосе и на земле. Германия-Грузия-Лихтенштейн.Valemar S&T Ltd.и Gregory & Co. 1995,442c.
- [10]Машины инженерного вооружения. Москва. Военное издательство министерства обороны СССР.1964.455c.
- [11]Weideck H. N. Brückenlegeeinrichtung. Deutsches Patentamt. No. 4123092A1. 12.07.1991. Appl. No.:4123092.2. Field: 12.7.91.
- [12]Juan Aparicio B. Véhicule lance-ponts. French patent. No. 2678297. Appl. No.:9108053. Field: 28.06.1991.
- [13]Matzen U., Wintjen J. Brückenlegefahrzeug. Deutsches Patentamt. No. 1942229A2. 09.07.2008. Appl. No.:07022546.1. Field: 21.11.2007.
- [14]Kahmann R., Wiedeck, H-N. Verlegbare Brücke. Europäische Patentanmeldung. No. 0523757A2. 20.01.93. Appl. No. 92116939.7. Field 07.08.1987.
- [15]Echtler T., Hunsinger W. Quinot M. Kraftfahrzeug zum transportieren und Verlegen einer festbrücke. Deutsches Patentamt. No 3217435A1. 21.00. Appl. No.: 3217435.7. Field: 8.5.1982.
- [16]<http://military-today.com/engineering/titan.htm> უკანასკნელად იქნა გადამოწმებული - 30.04.2012.

- [17] <http://www.armedforces.co.uk/army/listings/I0062.html> უკანასკნელად იქნა გადამოწმებული - 30.04.2012.
- [18] Abushenko O., Kitkin V., Mishin V., Khinevich G., Shumakov I., Jakovlev V. Bridge Launcher on Basic Tank Chassis. Rus. Pat. No. 2392369. 20.06.2010. Appl. No.: 2009109491/03. Field: 16.03.2009.
- [19] Zlotnicki L. Bridge Launcher. USA Pat. No 4,510,637. 16.04.1985. Appl. No.: 475,371. Field 14.03.1983.
- [20] <http://www.youtube.com/watch?v=2oyLgTBZHe4> უკანასკნელად იქნა გადამოწმებული - 30.04.2012.
- [21] Medzmariashvili E., Tsignadze N., Sokhadze A., Medzmariashvili V., Medzmariashvili G. The Perspectives of Suspension Systems' Application in Deployable Space Reflector Antennas. Noordwijk, The Nederlands. *Proceedings of 32<sup>nd</sup> ESA antenna Workshop on Antennas for Space Applications*, 2010,
- [22] Ario I., Makazawa M., Tanaka Y., Tanikura I. and Ono S. Development of a Prototype deployable bridge based on Origami skill. Republic of Korea Published by IAARC 2011, 981-986 p;
- [23] Medzmariashvili E., Gogilashvili V., Sanikidze M., Tsignadze N., Bedukadze G., Siradze N., Medzmariashvili G. Cinematic Analysis and Structure of 48 Meter Deployable Bridge. *Scientific-technical Journal "Building"*. 2009, 1(12). pp. 6-17.
- [24] მემკარიაშვილი ე, მემკარიაშვილი გ. გასაშლელი ხიდი და ხიდის დამწყობი საქ. პატენტი. No: 2011 5297B. 22.11.2011. Appl. No.: 20079952 Field: 29.03.2007.
- [25] Барон Р.И., Макаров К.Н.Производство монтажных работ с помощью вертолетов.Москва,Стройиздат,1984.122с.
- [26] Medzmariashvili E., Sanikidze M., Gogilashvili V., Tsignadze N., Filipenko L., Medzmariashvili G. A Single-Span Dual Transformation Deployable Bridge. *International Scientific Journal of IFToMM 'Problems of Mechanics'*. 2010, 3(40). pp. 25-31.
- [27] Gogilashvili V., Medzmariashvili E., Sanikidze M., Tsignadze N., Medzmariashvili G. Schematic Structural Diagram of the Deployable Bridge and Load-Bearing Conditions analysis. *International Scientific Journal of IFToMM 'Problems of Mechanics'*. 2010, 4(41), pp. 72-77;
- [28] მემკარიაშვილი ე, მემკარიაშვილი გ. "E&GM"-1. საქ. პატენტი No: 20115298B. 22.11.2011. Appl. No.: 20079952 Field: 29.03.2007.
- [29] Строительные нормы и правила. Алюминиевые конструкции.Москва.Госстрой СССР. СНиП 2.03.06-85.

- [30] Протасов К.Г. Фермы. Москва. Всесоюзное издательство-полиграфическое объединение министерства путей сообщения. 1963. 100с.
- [31] Воеводин А.А. Предварительно напряженные системы элементов конструкций. Москва. Стройиздат. 1989. 298с.
- [32] Medzmariashvili E., Sokhadze A., Medzmariashvili G., Odishvili K., Filipenko L. Transformable Large-Span Bridge. Georgia. *Proceedings of International Scientific Conference on Advanced Lightweight Structures and Reflector Antennas*. 2009, pp. 134-141.
- [33] Gogilashvili V., Medzmariashvili E., Sanikidze M., Medzmariashvili G. Transformation of Deployable Bridge Mechanisms. *International Scientific Journal of IFToMM ‘Problems of Mechanics’*. 2011, 4(45). pp. 72-76.
- [34] Medzmariashvili G., Medzmariashvili V. Existing Assaulting Bridges and New Structural Schemes. *Proceedings of Open International Scientific Conference #78 of Georgian Technical University*.
- [35] Строительные нормы и правила. Нагрузки и воздействия. СНиП 2.01.07-85.
- [36] Строительные нормы и правила. Мосты и трубы. СНиП 2.05.03-84.
- [37] Гибшман Е.Е., Аксельрод И.С., Гибшман М.Е. Мосты и сооружения на автомобильных дорогах. Москва»Транспорт». 1973. 412с.
- [38] Gantes Ch. J. Deployable Structures : Analysis and Design (High Performance Structures and Materials). WIT Press / Computational Mechanics, 2001, 384 p;
- [39] Nerding W., Meissner I., Möller E., Grdanjski M. Frei Otto: Complete Works: Lightweight Construction, Natural Design. Birkhauser Verlag AG, 2005, 391 p;
- [40] Riley T., Light Constructions. New York: The Museum of Modern Art, 1995, 163 p;
- [41] Hunt. K. H. Kinematic Geometry of Mechanisms. USA, Oxford University Press, 1990, 488 p;
- [42] <http://inside-auto.com/watch/2296119/FV4205-Chieftain-Armoured-Vehicle-Launched-Bridge-AVLB> უკანასკნელად იქნა გადამოწმებული - 30.04.2012.
- [43] Medzmariashvili E. Tusishvili O., Sanikidze M. Medzmariashvili G., Mobile Bridgelayer on the Bases of Tank “Leopard-2”. *International Scientific Journal of IFToMM ‘Problems of Mechanics’*. 2011, 3(44), pp. 22-26.
- [44] Шунков В.Н. Танки. Минск. ООО»Попурри». 2000, 395с.
- [45] <http://www.armedforces-int.com/article/leguan-system.html> უკანასკნელად იქნა გადამოწმებული - 30.04.2012.
- [46] <http://www.fas.org/man/dod-101/sys/land/wolverine.htm> უკანასკნელად იქნა გადამოწმებული - 30.04.2012.
- [47] <http://www.army.mod.uk/royalengineers/equipment/698.aspx> უკანასკნელად იქნა გადამოწმებული - 30.04.2012.

- [48] Козлов М.Ф., Ключарев В.А., Кобиков Г.А., Муратов А.А., Нивин Н.А., Юдин Г.В. Военные мосты на жестких опорах. Москва. Издание ВИА. 1974. 527с.
- [49] [http://en.wikipedia.org/wiki/M60A1\\_Armored\\_Vehicle\\_Launched\\_Bridge\\_\(AVLB\)](http://en.wikipedia.org/wiki/M60A1_Armored_Vehicle_Launched_Bridge_(AVLB))  
1 უკანასკნელად იქნა გადამოწმებული - 30.04.2012.